

ООО "Гамма Санкт-Петербург"  
Тел.: +7(812) 325 51 15  
Факс: +7(812) 325 51 14  
E-mail: [microchip@gamma.spb.ru](mailto:microchip@gamma.spb.ru)  
[www.gamma.spb.ru](http://www.gamma.spb.ru)

Москва:  
Тел./Факс: (495) 668-26-46

Белоруссия  
Тел.: +375-17-209-8045

Центр технической поддержки:  
[Ilya.Afanasiev@microchip.com.ru](mailto:Ilya.Afanasiev@microchip.com.ru)  
[Alexey.Safronov@microchip.com.ru](mailto:Alexey.Safronov@microchip.com.ru)  
[www.microchip.com.ru](http://www.microchip.com.ru)



**MICROCHIP**  
*Партнер вашего успеха*

## 8-разрядные микроконтроллеры Microchip для различных применений

Вы думали, что не будете использовать микроконтроллеры в своей разработке? Подумайте снова!

- Самые маленькие микроконтроллеры в мире PIC10F – «умная пыль» – замена логики
- Интегрированный тактовый генератор
- Модули компаратора и АЦП, источник опорного напряжения



## Высокопроизводительные микроконтроллеры Microchip

Контроллеры цифровой обработки сигналов:

- 16-разрядные dsPIC30F и dsPIC33F
- Быстродействие до 40 MIPS
- Четыре семейства: сенсорные; общего назначения; управления электроприводом и преобразователями мощности
- Большой объем Flash-памяти программ – до 256 кбайт
- 12-битный АЦП, 16-битный ЦАП
- Расширенный диапазон температур (–40...+125 °C)
- Контроллер прямого доступа к памяти
- Корпуса от 18 до 100 выводов



Маловыводные контроллеры (8/14/20) выводов

- До 16 кбайт памяти программ, EEPROM-память данных
- 10-разрядный АЦП, аналоговые компараторы, RS-триггер
- Модуль ШМИ, захвата, сравнения
- Последовательные интерфейсы USB, I<sup>2</sup>C, SPI, UART (с поддержкой LIN, RS-485)
- Аппаратная поддержка алгоритма шифрования KeeLOQ
- Технология микромощности NanoWatt



Высокопроизводительные 16-разрядные контроллеры PIC24

- Быстродействие до 40 MIPS
- Контроллер прямого доступа к памяти
- Модуль вычисления CRC
- Часы реального времени с календарем
- Переназначение функций выводов
- Четыре модуля UART, поддержка IrDA-протокола
- Модуль USB OTG
- Корпуса от 18 до 100 выводов

Контроллеры с большим объемом памяти

- До 128 кбайт памяти программ
- До 80 выводов
- Расширенная система команд
- 12-разрядный АЦП
- Управление энергосбережением NanoWatt
- Встроенные модули USB, Ethernet, CAN, UART
- Драйвер ЖКИ
- Аналоговая периферия для электросчетчиков



Высокопроизводительное семейство 32-разрядных микроконтроллеров

- Ядро MIPS32 M4K, частота тактирования 80 МГц, выполнение команды за 1 такт генератора
- Команды умножения и деления за один командный цикл
- Предварительная выборка команд из памяти программ, кэш 256 байт
- Быстрое переключение контекста и вход в прерывания
- 4-канальный аппаратный контроллер DMA
- Контроллер USB OTG
- Совместимость с 16-разрядными семействами



Автономные Ethernet-контроллеры ENC28J60, ENC424J600 и ENC624J600

- Интерфейсы связи с микроконтроллером: параллельный и SPI
- 10 и 10/100BASE-TX PHY и MAC
- Внутренний буфер FIFO-памяти до 24 кбайт
- Аппаратная поддержка алгоритмов шифрования RSA, Diffie-Hellman и вычисления MD5, SHA-1
- Бесплатный стек TCP/IP с поддержкой криптографического протокола SSL



Единые средства разработки и отладки

- Единая бесплатная среда разработки и симулятор MPLAB IDE
- Эффективные Си компиляторы, предоставляются бесплатные студенческие версии
- Большой набор библиотеки и примеров применения
- Отладочные и демонстрационные платы
- Недорогой внутрисхемный отладчик-программатор ICD-3
- Бюджетный внутрисхемный эмулятор REAL ICE



16- и 32-разрядная архитектура, мощная система команд, высокое быстродействие, режимы сбережения энергии



Предлагаем вашему вниманию очередное издание информационного каталога «Гамма–Санкт-Петербург». Продолжая традицию знакомить вас с новинками ведущих мировых производителей электронных компонентов, мы подготовили для вас подборку информационных материалов, которые на наш взгляд заслуживают внимания.

Элементы индикации являются визитной карточкой большинства приборов и определяют внешний вид и пользовательский интерфейс изделия. Мы предлагаем Вам широкий модельный ряд графических, знаковосинтезирующих и сегментных индикаторов от компаний AMPIRE и DISPLAYTRONIC. Библиотека графического интерфейса пользователя, бесплатно предоставляемая компанией Microchip Technology Inc., позволяет быстро освоить работу с цветными и монохромными TFT-, OLED- и AMOLED-индикаторами.

Если вы хотите сделать свой прибор узнаваемым, если у вас есть специфические требования к дизайну индикатора, его энергопотреблению и диапазону рабочих температур, то мы готовы предложить разработку и изготовление индикаторов и светодиодной подсветки по Вашим чертежам и требованиям. На страницах каталога вы можете ознакомиться с возможностями и преимуществами заказных ЖК-индикаторов.

Зачастую разработка собственного индикатора является единственным способом решения поставленной задачи. Так, например, используя возможности разработки микропотребляющих индикаторов, можно обеспечить длительный срок службы разрабатываемого прибора. Не только индикатор определяет общее потребление тока прибора, поэтому остальные элементы схемы должны удовлетворять заложенному бюджету потребления. Компания Microchip Technology Inc. предлагает обширный перечень микроконтроллеров, линейных стабилизаторов и супервизоров, операционных усилителей, компараторов и других элементов, обеспечивающих сверхнизкое потребление тока. Выпустив новое семейство микропотребляющих контроллеров XLP серии PIC16F1xxx, компания Microchip установила новый эталон энергоэффективности — новые контроллеры имеют потребление в активном режиме 50 мкА/МГц, а в режиме Sleep — до 25 нА. Для задач, требующих больших вычислительных мощностей и высокого быстродействия, наиболее востребованы семейства 16-разрядных контроллеров PIC24, контроллеров цифровой обработки сигналов dsPIC30F/dsPIC33F и 32-разрядных контроллеров с ядром MIPS — PIC32 производства Microchip, а так же семейства Cortex-M0/Cortex-M3, представленные контроллерами серий LPC1100/LPC1300/LPC1700 от NXP; STM32xxx и STRxxx от ST-Microelectronics.

В приборах контрольно-измерительного назначения и контроллерах электропривода пальма первенства принадлежит 16-разрядному контроллеру цифровой обработки сигналов dsPIC благодаря высокой производительности и малому потребляемому току. Наличие интерфейса звуковых кодеков AC97 делает особенно привлекательным использование dsPIC в устройствах с мультимедийными функциями. Библиотеки обработки голоса, компрессии звука и сжатия речи, стека протоколов TCP/IP и программной реализации модемов для dsPIC помогают разработчикам экономить время при создании своих устройств.

В информационных системах GPS, записных книжках, криптографических кодах полезно использовать сочетание мощных 32-разрядных ядер MIPS процессоров PIC32 (Microchip), семейств процессоров LPC1100/LPC1300/LPC1700 (NXP) на базе ядер CortexM0/Cortex-M3 или STM32xxx, STR7xxx (ST-Microelectronics) с большим объемом внутренней памяти.

Тенденция развития автомобильной промышленности предъявляет особые требования к комфортабельности, управляемости и безопасности современ-

ных автомобилей. Для обеспечения наилучшей управляемости автомобиля требуется большое количество электромоторов. В современных автомобилях бизнес класса и супер класса может использоваться до 100 электромоторов. И все они нуждаются в управлении. В настоящее время для включения электромотора, управления направлением вращения или его скоростью используются полупроводниковые ключи и MOSFET-транзисторы, что позволяет использовать более тонкие провода и обеспечить их прокладку в малодоступные места. Наибольшее снижение веса и уменьшения проводов может быть достигнуто мультиплексным включением проводов, контролируемых последовательной шиной, и использованием протоколов CAN и LIN.

Современный автомобиль это сложное техническое устройство с большим количеством силовых узлов и электронных блоков. Для контроля состояния узлов автомобиля требуется большое количество датчиков, облегчающих управление автомобилем. Компания NXP предлагает широкую номенклатуру температурных и магниторезистивных датчиков, которые имеют преимущества в сравнении с датчиками на эффекте Холла. Компания ST Microelectronics выпускает MEMS-акселерометры и гироскопы, активно применяемые в современном автомобиле.

Современные требования к качеству питания и энергопотреблению электроники делают актуальным применение микросхем управления питанием, регуляторов напряжения и элементов защиты, например TVS-диодов. Компания NXP, STMicroelectronics и ROHM предлагают ряд микросхем управления питанием и регуляторов напряжения. Например, такая широко распространенная в корпусах TO-92 и SO8 микросхема TL431 теперь выпускается компанией NXP в миниатюрном корпусе SOT23 и по очень низкой цене.

Подтверждением тезиса о наступлении электроники можно считать прекращение производства электромеханических счетчиков электроэнергии. Компания Microchip Technology Inc. выпустила серию микросхем MCP390x в качестве интегрированного решения измерительной части счетчика с непосредственным подключением к электромеханическому индикатору или микропроцессору. На сегодняшний день в счетчиках еще используется такой тип индикаторов, но на смену ему идет широкотемпературный ЖК индикатор, выполненный по технологии COG. В результате соединение специализированного измерителя MCP3905/6, PIC-контроллера общего назначения и COG индикатора дает абсолютный рекорд по снижению стоимости и экономической эффективности такого решения.

Еще одно применение очень популярно в наши дни — радиоканал между интеллектуальными датчиками и устройствами. Как известно, качество радиоканала существенно зависит от качества используемых ПАВ резонаторов и кварцев. Обращаем ваше внимание на продукцию компании RFM. Сочетание высококачественных ПАВ фильтров RFM с микросхемами радиоприемников производства NXP и Microchip позволит легко спроектировать качественный радиоканал диапазона 315, 433 и 866 МГц. Для тех, кому дорого время и нужно максимально быстро создать радиосеть устройств, мы предлагаем готовые радиомодули ZigBee, WiFi производства Digi и Microchip.

Наши специалисты всегда готовы не только дать квалифицированную консультацию по выбору элементной базы, но и предложить готовые решения в виде демонстрационных плат и устройств, оказать помощь в выборе отладочных средств, а в дальнейшем обеспечить бесперебойные поставки электронных компонентов.

Дополнительную информацию, обзорные и технические статьи, новости вы можете найти на сайте нашей компании [www.gamma.spb.ru](http://www.gamma.spb.ru).

# ОГЛАВЛЕНИЕ



|  |    |
|--|----|
| МИКРОКОНТРОЛЛЕРЫ PIC10, PIC12, PIC16.<br>ОБЗОР НОВЫХ СЕМЕЙСТВ И ПЕРИФЕРИЙНЫХ МОДУЛЕЙ ..... | 3  |
| МИКРОКОНТРОЛЛЕРЫ PIC18. ОБЗОР НОВЫХ СЕМЕЙСТВ .....   | 8  |
| 16-БИТНЫЕ КОНТРОЛЛЕРЫ MICROCHIP .....  | 9  |
| 32-БИТНЫЕ КОНТРОЛЛЕРЫ MICROCHIP .....  | 12 |
| ЭФФЕКТИВНОЕ УПРАВЛЕНИЕ ПИТАНИЕМ ПОРТАТИВНЫХ УСТРОЙСТВ .....                                | 13 |
| ЗАКАЗНЫЕ ИНДИКАТОРЫ .....  | 15 |



|   |    |
|---|----|
| ЖИДКОКРИСТАЛЛИЧЕСКИЕ ИНДИКАТОРЫ КОМПАНИИ AMPIRE ..... | 18 |
| TFT-ИНДИКАТОРЫ AMPIRE .....                           | 20 |



|  |    |
|--|----|
| ЖИДКОКРИСТАЛЛИЧЕСКИЕ ИНДИКАТОРЫ КОМПАНИИ DISPLAYTRONIC ..... | 22 |
|--|----|



|   |    |
|---|----|
| МАГНИТОРЕЗИСТИВНЫЕ ПОЛУПРОВОДНИКОВЫЕ ДАТЧИКИ<br>NXP SEMICONDUCTORS .....                  | 24 |
| 32-РАЗРЯДНЫЕ МИКРОКОНТРОЛЛЕРЫ NXP С ЯДРОМ ARM CORTEX™-M0 .....                            | 25 |
| МИКРОСХЕМА NXP JN5148 —<br>ПОЛНОЕ РЕШЕНИЕ ДЛЯ СЕТЕЙ ZIGBEE, JENNET ИЛИ IEEE802.15.4 ..... | 28 |
| РЕШЕНИЯ NXP ДЛЯ БЕСПРОВОДНЫХ СИСТЕМ<br>ДИСПЕТЧЕРИЗАЦИИ ПОКАЗАНИЙ ПРИБОРОВ УЧЕТА .....     | 30 |
| АТОР — АВТОМОБИЛЬНАЯ ТЕЛЕМАТИЧЕСКАЯ ПЛАТФОРМА ОТ NXP .....                                | 31 |
| EM773 — СОВРЕМЕННЫЙ ПОДХОД К ИЗМЕРЕНИЮ РАСХОДА ЭЛЕКТРОЭНЕРГИИ ..                          | 32 |
| ЗАЩИТНЫЕ (TVS) ДИОДЫ КОМПАНИИ DIOTEC, NXP, STM .....                                      | 33 |



|  |    |
|--|----|
| ВЫПРЯМИТЕЛЬНЫЕ ДИОДЫ И ДИОДНЫЕ МОСТЫ КОМПАНИИ DIOTEC ..... | 35 |
|--|----|



|  |    |
|--|----|
| ТЕМПЕРАТУРНЫЕ ДАТЧИКИ NXP .....                      | 37 |
| БИПОЛЯРНЫЕ ТРАНЗИСТОРЫ BISS NXP SEMICONDUCTORS ..... | 38 |
| MOSFET-ТРАНЗИСТОРЫ NXP SEMICONDUCTORS .....          | 41 |
| RET-ТРАНЗИСТОРЫ NXP .....                            | 43 |



|  |    |
|--|----|
| DIGI. СОВРЕМЕННЫЕ СЕТЕВЫЕ ТЕХНОЛОГИИ ПЕРЕДАЧИ И КОНТРОЛЯ ДАННЫХ .. | 45 |
| РАДИОМОДУЛИ ФИРМЫ DIGI INTERNATIONAL .....                         | 48 |



|   |    |
|---|----|
| ПРОДУКЦИЯ КОМПАНИИ RF MONOLITHICS INC. .... | 50 |
|---|----|



|  |    |
|--|----|
| ТРАНСФОРМАТОРЫ И ИСТОЧНИКИ ПИТАНИЯ ZETTLER MAGNETICS ..... | 52 |
|--|----|



|  |    |
|--|----|
| ЯРКИЕ СВЕТОДИОДЫ ФИРМЫ ROHM SEMICONDUCTORS ..... | 53 |
|--|----|

# МИКРОКОНТРОЛЛЕРЫ PIC10, PIC12, PIC16. ОБЗОР НОВЫХ СЕМЕЙСТВ И ПЕРИФЕРИЙНЫХ МОДУЛЕЙ

Огромная популярность дешевых 8-разрядных PIC-микроконтроллеров семейств PIC10, PIC12 и PIC16, а так же их повсеместное применение во многих отраслях электронной промышленности стимулирует производителя к дальнейшему расширению этих семейств. Особое внимание направлено на снижение стоимости конечного продукта на основе PIC-микроконтроллеров, что достигается сочетанием интегрированных периферийных модулей, таких как драйвера ЖК-индикаторов, ШИМ, АЦП, компараторов, таймеров и интерфейсов связи. Помимо стандартных периферийных устройств, компания Microchip постоянно улучшает микроконтроллеры путем разработки уникальных периферийных устройств. Эти эксклюзивные периферийные устройства позволяют инженерам упростить схемотехнику своих устройств и создавать все более продвинутые продукты. За недавнее время появилось множество новинок и анонсированы новые семейства с уникальными возможностями, которые рассмотрим в этой статье.

## НОВЫЕ 8-РАЗРЯДНЫЕ МИКРОКОНТРОЛЛЕРЫ СЕМЕЙСТВ PIC10, PIC12 И PIC16

### Микроконтроллеры PIC10 F32x

Первые 6-выводные микроконтроллеры базового семейства PIC10F2xx появились в 2004 году. С тех пор контроллеры PIC10F получили широкое применение благодаря низкой стоимости, наличию встроенного генератора, компаратора и АЦП. Ключевые моменты успеха PIC10F это возможность их применения в качестве функциональных генераторов сигналов, аналоговых интеллектуальных датчиков, а так же нетрадиционных для микроконтроллеров областях, таких как элементы, ис-

правляющие ошибки заказных микросхем ASIC, супервизоры питания процессоров и программируемой логики, компактная замена микросхем жесткой логики.

Новое поколение 6-выводных микроконтроллеров PIC10F32x (табл. 1) получает ядро среднего семейства с аппаратными прерываниями и 8-уровневым стеком, возможность самопрограммирования и эмуляции энергонезависимой памяти данных EEPROM, 16 МГц внутренний генератор, ШИМ, 8-разрядный АЦП, а также несколько уникальных модулей: CLC (модуль конфигурируемой логики), CWG (генератор комплементарных сигналов), DDS (синтезатор частоты), интегрированный датчик температуры.

### Микроконтроллеры PIC12F182x/PIC16F182x

Новейшее поколение 8-, 14-, 18- и 20-выводных микроконтроллеров предлагают улучшенную функциональность с несколькими принципиальными усовершенствованиями. Контроллеры имеют встроенный программируемый 32 МГц генератор, улучшенное ядро среднего семейства (Enhanced Mid-Range) с дополнительными командами, способами адресации и Си-оптимизированной системой команд.

Микроконтроллеры полностью совместимы по выводам с предыдущими поколениями маловыводных PIC-микроконтроллеров, что позволяет добавить новый функционал в свои приборы без существенного их изменения.

Десять представителей семейства PIC1xF182x (табл. 2) предоставляют до 14 кбайт Flash-памяти программ, до 1 кбайт ОЗУ, 256 байт энергонезависимой памяти EEPROM, и множество периферийных модулей.

Интерфейсные модули связи I<sup>2</sup>C, SPI и EUSART присутствуют во всех микроконтроллерах, в том числе у 8-выводных PIC12F182x. Встроенный модуль измерения емкостных датчиков позволяет так же реализовывать емкостные клавиатуры и датчики приближения. Модуль Data Signal Modulator по-

Таблица 1.

| Контроллер | Flash, байт | ОЗУ, байт | EEPROM   | АЦП, 8 бит | ШИМ | Датчик температуры | CWG | DDS | Диапазон питания, В | Корпуса                 |
|------------|-------------|-----------|----------|------------|-----|--------------------|-----|-----|---------------------|-------------------------|
| PIC10F320  | 448         | 32        | Эмуляция | 3          | 2   | Да                 | Да  | Да  | 2,3–5,5             | 6 PDIP, 2x3 DFN, SOT-23 |
| PIC10LF320 | 448         | 32        | Эмуляция | 3          | 2   | Да                 | Да  | Да  | 1,8–3,6             | 6 PDIP, 2x3 DFN, SOT-23 |
| PIC10F322  | 896         | 64        | Эмуляция | 3          | 2   | Да                 | Да  | Да  | 2,3–5,5             | 6 PDIP, 2x3 DFN, SOT-23 |
| PIC10LF322 | 896         | 64        | Эмуляция | 3          | 2   | Да                 | Да  | Да  | 1,8–3,6             | 6 PDIP, 2x3 DFN, SOT-23 |

Таблица 2.

| Контроллер                | Число выводов | Память программ, кбайт | ОЗУ  | EEPROM | Нап. питания, В | АЦП/Компар. | ССР/ЕССР PWM | CSM | EUSART | MSSP I <sup>2</sup> C/SPI | Таймер 8/16 бит | Корпуса                |
|---------------------------|---------------|------------------------|------|--------|-----------------|-------------|--------------|-----|--------|---------------------------|-----------------|------------------------|
| PIC12F1822<br>PIC12LF1822 | 8             | 3,5                    | 128  | 256    | 1,8–5,5         | 4/1         | 0/1          | 4   | 1      | 1/1                       | 2/1             | PDIP, SOIC, DFN        |
| PIC12F1840<br>PIC12LF1840 | 8             | 7                      | 256  | 256    | 1,8–5,5         | 4/1         | 0/1          | 4   | 1      | 1/1                       | 2/1             | PDIP, SOIC, DFN        |
| PIC16F1823<br>PIC16LF1823 | 14            | 3,5                    | 128  | 256    | 1,8–5,5         | 8/2         | 0/1          | 8   | 1      | 1/1                       | 2/1             | PDIP, SOIC, TSSOP, QFN |
| PIC16F1824<br>PIC16LF1824 | 14            | 7                      | 256  | 256    | 1,8–5,5         | 8/2         | 0/1          | 8   | 1      | 1/1                       | 2/1             | PDIP, SOIC, TSSOP, QFN |
| PIC16F1825<br>PIC16LF1825 | 14            | 14                     | 1024 | 256    | 1,8–5,5         | 8/2         | 0/1          | 8   | 1      | 1/1                       | 3/1             | PDIP, SOIC, TSSOP, QFN |
| PIC16F1826<br>PIC16LF1826 | 18            | 3,5                    | 128  | 256    | 1,8–5,5         | 12/2        | 2/2          | 12  | 1      | 1/1                       | 4/1             | PDIP, SOIC, SSOP, QFN  |
| PIC16F1827<br>PIC16LF1827 | 18            | 7                      | 256  | 256    | 1,8–5,5         | 12/2        | 2/2          | 12  | 1      | 2/2                       | 4/1             | PDIP, SOIC, SSOP, QFN  |
| PIC16F1847<br>PIC16LF1847 | 18            | 14                     | 1024 | 256    | 1,8–5,5         | 12/2        | 2/2          | 12  | 1      | 2/2                       | 4/1             | PDIP, SOIC, SSOP, QFN  |
| PIC16F1828<br>PIC16LF1828 | 20            | 7                      | 256  | 256    | 1,8–5,5         | 12/2        | 2/2          | 12  | 1      | 1/1                       | 4/1             | PDIP, SOIC, SSOP, QFN  |
| PIC16F1829<br>PIC16LF1829 | 20            | 14                     | 1024 | 256    | 1,8–5,5         | 12/2        | 2/2          | 12  | 1      | 2/2                       | 4/1             | PDIP, SOIC, SSOP, QFN  |

Таблица 3.

| Контроллер                | Число выводов | Память программ, кбайт | ОЗУ  | Нап. питания, В    | АЦП, 10р | ССР/ PWM | EUSART | MSSP I <sup>2</sup> C/ SPI | Timers (8-bit/ 16-bit) | Корпуса                        |
|---------------------------|---------------|------------------------|------|--------------------|----------|----------|--------|----------------------------|------------------------|--------------------------------|
| PIC16F1516<br>PIC16LF1516 | 28            | 14                     | 512  | 2,3–5,5<br>1,8–3,6 | 17       | 2        | 1      | 1/1                        | 2/1                    | SPDIP, SOIC, SSOP,<br>4x4 UQFN |
| PIC16F1517<br>PIC16LF1517 | 28            | 28                     | 1024 | 2,3–5,5<br>1,8–3,6 | 17       | 2        | 1      | 1/1                        | 2/1                    | SPDIP, SOIC, SSOP,<br>4x4 UQFN |
| PIC16F1518<br>PIC16LF1518 | 40/44         | 14                     | 512  | 2,3–5,5<br>1,8–3,6 | 28       | 2        | 1      | 1/1                        | 2/1                    | PDIP, 10x10 TQFP,<br>5x5 UQFN  |
| PIC16F1519<br>PIC16LF1519 | 40/44         | 28                     | 1024 | 2,3–5,5<br>1,8–3,6 | 28       | 2        | 1      | 1/1                        | 2/1                    | PDIP, 10x10 TQFP,<br>5x5 UQFN  |
| PIC16F1526<br>PIC16LF1526 | 64            | 14                     | 512  | 2,3–5,5<br>1,8–3,6 | 30       | 10       | 2      | 2/2                        | 6/3                    | 10x10 TQFP,<br>9x9 QFN         |
| PIC16F1527<br>PIC16LF1527 | 64            | 28                     | 1536 | 2,3–5,5<br>1,8–3,6 | 30       | 10       | 2      | 2/2                        | 6/3                    | 10x10 TQFP,<br>9x9 QFN         |

звляет аппаратно создавать амплитудно- (ASK) и фазово- (PSK) модулированные сигналы.

Микроконтроллеры спроектированы с применением методов nanoWatt XLP-технологии, что позволило получить ток потребления в режиме Sleep всего 20 нА и в активном режиме менее чем 50 мкА/МГц.

### Микроконтроллеры PIC16F151x/152x

Современные разработки требуют высокоэффективные микроконтроллеры с улучшением свойств микропотребления при уменьшении цены. Микроконтроллеры семейства PIC16F15xx разработаны для удовлетворения подобных запросов. Семейство PIC16F15xx состоит из контроллеров с числом выводов 28, 40, 44 и 64 и, как и все контроллеры поколения PIC16F1xxx базируются на высокоэффективном ядре Enhanced Mid-Range. Комбинация высокоэффективной архитектуры, высокого быстродействия, продвинутой периферии и низкой стоимости делают данное семейство подходящим для широкого класса приложений, основным параметром которых является низкая себестоимость. Шесть микроконтроллеров семейства PIC16F15xx (табл. 3) имеют до 28 кбайт Flash-памяти программ, до 1,5 кбайт ОЗУ, до 30 каналов 10-разрядного АЦП, до 2 независимых интерфейсов SPI/I<sup>2</sup>C и EUSART, интегрированный датчик

температуры, до 10 каналов захвата/сравнения/ШИМ, а также другие периферийные модули.

### Микроконтроллеры PIC16F193x/194x

Микроконтроллеры семейств PIC16F193x и PIC16F194x имеют максимальную интеграцию периферийных модулей при минимальном потреблении.

Основанные на усовершенствованном ядре базового семейства (Enhanced Mid-Range), что позволяет создавать более эффективный код и исполнять его на более высокой тактовой частоте, чем на «традиционном» ядре Mid-Range. Контроллеры имеют до 28 кбайт Flash-памяти программ, до 1 кбайт ОЗУ и 256 байт энергонезависимой памяти данных. Интегрированный ЖКИ-драйвер поддерживает индикаторы с числом сегментов до 184 и оптимизирован для микропотребляющих устройств. Микроконтроллеры имеют до 2 SPI/I<sup>2</sup>C и UART, до 17 каналов 10-разрядного АЦП, 2 компаратора, интегрированную периферию для работы с емкостными клавиатурами, до 5 модулей захвата/сравнения/ШИМ, часы реального времени RTC. Контроллеры имеют низкое потребление: 60 нА в режиме энергосбережения Sleep, потребление генератора RTC 600 нА и менее 50 мкА/МГц в активном режиме.

Другое семейство контроллеров с ЖКИ-драйвером — PIC16LF190x (табл. 4) предназначено для

применения в простых устройствах с ЖКИ с ограниченными требованиями к периферии и требующих минимальной стоимости. Микроконтроллеры PIC16LF190x могут применяться в смарткартах, ключах и брелках для систем сигнализации и контроля доступа, медицинских устройств, бытовой электроники и других устройствах с ЖК-индикаторами. Контроллеры имеют до 14 кбайт Flash-памяти программ, до 512 байт ОЗУ, до 14 каналов 10-разрядного АЦП, EUSART и поддерживают ЖКИ до 114 сегментов.

## НОВАЯ ПЕРИФЕРИЯ И ДРУГИЕ ОСОБЕННОСТИ МИКРОКОНТРОЛЛЕРОВ

### Система питания

Все новые семейства микроконтроллеров PIC10F32x, PIC12F1xxx, PIC16F1xxx, а также ряд других семейств имеют два варианта исполнения — F и LF. Контроллеры F имеют широкий диапазон питающих напряжений от 1,8 до 5,5 В и встроенный стабилизатор для питания низковольтного ядра. Таким образом, без дополнительных внешних элементов, контроллеры имеют периферию, работающую в полном диапазоне питающих напряжений.

Микроконтроллеры LF имеют диапазон питания от 1,8 до 3,6 В, при этом, из-за отсутствия встроенного стабилизатора напряжения питания ядра, имеют меньшее потребление и более пригодны приборов с батарейным питанием.

### Модуль конфигурируемых логических ячеек

(CLC — Configurable Logic Cell) предоставляет возможность создания комбинационной и последовательной логических схем.

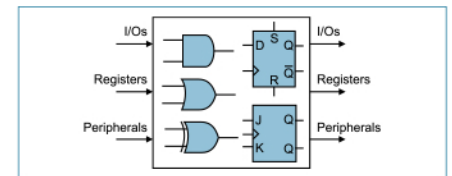


Рис. 1. Модуль конфигурируемых логических ячеек

Таблица 4.

| Контроллер                | Число выводов | Память программ, кбайт | ОЗУ  | EEPROM | Нап. питания, В    | Сегментов ЖКИ | АЦП, 10р/компаратор | ЕССР/ССР | Интерфейсы                          | Корпуса                                 |
|---------------------------|---------------|------------------------|------|--------|--------------------|---------------|---------------------|----------|-------------------------------------|---|
| PIC16LF1902               | 28            | 3,5                    | 128  | Эмул.  | 1,8–3,6            | 72            | 11/0                | –        | –                                   | SPDIP, SOIC, SSOP,<br>4x4 UQFN, die     |
| PIC16LF1903               | 28            | 7                      | 256  | Эмул.  | 1,8–3,6            | 72            | 11/0                | –        | –                                   | SPDIP, SOIC, SSOP,<br>4x4 UQFN, die     |
| PIC16LF1904               | 40/44         | 7                      | 256  | Эмул.  | 1,8–3,6            | 116           | 14/0                | –        | EUSART                              | PDIP, TQFP,<br>5x5 UQFN, die            |
| PIC16LF1906               | 28            | 14                     | 512  | Эмул.  | 1,8–3,6            | 72            | 11/0                | –        | EUSART                              | SPDIP, SOIC, SSOP,<br>4x4 UQFN, die     |
| PIC16LF1907               | 40/44         | 14                     | 512  | Эмул.  | 1,8–3,6            | 116           | 14/0                | –        | EUSART                              | PDIP, TQFP,<br>5x5 UQFN, die            |
| PIC16F1933<br>PIC16LF1933 | 28            | 7                      | 256  | 256    | 1,8–5,5<br>1,8–3,6 | 60            | 11/2                | 3/2      | EUSART, I <sup>2</sup> C, SPI       | SPDIP, SOIC, SSOP,<br>6x6 QFN, 4x4 UQFN |
| PIC16F1934<br>PIC16LF1934 | 40/44         | 7                      | 256  | 256    | 1,8–5,5<br>1,8–3,6 | 96            | 14/2                | 3/2      | EUSART, I <sup>2</sup> C, SPI       | PDIP, TQFP, 8x8 QFN,<br>5x5 UQFN        |
| PIC16F1936<br>PIC16LF1936 | 28            | 14                     | 512  | 256    | 1,8–5,5<br>1,8–3,6 | 60            | 11/2                | 3/2      | EUSART, I <sup>2</sup> C, SPI       | SPDIP, SOIC, SSOP,<br>6x6 QFN, 4x4 UQFN |
| PIC16F1937<br>PIC16LF1937 | 40/44         | 14                     | 512  | 256    | 1,8–5,5<br>1,8–3,6 | 96            | 14/2                | 3/2      | EUSART, I <sup>2</sup> C, SPI       | PDIP, TQFP, 8x8 QFN,<br>5x5 UQFN        |
| PIC16F1938<br>PIC16LF1938 | 28            | 28                     | 1024 | 256    | 1,8–5,5<br>1,8–3,6 | 60            | 11/2                | 3/2      | EUSART, I <sup>2</sup> C, SPI       | SPDIP, SOIC, SSOP,<br>6x6 QFN, 4x4 UQFN |
| PIC16F1939<br>PIC16LF1939 | 40/44         | 28                     | 1024 | 256    | 1,8–5,5<br>1,8–3,6 | 96            | 14/2                | 3/2      | EUSART, I <sup>2</sup> C, SPI       | PDIP, TQFP, 8x8 QFN,<br>5x5 UQFN        |
| PIC16F1946<br>PIC16LF1946 | 64            | 14                     | 512  | 256    | 1,8–5,5<br>1,8–3,6 | 184           | 17/3                | 3/2      | 2xEUSART, 2xI <sup>2</sup> C, 2xSPI | TQFP, 9x9 QFN                           |
| PIC16F1947<br>PIC16LF1947 | 64            | 28                     | 1024 | 256    | 1,8–5,5<br>1,8–3,6 | 184           | 17/3                | 3/2      | 2xEUSART, 2xI <sup>2</sup> C, 2xSPI | TQFP, 9x9 QFN                           |

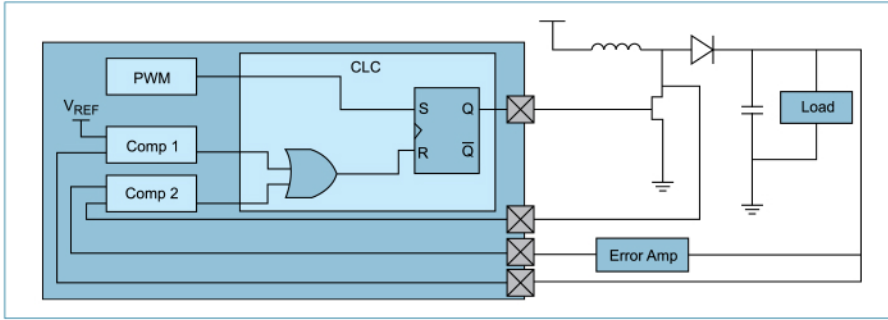


Рис. 2. Повышающий регулятор с аналоговой обратной связью

**Ключевые особенности:**

- Конфигурируемые пользователем логические схемы с возможностью программного изменения.
- Логические функции — И/ИЛИ/Исключающее ИЛИ/НЕ/И-НЕ/ИЛИ-НЕ/Исключающее ИЛИ-НЕ.
- Последовательная логика/Clock — D-триггер, JK-триггер, SR-триггер.
- Входные источники:
  - внешние выводы;
  - периферия.
- Выход доступен:
  - внешние выводы;
  - периферия.
- Работа в режиме Sleep.

**Достоинства:**

- Увеличивает число внутренних соединений между периферией и портами ввода/вывода.
- Добавляет аппаратные функции и сохраняет место на печатной плате.
- Программное управление комбинационной и последовательной логики — эффективное создание программируемых логических элементов.
- Программно управляемые логические функции уменьшают размер кода и не требуют процессорного времени.

**Примеры использования (рис. 2):**

- Модуляция данных.
- Последовательная выдача питания.
- Декодеры Манчестер/IrDA.
- Импульсные источники питания.
- Логика общего назначения.
- Умные системы управления.

Модуль конфигурируемых логических ячеек (CLC) доступен в следующих PIC-микроконтроллерах: PIC10F32x, PIC1xF150x.

**Генератор комплементарных сигналов (CWG — Complementary Waveform Generator).**

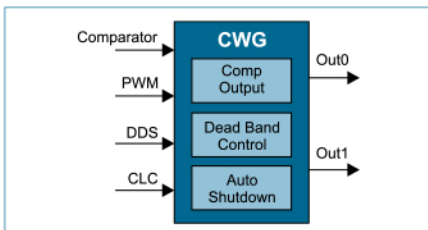


Рис. 3. Генератор комплементарных сигналов

**Ключевые особенности:**

- Формирование комплементарных сигналов без участия программы.
- Различные источники входных сигналов: компараторы, ШИМ, CLC, DDS.
- Контроль мертвого времени.
- Автоматическое выключение/рестарт.

- Управление полярностью.
- Blanking Control (only in PIC12 F752).
- Управление фазой (только в PIC12 F752).

**Достоинства:**

- Работа с различной периферией (рис. 4).
- Не требует внешних компонентов.

**Примеры применений:**

- Импульсные источники питания.
- Управление светодиодным и флюорисцентным освещением.
- Зарядники батарей.
- Управление двигателями.
- Корректоры мощности.
- Звуковые усилители класса D.

Применение функций модуля CWG (рис. 5) предоставляет дополнительные возможности управления мертвого времени и автовыключения.

Пример понижающего преобразователя для питания светодиодов показан на рис. 6:

- Частота модуля CWG определяется частотой ШИМ.

- CWG управляет мертвым временем для предотвращения одновременного открытия обоих ключей.
- Модуль CWG имеет дополнительные функции — автоматическое выключение, управление полярностью.

Доступен в следующих PIC-микроконтроллерах: PIC10F32X, PIC12F752, PIC1XF150X.

**Синтезатор частоты** (DDS — Direct Digital Synthesis) расширенные возможности ШИМ с линейным управлением частоты.

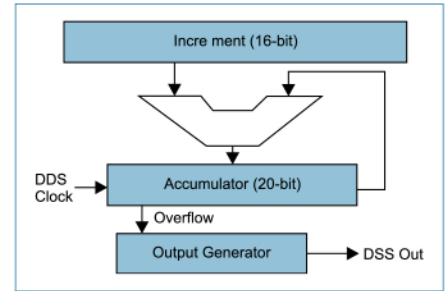


Рис. 7. Цифровой синтезатор частоты

**Ключевые особенности:**

- Выделенный ШИМ с 20-разрядным разрешением.
- Высокочастотный тактовый вход.
- Различные выходные режимы:
  - фиксированная скважность 50% (FDC — Fixed Duty Cycle);
  - частотно-импульсная модуляция (PFM).

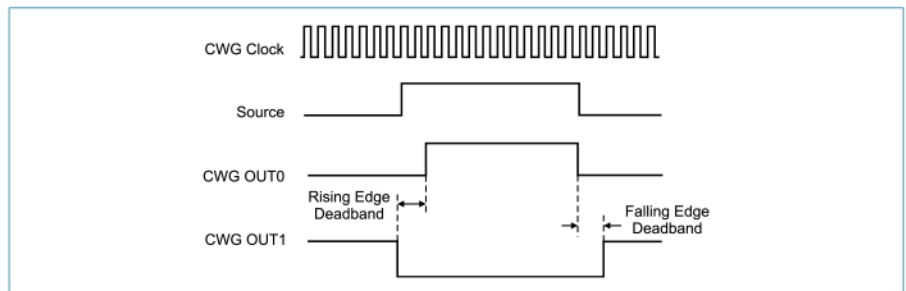


Рис. 4. Диаграмма работы модуля CWG

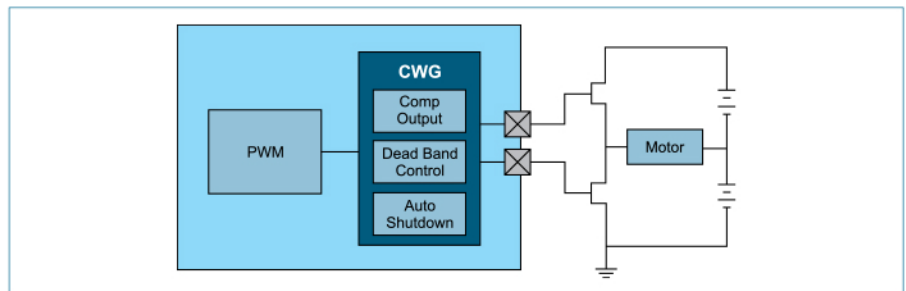


Рис. 5. Полумостовая схема с использованием CWG

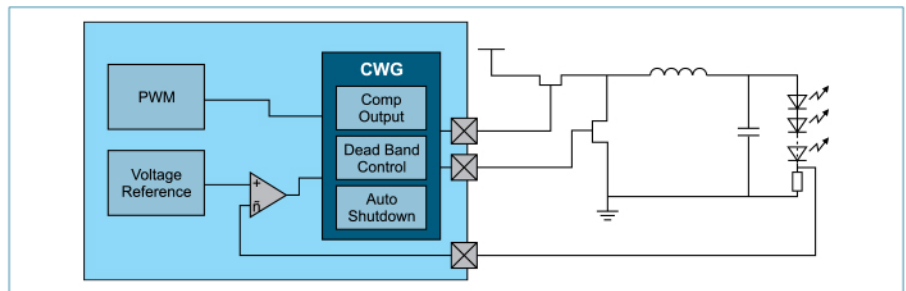


Рис. 6. Понижающий преобразователь для питания светодиодов

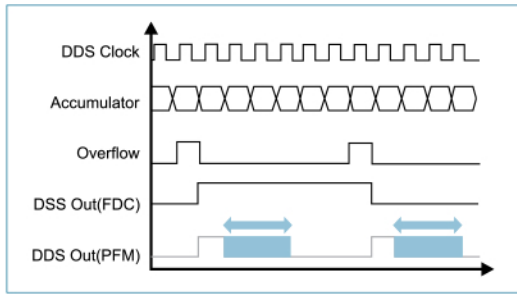


Рис. 8. Диаграмма работы синтезатора частоты

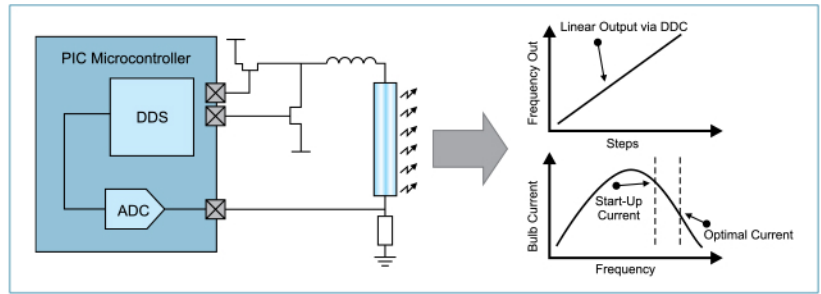


Рис. 9. Управление флюорисцентной лампой

**Достоинства (рис. 8):**

- Линейное управление частоты.
- Увеличенное частотное разрешение.
- Недорогой цифровой управляемый генератор (DCO — Digitally Controlled Oscillator).

**Примеры применений:**

- Управление флюорисцентными и светодиодными лампами.
- Управление неоновыми лампами.
- Световые балласты.
- Источники питания.
- Управление двигателями.
- Модемы.
- Звуковые усилители класса D.
- Ультразвуковые измерители расстояния.

**Пример управления фрюорисцентной лампой показан на рис. 9:**

- DDS используется для создания линейно-изменяющейся частоты на стартовом участке и управления яркостью.
- Уменьшение потребления и увеличение срока службы лампы.

Доступен в следующих PIC-микроконтроллерах: PIC10F32X, PIC1XF150X.

**Программируемый импульсный контроллер (PSMC — Programmable Switch Mode Controller) — специализированный ШИМ для импульсных источ-**

ников питания, управления двигателями и освещением (рис. 10).

**Ключевые особенности:**

- Работа на частоте 64 МГц независимо от системного тактового генератора.
- Один ШИМ-генератор до 6 выходов.
- До 3 комплементарных выхода от одного ШИМ.
- Push-pull ШИМ с поддержкой мостового и полумостового включения драйверов.
- Режим пропуска импульсов ШИМ.
- 3-фазный ШИМ.
- Режим с фиксированной скважностью.
- Управление коллекторными двигателями с поддержкой реверса.
- Индивидуально включение выходов с управлением полярности, мертвого времени.
- Режим Burst:
  - позволяет внешним сигналам активировать или запрещать вывод ШИМ;
  - диммирование.

**Достоинства:**

- Настраиваемый высокоскоростной ШИМ с увеличенной разрядностью.
- Упрощает реализацию таких задач как управление двигателями, создание импульсных источников питания и управления светодиодными лампами.

**Примеры применений:**

- Импульсные источники питания.

- DC/DC-преобразователи.
- Корректоры мощности.
- Управление светодиодной подсветкой и освещением.
- Автомобильные фары.
- Источник питания газоразрядных ламп.
- Электронные балласты.
- Управление двигателями — 3-фазными, коллекторными, БДПТ, асинхронными.
- Датчики — медицинские, температурные, давления.
- Управление зарядом батарей.
- Применения общего назначения, требующие высокочастотный ШИМ.

Пример понижающего источника питания светодиодной лампы показан на рис. 11:

- Увеличенная частота и контроль мертвого времени для синхронной работы ключей.
- Предоставляет автоматическое выключение, управления полярностью.

Доступен в следующих PIC-микроконтроллерах: PIC16F178x.

**Индикатор температуры — интегрированный температурный датчик.**

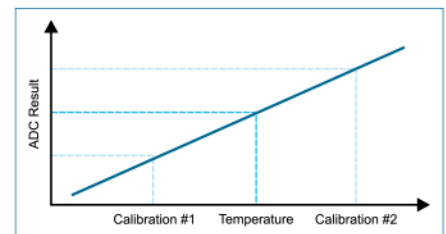


Рис. 12. Калибровка датчика температуры

**Ключевые особенности:**

- Измерение в диапазоне от -40 до +85 °C.
- Внутреннее соединение с АЦП: показания температурного канала АЦП зависят от температуры.
- Работа с датчиком описана в заметке по применению: AN1333.

**Достоинства:**

- Low cost temp measurements for any application
- Не требуются внешние элементы.
- Улучшение точности часов реального времени при изменении температуры позволяет использовать дешевые кварцы.

**Примеры применений (рис. 13):**

- Мобильные телефоны.
- Электронинструмент.
- Домашняя электроника.
- Любое устройство, требующее знание окружающей температуры.
- Автоматическое выключение устройства при перегреве.
- Устройства, требующие калибровки генератора от температуры.

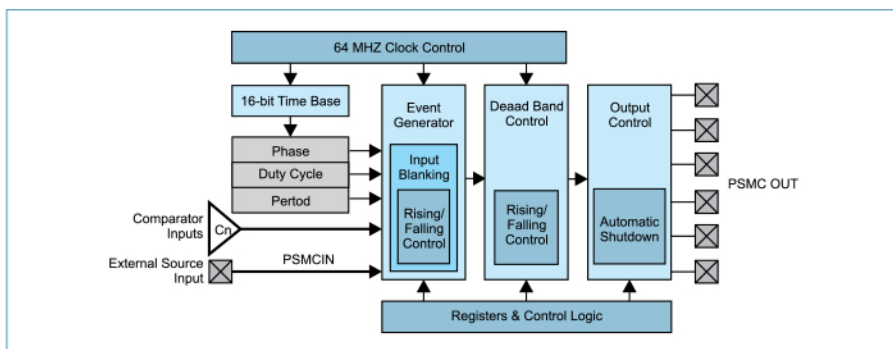


Рис. 10. Программируемый импульсный контроллер

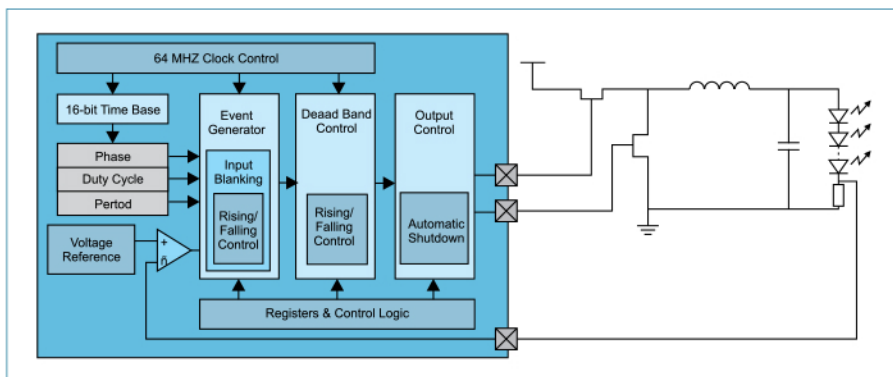


Рис. 11. Понижающий источник питания светодиодной лампы



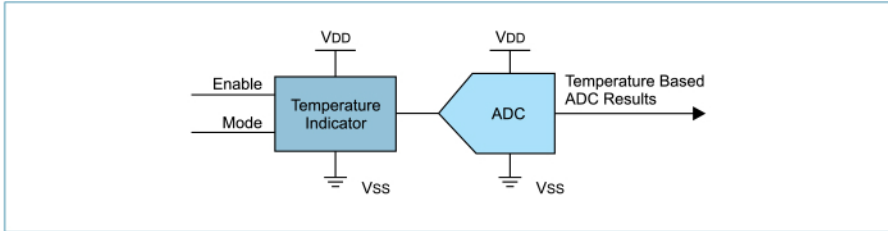


Рис. 13. Измерение температуры

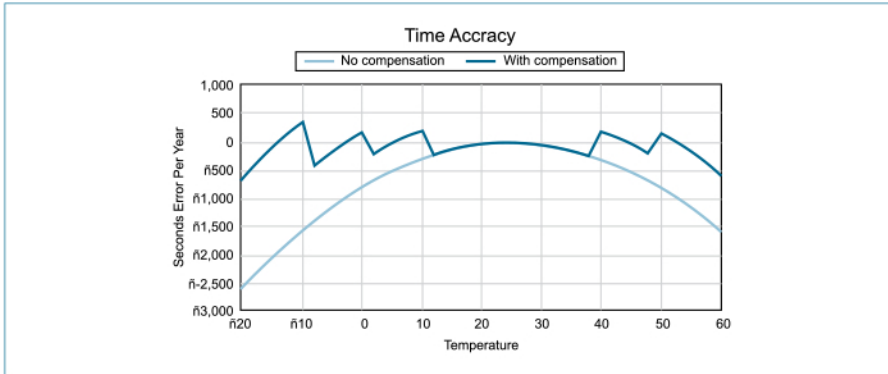


Рис. 14. Кварцевый генератор с температурной компенсацией

Возможность использования дешевых кварцев в приборах с широким температурным диапазоном (рис. 14).

Доступен в следующих PIC-микроконтроллерах: PIC10F32X, PIC16F72X, PIC1XF15XX, PIC16LF190X, PIC16F182X, PIC16F178X, PIC16F193X/4X, PIC18'K22.

**Модулятор сигналов**

(DSM — Data Signal Modulator) —

простое создание коммуникационных протоколов.

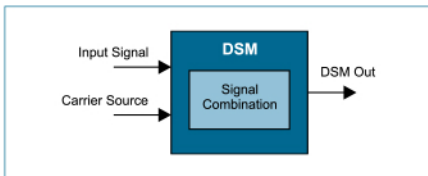


Рис. 15. Модуль модулятора сигналов

Ключевые особенности:

- Модулирование входного сигнала или внутренних источников.
- Создание произвольных битовых последовательностей.
- Источники сигнала могут быть промодулированы с помощью:
  - внешний вывод;
  - модуль тактовых опорных частот;
  - ШИМ;
  - UART/SPI/I<sup>2</sup>C;
  - программно;
  - внутренний компаратор.

Достоинства:

- Легко создается IrDA канал данных или AM, ЧМ и ФМ модулированные последовательности.

Примеры применений:

- Амплитудная манипуляция (ASK).
- Частотная манипуляция (FSK).
- Фазовая манипуляция (PSK).
- Модемы.
- IrDA-поток.
- Пользовательские интерфейсы.

Доступен в следующих PIC-микроконтроллерах: PIC16F182x/184x.

**SR-триггер (SR Latch) —**

интегрированный 555 таймер может многое.

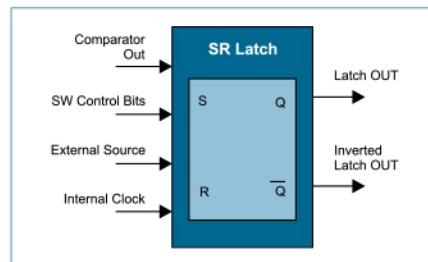


Рис. 16. SR-триггер

Ключевые особенности:

- Возможность совместной работы с встроенным компаратором.
- Источники установки и сброса триггера:
  - выход компаратора;
  - программное управление;
  - внешний вывод;
  - внутренний источник тактирования.
- Выход триггера доступен на внешнем выводе и для внутренней периферии.

Достоинства:

- Возможность сделать все, что можно сделать на 555 таймере.
- Создание дешевых генераторов сигналов.
- Несколько внешних компонентов.
- SR-триггер интегрирован в модуль CLC.

Примеры применений:

- Амплитудная манипуляция (ASK).
- Генератор сигналов.
- Импульсные источники питания.
- Управляемые напряжением генераторы.
- Генераторы.
- Управление яркостью ламп.
- Управление двигателями.
- Управляемый звуковой генератор.
- Сравнение фаз.

Аппаратный RS-триггер на выходе компараторов позволяют измерять временные интервалы, генерировать асинхронные импульсы и, как следствие, измерять емкость и реализовывать сенсорные клавиатуры. Microchip имеет запатентованную технологию реализации сенсорных (конденсаторных) клавиатур mTouch™, подробная информация о которой находится на сайте [www.microchip.com/mtouch](http://www.microchip.com/mtouch).

Доступен в следующих PIC-микроконтроллерах: PIC16F61X, PIC16F690 Family, PIC16F182X/4X, PIC16F88X, PIC16F193X/4X, PIC18'K22, PIC18'K50.

**Таймер с разрешением (рис. 17)**

(T1G — Timer 1 Gate) —

измерение длительности входных сигналов.

Ключевые особенности:

- Разрешение счета 16-разрядного таймера (TMR1) от внешнего сигнала.
- Разрешающий сигнал:
  - выходы компаратора;
  - таймер 0 (TMR0);
  - внешний вход (T1G вход).
- Источники тактирования:
  - внутренний генератор;
  - внутренний генератор с делителем на 4;
  - кварц генератора Timer 1.
- Разрешение счета от:
  - спада до спада;
  - спада до фронта;
  - фронта до фронта;
  - фронта до спада;
  - прерывание по завершению события.

Достоинства:

- Измерение длительности импульсов внутренних и внешних сигналов.
- Не требует внешних элементов.

Примеры применений:

- Дельта-сигма АЦП.
- Преобразование ШИМ-сигналов.
- Измерение длительности импульсов.
- Измерение частоты.

Доступен в следующих PIC-микроконтроллерах: PIC12F150X/151X, PIC16F61X Family, PIC16F690 Family, PIC16F72X, PIC16F182X/4X, PIC16F88X, PIC16F193X/4X, PIC18'K22.

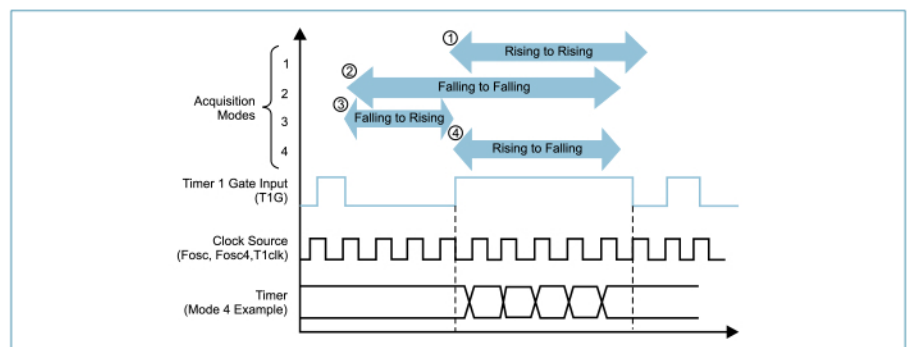


Рис. 17. Диаграмма работы таймера с разрешением

# МИКРОКОНТРОЛЛЕРЫ PIC18. ОБЗОР НОВЫХ СЕМЕЙСТВ

**Основное направление развития PIC18 — микроконтроллеры с 3-В ядром. Эта тенденция обусловлена значительным развитием и удешевлением технологий, а также лучшими характеристиками полученных кристаллов. Microchip ведет параллельное развитие двух 3-В технологий — контроллеров семейств J и K.**

Технология J первой была внедрена в микроконтроллеры PIC18FxxJ10 и явилась развитием семейства PIC18Fxx10 (первого 3-В семейства Microchip). На начальном этапе контроллеры J10 обладали небольшим количеством циклов перезаписи Flash и достаточным высоким энергопотреблением. Производились только в многовыводных корпусах, от 64 до 80. Однако, стоимость этого семейства была значительно ниже, чем у традиционных 5-В PIC18Fxxx.

Дальнейшее развитие технологии — семейство J11 и J13: контроллеры производятся с использованием технологии XLP. Помимо пониженного энергопотребления во всех режимах, улучшена технология Flash-памяти (10000 циклов перезаписи), повышена тактовая частота (48 МГц–12 MIPS), значительно расширен набор периферии. Производятся в корпусах от 28 до 80 выводов, имеют встроенный 10-битный АЦП или 12-битный для контроллеров семейств J13 и J53.

Новые гибридные микроконтроллеры PIC18F87J72 и PIC18F86J72 имеют всю необходимую периферию для построения высокоточных измерительных приборов — от электронных весов до счетчиков тепла и ресурсов: микроконтроллеры этой серии, поми-

мо 12-разрядного АЦП, содержат двухканальный 16/24-разрядный Дельта-Сигма АЦП с программируемым усилителем, драйвер ЖКИ, часы реального времени и модуль СТМУ для реализации сенсорных клавиатур.

Технология микроконтроллеров «К-серии» имеет 3-В питание ядра, но, по сравнению с J, имеет встроенную EEPROM память данных, что делает контроллеры К-серии полнофункциональной заменой для широко распространенных PIC18Fxx20 при 3-В питании.

Первыми в производство были запущены PIC18F45K20. Выгодными отличиями относительно производимого в то время J10 являлось наличие встроенной EEPROM памяти данных и встроенного стабильного генератора 16 МГц с возможностью умножения до 64 МГц.

Новые контроллеры серии K22 являются наиболее интересной и ожидаемой новинкой. Низкое потребление дешевого низковольтного ядра сочетается с 5-В портами и периферией, а встроенный регулятор напряжения позволяет использовать только одно напряжение питания. Таким образом, PIC18FxxK22 является прекрасной заменой для всех PIC18 в 5-В приложениях.

Наглядное сравнение семейств контроллеров представлено в таблице 1.

## ПЕРИФЕРИЯ PIC18

Помимо изменений в технологии производства PIC18, Microchip Technology Inc. переработал суще-

ствующую и добавил новую периферию в современные семейства.

### SR-триггер

Встроенный SR-триггер вкупе с аналоговыми компараторами позволяет организовать интересные аппаратные решения: измерение емкости (реализация емкостных клавиатур), формирование одиночных импульсов и частоты, схема задержки и т.д. Фактически, внутри организован конфигурируемый и программно управляемый функциональный аналог микросхемы таймера 555.

Модуль SR-триггера присутствует в контроллерах PIC18F14K22 и PIC18F14K50, а также во многих новых моделях PIC16.

### Модуль USB

В новые PIC18F14K50 и PIC18F46J50 встроен модуль USB, работающий в режиме Device. Он аналогичен модулю USB микроконтроллеров семейства PIC18F4550, для которого наработано много примеров программ как самим Microchip, так и сторонними разработчиками.

Реализация поддержки USB в микроконтроллерах PIC18F46J50 имеет особенность: напряжение на шине составляет 5 В, а питание микроконтроллера — 3,3 В. В случае необходимости поддержки питания вашего изделия от шины USB необходимо использовать понижающий стабилизатор с 5 на 3,3 В. Остальные цепи реализованы в самом модуле USB: трансивер и подтягивающие резисторы. Описание модуля, примеры работы с модулем и подготовка драйверов доступны на сайте [www.microchip.com/usb](http://www.microchip.com/usb)

### Peripheral Pin Select

Система PPS (peripheral pin select) позволяет назначать цифровую периферию на выходы микроконтроллера. Эта система позволяет более полно использовать возможности встроенной периферии, что особенно актуально для маловыводных 28-выводных корпусов, а также оптимизировать разводку печатной платы.

Максимально доступное количество выводов для переназначения — 22 (у контроллеров в 44-выводных корпусах).

Для переназначения доступны:

- USART.
- SPI.
- Входы таймеров.
- Входы захвата и выходы сравнения.
- Входы внешних прерываний.
- Выходы компараторов.

PPS изначально появился в контроллерах семейств PIC18F46J11 и PIC18F46J50, сейчас эта система доступна также и в некоторых PIC24.

### Часы реального времени с календарем

Встроенный модуль RTCC является полностью аппаратной реализацией часов реального времени с от-

Таблица 1. Сравнение семейств контроллеров

|                             | Напр. питания, В | Ток, мкА              | Стаб. питания ядра | Пост. память данных, циклов перезаписи | Макс. частота внутр. ген., МГц |
|-----------------------------|------------------|-----------------------|--------------------|--|--------------------------------|
| PIC18LFxx10                 | 2,0...5,5        | 550 при 1 МГц, 3,0 В  | внутр.             | нет                                    | 4 при 2,0 В / 40 при 4,2 В     |
| PIC18Fxx10                  | 4,2...5,5        | 1100 при 1 МГц, 5,0 В | внутр.             | нет                                    | 40                             |
| PIC18LFxxJ10                | 2,0...3,6        | 4000 при 1 МГц, 3,3 В | внутр./внеш.       | Flash, 1К                              | 4 при 2,0 В / 40 при 2,35 В    |
| PIC18FxxJ10                 | 2,7...3,6        | 4000 при 1 МГц, 3,3 В | внутр.             | Flash, 1К                              | 40                             |
| PIC18LFxxJ11<br>PIC18FxxJ50 | 2,0...3,6        | 1600 при 4 МГц, 2,5 В | внутр./внеш.       | Flash, 10К                             | 8 при 2,0 В / 48 при 2,35 В    |
| PIC18FxxJ11<br>PIC18FxxJ50  | 2,15...3,6       | 1600 при 4 МГц, 3,3 В | внутр.             | Flash, 10К                             | 8 при 2,15 В / 48 при 2,35 В   |
| PIC18F45K20                 | 1,8...3,6        | 600 при 1 МГц, 3,0 В  | внутр.             | EEPROM, 10К                            | 16 при 1,8 В / 64 при 3,0 В    |
| PIC18F1xK22                 | 1,8...3,6        | 220 при 1 МГц, 3,0 В  | нет                | EEPROM, 1М                             | 20 при 1,8 В / 64 при 2,7 В    |
| PIC18F1xK50                 |                  |                       |                    |  | 20 при 1,8 В / 48 при 2,7 В    |
| PIC18F1xK22                 | 1,8...5,5        | 270 при 1 МГц, 3,0 В  | внутр.             | EEPROM, 1М                             | 20 при 1,8 В / 64 при 2,7 В    |
| PIC18F1xK50                 |                  |                       |                    |  | 20 при 1,8 В / 48 при 2,7 В    |
| PIC18FxxK22<br>(28–44 выв)  | 1,8...3,6        | 250* при 1 МГц, 3,0 В | нет                | EEPROM, 1М                             | 20 при 1,8 В / 64 при 2,7 В    |
| PIC18LFxxK22<br>(28–44 выв) | 1,8...5,5        | 300* при 1 МГц, 3,0 В | внутр.             | EEPROM, 1М                             | 20 при 1,8 В / 64 при 2,7 В    |
| PIC18LFxxK22<br>(64–80 выв) | 1,8...3,6        | 410* при 1 МГц, 1,8 В | нет                | EEPROM, 1М                             | 4 при 1,8 В / 64 при 3 В       |
| PIC18FxxK22<br>(64–80 выв)  | 1,8...5,5        | 410* при 1 МГц, 1,8 В | внутр.             | EEPROM, 1М                             | 4 при 1,8 В / 64 при 3 В       |
| PIC18LFxxK90                | 1,8...3,6        | 410* при 1 МГц, 1,8 В | нет                | EEPROM, 1М                             | 4 при 1,8 В / 64 при 3 В       |
| PIC18FxxK90                 | 1,8...5,5        | 410* при 1 МГц, 1,8 В | внутр.             | EEPROM, 1М                             | 4 при 1,8 В / 64 при 3 В       |
| PIC18LFxxK80                | 1,8...3,6        | 280* при 1 МГц, 1,8 В | нет                | EEPROM, 100К                           | 4 при 1,8 В / 64 при 3 В       |
| PIC18FxxK80                 | 1,8...5,5        | 280* при 1 МГц, 1,8 В | внутр.             | EEPROM, 100К                           | 4 при 1,8 В / 64 при 3 В       |

четом секунд, минут, часов, дней, дней недели, месяцев и годов. Модуль работает в 24-часовом режиме, автоматически учитываются високосные годы. Дополнительно к отчету времени, есть возможность установки будильника с точностью до секунды, по срабатыванию которого генерируется прерывание и имеется возможность изменения состояния внешнего вывода RTCC. Опционально, на этот вывод можно выдавать секундные импульсы.

Тактирование модуля осуществляется от внешнего источника 32768 Гц (OCS2), либо от внутреннего 31 кГц. В случае тактирования от внутреннего генератора масштаб времени не будет соответствовать реальному.

Для точной подстройки хода часов имеется специальный регистр RTCCAL, с помощью которого можно подстроить ход с точностью  $\pm 2.64$  секунды в месяц. Все данные представляются программисту в двоично-десятичном виде, что значительно упрощает разработку ПО.

### Модуль измерения емкости и временных интервалов

СТМУ (charge/time measurement unit) предназначен для точного измерения внешних емкостей и асинхронных временных интервалов. Основа модуля — прецизионный источник тока (три диапазона 0,55; 5,5 и 55 мкА). За фиксированный промежуток времени (отсчитывается с помощью таймера) производится заряд измеряемой емкости. По прошествии этого промежутка измеряется накопленное на емкости напряжение (с помощью АЦП) и по формуле вычисляется значение емкости. Для точного измерения учитывается значение паразитной емкости. Дополнительная информация об измерении емкости доступна в инструкциях на сайте [www.microchip.com/mTouch](http://www.microchip.com/mTouch).

$$C_{\text{изм}} = (I_{\text{СТМУ}} \times t_{\text{ТМР}}) / V_{\text{АДЦ}} - C_{\text{пар}}$$

Модуль имеет до 13 входных каналов, что позволяет организовать на его основе простой и качественный опрос 13 сенсорных клавиш.

Для измерения и формирования задержки используется внешняя задающая емкость; с помощью встроенного компаратора отслеживается уровень напряжения на этой емкости и формируется импульс. Стоит отметить, что все необходимые коммутации и настройки производятся программно.

### Параллельный порт

С помощью параллельного порта (parallel master port) организуется аппаратная поддержка доступа к внешним периферийным устройствам, работающим по параллельной шине.

Таблица 2. Сводная таблица по доступной периферии

|                          | EEPROM | SR-триггер | USB | PPS | RTCC | CTMU | PMP | Ethernet | LCD | CAN/DSM | 12 бит АЦП |
|--------------------------|--------|------------|-----|-----|------|------|-----|----------|-----|---------|------------|
| PIC18FxxJ11              |        |            |     | +   | +    | +    | +   |          |     |         |            |
| PIC18FxxJ13              |        |            |     | +   | +    | +    | +   |          |     |         | +          |
| PIC18FxxJ50              |        |            | +   | +   | +    | +    | +   |          |     |         |            |
| PIC18FxxJ53              |        |            | +   | +   | +    | +    | +   |          |     |         | +          |
| PIC18FxxJ60              |        |            |     |     |      |      |     | +        |     |         |            |
| PIC18FxxJ90              |        |            |     |     |      |      |     |          | +   |         |            |
| PIC18F8xJ72              |        |            |     |     | +    | +    |     |          | +   |         | +          |
| PIC18FxxK20              | +      |            |     |     |      |      |     |          |     |         |            |
| PIC18F1xK22              | +      | +          |     |     |      |      |     |          |     |         |            |
| PIC18F1xK50              | +      | +          | +   |     |      |      |     |          |     |         |            |
| PIC18FxxK22 (28–44 выв.) | +      |            |     |     |      | +    |     |          |     |         |            |
| PIC18FxxK22 (64–80 выв.) | +      |            |     |     | +    | +    |     |          |     |         | +          |
| PIC18FxxK90              | +      |            |     |     | +    | +    |     |          | +   |         | +          |
| PIC18FxxK80              | +      |            |     |     | +    | +    |     |          |     | +       | +          |

Модуль имеет 8-битную шину данных и 16-битную шину адреса. Имеется возможность задания режима мультиплексирования шин, длительностей и полярностей управляющих сигналов: CS, BE, WR, RD.

### Контроллер Ethernet

Семейство PIC18FxxJ60 имеет встроенный контроллер Ethernet 10Mbit. Особенности семейства:

- IEEE 802.3 контроллер Ethernet
- Встроенный PHY-интерфейс
- Поддержка 10Base-T

Компания Microchip поддерживает и развивает бесплатный TCP/IP-стек, который помимо Ethernet, поддерживает беспроводные соединения с соединения с помощью Wi-Fi. Подробно о поддерживаемых протоколах и решениях для связи с помощью TCP/IP узнайте на сайте [www.microchip.com/TCP/IP](http://www.microchip.com/TCP/IP).

### Драйвер ЖК-индикаторов

Модуль для прямого управления ЖКИ присутствует в нескольких 8-разрядных семействах, в том числе и в PIC18FxxJ90 и PIC18FxxJ72. Микроконтроллеры J90 могут управлять индикаторами с максимальным количеством сегментов 192 штуки (48x4 общих) используя два вида диаграмм, генерируемых аппаратно.

Блок управления ЖКИ может работать в режиме Sleep.

### Модуль ECAN

В автомобильных применениях и промышленных сетях часто используется интерфейс CAN. Интерфейс последовательной шины CAN это высокоскоростной, высоконадежный протокол связи, созданный для применений, требующих гарантированной до-

ставки сообщений. Микроконтроллеры Microchip содержат модуль ECAN (Enhanced CAN — расширенный CAN), поддерживающий стандарт Bosh, протоколы DeviceNet и режим FIFO.

Модуль ECAN может работать в 3 режимах:

- В режиме «0» — это стандартный CAN-модуль, аналогичный PIC18Fxx8.
- В режиме «1» — расширенный режим с дополнительной поддержкой DeviceNet. В этом режиме добавляются 3 быстрых TX, 2 быстрых RX и 6 независимо конфигурируемых TX/RX-буферов. Доступны 16 фильтров, 2 маски и возможность автоматического RTR-ответа.
- В режиме «2» — FIFO-режим с поддержкой DeviceNet. Приемные буферы организуются в FIFO-очередь на 8 сообщений. Такая схема очень хорошо подходит для организации обмена между сетями (построение мостов, маршрутизаторов и т.д.)

### Модуль DSM

Модуль DSM (Data Signal Modulator) специализированный периферийный модуль, позволяющий модулировать высокочастотный сигнал. В качестве несущих частот выбирается внешний сигнал или внутренние сигналы от тактового генератора, модуля опорных частот, ШИМ и др., а модулирующий от коммуникационных интерфейсов (UART, SPI, I<sup>2</sup>C), компараторов. Модуль DSM позволяет получить AM, ФМ и ЧМ модулированные сигналы, что может пригодиться для организации проводного или ИК-канала связи.

Вся новая информация, документация, техподдержка доступна на сайтах: [www.microchip.com.ru](http://www.microchip.com.ru) и [www.microchip.com](http://www.microchip.com)

# 16-БИТНЫЕ КОНТРОЛЛЕРЫ MICROCHIP

Совсем недавно 16-битное семейство Microchip было представлено небольшим количеством микроконтроллеров, которые делились на более бюджетные (PIC24F) и высокопроизводительные с дополнительным ядром цифровой обработки сигналов (dsPIC33) и без него (PIC24H). Ну и конечно первые представители микроконтроллеров с 16-битным ядром и ядром ЦОС — dsPIC30. Внутри каждого се-

мейства контроллеры обладали схожей функциональностью и отличались исключительно по объему памяти и количеству выводов. При том явно занимая нишу над 8-битным, имея большее количество выводов и объем памяти.

Сегодня картина совершенно иная: в то время как 8-битные микроконтроллеры получили развитие в том числе и сторону увеличения памяти и количе-

ства выводов; 16-битные — в сторону уменьшения. А внутри семейств появилась целая плеяда подсемейств, адаптированных под различные цели. На данный момент в портфолио Microchip имеется порядка 200 16-битных контроллеров. В итоге, для ряда задач у разработчиков появился большой выбор, что позволяет подобрать оптимальный контроллер для конкретной реализации.

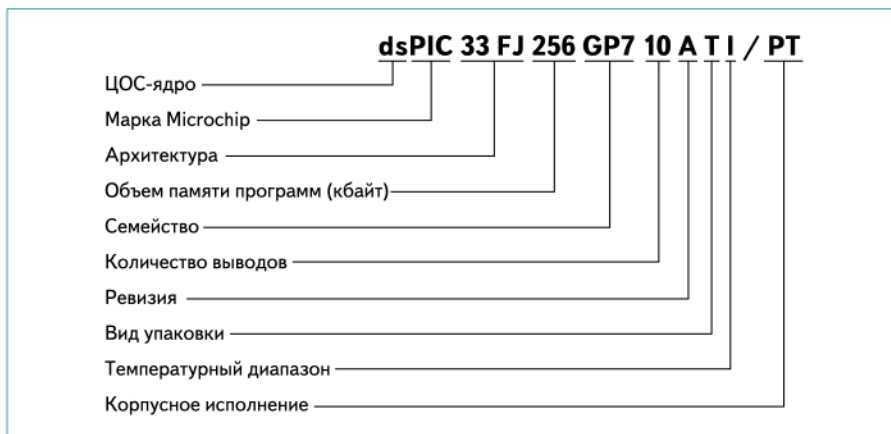
К основным новшествам, дополнившим возможности 16-битных семейств, можно отнести:

- технология сверхнизкого потребления nanoWatt XLP [1] — до 20 нА в режиме ожидания; до 195 мкА/МГц в рабочем режиме;
- новое семейство для построения интеллектуальных систем преобразования энергии:
  - до 8 высокоскоростных ШИМ с разрешением 1 нс со специализированными режимами,
  - до 4 компараторов (20 нс), каждый с интегрированным ЦАП,
  - до 2 10-битных высокоскоростных (4 Мвыборки/с) АЦП для минимальных задержек и высокой точности управления,
  - ЦАП 10-бит при 640 котсчетов/с,
- модуль FS USB On-The-Go с бесплатным стеком USB-протоколов:
  - USB Host,
  - USB Device,
  - USB Dual Role,
  - USB OTG,
- встроенный EEPROM до 512 байт;
- возможность программного переназначения выводов — PPS;
- новая периферия:
  - модуль измерения времени/заряда (CTMU),
  - до 4 UART, 3 SPI, 3 I<sup>2</sup>C в одном контроллере;
  - 16-битный ЦАП,
- расширенный температурный диапазон –40...+140 °C;
- от 4 до 256 кбайт Flash-памяти; от 256 байт до 30 кбайт RAM;
- до 5 16-битных таймеров + 9 модулей захвата с независимыми временными базами + 9 модулей сравнения также с независимыми временными базами (и того до 23 независимых прерываний по таймерам);
- малые корпуса до 18 выводов (5x5 мм).

Данная статья представляет обзор семейств 16-битных микроконтроллеров с кратким описанием имеющихся семейств.

Общие характеристики 16-битных микроконтроллеров PIC24 и dsPIC33:

- выполнение команды за 2 такта генератора;
- гарантированное время отклика на прерывание — 5 командных тактов;
- доступ к памяти (в том числе инструкции чтения-модификации-записи) за 1 командный такт;
- аппаратный умножитель;
- аппаратный делитель 16/16 и 32/16 чисел (17 командных тактов);
- внутрисхемное и самопрограммирование;
- особенности генератора:
  - встроенные RC-генераторы:
    - высокоскоростной, обеспечивающий максимальную производительность, с поддержкой PLL,
    - микрopotребляющий 32 кГц,
  - монитор тактирования с автоматическим переходом на встроенный генератор в случае сбоя внешнего,
  - дополнительный генератор для часов реального времени,
  - возможность программного изменения источника тактирования,
  - возможность старта и работы на встроенном RC-генераторе до стабилизации внешнего,
- возможность задержки старта контроллера до стабилизации питания;



- ток портов ввода/вывода общего назначения — 18 мА;
- порты толерантны к устройствам с 5 В питанием;
- стандартные системные мониторы POR, BOR, WDT;
- аппаратные часы реального времени (RTCC);
- 16-битные таймеры с возможностью объединения в 32-битные;
- аппаратный подсчет CRC;
- богатая периферия, ряд дополнительных возможностей и особенностей — подробнее в обзоре по семействам.

Далее будут рассмотрены отличительные особенности разных семейств 16-битных микроконтроллеров:

### PIC24F

PIC24F — младшее семейство 16-битных микроконтроллеров от Microchip, общие характеристики семейства:

- 10-бит АЦП 500 квыборок/с,
- быстродействие 16 MIPS при 32 МГц,
- встроенный RC-генератор 8 МГц (x 4 PLL) обеспечивает максимальную производительность,
- расширенная периферия: I<sup>2</sup>C, SPI, UART с поддержкой LIN/IrDA,
- диапазон питающих напряжений 2...3,6 В,
- 8-битный параллельный порт для подключения высокоскоростных устройств (память, TFT/AMOLED дисплей и т.п.), \* кроме семейства «КА».

Отличительные особенности и дополнительные функции расписаны далее по семействам.

**PIC24FJ "GA006/GA008/GA010"** — родоначальники семейства, дешевые контроллеры общего назначения с большим количеством портов ввода/вывода и все стандартной микроконтроллерной периферией:

- TQFP-корпуса от 64 до 100 выводов,
- от 64 до 128 кбайт Flash-памяти,
- 8 кбайт RAM,
- 2 UART/2 SPI/2 I<sup>2</sup>C,
- 5 модулей захвата/сравнения/ШИМ,
- 5 16-битных таймеров,
- 16 каналов АЦП с общим УВХ,
- 2 компаратора,
- 16-битный аппаратный генератор CRC,
- 5 16-битных таймеров,
- температурный диапазон (–40...+85 °C).

**PIC24FJ "GA002/GA004"** — расширение семейства "GA010" в сторону уменьшения количества выводов и объема памяти с дополнением возможностей, а именно:

- различные корпусные исполнения от 28 до 44 выводов,
- от 16 до 64 кбайт Flash-памяти,

- 16 кбайт RAM,
- до 13 каналов АЦП,
- возможность программного переназначения выводов (PPS),
- 2 UART/2 SPI/2 I<sup>2</sup>C,
- детектор снижения напряжения питания (LVD),
- температурный диапазон до (–40...+125 °C).

**PIC24FJ "GA106/108/110"** — дальнейшее развитие семейства "GA010" в направлении увеличения памяти программ, RAM и расширения периферии. Отличия от "GA010":

- от 128 до 256 кбайт Flash-памяти,
- от 4 до 8 кбайт RAM,
- возможность программного переназначения выводов (PPS),
- 16 каналов АЦП,
- 4 UART/3 SPI/3 I<sup>2</sup>C,
- 9 модулей захвата/сравнения/ШИМ с независимыми источниками тактирования:
  - любой из 5 таймеров, с возможностью использования 32-битного таймера, или непосредственно тактовый генератор,
  - источники запуска: АЦП, CTMU, компараторы, таймеры, другие каналы модуля захвата/сравнения,
- 3 компаратора,
- модуль измерения времени/заряда (CTMU),
- температурный диапазон до (–40...+125 °C)

**PIC24FJ "GA102/104"** — дальнейшее развитие семейства "GA110" в сторону уменьшения количества выводов и объема памяти с дополнением возможностей, в том числе существенное уменьшение энергопотребления за счет технологии NanoWatt XLP [1], а именно:

- технология сверхмикрopotребления NanoWatt XLP [1],
- от 32 до 64 кбайт Flash-памяти,
- 8 кбайт RAM,
- возможность программного переназначения выводов (PPS),
- до 13 каналов АЦП,
- 2 UART/2 SPI/2 I<sup>2</sup>C,
- 5 модулей захвата/сравнения/ШИМ (аналогичных "GA110"),
- 32-битный генератор CRC,
- температурный диапазон до (–40...+85 °C)

**PIC24FJ "GB106/108/110"** — те же контроллеры PIC24 "GA106/GA108/GA110" с USB 2.0 OTG. Свойства USB 2.0 OTG:

- полное соответствие спецификации USB 2.0 Full Speed (12 Мбит/с)
- возможность питания схемы от USB (встроенный стабилизатор 5,0 ≥ 3,3 В)

**PIC24FJ "GB002/004"** — те же контроллеры PIC24 "GA102/GA104" с модулем USB 2.0 OTG аналогичным модулю в "GB110"

**PIC24F "KA"** — младшее семейство 16-битных микроконтроллеров от Microchip, выполненное по технологии "K", общие характеристики семейства:

- технология сверхмикрощипотребления NanoWatt XLP [1],
- диапазон питающих напряжений 1,8...3,6 В,
- температурный диапазон (-40...+125 °C),
- от 4 до 16 кбайт памяти программ,
- от 0,5 до 1,5 кбайт RAM,
- до 512 байт EEPROM,
- от 14 до 28 выводов,
- 2 компаратора,
- программируемый BOR, и детектор снижения напряжения (PLVD),
- до 9 каналов 10-бит АЦП 500 квыборок/с.
- 1 I<sup>2</sup>C, SPI, до 2 UART с поддержкой LIN и IrDA,
- 3 16-битных таймера,
- 1 модуль захвата/сравнения/ШИМ.

Различные режимы энергопотребления: ток в режиме Sleep менее 20 нА, WDT — 420 нА, RTCC — 520 нА, 195 мкА/1 МГц в рабочем режиме работы в совокупности с 16-битной математикой, маловыводными корпусами и наличием основной стандартной периферии микроконтроллера делает данное семейство идеальным для всевозможных устройств с батарейным питанием.

## PIC24H И DSPIC33

**PIC24H** и **dsPIC33** имеют более высокопроизводительное 16-битное ядро и отличаются наличием дополнительного ядра цифровой обработки сигнала (ЦОС). Общие характеристики:

- быстродействие 40 MIPS при 80 МГц,
- встроенный RC-генератор 7,37 МГц (x PLL = 80 МГц) обеспечивает максимальную производительность 40 MIPS,
- напряжение питания 3...3,6 В
- расширенная периферия: I<sup>2</sup>C, SPI, UART,
- программируемый BOR, POR, WDT,
- многоуровневая система защиты кода (Code Guard),
- в зависимости от семейств могут быть:
  - до двух АЦП: 10- или 12-бит АЦП до 2 Мвыборок/с,
  - ЦАП 16-бит, 500 котчетов/с,
  - расширенная периферия: I<sup>2</sup>C, SPI, UART с поддержкой LIN/IrDA,
  - 8-битный параллельный порт для подключения высокоскоростных устройств,
  - Модуль прямого доступа к памяти (DMA),
  - температурный диапазон до (-40...+140 °C),
  - и многое другое — подробнее в обзоре по семействам.

Ядро цифровой обработки сигнала (DSP) включает следующие основные функциональные блоки:

- массив из 16 16-разрядных ячеек (2 с «теневыми» ячейками для быстрого контекстного переключения между основной задачей и прерываниями),
- высокоскоростной аппаратный умножитель 17 бит × 17 бит (1 цикл),
- многорегистровое устройство циклического сдвига,
- 40-разрядный регистр накопления/вычитания,
- два 40-разрядных аккумулятора,
- логика насыщения и округления результата,
- \* подробнее в описании на конкретный контроллер.

**PIC24H/dsPIC33 "GP"** — микроконтроллеры общего назначения.

Микроконтроллеры и контроллеры цифровой обработки сигнала семейства "GP" имеют целый ряд всевозможных сочетаний различных функций, позволяющих подобрать наиболее оптимальный контроллер под каждую задачу. Переименования по подсемействам настолько разнообразны, что строгое разделение не имеет большого смысла. Очертим только границы возможных вариантов от самых простых контроллеров (GP201/202) с малым числом выводов, минимумом периферии, памяти и т.п.:

- температурный диапазон (-40...+125 °C),
- 12 кбайт памяти программ,
- 1 кбайт RAM,
- 18 или 28 выводов,
- программное переназначение выводов,
- до 10 каналов АЦП:
  - 10 бит 1100 квыборок/с,
  - 12 бит 500 квыборок/с,
- 3 16-битных таймера,
- 4 модуля захвата, 2 модуля сравнения/ШИМ
- до высокопроизводительных с расширенными возможностями (GP5xxA, GP7xxA, GP8xx), включающими:
  - для работы в сложных условиях:
    - температурный диапазон (-40...+140 °C),
  - CAN:
    - до 2 модулей расширенных модулей ECAN,
    - стандартный CAN (аналогичный CAN у 8-битного семейства),
  - АЦП:
    - 2 АЦП (с независимыми УВХ),
    - 1.1 Мвыборок/с,
    - 32 канала,
    - 10-бит и 12-бит,
  - ЦАП \*только в dsPIC33\*:
    - 100 котчетов/с,
    - 16-бит,
  - корпусные исполнения до 100 выводов,
  - до 30 кбайт RAM,
  - до 256 кбайт памяти программ,
  - 2 SPI, 2 I<sup>2</sup>C, 2 UART с поддержкой LIN, IrDA,
  - 8 каналов DMA (ПДП),
  - аппаратный модуль CRC,
  - аппаратные часы реального времени RTCC,
  - 8-битный параллельный порт,
  - 8 модулей захвата/сравнения/ШИМ,
  - 9 16-битных таймеров,
  - 2 компаратора,
  - программное переназначение выводов,
  - интерфейс DCI (I<sup>2</sup>S/AC97).

**dsPIC33 "MC"** — цифровые сигнальные контроллеры «моторной» серии, предназначенные для создания систем управления различными электродвигателями. Также, как и серия "GP", включает ряд подсемейств обладающих различной функциональностью. Вдобавок к функциональности серии "GP" моторное семейство имеет:

- интерфейс квадратурного энкодера (до двух модулей),
- специализированный моторный модуль ШИМ:
  - до 8 каналов,
  - настройка рабочего цикла (4 независимых набора),
  - переключение частоты тактирования ШИМ «на ходу»,

– гибкая настройка ШИМ-генератора с учетом задержек на переключение мощных MOSFET транзисторов (dead-time),

– режимы работы:

- "free running",
- "single event",
- "Up/Down Counting",
- "Up/Down Counting" с двойным обновлением рабочего цикла,

– режимы генерации выходного ШИМ-сигнала:

- стандартный одноканальный режим (в том числе центрированный),
- комплементарный одноканальный режим,
- независимые выходы.

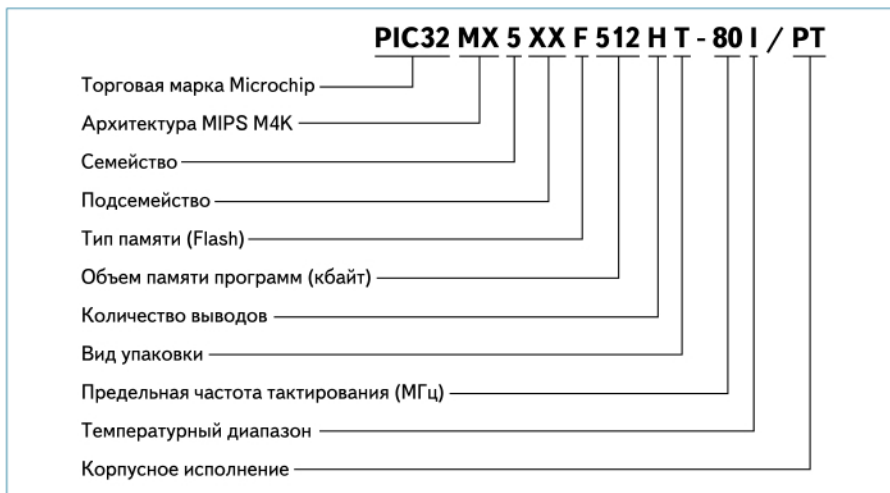
**dsPIC33 "GS"** — цифровые сигнальные контроллеры для создания интеллектуальных источников питания и всевозможных преобразователей мощности. Основные дополнения по отношению к семейству "MC":

- 4 высокоскоростных компаратора (20 нс) для динамичного управления ШИМ, АЦП, ЦАП,
- высокоскоростной АЦП 10 бит при 4 Мвыборки/с,
- ЦАП 10 бит при 640 котчетов/с,
- Специализированные режимы ШИМ (SMPS):
  - стандартный одноканальный режим (повышающие, понижающие и инвертирующие DC/DC-преобразователи малой мощности),
  - режим с независимыми базой и рабочим циклом,
  - комплементарный одноканальный режим (повышающие, понижающие и инвертирующие DC/DC-преобразователи средней мощности),
  - двухтактный режим (гальванически развязанные DC/DC-преобразователи на основе трехобмоточного трансформатора со средней точкой),
  - многофазный режим (мощные инверторы и источники бесперебойной питания — UPS),
  - режим с изменяющейся фазой (мощные DC/DC-преобразователи с высоким КПД),
  - режим управления скважностью в зависимости от тока (корректор коэффициента мощности),
  - режим частотного управления с фиксированным временем выключенного состояния транзистора (повышающие, понижающие и инвертирующие DC/DC-преобразователи малой и средней мощности).

Преимуществом Microchip, помимо гибкого сочетания функций в контроллерах, всегда являлась обширная техническая поддержка, которая включает подробные описания модулей с примерами применения, а также программные стеки и библиотеки наиболее востребованных в современных встроенных системах коммуникационных протоколов в строгом соответствии со спецификациями, алгоритмы управления двигателями разных типов, преобразования энергии, обработки аудио и т.д. Все они сведены на странице [www.microchip.com/codeexamples](http://www.microchip.com/codeexamples), где предоставлен удобный поиск по применению и семействам контроллеров. Вкупе с обилием демонстрационных наборов под различные семейства у любого разработчика есть возможность быстро и эффективно начать освоение 16-битных PIC-контроллеров, а единство отладочных средств, среды разработки, совместимость по выводам и общий компилятор позволяют гибко мигрировать между контроллерами различных семейств. Более подробная информация на сайте [www.microchip.com/16bit](http://www.microchip.com/16bit). ■

[1] — подробнее о технологии NanoWatt XLP читайте в статье «технологии NanoWatt и NanoWatt XLP» информационного каталога «Microchip 2010»

# 32-БИТНЫЕ КОНТРОЛЛЕРЫ MICROCHIP



Семейство 32-разрядных микроконтроллеров PIC32 — самое производительное в линейке контроллеров Microchip. Контроллеры PIC32 построены на ядре MIPS32 M4K ([www.mips.com](http://www.mips.com)), основные характеристики которого:

- 32-битная RISC Load-Store архитектура,
- предельная тактовая частота 80 МГц,
- 1,56 DMIPS/МГц,
- 256 байт кеш-памяти,
- набор 16-битных инструкций (уменьшение объема кода до 60%),
- отдельный блок умножения-деления (MDU):
  - независимый итерационный конвейер:
    - запуск 1 инструкции,
    - работает отдельно от конвейера ядра,
  - оптимизирован по скорости выполнения:
    - $32 \times 32 = 32-1$  такт,
    - $32 \times 32 = 64-2$  такта,
    - $32\% 32 = 32/32-12 \dots 33$  такта,
  - умножитель имеет отдельный 64-битный аккумулятор:
    - возможно сохранение результата в аккумуляторе или в ПОИ,
    - выполнение операции умножения с накоплением (MAC) за 1 такт,
- 32 регистра ядра + дополнительный «теневой» набор (для быстрого контекстного переключения между основной задачей и высокоприоритетными прерываниями),
- выполнение кода из SRAM,
- быстрая работа с портами ввода/вывода (с частотой тактирования),

- единое адресное пространство,
  - разделенные шины данных и инструкций:
    - одновременный запрос инструкции и данных,
  - 5-ступенчатый конвейер:
    - использование результата предыдущей инструкции без задержки на завершение операции,
  - ядро может работать с частотой выше частоты доступа к памяти,
  - разделенные частотные домены ядра и периферии,
  - более подробно о ядре в статье «новые 32-разрядные микроконтроллеры Microchip» информационного каталога «Microchip 2010».
- Далее будут рассмотрены отличительные особенности разных семейств 32-битных микроконтроллеров.
- Семейства:
    - «3» — родоначальники линейки 32-разрядных микроконтроллеров, стандартная микроконтроллерная периферия
    - «4» — семейство с USB OTG 2.0 Full Speed,
    - «5» — семейство с USB OTG 2.0 Full Speed и модулем CAN,
    - «6» — семейство с USB OTG 2.0 Full Speed и модулем Ethernet,
    - «7» — семейство с USB OTG 2.0 Full Speed, двумя модулями CAN и модулем Ethernet,
  - Подсемейства:
    - «20» — без DMA (ПДП) и трассировки,
    - «40» — с модулем прямого доступа к памяти (DMA),

- «60» — с модулем прямого доступа к памяти (DMA) и возможностью трассировки,
- Количество выводов:
  - «Н» — 64 вывода,
  - «L» — 100 (или 121) выводов,
- Вид упаковки:
  - «Т» — на ленте,
- Корпусное исполнение:
  - «РТ» — TQFP-корпус с шагом 0,4 мм,
  - «PF» — TQFP-корпус с шагом 0,5 мм,
  - «ML» — QFN-корпус,
  - «BG» — BGA-корпус.

Общие характеристики базовых семейств микроконтроллеров PIC32MX3/4xx описаны в статье «новые 32-разрядные микроконтроллеры Microchip» информационного каталога «Microchip 2010». Новые семейства PIC32MX5/6/7xx получили следующие дополнения относительно PIC32MX3/4xx:

- 8 каналов DMA,
- до 8 дополнительных каналов DMA для CAN, Ethernet и USB,
- до 130 кбайт RAM,
- расширенная периферия:
  - 6 UART,
  - 5 SPI,
  - 4 I<sup>2</sup>C
- до двух модулей CAN:
  - полное соответствие спецификации CAN 2.0 b,
  - 1024 буфера для приема/передачи,
- 10/100 Ethernet MAC:
  - интерфейс RMII/MII — для выхода в сеть требуется подключение стандартной микросхемы интерфейса физического уровня,
  - каждый контроллер снабжен уникальным MAC-адресом, зарегистрированным в IEEE.

Следует обратить внимание, что PIC32 совместимы по выводам с PIC24 и имеют общие среду разработки и отладку, что позволяет достаточно легко осуществить перевод проекта с PIC24 на PIC32 в случае недостаточной производительности 16-битного микроконтроллера для выполнения поставленной задачи. Также на PIC32 распространяется обширная техническая поддержка со стороны Microchip и сторонних компаний, включающая наиболее востребованные программные библиотеки с примерами применения, целые стеки протоколов, операционные системы реального времени и т.д. Большинство ресурсов предоставляются бесплатно и доступны для скачивания с сайтов [www.microchip.com/PIC32](http://www.microchip.com/PIC32) и [www.microchip.com/codeexamples](http://www.microchip.com/codeexamples). ■

Компания Microchip представляет 6 новых микроконтроллеров семейств PIC32MX5/6/7 с увеличенным объемом памяти, выполненной по новой технологии. Новые контроллеры имеют более низкую стоимость, помимо этого, уменьшено энергопотребление (0,5 мА/МГц), увеличено количество циклов перезаписи (до 20 000 циклов) и, соответственно, улучшена эмуляция EEPROM. Новые PIC32 совместимы по выводам с другими представителями семейств, что дает возможность простого перехода при необходимости оптимизации объема памяти, производительности и цены.

Основные особенности:

- 6 новых представителей PIC32, отличающиеся объемом памяти и корпусами
- Меньшее энергопотребление, выше надежность памяти Flash
- Простая миграция внутри семейства

Микроконтроллеры имеют тактовую частоту 80 МГц, что позволяет разработчикам снизить цену конечного изделия, не жертвуя при этом производительностью или функциональностью. Производительность ядра MIPS32 M4K — лучшая в классе 32-разрядных микроконтроллеров, составляющая 1,56 DMIPS/МГц и встроенная коммуникационная периферия (Ethernet,

CAN, USB, последовательные порты) дополняют широкие возможности новых представителей PIC32, имеющих 32 кбайт ОЗУ и до 140 кбайт Flash. Они доступны в пяти типах корпусов: 100-выводные TQFP 12x12 мм, TQFP 14x14 мм и BGA, а также 64-выводные TQFP и QFN.

Области применения новых PIC32:

- Коммуникация. POS-терминалы, встраиваемые WEB-серверы, мосты и преобразователи протоколов.
- Промышленная электроника.
- Медицина.
- Системы безопасности.
- Автомобильная электроника. Сигнализации, системы слежения, маршрутные компьютеры.
- Бытовая техника. Аудио, MP3, дисплеи, спортивная электроника.

Для начала работы с PIC32 доступно два стартовых набора PIC32 Ethernet Starter Kit (DM320004) и PIC32 USB Starter Kit II (DM320003-2). Также есть plug-in модуль (MA320003) для платы Explorer 16 Development Board (DM240001).

Дополнительная информация — по ссылке [www.microchip.com/pic32](http://www.microchip.com/pic32)

# ЭФФЕКТИВНОЕ УПРАВЛЕНИЕ ПИТАНИЕМ ПОРТАТИВНЫХ УСТРОЙСТВ

*Энергопотребление электронного устройства является важной характеристикой, влияющей на выбор того или иного изделия. В особенности, это актуально для портативных устройств, которые в силу своих массогабаритных показателей имеют острый энергодефицит.*

В схеме любого электронного устройства имеется блок питания: в простейшем случае представляющий напрямую подключенную батарейку, более сложный — параметрический стабилизатор или, имеющий наиболее расширенные характеристики, импульсный источник питания. От эффективности работы блока питания зависит потребление всей системы.

Microchip Technology Inc., являющийся мировым лидером в производстве сверхнизкопотребляющих микроконтроллеров по технологии XLP, предлагает разработчикам широкий спектр компонентов для построения эффективных питающих цепей электронных устройств.

Вторым аспектом энергопитания портативного устройства является заряд встроенных аккумуляторов. На современном рынке представлены аккумуляторные батареи, производимые по разным технологиям, наиболее востребованными из которых являются Ni-MH, Li-Ion и Li-Po. Для их корректной работы в цикле заряда требуется специальный контроллер заряда, который поддерживает оптимальные параметры работы, а также защищает батареи от разрушения. Последнее особенно важно для Li-Po батарей, так как их разрушение в процессе работы сопровождается возгоранием.

В портфолио Microchip также есть микросхемы для управления зарядом аккумуляторов.

Микросхемы источников питания, производимые Microchip, можно разделить на линейные стабилизаторы с низким падением напряжения (LDO, Low DropOut) и на импульсные стабилизаторы, которые, в свою очередь, делятся на инверторы (boost, buck) и схемы на переключаемых конденсаторах (charge pump).

Контроллеры заряда аккумулятора условно делятся на три подсемейства по комплексности и наборе функций.

Рассмотрим подробнее характеристики и функции представленных микросхем.

## ЛИНЕЙНЫЕ СТАБИЛИЗАТОРЫ LDO

Основными преимуществами линейных стабилизаторов являются простота, отсутствие наводимых помех и минимум элементов.

Наиболее актуальными к применению линейными стабилизаторами являются микросхемы семейств MCP1703 и MCP1790. Основные параметры микросхем представлены в таблице 1.

MCP1703 представляет из себя линейный регулятор напряжения с низким падением напряжения и со сверхнизким собственным током потребления. Широкий диапазон входного напряжения от 2,7 до 16 В делают его незаменимым для систем

Таблица 1. Линейные стабилизаторы

|  | MCP1703  | MCP1790/MCP1791                    |
|--|--|------------------------------------|
| Входное напряжение, В                          | 2,7...16   | 6...48                             |
| Входное напряжение в продолжительном режиме, В | 16   | 30                                 |
| Выходное напряжение, В                         | 1,2-1,5-1,8-2,5-2,8-3,0-3,3-4,0-5,0                | 3,0-3,3-5,0                        |
| Выходной ток, макс, мА                         | 250  | 70                                 |
| Собственный ток потребления, мкА               | 2  | 70                                 |
| Точность регулирования                         | ±0,4% при +25°C и ±3% во всем диапазоне температур | ±2,5% во всем диапазоне температур |
| Диапазон рабочих температур, °C                | -40...+125   | -40...+125                         |
| Защита по температуре                          | +  | +                                  |
| Защита по короткому замыканию                  | +  | +                                  |

с питанием от набора щелочных батарей, 9 В батарей, Li-Ion аккумуляторов. Максимальный выходной ток стабилизатора составляет 250 мА, типовое значения собственного тока потребления — 2 мкА.

Выходное напряжения регулятора — фиксированное и выбирается из стандартного ряда 1,2-1,5-1,8-2,5-2,8-3,0-3,3-4,0-5,0 В. Заводская точность калибровки напряжения составляет 3%, линейность регулятора — 0,1%. Выходное напряжение закодировано в обозначении позиции — первые две цифры после дефиса, например, MCP1703T-3302E/CB — стабилизатор с выходным напряжением 3,3 В.

Встроенные защиты от короткого замыкания и перегрева позволяют применять эти микросхемы в высоконадежных применениях. Для стабильной работы микросхем требуются только керамические конденсаторы 0,1 мкФ.

MCP1790 и MCP1791 ориентированы, в первую очередь, на автомобильное применение 12/24 В, так как имеют максимально допустимое входное напряжение 48 В. Выходное напряжение — заданные производителем 3,0-3,3-5,0 В с точностью 0,2% и регулированием 0,0002%.

Максимальный выходной ток — 70 мА, зависит от диапазонов напряжения и типа корпуса. Например, стабилизатор MCP1790 в корпусе SOT-223-5 может обеспечить в течении продолжительного времени выходной ток 50 мА при напряжении 5 В и входном напряжении до 24 В. Помимо этого, микросхема нормально работает и с импульсами тока, превышающими 70 мА — специальная защитная цепь позволяет иметь кратковременные превышения токовой нагрузки, при этом надежно защищая от короткого замыкания и перегрева.

MCP1791 имеет дополнительный вход разрешения работы и вывод готовности питания.

Для схем, чувствительных к шумам в цепях питания, например, датчиков движения на основе PIR-элемента, Microchip готовит новый микропотребляющий стабилизатор напряжения с высоким коэффициентом подавления шумов MCP1754.

Основные характеристики новой микросхемы:

- Входное напряжение 3,6...6 В.
- Выходное напряжение 1,8...6 В.
- Выходной ток до 150 мА.
- Ток потребления 55 мкА.

- Высокий PSRR: 75 дБ на 1 кГц.
- Разрешение работы и выход Powergood.
- Только керамические конденсаторы в обвязке.
- Корпуса: SOT-23, SOT-89, SOT-223, TO-92, 2x3 DFN.
- Расширенный температурный диапазон.

## ИМПУЛЬСНЫЕ ПРЕОБРАЗОВАТЕЛИ НАПРЯЖЕНИЯ НА МИКРОСХЕМАХ MICROCHIP

Как было замечено выше, Microchip производит микросхемы для различных импульсных преобразователей. Они имеют большие возможности по регулированию, в том числе могут работать в режиме повышения напряжения, что в принципе не возможно в линейных стабилизаторах. Общими недостатками импульсных преобразователей являются пульсации выходного напряжения и большой фон наводимых помех.

### Преобразователи на переключаемых конденсаторах

Применение преобразователей на переключаемых конденсаторах (charge pump) обосновано в недорогих устройствах с компактными размерами. Это обусловлено тем, что для работы преобразователя требуется только пара внешних конденсаторов и не нужны индуктивные элементы, которые составляют значительную часть стоимости и занимают место. Недостатком преобразователей этого типа является невысокая эффективность, падающая, при некоторых условиях, с 90 до 50%.

Микросхемы семейства MCP1259 — контроллеры charge pump. Семейство представлено 4 микросхемами с похожей функциональностью, отличающиеся набором сервисных функций (табл. 2).

Преобразователи на основе MCP1259 позволяют получить выходное напряжение 3,3 В при входном

Таблица 2. Семейство MCP1259

|                                  | MCP1256 | MCP1257 | MCP1258 | MCP1259 |
|----------------------------------|---------|---------|---------|---------|
| Режим Sleep                      | +       | +       | -       | -       |
| Индикатор работы                 | +       | -       | +       | -       |
| Индикатор низкого уровня батареи | -       | +       | -       | +       |
| Сквозной режим Bypass            | -       | -       | +       | +       |

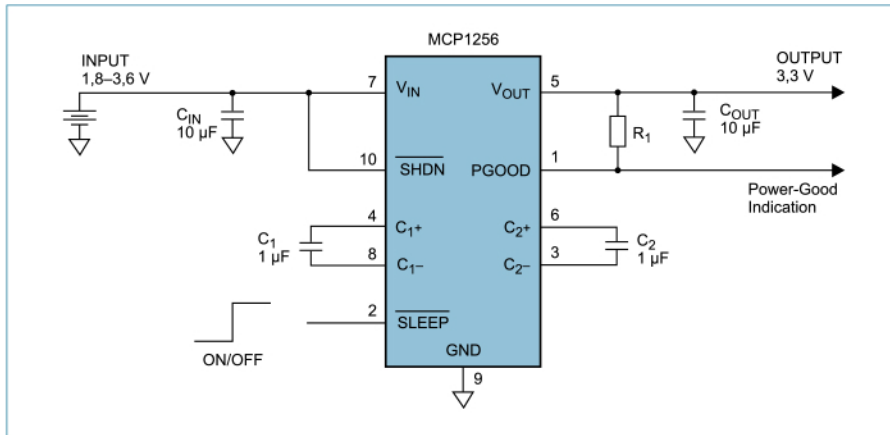


Рис. 1. Преобразователь на MCP1256.

от 1,8 до 3,6 В. Они ориентированы на применения в схемах питания микроконтроллеров на основе 2 щелочных, Ni-Cd или Ni-MH батарей или одной литиевой батарей.

Для повышения эффективности преобразования применяется 1,5- или 2-кратная накачка. Частота преобразования фиксирована — 650 кГц. Типичная схема преобразователя представлена на рис. 1.

### Преобразователи на индуктивных элементах

Наибольшую эффективность имеют импульсные преобразователи с индуктивными элементами. Для портативных применений наиболее интересны повышающие DC/DC-преобразователи, позволяющие минимизировать размеры как самой схемы, так и первичного элемента питания — батареи. Подходящей топологией для такого типа преобразователя является boost-преобразователь. Схема boost-преобразования показана на рис. 2.

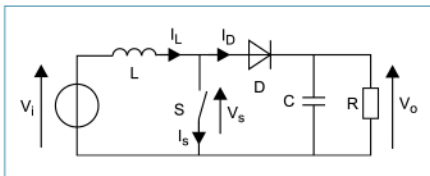


Рис. 2. Схема повышающего преобразования

Поддержание заданного выходного напряжения во всем диапазоне токов нагрузки производится адаптивным управлением ключевым элементом. В основном, используется ШИМ, но в зоне низких выходных токов широтно-импульсная модуляция становится неэффективной. Поэтому современные boost-контроллеры имеют возможность переключения в режим ЧИМ при малых нагрузках, который более эффективен в этих условиях.

Microchip предлагает контроллеры повышающих DC/DC-преобразователей — MCP1624 и MCP1640. Это полностью интегрированные компактные микросхемы, требующие только внешнюю индуктивность.

MCP1624 ориентированы на токи нагрузки до 175 мА, MCP1640 — до 350 мА.

Низковольтная технология Microchip, по которой разработаны эти преобразователи, позволяют им уверенно запускаться на напряжениях выше 0,65 В, а работать — вплоть до 0,35 В. Выходное напряжение задается внешним резистивным делителем и может лежать в диапазоне 2,0...5,5 В.

MCP1623 работает только в режиме ШИМ, на частоте 500 кГц. Контроллер MCP1624 автоматически переключается в режим ЧИМ при снижении выходного тока для повышения эффективности работы конвертора. Аналогично, микросхемы MCP1640 и MCP1640С имеют функцию автоматического переключения, а MCP1640В и MCP1640D работают только в режиме ШИМ. При этом, MCP1640 и MCP1640В отключают нагрузку в выключенном режиме, а MCP1640С и MCP1640D подают напряжение питания со входа на выход (табл. 3). Схема DC/DC-преобразователя на основе MCP1624 показана на рис. 3.

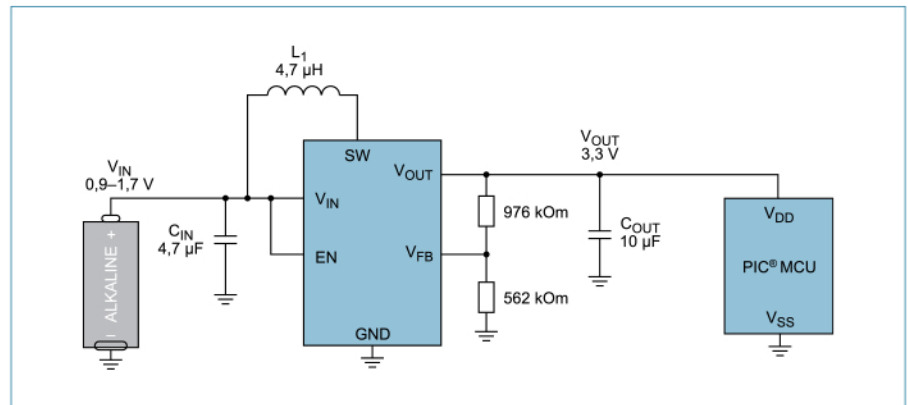


Рис. 3. Преобразователь на MCP1624

Таблица 3. Функции MCP1640

|                                     | MCP1640     | MCP1640B    | MCP1640C               | MCP1640D               |
|-------------------------------------|-------------|-------------|------------------------|------------------------|
| Автоматическое переключение ШИМ/ЧИМ | +           | Только ШИМ  | +                      | Только ШИМ             |
| Режим отключения                    | Разрыв цепи | Разрыв цепи | Сквозной режим Вурпасс | Сквозной режим Вурпасс |

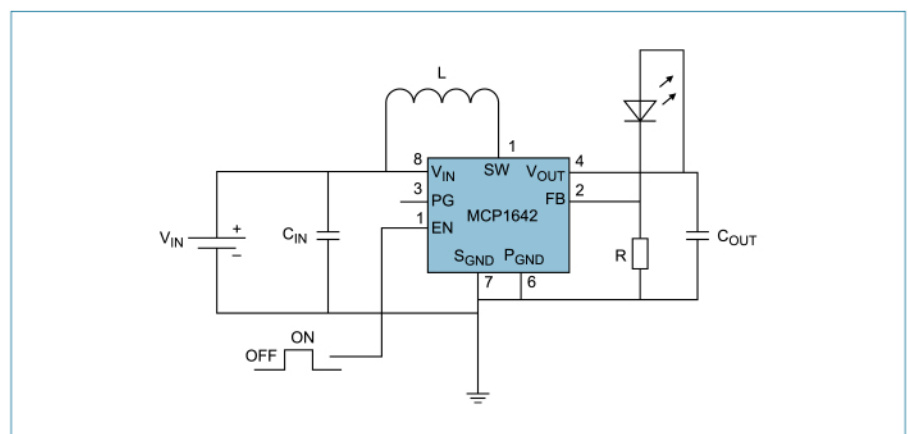


Рис. 4. Импульсный драйвер светодиода на MCP1642

Расширяя линейку преобразователей, компания Microchip готовит к производству микросхему MCP1642 — более мощный аналог MCP1640.

Основные параметры:

- КПД до 96%, фиксированная частота преобразования 1 МГц
- Входное напряжение 0,65...5,5 В
- Выходное напряжение 1,8...5,5 В
- Максимальный ток 1,6 А
- Собственный ток потребления 15 мкА
- Ток отключения менее 1 мкА
- Встроенная защита от перегрева выше 150 °С
- Корпуса: MSOP-8, DFN8

Интересной особенностью новой MCP1642 является возможность работы с малыми напряжениями в цепи обратной связи. Это позволяет реализовать простой по схемотехнике драйвер сверхярких светодиодов, подключая мощный светодиод напрямую на выход микросхемы. В качестве резистора нижнего плеча делителя в ОС может выступать отрезок печатного проводника (рис. 4). Для автомобильных применений и других задач, где требуется высокое входное напряжение, Microchip предлагает новую микросхему DC/DC-контроллера MCP16301: преобразователь работает на фиксированной частоте 500 кГц и имеет входное напряжение до 30 В. Максимальный ток составляет 0,6 А, собственное потребление 1,5 мА. По характеристикам и внешним выводам эта микросхема является аналогом LTC1933, LM2734, MP2359/60 и MAX1836/37.



**Таблица 4. Сводные характеристики микросхем заряда 1 ячейки**

|                                  | MCP73811 | MCP73831         | MCP73853       |
|----------------------------------|----------|------------------|----------------|
| Силовой транзистор               | +        | +                | +              |
| Токовый сенсор                   | +        | +                | +              |
| Защита от переполсовки           | +        | +                | +              |
| Контроль температуры             | +        | +                | +              |
| Вход внешнего термодатчика       | -        | -                | +              |
| Выходное напряжение, В           | 4,2      | 4,2-4,35-4,4-4,5 | 4,1-4,2        |
| Точность выходного напряжения, % | 1        | 0,75             | 0,5            |
| Ток заряда, мА                   | 50-500   | 15-500           | 15-500         |
| Окончание заряда                 | внешнее  | внутреннее       | внутреннее     |
| Таймеры заряда                   | -        | -                | +              |
| Светодиоды состояния             | -        | +                | +              |
| Корпуса                          | SOT23-5  | SOT23-5, DFN-8   | DFN-10, QFN-16 |

## КОНТРОЛЛЕРЫ ЗАРЯДА АККУМУЛЯТОРА

Microchip Technology Inc. производит три популярных семейства микросхем контроллеров заряда аккумуляторных батарей: MCP73811, MCP73831 и MCP73853. Они предназначены для простой реализации заряда 1 ячейки Li-Ion или Li-Po аккумулятора. Для заряда 2 ячеек применяются семейства MCP73842 и MCP73862.

Характеристики и особенности микросхем заряда 1 ячейки представлены в таблице 4. Необходимой функциональностью, минимальными габаритами и ценой обладают контроллеры семейства MCP73811. Они обеспечивают заряд одной ячейки Li-Ion или Li-Po батареи за минимально возможное время, поддерживая постоянный ток и по-

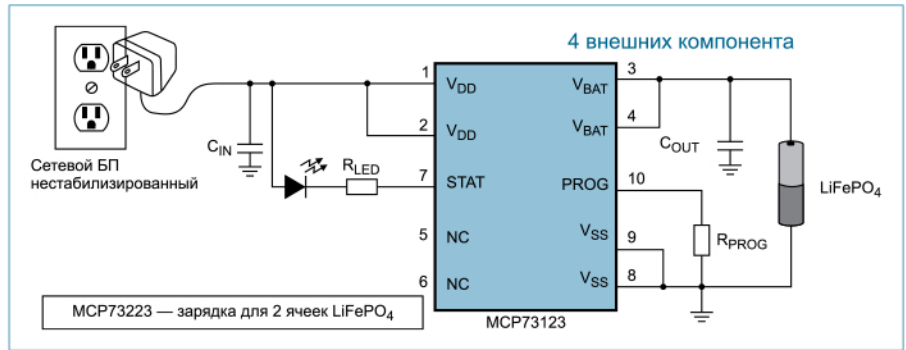


Рис. 5. ЗУ для литий-железо-фосфатных аккумуляторов

стоянное напряжение в различных фазах заряда. Для работы микросхемы требуется минимум внешних компонентов (2 керамических конденсатора), так как все необходимые компоненты интегрированы: силовой транзистор, токовый сенсор, защита от переполсовки. Все это делает MCP73811 идеальной для применений в простых зарядных устройствах, в том числе с питанием от USB, дешевых портативных устройствах, игрушках.

Возможность заряда глубоко разряженных батарей, а также отключения заряда реализовано в старших семействах контроллеров.

В MCP73831 реализована возможность задания тока предзаряда, встроены контроль и защита по температуре. Указанные возможности позволяют применить это семейство в сложных комплексных разработках, в том числе со встроенными аккумуляторами, например, карманные приборы, сложные USB-изделия, медицинская техника.

Наибольшими возможностями по обслуживанию аккумуляторных батарей обладают микросхемы семейства MCP73853. Помимо основных функций, реализованных в младших семействах, MCP73853 имеет возможность подключения внешнего температурного датчика (встроенного непосредственного

в батарее), а также таймеры принудительного отключения заряда. Для сигнализации текущего состояния аккумулятора есть возможность подключения светодиодов. Область применения этих контроллеров расширяется на сложные зарядные устройства и док-станции.

Также стоит обратить внимание на микросхемы заряда литий-железо-фосфатных аккумуляторов — MCP73123 и MCP73223, обслуживающие 1- и 2-ячейные батареи. Пример законченной схемы зарядного устройства для LiFePO<sub>4</sub> аккумулятора показано на рис. 5.

Итого, Microchip Technology Inc. предлагает разработчику микроразрабатываемых, портативных и миниатюрных устройств весь перечень необходимых микросхем: микроконтроллеры с развитой периферией и технологией XLP, линейные стабилизаторы питания, микросхемы низкопотребляющих DC/DC-преобразователей и контроллеры заряда аккумуляторных батарей.

Дополнительную информацию по указанной продукции, инструкции по применению, отладочные средства доступны на сайте [www.microchip.com](http://www.microchip.com):

- [www.microchip.com/battery](http://www.microchip.com/battery)
- [www.microchip.com/dcdc](http://www.microchip.com/dcdc)

# ЗАКАЗНЫЕ ИНДИКАТОРЫ

Альтернативой серийно выпускаемым различными производителями индикаторам, ставшим уже стандартными, является использование сегментных и графических ЖКИ, изготовленных по специальному заказу.

Дизайн и эргономичность продукции являются одними из важнейших факторов конечного успеха продукта на рынке. Устройство, обладающее дружелюбным интерфейсом, несомненно, при прочих равных условиях будет пользоваться большей популярностью. В качестве устройства отображения в приборах все чаще применяются различные жидкокристаллические монохромные индикаторы, которые по типу отображаемой информации могут классифицироваться следующим образом:

- сегментные индикаторы — в видимой области расположены группы семисегментных «вось-

мерок», специальных символов (пиктограмм) и пр. (рис. 1, 2). Информация отображается путем включения необходимых сегментов и их групп;

- знакосинтезирующие индикаторы — в видимой области расположен набор знакомест, каждое из которых представляет собой матрицу пикселей, как правило, размером 7x5. Знакоместа группируются в строки, число строк 1, 2, 4, в каждой строке от 8 до 40 знакомест. Информация отображается путем синтезирования на знакоместе алфавитно-цифровых и специальных символов, в некоторых случаях возможно отображение простых пиктограмм;
- графические (матричные) индикаторы — в видимой области расположена матрица пикселей, типовые размеры 122x32, 128x64 и др. Возмож-

но отображение произвольной информации — алфавитно-цифровой, статической графической, анимированной графической.

ЖКИ также возможно классифицировать по типу конструктивного исполнения:

- индикаторы без драйвера — представляют собой две стеклянные пластины, в зазор между которыми (единицы микрон) помещается слой жидких кристаллов, а сверху и снизу наклеиваются пленки поляризаторов и светофильтров. Соединение индикатора с печатной платой устройства осуществляется посредством жестких выводов, токопроводящей резины или гибкого шлейфа. Тип ЖКИ и драйвер выбирается разработчиком конечного устройства, управляющий драйвер располагается на основной плате устройства;

- COB-индикаторы — индикаторы с драйвером на печатной плате, изготовленные по технологии Chip-on-Board. На несущую печатную плату устанавливается драйвер и все необходимые цепи управления индикатором, собственно сам индикатор, который крепится при помощи металлической рамки-держателя, а соединение с платой осуществляется через токопроводящую резину. Опционально такие индикаторы комплектуются модулями светодиодной подсветки и представляют собой законченное решение средства отображения информации;
- COF-индикаторы — индикаторы с гибким шлейфом, изготовленные по технологии Chip-on-Flex. Управляющий драйвер и пассивные компоненты установлены на гибком шлейфе. Шлейф соединяется с печатной платой устройства посредством разъема или пайки;
- TAB-индикаторы — индикаторы, изготовленные по технологии Tape-Automatic-Bonding, как и в случае COF-индикаторов, управляющий драйвер располагается на шлейфе, однако эта технология позволяет устанавливать на шлейф несколько кристаллов (например, строчный и столбцовый драйверы, контроллер клавиатуры и др.), упакованные в один корпус, что минимизирует занимаемую площадь;
- COG-индикаторы — индикаторы, изготовленные по технологии Chip-on-Glass. Управляющий драйвер монтируется посредством токопроводящего клея на стеклянную подложку индикатора. При этом минимизируется площадь, занимаемая индикатором, а также стоимость за счет исключения внешнего драйвера и шлейфа.

Технологические возможности компании Ampire позволяют изготовить любой индикатор по типу отображаемой информации и конструктивному исполнению. Однако используемая технология изготовления является одним из основных факторов, формирующих конечную стоимость индикатора. Наиболее дорогостоящими являются COF- и TAB-индикаторы, использование которых представляется оправданным в устройствах, производимых лишь очень крупными сериями, например, в мобильных телефонах. Причина — очень высокая стоимость подготовки к производству подобных индикаторов. В зависимости от используемого управляющего хост-микроконтроллера и его возможностей (например, наличия в составе микроконтроллера драйвера ЖКИ) рекомендуются к применению индикаторы без драйвера и индикаторы, изготовленные по технологии Chip-on-Glass.

## Сегментные индикаторы

В видимой области сегментных индикаторов расположены группы сегментов (например, группы семисегментных «восмерок»), специальных символов (пиктограммы) и пр. (рис. 1, 2). Количество сегментов, как правило, не превышает 200–300. В зависимости от количества сегментов и возможностей микроконтроллера выбирается один из двух типов управления сегментами — статический или мультиплексный.

В первом случае каждый вывод драйвера (или внешнего управляющего микроконтроллера) управляет одним сегментом. Такой тип управления наиболее целесообразен при числе сегментов до 100–120, или когда основными требованиями

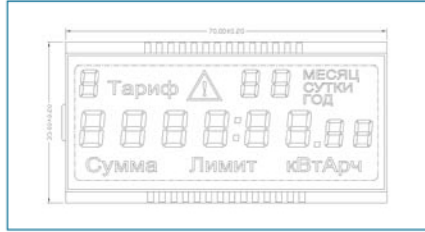


Рис. 1

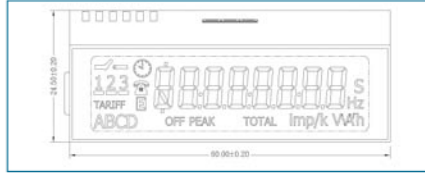


Рис. 2

к индикатору являются высокая контрастность и скорость реакции во всем диапазоне рабочих температур. В случае статического управления угол обзора значительно шире, а контрастность при отрицательных температурах практически не снижается. Технология производства таких индикаторов компании Ampire позволяет добиться времени включения-выключения сегментов при температуре  $-40\text{ }^{\circ}\text{C}$ , не превышающего 14–17 секунд, при этом время переключения сегментов при температуре  $-30\text{ }^{\circ}\text{C}$  составляет уже 3–4 секунды. Фактически единственным недостатком метода статического управления сегментами является необходимость наличия большого числа выводов индикатора, что в конечном счете приводит к его удорожанию и сложности использования. Одним из путей решения этой проблемы является применение мультиплексного метода управления сегментами. Уже при коэффициенте мультиплексирования 2 количество требуемых выводов индикатора уменьшается вдвое, при коэффициенте мультиплексирования 3 — втрое. Расплата за удобства — уменьшение угла обзора, уменьшение контрастности, увеличение времени переключения сегментов, особенно заметное при отрицательных температурах. В качестве выхода из такой сложной ситуации, как выбор между удобством (а зачастую и принципиальной возможностью) использования и качественными характеристиками, предлагаются индикаторы, изготовленные по технологии Chip-on-Glass. Примером такого решения является широко распространенный индикатор TIC8148 (рис. 3).



Рис. 3

Драйвер, примененный в этом индикаторе, имеет последовательный SPI-подобный интерфейс управления, что позволяет использовать для управления драйвером аппаратные модули микроконтроллера. Индикатор работоспособен в диапазоне температур от  $-40$  до  $+75\text{ }^{\circ}\text{C}$ , диапазон температур хранения от  $-50$  до  $+85\text{ }^{\circ}\text{C}$ , что позволяет применять его в устройствах промышленной автоматики. Ток потребления индикатора не превышает 50 мкА

при включении всех сегментов. В числе возможностей использованного драйвера — отключение встроенного генератора тактовых сигналов, что приводит к значительному снижению потребляемого тока. Так при подаче внешнего тактового сигнала 50–100 Гц ток потребления подобного индикатора не превышает 1 мкА. Альтернатив таким характеристикам на рынке просто нет.

Во многих устройствах требования к управляющему микроконтроллеру минимальны, а средства индикации необходимы (например, счетчики электроэнергии и пр.). В таких случаях стремятся использовать наиболее дешевый микроконтроллер, а значит, с минимально необходимым количеством выводов. Зачастую в этом случае делается ставка на шину I<sup>2</sup>C — при задействовании всего двух выводов микроконтроллера имеется возможность управлять одновременно и микросхемами реального времени (RTC), и внешними микросхемами памяти (EEPROM), и ЖК-индикатором. В качестве примера драйвера с I<sup>2</sup>C-интерфейсом может служить микросхема PCF8576 производства NXP. Этот драйвер спроектирован таким образом, что может быть установлен на стеклянную подложку по технологии COG, имеет в своем составе встроенный умножитель напряжения, цепи формирования смещения уровней, встроенный тактовый генератор и др. При использовании этого драйвера для индикатора не требуется никаких дополнительных внешних цепей, все управление индикатором, включая регулировку контрастности, осуществляется по шине I<sup>2</sup>C.

## Знакосинтезирующие индикаторы

В видимой области знакомест расположен набор знакомест в 1, 2 или 4 строки, в каждой строке от 8 до 24 знакомест, каждое из которых представляет собой матрицу пикселей, как правило, размером 7x5. Этот тип индикаторов наиболее распространен при производстве мелкосерийных устройств, так как подобные индикаторы, выполненные по технологии COB, производятся многими производителями ЖКИ, в том числе и Ampire, и уже стали стандартными. Такие ЖК-модули представляют собой печатную плату с установленными на ней драйвером, индикатором, рамкой-держателем и опционально светодиодной или иной подсветкой. Универсальность модулей оборачивается сравнительно высокой ценой, и, как только устройство начинает производиться даже средними сериями, возникает эта проблема. Решением может быть использование знаковинтезирующих индикаторов, изготовленных по технологии COG. В этом случае на стеклянную подложку монтируется либо стандартный драйвер (если производитель драйверов поставляет такие драйверы для использования в COG-индикаторах), совместимый по системе команд с HD44780 или KS0066 (параллельное 4/8-битное управление), либо драйвер с последовательным I<sup>2</sup>C-интерфейсом, например, PCF2119. Как и большинство драйверов производства NXP, указанный драйвер имеет в своем составе все цепи, необходимые для управления индикатором, не нуждается в напряжении отрицательной полярности и позволяет программно регулировать контрастность. В качестве дополнительной приятной особенности можно упомянуть то, что этот драйвер способен зеркально отображать информацию в горизонтальной и вертикальной плоскостях.



Рис. 4

Это позволяет устанавливать индикатор в конечном устройстве оптимально с точки зрения конструктива. NXP предоставляет такие драйверы как с кириллическим набором символов знакогенератора, так и с возможностью заказа собственного набора символов.

### ГРАФИЧЕСКИЕ ИНДИКАТОРЫ

В видимой области расположена матрица пикселей, ее типовые размеры 122x32, 128x64 и др. Возможно отображение произвольной информации — алфавитно-цифровой, статической графической, анимированной графической. На рынке в ассортименте представлены графические ЖК-модули и все они достаточно дорогостоящие, однако при серийности уже 300–500 штук изделий в месяц может оказаться оптимальным решением использование индикатора, разработанного по специальным требованиям — будь то габаритные размеры, световая схема, отличная от типовых (рис. 12, 13), наличие в видимой области дополнительных пиктограмм по эскизам заказчика (рис. 11).

### ДОПОЛНИТЕЛЬНЫЕ ВОЗМОЖНОСТИ

В случае заказа разработки индикатора по индивидуальным эскизам зачастую желательно (а порою просто необходимо) использовать дополнительные возможности производства. Такие, например, как нанесение цветного рисунка на верхний или нижний поляризаторы (рис. 4, 5, 6). Изготовление индикаторов непрямоугольной формы — со срезанными углами, многогранной формы, скругленными углами и даже полностью круглые индикаторы (рис. 7). Существует возможность изготовления индикатора с псевдоцветными сегментами — некоторые сегменты могут быть отличного от остальных цвета. Крайне



Рис. 5



Рис. 6

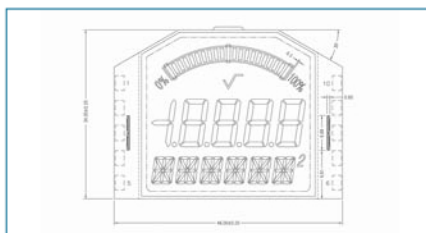


Рис. 7



Рис. 8



Рис. 9

рекомендуется в этом случае использование негативного индикатора (основной фон — черный) с белой подсветкой. На рис. 8 представлена фотография подобного индикатора со светодиодной подсветкой белого цвета, на рис. 9 — этот же индикатор, но с выключенной подсветкой (поляризаторы полупропускающего типа). В ряде случаев может оказаться целесообразным изготовление индикаторов с гибким шлейфом в качестве соединителя (рис. 10).

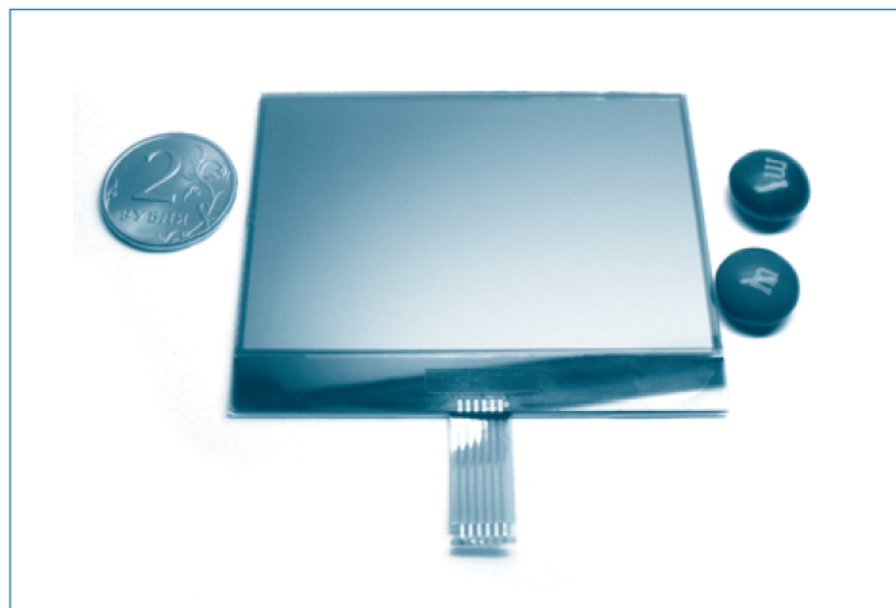


Рис. 10



Рис. 11



Рис. 12



Рис. 13

### ЗАКЛЮЧЕНИЕ

Индикатор, изготовленный по специальному заказу, позволит обойти ограничения, налагаемые доступным модельным рядом, и будет обладать оптимальным сочетанием характеристик. Кроме того, такой индикатор послужит замечательным дизайнерским решением, позволит выделить его из ряда аналогов и привлечь внимание клиентов.

# ЖИДКОКРИСТАЛЛИЧЕСКИЕ ИНДИКАТОРЫ КОМПАНИИ AMPIRE

Тайваньская фирма Ampire Co., LTD. не нуждается в специальном представлении, она широко известна и вот уже более 10 лет специализируется на производстве ЖК-индикаторов, являясь мировым лидером по их выпуску.

## СИСТЕМА ОБОЗНАЧЕНИЯ

Приведенная таблица (таблица 1) обозначений символов индикатора позволит вам легко расшифровать любое обозначение индикатора фирмы Ampire.

## ТЕХНОЛОГИЯ ПРОИЗВОДСТВА

Стандартной технологией производства ЖК-модулей можно назвать конструкцию с жестким основанием модуля в виде печатной платы с распаянной на ней м/с контроллера (COB). Специальная металлическая рамка фиксирует стекло и прижимает токопроводя-

щую резинку к плате и стеклу. Надежность контакта обеспечивается упругими свойствами резины.

Использование современной технологии монтажа высокой плотности позволяет уменьшить площадь, толщину и вес модулей.

Технология COF (Chip-on-Flex). Монтаж микрокомпонентов на гибкую печатную плату, выполненную в виде кабеля (flex), что значительно уменьшает габаритные размеры индикатора.

Технология COB (Chip-on-Board). Монтаж элементов на печатную плату. Модуль включает в себя непосредственно стекло, интерфейс и печатную плату с контроллером.

Технология COG (Chip-on-Glass). Монтаж микросхемы драйвера прямо на стекло индикатора. Выводы интерфейса связи выполняются в виде металлических контактов.



Таблица 1. Система обозначений индикаторов фирмы Ampire

| A  | C  | 16 | 2 | A | Y | J | L | Y | 0  | H  | Black | Комментарий                  |
|----|--|----|---|---|---|---|---|---|----|----|-------|------------------------------|
| 1  | 2  | 3  | 4 | 5 | 6 | 7 | 8 | 9 | 10 | 11 | 12    |                              |
| 1  | A: Аббревиатура названия компании.   |    |   |   |   |   |   |   |    |    |       | AMPIRE                       |
| 2  | G: графический, C: символичный, T: TAB, F: COF, O: COG, R: COLOR, M: TFT, E OLED                         |    |   |   |   |   |   |   |    |    |       | Тип модуля                   |
| 3  | Количество точек в строке: 122, 128, 240, ...  |    |   |   |   |   |   |   |    |    |       | Графический                  |
|    | Количество символов в строке: 08, 16, 20, 24, 40   |    |   |   |   |   |   |   |    |    |       | Символьный                   |
| 4  | Количество точек в столбце: 32, 64, 128, 240, ...  |    |   |   |   |   |   |   |    |    |       | Графический                  |
|    | Количество строк: 1, 2, 4, ...   |    |   |   |   |   |   |   |    |    |       | Символьный                   |
| 5  | Модель A, B, C, ..., Z (габаритный размер, разъем)   |    |   |   |   |   |   |   |    |    |       |                              |
| 6  | N: TN  |    |   |   |   |   |   |   |    |    |       | Технология ЖКИ               |
|    | Y: STN желто-зеленый оттенок   |    |   |   |   |   |   |   |    |    |       |                              |
|    | G: STN серый   |    |   |   |   |   |   |   |    |    |       |                              |
|    | S: STN негативный  |    |   |   |   |   |   |   |    |    |       |                              |
|    | F: FSTN черно-белый высококонтрастный.   |    |   |   |   |   |   |   |    |    |       |                              |
| 7  | C: COLOR STN   |    |   |   |   |   |   |   |    |    |       | Световая схема и угол обзора |
|    | T: TFT LCD   |    |   |   |   |   |   |   |    |    |       |                              |
|    | A: Reflective (на отражение) 6:00 часов  |    |   |   |   |   |   |   |    |    |       |                              |
|    | B: Reflective (на отражение) 12:00 часов   |    |   |   |   |   |   |   |    |    |       |                              |
|    | I: Transflective (отражение/просвет) 6:00 часов  |    |   |   |   |   |   |   |    |    |       |                              |
|    | J: Transflective (отражение/просвет) 12:00 часов   |    |   |   |   |   |   |   |    |    |       |                              |
|    | M: Transmissive (просвет) 6:00 часов   |    |   |   |   |   |   |   |    |    |       |                              |
|    | N: Transmissive (просвет) 12:00 часов  |    |   |   |   |   |   |   |    |    |       |                              |
| 8  | T: Negative (негативное) 6:00 часов  |    |   |   |   |   |   |   |    |    |       | Тип подсветки                |
|    | U: Negative (негативное) 12:00 часов   |    |   |   |   |   |   |   |    |    |       |                              |
|    | V: Negative (негативное) 3:00 часа   |    |   |   |   |   |   |   |    |    |       |                              |
|    | — Без подсветки  |    |   |   |   |   |   |   |    |    |       |                              |
| 9  | L: Светодиодная 5 В  |    |   |   |   |   |   |   |    |    |       | Цвет подсветки               |
|    | O: Светодиодная 12 В   |    |   |   |   |   |   |   |    |    |       |                              |
|    | P: Светодиодная 24 В   |    |   |   |   |   |   |   |    |    |       |                              |
|    | Q: Светодиодная боковая  |    |   |   |   |   |   |   |    |    |       |                              |
|    | E: «EL» электролюминесцентная белая/голубая  |    |   |   |   |   |   |   |    |    |       |                              |
| 10 | C: «CCFL» лампа с холодным катодом белая   |    |   |   |   |   |   |   |    |    |       | Температурный диапазон       |
|    | — Без подсветки, A — оранжевый, B — голубой  |    |   |   |   |   |   |   |    |    |       |                              |
| 11 | G — зеленый, R — красный, Y — желто-зеленый, W — белый, D — двухцветный (желто-зеленый и красный), T-RGB |    |   |   |   |   |   |   |    |    |       | Цвет рамки                   |
|    | 00-ZZ Номер модификации у производителя.   |    |   |   |   |   |   |   |    |    |       |                              |
| 12 | — Нормальный 0...+50 °C  |    |   |   |   |   |   |   |    |    |       | Температурный диапазон       |
|    | H: Расширенный -20...+70 °C  |    |   |   |   |   |   |   |    |    |       |                              |
| 12 | Black — черная, «_» — без окраски.   |    |   |   |   |   |   |   |    |    |       | Цвет рамки                   |

## ТЕМПЕРАТУРНЫЙ ДИАПАЗОН

Особое внимание при выборе ЖК-модуля необходимо уделить температурному диапазону работы индикатора. Большинство моделей Ampire имеют опцию выбора расширенного диапазона рабочих температур. В каждом модуле есть вход Vo установки напряжения смещения для получения максимального контраста. Изменение контраста в расширенном диапазоне температур намного значительнее, чем в обычном. Для регулировки контраста вводится специальный потенциометр, регулирующий напряжение на входе Vo, или специальная термокомпенсирующая цепь. Достаточно только одного источника питания +5 В для работы модуля.

## ТИП ПОДСВЕТКИ ЖКИ-МОДУЛЕЙ

LED — светодиодная подсветка. Наиболее часто используется в символических индикаторах. Не требует дополнительного источника питания, долговечна. Работает при отрицательных температурах по напряжению питания от 2 В до 24 В. Выполняется в двух конструктивных исполнениях:

- Боковая светодиодная подсветка — состоит из нескольких рядов светодиодов рядом с краем



**Таблица 2. Знакосинтезирующие индикаторы**

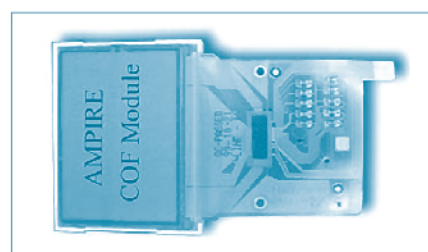
| Модель индикатора | Формат экрана | Габариты, мм | Размер видимой области | Тип ЖКИ-панели |            | Питание |     | Тип контроллера    | Подсветка              |
|-------------------|---------------|--------------|------------------------|----------------|------------|---------|-----|--------------------|------------------------|
|                   |               |              |                        | STN gray       | STN yellow | 3 В     | 5 В |                    |                        |
| AC082A            | 8x2           | 58x32        | 35x15                  | +              | +          | +       | +   | KS0066U или аналог | LED                    |
| AC161A            | 16x1          | 80x36        | 65x14                  | +              | +          | +       | +   | KS0066U или аналог | LED/EL                 |
| AC161B            | 16x1          | 122x33       | 99x13                  | +              | +          | +       | +   | KS0066U или аналог | LED                    |
| AC161J            | 16x1          | 151x40       | 120x23                 | +              | +          | -       | +   | KS0066U или аналог | LED                    |
| AC162A            | 16x2          | 85x29,5      | 64x17,2                | +              | +          | +       | +   | KS0066U или аналог | LED/WITE LED/EL        |
| AC162B            | 16x2          | 80x36        | 64x17,2                | +              | +          | +       | +   | KS0066U или аналог | LED/WITE LED/EL        |
| AC162C            | 16x2          | 85x36        | 64x17,2                | +              | +          | +       | +   | KS0066U или аналог | LED/WITE LED/EL        |
| AC162D            | 16x2          | 84x44        | 64x17,2                | +              | +          | +       | +   | KS0066U или аналог | LED/WITE LED/EL        |
| AC162E            | 16x2          | 122x44       | 99x24                  | +              | +          | +       | +   | KS0066U или аналог | LED/WITE LED/EL        |
| AC164A            | 16x4          | 87x60        | 61,4x25                | +              | +          | +       | +   | KS0066U или аналог | LED/EL                 |
| AC202A            | 20x2          | 116x37       | 83x18,5                | +              | +          | +       | +   | KS0066U или аналог | LED/WHITE, BLUE LED/EL |
| AC202B            | 20x2          | 180x40       | 149x23,2               | +              | +          | +       | +   | KS0066U или аналог | LED/WITE LED/EL        |
| AC202D            | 20x2          | 182x60       | 147x35,2               | +              | +          | -       | +   | KS0066U или аналог | LED                    |
| AC204A            | 20x4          | 98x60        | 76x25,2                | +              | +          | +       | +   | KS0066U или аналог | LED/WITE LED/EL        |
| AC204B            | 20x4          | 146x62,5     | 123x42,5               | +              | +          | +       | +   | KS0066U или аналог | LED/EL                 |
| AC242A            | 24x2          | 118x36       | 94,5x18                | +              | +          | +       | +   | KS0066U или аналог | LED/EL                 |
| AC242C            | 24x2          | 154x39       | 133x20,3               | +              | +          | -       | +   | KS0066U или аналог | -                      |
| AC402A            | 40x2          | 182x33,5     | 154x16,5               | +              | +          | +       | +   | KS0066U или аналог | LED/EL                 |
| AC404A            | 40x4          | 190x54       | 147x29,5               | +              | +          | +       | +   | KS0066U или аналог | LED/EL                 |

**Графические индикаторы (технология COB)**

| Модель индикатора | Формат экрана | Габариты, мм | Размер видимой области, мм | Тип ЖКИ-панели |      | Питание |     | Тип драйвера         | Тип контроллера | Подсветка            |
|-------------------|---------------|--------------|----------------------------|----------------|------|---------|-----|----------------------|-----------------|----------------------|
|                   |               |              |                            | STN            | FSTN | 5 В     | 3 В |                      |                 |                      |
| AG12232A          | 122x32        | 84x44        | 60,5x18,5                  | +              | +    | +       | -   | -                    | SED1520DAA      | LED/EL               |
| AG12232B          | 122x32        | 65,8x27,1    | 53,64x15,64                | +              | +    | +       | -   | -                    | SED1520DAA      | LED/EL               |
| AG12232C          | 122x32        | 66,8x23,6    | 54,8x19,1                  | +              | +    | +       | -   | -                    | SED1520D0A      | LED/WITELED/EL       |
| AG12864A          | 128x64        | 93,0x70      | 71,7x39                    | +              | +    | +       | -   | -                    | KS0108B         | LED/WITE LED/EL      |
| AG12864C          | 128x64        | 78x70        | 62x44                      | +              | +    | +       | +   | -                    | KS0108B         | LED/WITE LED/EL      |
| AG12864D          | 128x64        | 78x70        | 62x44                      | +              | +    | +       | -   | -                    | T6963C          | LED/WITE LED/EL      |
| AG12864E          | 128x64        | 75x52,7      | 60x32,5                    | +              | +    | +       | -   | -                    | KS0108B         | LED/EL               |
| AG128128A         | 128x128       | 72,4x70      | 49x49                      | +              | +    | +       | -   | -                    | LC7981          | LED/EL               |
| AG16080A          | 160x80        | 100x54,0     | 72,3x37,8                  | +              | +    | +       | -   | -                    | T6963C          | LED/EL               |
| AG16080B          | 160x80        | 100x54,0     | 72,3x37,8                  | +              | +    | +       | -   | -                    | LC7981          | LED/EL               |
| AG24064A          | 240x64        | 180x56,8     | 132x39                     | +              | +    | +       | -   | -                    | LC7981          | LED/WITE LED/EL/CCFL |
| AG24064B          | 240x64        | 180x65       | 132x39                     | +              | +    | +       | -   | -                    | T6963C          | LED/WITE LED/EL/CCFL |
| AG24064E          | 240x64        | 180x65,8     | 132x39                     | +              | +    | +       | -   | -                    | SED1335         | LED/EL/CCFL          |
| AG240128A         | 240x128       | 144x104      | 114x64                     | +              | +    | +       | -   | KS0086               | LC7981          | LED/EL               |
| AG240128B         | 240x128       | 170x103,2    | 132x76                     | +              | +    | +       | -   | -                    | T6963C          | LED/EL/CCFL          |
| AG240128C         | 240x128       | 144x104      | 114x64                     | +              | +    | +       | -   | T6A40<br>T6A39       | T6963C          | LED/EL               |
| AG240128G         | 240x128       | 144x104      | 114x64                     | +              | +    | +       | -   | T6A40<br>T6A39       | T6963C          | LED/WITE LED/EL/CCFL |
| AG240128I         | 240x128       | 144x104      | 114x64                     | +              | +    | +       | -   | T6A40<br>T6A39       | T6963C          | LED/WITE LED/EL/CCFL |
| AG320240A1        | 320x240       | 160x104,7    | 122x92                     | +              | +    | +       | -   | KS0086               | SED1335F0B      | LED/WITE LED/EL/CCFL |
| AG320240D         | 320x240       |              | 100x73,5                   | +              | +    | +       | -   | LC79430D<br>LC79431D | -               | LED                  |
| AG320240F         | 320x240       |              | 122x92                     | +              | +    | +       | -   | LC79430D<br>LC79431D | SED1335F0B      | WITE LED/EL/CCFL     |
| AG320240K         | 320x240       |              | 103x79                     | +              | -    | +       | -   | LC79430D<br>LC79431D | -               | WITE CCFL            |
| AG640480C         | 640x480       |              | 158x118                    | -              | +    | +       | -   | -                    | -               | CCFL                 |

**Графические индикаторы (технология COG)**

| Модель индикатора | Формат экрана | Габариты, мм | Размер видимой области, мм | Тип ЖКИ-панели | Питание, В | Драйвер | Контроллер | Подсветка |
|-------------------|---------------|--------------|----------------------------|----------------|------------|---------|------------|-----------|
| AO06464A          | 64x64         | 20,4x56,95   | 16,4x16,4                  | FSTN           | 3          | SSD1815 | -          | -         |
| AO09664D          | 96x64         | 25,9x38,94   | 22,6x16,8                  | FSTN           | 3          | -       | S6B0724    | -         |
| AO12864P          | 128x64        | 42,3x73,6    | 36,5x20,2                  | FSTN           | 3,1        | S6B1713 | -          | EL        |
| AO12880A          | 128x80        | 32x33        | 29x23                      | FSTN           | 3,0        | -       | HD66741    | -         |



## Графические индикаторы (технология TAB)

| Модель индикатора | Формат экрана | Габариты, мм | Размер видимой области, мм | Тип ЖКИ-панели | Питание, В | Драйвер              | Контроллер | Touch panel | Подсветка |
|-------------------|---------------|--------------|----------------------------|----------------|------------|----------------------|------------|-------------|-----------|
| AT12864M          | 128x64        | 65,9x66,6    | 60,0x39,0                  | STN Neg.       | 3,3        | SED1565T04           | -          | -           | -         |
| AT128128H         | 128x128       | 36,9x56,65   | 30,5x32,0                  | FSTN           | 2,8        | HD667505             | -          | -           | -         |
| AT13265B          | 132x65        | 64,0x50,4    | 50,0x28,3                  | FSTN           | 3,3        | -                    | SED1565T04 | -           | EL        |
| AT160160A         | 160x160       | 69x69,5      | 60,1x60                    | FSTN           | 5/3,3      | NT7701               | SED1335FOB | +           | EL        |
| AT160160E         | 160x160       | 70,2x89,5    | 62,0x62,5                  | FSTN           | 5/3,3      | NT7701               | -          | +           | EL        |
| AT160240B         | 160x240       | 70x90,5      | 58,9x77,8                  | FSTN           | 3,3        | NT7701<br>NT7702     | -          | +           | EL        |
| AT240160B         | 240x160       | 74,6x54,9    | 67,6x47,5                  | FSTN           | 5/3,3      | LH1560F3<br>LH1562F4 | SED1335FOB | +           | EL        |
| AT240160D         | 240x160       | 83,8x54,1    | 61,6x42,5                  | FSTN           | 5/3,3      | NT7701<br>NT7702     | -          | +           | EL        |
| AT240320          | 240x320       | 72,5x91,8    | 62,0x81,8                  | FSTN           | 5/3,3      | HD66137<br>HD66130   | -          | +           | EL        |
| AT320240Q1        | 320x240       | 92,2x73,0    | 81,8x62,0                  | FSTN           | 5/3,3      | HD66131<br>HD66130   | SED1335FOB | +           | EL        |
| AT320240Q2        | 320x240       | 95,2x73,0    | 81,8x62,0                  | FSTN           | 5/3,3      | HD66137<br>HD66130   | SED1335FOB | +           | LED       |
| AT320240Q3        | 320x240       | 92,2x73,0    | 81,8x62,0                  | FSTN           | 5/3,3      | HD66137<br>HD66130   | SED1335FOB | +           | LED       |
| AT480320A         | 480x320       | 156x94,9     | 119,2x80,8                 | FSTN/STN       | 3,3        | +                    | -          | -           | LED       |
| AT640240A         | 640x240       | 170,6x121,5  | 158,0x62,0                 | FSTN           | 3,3        | NT7702<br>NT7701     | -          | -           | -         |

стекла, специального световода и светорассеивателя. Имеет малую толщину. Отличается малым потреблением и светоотдачей.

- Фронтальная светодиодная подсветка — состоит из нескольких рядов светодиодов, непосредственно направленных на стекло снизу. Имеет толщину 5 мм и отличается интенсивным световым потоком.
- EL — электролюминесцентная подсветка. Выполняется в виде тонкой пластины с двумя выводами для подключения переменного питания 100–150 В. Отличается малыми габаритами, весом, относительно низким потреблением при сильной светоотдаче (20–50 кд/м<sup>2</sup>). Может работать при отрицательных температурах. Обычно свет

свечения светло-зеленый или белый. Срок службы 2000–5000 часов непрерывной работы.

CCFL — лампа с холодным катодом. Используется в качестве подсветки графических индикаторов больших размеров. Отличается высокой светоотдачей (40–200 кд/м<sup>2</sup>) при сроке службы 10 000–20 000 часов и рабочей температурой 0...+50 °С. В то же время некоторые модели графических индикаторов имеют опцию своего встроенного питания и требуют переменного напряжения с амплитудой до 1000 В. Проста в обслуживании. Рекомендуется для применения в приборах постоянного пользования (кардиографах, спектроанализаторах, мониторах наблюдения и т. д.). Для питания EL и CCFL подсветки индикатора в стационарных приборах используют стандартные пре-

образователи (инверторы). Если в приборе есть напряжение питания 12 В, то с точки зрения КПД лучше применять инвертор с входным напряжением 12 В питания EL подсветки. В этом случае нет необходимости использовать внешний инвертор. Большинство графических модулей имеет специальную опцию встроенного инвертера.

## УГОЛ ОБЗОРА

Если прибор лежит горизонтально на столе (например, как калькулятор), то на индикатор смотрят «снизу». Другими словами, нижний край индикатора находится ближе к глазам, чем верхний. Такое расположение прибора требует индикатора с маркировкой 6:00 (шесть часов). Если прибор стоит на столе и индикатор на передней панели расположен перпендикулярно плоскости стола, то на индикатор смотрят «сверху». То есть верхний край индикатора ближе к глазам, чем нижний. В этом случае рекомендуют использовать индикаторы с маркировкой 12:00 (двенадцать часов).

## ВЗАИМОЗАМЕНЯЕМОСТЬ ЗНАКОСИНТЕЗИРУЮЩИХ ИНДИКАТОРОВ

Взаимозаменяемость знаков синтезирующих индикаторов фирмы Ampric с продукцией других производителей обеспечена также программной совместимостью на уровне систем команд и таблицы знаков генератора. Все знаков синтезирующие ЖК-индикаторы Ampric построены на основе контроллера фирмы Samsung (KS0066) или на изделия фирмы, аналогичном по системе команд и сигналам.

Таким образом, индикаторы Ampric могут заменять продукцию других фирм уже в запущенных проектах без изменения программного обеспечения.

## ПЕРЕЧЕНЬ МОДЕЛЕЙ ИНДИКАТОРОВ

Полный перечень моделей индикаторов, их особенности и конструктивные размеры приведены в таблице 2. ■

# TFT-ИНДИКАТОРЫ AMPIRE

TFT LCD (Thin Film Transistor Liquid Crystal Display) — жидкокристаллические дисплеи (индикаторы) на тонкопленочных транзисторах.

В данном типе дисплеев используется активная матрица, управляемая тонкопленочными транзисторами. Активная матрица характеризуется малым временем задержки, что позволяет проецировать изменение изображения практически в реальном времени, с хорошим коэффициентом контрастности. Благодаря таким характеристикам, воспроизведение видеосигналов происходит с небольшой потерей качества. Активные матрицы также характеризуются большей яркостью, насыщенностью и чёткостью проецируемого изображения, а также широким спектром цветовой гаммы.

Область применения TFT-индикаторов:

- POS-системы.
- Медицинское оборудование.
- Банковское оборудование (платежные терминалы, детекторы валют).
- Пожарно-охранное оборудование (домофоны, системы видеонаблюдения).
- Измерительное оборудование.
- Навигационное оборудование.

## TFT ИНДИКАТОРЫ AMPIRE С RGB- И LVDS-ИНТЕРФЕЙСАМИ

В таблице 1 представлен модельный ряд TFT-индикаторов компании Ampric с RGB- и LVDS-интерфейсами.

## TFT-ИНДИКАТОРЫ AMPIRE С ВСТРОЕННЫМИ ГРАФИЧЕСКИМИ КОНТРОЛЛЕРАМИ (8 BIT PARALLEL, SPI INTERFACE)

Компания Ampric также производит TFT-индикаторы с диагоналями от 1,8 до 7 дюймов со встроенными графическими контроллерами управления, которые позволяют управлять TFT-индикаторами по 8/9/16/18 битному параллельному интерфейсу или SPI-интерфейсу. Опционально TFT-панели могут поставляться с тач-скрином и тач-скрин контроллером. Графические контроллеры, установленные на данных TFT, поддерживаются графической библиотекой компании Microchip (табл. 2). ■

**Таблица 1. Модельный ряд TFT-индикаторов с RGB- и LVDS-интерфейсами**

| Модель                   | Диагональ | Разрешение | Яркость, кд/м <sup>2</sup> | Контрастность | Габариты, мм | Размер видимой области, мм | Интерфейс  | Подсветка | Рабочая температура, °C |
|--------------------------|-----------|------------|----------------------------|---------------|--------------|----------------------------|------------|-----------|-------------------------|
| AM-240320MDTNQW-00H      | 2,8"      | 240×320    | 250                        | 250           | 66,8×50,2    | 57,6×43,2                  | 18 bit RGB | Led/White | -10...+60               |
| AM-320240L9TNQW-01H      | 3,5"      | 320×240    | 280                        | 300           | 77,8×66,0    | 70,08×52,56                | 18 bit RGB | Led/White | -20...+70               |
| AM-320240LATNQW-01H      | 3,5"      | 320×240    | 500                        | 300           | 77,8×66,0    | 70,08×52,56                | 18 bit RGB | Led/White | -20...+70               |
| AM-320240LBTNQW-00H      | 3,5"      | 320×240    | 280                        | 300           | 77,8×66,0    | 70,08×52,56                | 18 bit RGB | Led/White | -20...+70               |
| AM-480272DTMQW-00H       | 4,0"      | 480×272    | 400                        | 350           | 98,3×62,6    | 87,84×49,776               | 24 bit RGB | Led/White | -30...+70               |
| AM-480272H3TMQW-00H      | 4,3"      | 480×272    | 250                        | 250           | 105,5×67,2   | 98,70×57,50                | 24 bit RGB | Led/White | -20...+70               |
| AM-800480LTMQW-00H       | 5,0"      | 800×480    | 450                        | 250           | 119,0×135,0  | 110,60×67,40               | 24 bit RGB | Led/White | -20...+70               |
| AM-640480JTMQW-00H       | 5,6"      | 640×480    | 350                        | 500           | 126,5×100    | 112,896×84,67              | 18 bit RGB | Led/White | -20...+70               |
| AM-320240NTMQW-30H-A(R)  | 5,7"      | 320×240    | 350                        | 500           | 131,0×102,2  | 115,2×86,4                 | 18 bit RGB | Led/White | -20...+70               |
| AM-320240N1TMQW-30H-B(R) | 5,7"      | 320×240    | 500                        | 350           | 167,0×109,0  | 115,2×86,4                 | 18 bit RGB | Led/White | -20...+70               |
| AM-320240N6TMQW-00H      | 5,7"      | 320×240    | 300                        | 350           | 126×101,8    | 115,2×86,4                 | 18 bit RGB | Led/White | -20...+70               |
| AM-640480G2TNQW-02H      | 5,7"      | 640×480    | 250                        | 250           | 127,0×98,43  | 115,2×86,4                 | 18 bit RGB | Led/White | -20...+70               |
| AM-640480G2TNQW-A0H      | 5,7"      | 640×480    | 500                        | 250           | 127,0×98,43  | 115,2×86,4                 | LVDS       | Led/White | -20...+70               |
| AM-800480T1TMQW-00H      | 6,2"      | 800×480    | 400                        | 600           | 155,2×88,2   | 137,52×77,23               | 18 bit RGB | Led/White | -20...+70               |
| AM-800480E2TMQW-01H      | 7,0"      | 800×480    | 500                        | 250           | 165,0×104,0  | 152,4×91,44                | 18 bit RGB | Led/White | -20...+70               |
| AM-800480E3TMQW-01H      | 7,0"      | 800×480    | 500                        | 250           | 165,0×104,0  | 152,4×91,44                | 18 bit RGB | Led/White | -10...+60               |
| AM-800480E4TMQW-00H      | 7,0"      | 800×480    | 500                        | 250           | 165,0×104,0  | 152,4×91,44                | 18 bit RGB | Led/White | -10...+60               |
| AM-800480E4TMQW-02H      | 7,0"      | 800×480    | 400                        | 250           | 165,0×104,0  | 152,4×91,44                | 18 bit RGB | Led/White | -10...+60               |
| AM-800480STMQW-00        | 7,0"      | 800×480    | 350                        | 400           | 165,0×104,0  | 152,4×91,44                | 18 bit RGB | Led/White | -20...+70               |
| AM-800480STMQW-A0        | 7,0"      | 800×480    | 350                        | 400           | 165,0×104,44 | 152,4×91,44                | LVDS       | Led/White | -20...+70               |
| AM-800480STMQW-B0        | 7,0"      | 800×480    | 350                        | 400           | 165,0×104,44 | 152,4×91,44                | 18 bit RGB | Led/White | -20...+70               |
| AM-800480STMQW-A1H       | 7,0"      | 800×480    | 350                        | 400           | 165,0×104,44 | 152,4×91,44                | LVDS       | Led/White | -20...+70               |
| AM-800600J1TMQW-B0H      | 7,0"      | 800×600    | 500                        | 250           | 155,5×121,5  | 141,6×106,2                | 18 bit RGB | Led/White | -10...+60               |
| AM-800480KTMQW-00H       | 8"        | 800×480    | 250                        | 500           | 192,8×116,9  | 176,64×99,36               | 24 bit RGB | Led/White | -20...+70               |
| AM-800600GTMQW-00H       | 8"        | 800×600    | 300                        | 400           | 183,0×141,0  | 162,0×121,5                | 18 bit RGB | Led/White | -20...+70               |
| AM-800600GTMQW-04H       | 8"        | 800×600    | 300                        | 400           | 183,0×141,0  | 162,0×121,5                | 18 bit RGB | Led/White | -20...+70               |
| AM-1024600BTMQW-00H      | 10"       | 1024×600   | 250                        | 500           | 235,0×145,8  | 220,42×129,15              | LVDS       | Led/White | -20...+70               |
| AM-800600LTNQW-B0H       | 10,4"     | 800×600    | 400                        | 300           | 236,0×176,9  | 215,0×158,4                | 18 bit RGB | Led/White | -20...+70               |
| AM-800600LTNQW-D0H       | 10,4"     | 800×600    | 300                        | 400           | 236,0×176,9  | 211,2×158,4                | LVDS       | Led/White | -20...+70               |
| AM-1024768DTMCW-00       | 12"       | 1024×768   | 220                        | 200           | 261,0×199,0  | 245,76×184,32              | LVDS       | CCFL      | -0...+50                |
| AM-1024768ETMCW-00       | 12"       | 1024×768   | 180                        | 450           | 270,0×199,0  | 245,76×184,32              | LVDS       | CCFL      | -0...+50                |

**Таблица 2. Модельный ряд TFT индикаторов со встроенными графическими контроллерами (8 bit parallel, SPI interface)**

| Модель               | Диагональ | Разрешение | Яркость, кд/м <sup>2</sup> | Контрастность | Габариты, мм | Размер видимой области, мм | Интерфейс      | Подсветка | Рабочая температура, °C |
|----------------------|-----------|------------|----------------------------|---------------|--------------|----------------------------|----------------|-----------|-------------------------|
| AM128160H8TNQW-00H   | 1,8"      | 128×160    | 150                        | 200:1         | 34,0×45,8    | 28,416×35,52               | 8 bit          | Led/White | -20...+70               |
| AM176220CTMQW-00H    | 2"        | 176×220    | 200                        | 200:1         | 36,38×48,95  | 31,68×39,6                 | 8/16 bit       | Led/White | -10...+60               |
| AM176220JTNQW-00H    | 2"        | 176×220    | 150                        | 200:1         | 36,38×48,95  | 31,68×39,6                 | 8/9/16/18 bit  | Led/White | -10...+60               |
| AM240320JTNQW-00H-A  | 2,2"      | 240×320    | 200                        | 200:1         | 56,9×52,8    | 33,48×44,64                | 8/16/18 bit    | Led/White | -20...+60               |
| AM2430320L8TNQW-00H  | 2,4"      | 240×320    | 200                        | 250:1         | 43,6×85,5    | 36,72×48,96                | 8/16/18 bit    | Led/White | -20...+60               |
| AM2430320LDTNQW-00H  | 2,4"      | 240×320    | 220                        | 200:1         | 43,6×61,5    | 36,72×48,96                | 8/9/16/18, SPI | Led/White | -10...+70               |
| AM2430320LDTNQW-T00H | 2,4"      | 240×320    | 220                        | 200:1         | 43,6×61,5    | 36,72×48,96                | 8/9/16/18, SPI | Led/White | -10...+70               |
| AM2430320METNQW-00H  | 2,8"      | 240×320    | 250                        | 300:1         | 50,2×69,2    | 43,2×57,6                  | 8/9/16/18, SPI | Led/White | -10...+70               |
| AM2430320METNQW-T00H | 2,8"      | 240×320    | 250                        | 300:1         | 50,2×69,2    | 43,2×57,6                  | 8/9/16/18, SPI | Led/White | -10...+70               |
| AM240400ATNQW-T00H   | 2,8"      | 240×400    | 230                        | 400:1         | 43,22×74,8   | 36,72×61,2                 | 8/9/16/18 bit  | Led/White | -20...+70               |
| AM240320M7TMQW-T00H  | 2,83"     | 240×320    | 200                        | 250:1         | 50,2×98,5    | 43,2×57,6                  | 8/9/16/18 bit  | Led/White | -10...+60               |
| AM240320D4TNQW-00H   | 3,2"      | 240×320    | 160                        | 160:1         | 55,64×77,3   | 48,6×64,8                  | 8/9/16/18 bit  | Led/White | -10...+60               |
| AM240320D4TNQW-T00H  | 3,2"      | 240×320    | 160                        | 160:1         | 55,64×77,3   | 48,6×64,8                  | 8/9/16/18 bit  | Led/White | -10...+60               |
| AM320240L8TNQW-B3H   | 3,5"      | 320×240    | 300                        | 300:1         | 77,8×64,5    | 70,08×52,56                | 8/9/16/18 bit  | Led/White | -20...+70               |
| AM320240L8TNQW-TB4H  | 3,5"      | 320×240    | 350                        | 300:1         | 77,8×64,5    | 70,08×52,56                | 8/9/16/18 bit  | Led/White | -20...+70               |
| AM320240LCTMQW-00H   | 3,5"      | 320×240    | 280                        | 300:1         | 77,8×64,5    | 70,08×52,56                | 8/9/16/18, SPI | Led/White | -20...+70               |
| AM320240LCTMQW-T00H  | 3,5"      | 320×240    | 224                        | 300:1         | 77,8×64,5    | 70,08×52,56                | 8/9/16/18, SPI | Led/White | -20...+70               |
| AM480272D1TMQW-W2H   | 4"        | 480×272    | 300                        | 350:1         | 98,3×62,6    | 87,84×49,776               | 8/9/16/18 bit  | Led/White | -20...+70               |
| AM480272D1TMQW-TW3H  | 4"        | 480×272    | 240                        | 350:1         | 98,3×62,6    | 87,84×49,776               | 8/9/16/18 bit  | Led/White | -20...+70               |
| AM480272C3TMQW-W00H  | 4,3"      | 480×272    | 300                        | 250:1         | 105,5×67,2   | 95,04×53,856               | 8/9/16/18 bit  | Led/White | -20...+70               |
| AM480272C3TMQW-TW1H  | 4,3"      | 480×272    | 240                        | 250:1         | 105,5×67,2   | 95,04×53,856               | 8/9/16/18 bit  | Led/White | -20...+70               |
| AM480272H3TMQW-W1H   | 4,3"      | 480×272    | 500                        | 250:1         | 105,5×67,2   | 95,04×53,856               | 8/9/16/18 bit  | Led/White | -20...+70               |
| AM480272H3TMQW-TW1H  | 4,3"      | 480×272    | 400                        | 250:1         | 105,5×67,2   | 95,04×53,856               | 8/9/16/18 bit  | Led/White | -20...+70               |
| AM800480LTMQW-W0H    | 5"        | 800×480    | 470                        | 250:1         | 118,5×77,1   | 108×64,8                   | 8/9/16/18 bit  | Led/White | -20...+70               |
| AM800480LTMQW-TW0H   | 5"        | 800×480    | 470                        | 250:1         | 118,5×77,1   | 108×64,8                   | 8/9/16/18 bit  | Led/White | -20...+70               |
| AM640480JTMQW-W0H    | 5,6"      | 640×480    | 200                        | 500:1         | 126,5×100    | 112,896×84,67              | 8/9/16/18 bit  | Led/White | -20...+70               |
| AM320240NTMQW-W0H    | 5,7"      | 320×240    | 500                        | 350:1         | 131×102,2    | 115,2×86,4                 | 8/9/16/18 bit  | Led/White | -20...+70               |
| AM320240NTMQW-TW4H   | 5,7"      | 320×240    | 500                        | 350:1         | 131×102,2    | 115,2×86,4                 | 8/9/16/18 bit  | Led/White | -20...+70               |
| AM320240N1TMQW-W0H   | 5,7"      | 320×240    | 500                        | 350:1         | 131×102,2    | 115,2×86,4                 | 8/9/16/18 bit  | Led/White | -20...+70               |
| AM320240N1TMQW-TW5H  | 5,7"      | 320×240    | 400                        | 350:1         | 131×102,2    | 115,2×86,4                 | 8/9/16/18 bit  | Led/White | -20...+70               |
| AM320240N5TMQW-W1H   | 5,7"      | 320×240    | 800                        | 350:1         | 144×104,6    | 115,2×86,4                 | 8/9/16/18 bit  | Led/White | -20...+70               |
| AM640480G2TNQW-W0H   | 5,7"      | 640×480    | 500                        | 250:1         | 127,0×98,43  | 115,2×86,4                 | 8/9/16/18 bit  | Led/White | -20...+70               |
| AM640480G2TNQW-TW0H  | 5,7"      | 640×480    | 400                        | 250:1         | 127,0×98,43  | 115,2×86,4                 | 8/9/16/18 bit  | Led/White | -20...+70               |
| AM480232G1TMQW-B0    | 7"        | 480×234    | 250                        | 250:1         | 164,9×100    | 154,08×86,58               | 8/9/16/18 bit  | Led/White | 0...+60                 |
| AM240320JTNQW-00H-A  | 7"        | 480×234    | 200                        | 250:1         | 164,9×100    | 154,08×86,58               | 8/9/16/18 bit  | Led/White | 0...+60                 |
| AM800480STMQW-W0     | 7"        | 800×480    | 350                        | 400:1         | 165,0×104,44 | 152,4×91,44                | 8/9/16/18 bit  | Led/White | -20...+70               |
| AM800480STMQW-TW0    | 7"        | 800×480    | 350                        | 400:1         | 165,0×104,44 | 152,4×91,44                | 8/9/16/18 bit  | Led/White | -20...+70               |

# ЖИДКОКРИСТАЛЛИЧЕСКИЕ ИНДИКАТОРЫ КОМПАНИИ DISPLAYTRONIC

Компания Displaytronic ([www.displaytronic.com](http://www.displaytronic.com)) является американо-тайванским совместным предприятием по производству широкого спектра высококачественных символьных и графических модулей. С 1998 года Displaytronic занимается производством ЖК модулей для европейских заказчиков, завоевав статус недорогого и качественного производителя. Высококвалифицированный штат инженеров, специалистов в области управления и маркетинга, в условиях современного производства и строгого контроля технологического процесса гарантируют высокое качество выпускаемой Displaytronic продукции.

По техническим характеристикам модули Displaytronic можно поставить в ряд с такими известными производителями, как FORDATA, POWER TIP, WINSTAR, SUNLIKE, DATAVISION, МЭЛТ и др. Надежность и качество ЖК-модулей Displaytronic не уступает конкурентам, а экономический эффект при их использовании довольно существенный.

В конце 2005 года компания Displaytronic вышла на российский рынок, представив весь спектр своей продукции.

Сегодня фирма Displaytronic предлагает русифицированные знакосинтезирующие и графические модули практически во всех стандартных конструктивах (таблица 1).

В знакосинтезирующих индикаторах используются контроллеры, совместимые с промышленным стандартом HD44780, а в графических индикаторах контроллеры, аналогичные SeikoEpson, Samsung и т.д. Все знакосинтезирующие индикаторы Displaytronic совместимы на уровне систем команд, таблиц знакогенератора, габаритных размеров с ЖКИ других производителей. Это позволяет производить замену индикаторов на аналогичные модели от фирмы Displaytronic, как уже в состоявшихся проектах, так и на начальных стадиях разработки, обеспечивая при этом снижение затрат и уменьшение себестоимости продукции. Замена на индикаторы Displaytronic не повлечет за собой каких-либо изменений в конструктиве. Для удобства поиска возможной замены предлагаем использовать таблицу взаимозаменяемости символьных ЖК-индикаторов (таблица 3).

Весь модельный ряд включает в себя индикаторы, которые можно использовать в диапазоне температур  $-20...+70^{\circ}\text{C}$  (расширенный температурный диапазон). При этом индикаторы могут поставляться как со встроенным источником отрицательного напряжения, так и без него. Если у потребителя есть возможность внешне подавать отрицательное напряжение, необходимость использования встроенного источника просто отпадает. Это дает возможность дополнительно снизить цену на индикатор.

В ближайшее время фирма Displaytronic планирует начать выпуск модулей, рассчитанных для эксплуатации при температуре  $-30^{\circ}\text{C}$  малым временем релаксации.

Все серии знакосинтезирующих индикаторов Displaytronic включают в себя версии с 3-вольтовым питанием.

В настоящее время доступны для заказа индикаторы с различными опциями, такими как:

- 1) Выбор цвета и типа поляризатора STN (желто-зеленый или серый оттенок), FSTN.
- 2) Выбор различных световых схем: негативный (синий) или позитивный.

Таблица 1. Стандартный модельный ряд

| Знакосинтезирующие индикаторы |                        |                            |                    |                  |
|-------------------------------|------------------------|----------------------------|--------------------|------------------|
| Модель                        | Габариты, мм           | Размер видимой области, мм | Размер символа, мм | Размер точки, мм |
| ACM0802C                      | 48,0x42,0x9,5/13,5     | 38,00x16,00                | 2,96x5,56          | 0,56x0,66        |
| ACM0802D                      | 58,0x32,0x8,6/12,9*    | 38,00x16,00                | 2,96x5,56          | 0,56x0,66        |
| ACM1601C                      | 80,0x36,0x9,5/13,5*    | 64,5x14,0                  | 3,07x6,56          | 0,55x0,75        |
| ACM1601H                      | 122,0x33,0x9,5/14,5*   | 99,0x13,0                  | 4,84x9,22          | 0,92x1,10        |
| ACM1602B                      | 84,0x44,0x9,5/13,5*    | 64,5x16,4                  | 3,00x5,23          | 0,56x0,61        |
| ACM1602E                      | 53,0x20,0x8            | 64,5x16,4                  | 3,00x5,23          | 0,56x0,61        |
| ACM1602F                      | 85,0x36,0x9,5/14,6*    | 36,0x10,0                  | 3,00x5,24          | 0,33x0,35        |
| ACM1602K                      | 80,0x36,0x9,5/13,5*    | 64,5x16,4                  | 3,00x5,23          | 0,56x0,61        |
| ACM1602N                      | 85,0x29,5x9,5/13,5*    | 64,5x16,4                  | 3,00x5,23          | 0,50x0,55        |
| ACM1602S                      | 122,0x44,0x9,5/13,5*   | 99,0x24,0                  | 5,20x9,55          | 1,05x1,20        |
| ACM1602T                      | 85,0x32,6x9,5/13,5*    | 64,5x16,4                  | 3,00x5,23          | 0,56x0,61        |
| ACM1602Y                      | 71,5x36,0x9,5/13,5*    | 64,5x16,4                  | 3,00x5,23          | 0,56x0,61        |
| ACM1604C                      | 87,0x60,0x9,5/13,5*    | 61,8x25,2                  | 2,95x4,75          | 0,55x0,55        |
| ACM2002D                      | 116,0x37,0x9,5/13,5*   | 83,0x18,6                  | 3,20x5,55          | 0,60x0,65        |
| ACM2002R                      | 180,0x40,0x9,5/14,5*   | 149,0x23,0                 | 6,00x9,66          | 1,12x1,12        |
| ACM2004D                      | 98,0x60,0x9,5/14,0*    | 76,0x25,2                  | 2,95x4,75          | 0,55x0,55        |
| ACM2004E                      | 182,0x90,0x9,0/13,5    | 147,0x64,5                 | 12,75x5,9          | 1,1x1,5          |
| ACM2402C                      | 118,0x36,0x9,5/14,0*   | 94,0x17,8                  | 3,20x5,55          | 0,60x0,65        |
| ACM4002E                      | 182,0x33,5x9,5/14,5    | 154,0x16,5                 | 3,20x5,55          | 0,60x0,65        |
| ACM4004K                      | 190,0x54,0x9,5/14,0*   | 147,0x29,5                 | 2,78x4,89          | 0,57x0,62        |
| Графические ЖКИ               |                        |                            |                    |                  |
| Модель                        | Габаритные размеры, мм | Размер видимой области, мм | Размер символа, мм | Размер точки, мм |
| AGM1232E                      | 66,1x27,3x8,5          | 60,5x18,5                  | 0,40x0,45          | 0,44x0,45        |
| AGM1232G                      | 84,0x44,0x9,0/13,0*    | 60,0x18,0                  | 0,40x0,45          | 0,44x0,49        |
| AGM1232K                      | 70,6x35,2x8,2          | 57,0x20,0                  | 0,36x0,41          | 0,40x0,45        |
| AGM1232L                      | 96,0x44,0x8,2          | 57,0x20,0                  | 0,36x0,41          | 0,40x0,45        |
| AGM1232S                      | 85,0x32,6x8,2          | 57,0x20,0                  | 0,36x0,41          | 0,40x0,45        |
| AGM1264F                      | 93,0x70,0x9,5/14,0*    | 70,7x38,8                  | 0,48x0,48          | 0,52x0,52        |
| AGM1264K                      | 78,0x70,0x9,5/13,5     | 62,0x44,0                  | 0,39x0,55          | 0,44x0,60        |
| AGM1212F                      | 92,0x106,0x12,0/14,5   | 73,0x73,0                  | 0,50x0,50          | 0,55x0,55        |
| AGM1212G                      | 72,4x69,6x9,5/13,5*    | 49,0x49,0                  | 0,32x0,32          | 0,35x0,35        |
| AGM1212H                      | 88,4x88,6x9,5/6,5      | 69,0x69,0                  | 0,46x0,46          | 0,35x0,36        |
| AGM16032A                     | 85,0x29,5x13,5*        | 64,5x16,4                  | 0,33x0,33          | 0,5x0,5          |
| AGM1964D                      | 120,0x62,0x13,0*       | 104,0x39,0                 | 0,458x0,458        | 0,508x0,508      |
| AGM2464B                      | 180,0x65,0x12,5*       | 133,0x39,0                 | 0,49x0,49          | 0,53x0,53        |
| AGM2412A                      | 144,0x104,0x12,5*      | 114,0x64,0                 | 0,40x0,40          | 0,45x0,45        |

Примечание: \* — с учетом подсветки



**Таблица 2. Система обозначений ЖКИ Displaytronic**

| ACM/AGM | 1602  | N | - | F | L | - | G | T | H | - | T | Комментарий                      |
|---------|---|---|---|---|---|---|---|---|---|---|---|----------------------------------|
| 1       | 2   | 3 | 4 | 5 | 6 | 7 | 8 | 9 |   |   |   |                                  |
| 1       | ACM: знакосинтезирующий (символьный) модуль. AGM: графический модуль.   |   |   |   |   |   |   |   |   |   |   | Тип модуля                       |
| 2       | 1602=16*2 2464=240*64<br>2004=20*4 1232=122*32<br>4002=40*2 1264=128*64   |   |   |   |   |   |   |   |   |   |   | Формат модуля                    |
| 3       | A,B,C,...Z= (габаритный размер модуля)  |   |   |   |   |   |   |   |   |   |   | Модель                           |
| 4       | R=Reflective (отражение)<br>F=Transflective (отражение, просвет)<br>M=Transmissive, Positive (просвет (для позит.))<br>N=Transmissive, Negative (просвет (для негат.))  |   |   |   |   |   |   |   |   |   |   | Тип поляризатора                 |
| 5       | N=None<br>L=Yellow-Green LED (желто-зеленая, светодиодная)<br>LW=White LED (белая, светодиодная)<br>LA=Amber (янтарная, светодиодная)<br>LB=Blue (голубая, светодиодная)<br>LG=Green (зеленая, светодиодная)<br>LR=Red (красная, светодиодная)<br>LRGB=RGB (красная, зеленая, голубая (трехцветная, светодиодная))<br>E=EL (электролюминесцентная)<br>C=CCFL (лампа с холодным катодом) |   |   |   |   |   |   |   |   |   |   | Тип и цвет подсветки             |
| 6       | T=TN<br>G=STN серый<br>Y=STN желто-зеленый<br>B=STN (голубой), негативный<br>F=FSTN   |   |   |   |   |   |   |   |   |   |   | Тип поляризатора                 |
| 7       | B=Bottom View (6:00 часов)<br>T=Top View (12:00 часов)<br>L=Left View (9:00 часов)<br>R=Right View (3:00 часа)  |   |   |   |   |   |   |   |   |   |   | Угол обзора                      |
| 8       | S = 0...+50 (однополярное питание)<br>D = 0...+50 (двуполярное питание)<br>W = -20...+70 (однополярное питание)<br>H = -20...+70 (двуполярное питание)  |   |   |   |   |   |   |   |   |   |   | Температурный диапазон и питание |
| 9       | T=Touch Screen  |   |   |   |   |   |   |   |   |   |   | Опции                            |

3) Широкий выбор цвета и типа подсветки (LED (Amber, Red, Green, Blue, Yellow-green, RGB), EL, CCFL).

4) Ориентация угла обзора 6 или 12 часов.

5) Выбор температурного диапазона (обычный 0...+50 °C, расширенный -20...+70 °C).

6) Выбор для знакосинтезирующих индикаторов напряжения питания 5 либо 3,3 В.

7) Выбор наличия либо отсутствия встроенного источника отрицательного напряжения.

Наименования индикатора с желаемым набором опций может быть сформировано на основе системы обозначений (таблица 2).

Одним из новшеств производителя стали знакосинтезирующие индикаторы с RGB подсветкой. Эта подсветка позволяет получить практически любой оттенок цвета за счет смешения трех цветов (красного, зеленого и голубого), либо использовать один из трех цветов, по желанию потребителя. Данное решение должно заинтересовать потребителей, желающих разнообразить свой модельный ряд и получить более яркий визуальный эффект. На данный момент начат серийный выпуск RGB подсветок для индикаторов 16x2; 20x2 и 24x2. В дальнейшем планируется выпуск таких подсветок для всего модельного ряда знакосинтезирующих и большинства графических индикаторов.

Наряду со стандартной продукцией, Displaytronic предлагает также, при поддержке технического персонала, разработать и произвести заказные модули для специализированного применения под проекты заказчика в короткие сроки и по доступным ценам.

**Таблицу 3. Таблица взаимозаменяемости знакосинтезирующих индикаторов**

| Формат | DISPLAYTRONIC | TIANMA | POWERTIP    | BOLYMIN  | MICROTIPS  | DATA VISION | SUNLIKE  | WINSTAR | WINTEK    | FORDATA   |
|--------|---------------|--------|-------------|----------|------------|-------------|----------|---------|-----------|-----------|
| 8x2    | АСМ0802D      | TM82A  | PC0802-A    | BC0802A  | MTC-0802X  | DV-0802     | SC0802A  | WH0802A | WM-C0802M | FDC0802B  |
| 8x2    | АСМ0802C      | -      | -           | -        | -          | -           | SC0802D  | -       | -         | -         |
| 16x1   | АСМ1601C      | TM161A | PC1601-A    | BC1601A1 | MTC-16100X | DV-16100    | SC1601A  | WH1601A | WM-C1601M | FDCC1601D |
| 16x1   | АСМ1601H      | TM161F | PC1601-L    | BC1601D1 | MTC-16101X | DV-16110    | SC1601D  |         | WM-C1601Q | FDCC1601B |
| 16x2   | АСМ1602S      | TM162G | PC1602-L    | BC1602E  | MTC-16201X | DV-16210    | SC1602E  | WH1602L | WM-C1602Q | FDCC1602A |
| 16x2   | АСМ1602E      | TM162X | PC1602-K-Y4 | -        | MTB-115    | -           | SC1602P  | -       | -         | -         |
| 16x2   | АСМ1602N      | TM162V | PC1602-J    | BC1602B1 | MTC-16202X | DV-16230    | SC1602B  | WH1602D | WM-C1602N | FDCC1602D |
| 16x2   | АСМ1602F      | TM162J | PC1602-H    | BC1602D  | -          | DV-16236    | SC1602D  | WH1602C | WM-C1602K | FDCC1602B |
| 16x2   | АСМ1602B      | TM162D | PC1602-F    | BC1602H  | MTC-16204X | DV-16244    | SC1602C  | WH1602A | WM-C1602K | FDCC1602E |
| 16x2   | АСМ1602K      | TM162A | PC1602-D    | BC1602A  | MTC-16205B | DV-16252    | SC1602A  | WH1602B | WM-C1602M | FDCC1602G |
| 16x2   | АСМ1602T      | -      | PC1602-I    | BC1602F  | -          | DV-16257    | SC81602F | WH1602M | -         | FDCC1602C |
| 16x2   | АСМ1602Y      | -      | PC1602N     | -        | -          | -           | SD1602Q  | -       | -         | -         |
| 16x4   | АСМ1604C      | TM164A | PC1604-A    | BC1604A1 | MTC-16400X | DV-16400    | SC1604A  | WH1604A | WM-C1604M | FDCC1604A |
| 20x2   | АСМ2002D      | TM202J | PC2002-A    | BC2002A  | MTC-20200X | DV-20200    | SC2002A  | WH2002A | WM-C2002M | FDCC2002D |
| 20x2   | АСМ2002R      | TM202M | PC2002-M    | BC2002B  | MTC-20201X | DV-20210    | SC2002C  | WH2002L | WM-C2002P | -         |
| 20x4   | АСМ2004D      | TM204A | PC2004-A    | BC2004A  | MTC-20400X | DV-20400    | SC2004A  | WH2004A | WM-C2004P | FDCC2004F |
| 20x4   | АСМ2004E      | -      | -           | -        | -          | -           | -        | -       | -         | -         |
| 24x2   | АСМ2402C      | TM242A | PC2402-A    | BC2402A  | MTC-24200X | DV-24200    | SC2402A  | WH2402A | WM-C2402P | FDCC2402E |
| 40x2   | АСМ4002E      | TM402A | PC4002-C    | BC4002A  | MTC-40200X | DV-40200    | SC4002A  | WH4002A | WM-C4002P | FDCC4002B |
| 40x4   | АСМ4004K      | TM404A | PC4004-A    | BC4004A  | MTC-40400X | DV-40400    | SC4004A  | WH4004A | WM-C4004M | FDCC4004A |

# МАГНИТОРЕЗИСТИВНЫЕ ПОЛУПРОВОДНИКОВЫЕ ДАТЧИКИ NXP SEMICONDUCTORS

## МАГНИТОРЕЗИСТИВНЫЙ ЭФФЕКТ

Магниторезистивные датчики фирмы NXP Semiconductors разработаны на основе эффекта изменения ориентации намагниченности  $M$  внутренних доменов в слое пермаллоя (NiFe) под воздействием внешнего магнитного поля  $H$ . Сопротивление пермаллоя зависит от угла  $\alpha$  между направлением тока и вектором намагниченности  $M$  (рис. 1). Так, если угол равен  $90^\circ$ , то сопротивление датчика минимально. С уменьшением угла вплоть до  $0^\circ$  сопротивление возрастает.

Магниторезистивные датчики компании NXP имеют следующие особенности:

- датчики реагируют на направление поля, а не на силу поля, как в эффекте Холла (Hall-Effect);
- чувствительной зоной в сенсоре является область с максимальным насыщением напряженности поля, поэтому достигаются: независимость от магнитного дрейфа (life time); независимость от механических допусков (расстояния между магнитом и датчиком); независимость от механических изменений, вызванных тепловым напряжением; высокая стабильность по температуре; расширенный температурный диапазон от  $-40$  до  $+160^\circ\text{C}$  (что позволяет, например, размещать датчики в подкапотном пространстве, в непосредственной близости к двигателю внутреннего сгорания).

## ТИПЫ СЕНСОРОВ NXP

Компания NXP выпускает датчики на основе магниторезистивного эффекта для измерения частоты вращения и измерения угловых координат серии KMI, KMA, KMZ.

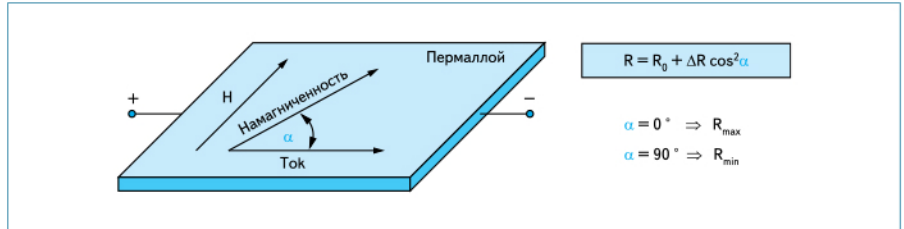


Рис. 1. Принцип магниторезистивного эффекта

### Датчики измерения частоты вращения

Для измерения частоты вращения компания NXP предлагает датчики серии KMI15, KMI16, KMI18 (табл. 1, рис. 2).

Датчики поставляются в комплекте с магнитом.

### Измерение угловой координаты

В арсенале датчиков измерения угловой координаты компании NXP имеются датчики серии KMZ и KMA (табл. 2).

Обработку сигналов с датчиков KMZ41, KMZ43 рекомендуется выполнять на чипах UZZ9000 и UZZ9001.

Наиболее эффективными из датчиков углового положения компании NXP являются программируемые сенсоры KMA200 и KMA199E. Они содержат не только чувствительные элементы, но и сигнальный процессор. KMA200 и KMA199E идеально подходят для таких автомобильных применений как бесконтактный датчик положения дроссельной заслонки (ДПЗ) и электронной педали газа. В свете перехода всех производителей автомобилей на стандарт Евро5 эти датчики начинают пользоваться огромной популярностью.

### Новые магниторезистивные датчики NXP



В конце 2009 года компания NXP анонсировала новый магниторезистивный датчик угла серии KMZ60. Датчик сопоставим с работой датчика серии KMZ43T, но обладает расширенными возможностями и температурной компенсацией. Датчик измерения угловой координаты KMZ60 представляет законченное решение для измерения угловых координат вращающихся объектов, он содержит в одном 8-выводном корпусе магниторезистивный датчик и схему обработки. На выходе KMZ60 стоят операционные усилители, что позволяет подавать выходной сигнал сразу на аналого-цифровой преобразователь. KMZ60 был специально разработан для работы с бесщёточными двигателями, например для электроусилителя рулевого управления (electric power steering, EPS).

Развитием версии магниторезистивного датчика KMA199 стал новый датчик версии KMA210. Датчик содержит магниторезистивный датчик, сигнальный процессор, и два выходных конденсатора. Наличие встроенных конденсаторов не требует введения

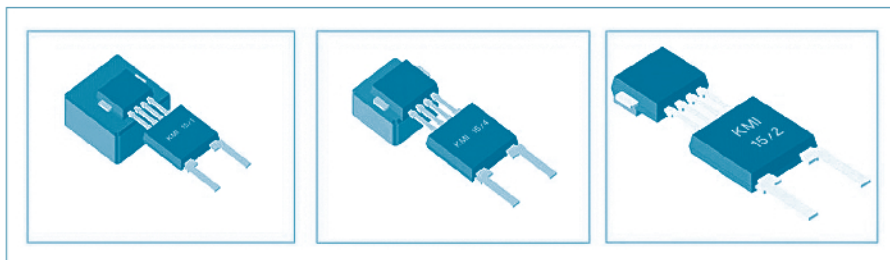


Рис. 2. Датчики измерения частоты вращения

Таблица 1. Датчики для измерения частоты вращения

| Тип     | Рабочий зазор, мм | Размер магнита, мм | Рабочая температура, °C | Тип выхода      | Корпус  |
|---------|-------------------|--------------------|-------------------------|-----------------|---------|
| KMI15/1 | 2,5               | 8,0x8,0x4,5        | -40...+85               | токовый         | SOT453  |
| KMI15/2 | 2,5               | 3,8x2,0x0,8        | -40...+85               | токовый         | SOT455  |
| KMI15/4 | 2                 | 5,5x5,5x3,0        | -40...+85               | токовый         | SOT454  |
| KMI16/1 | 2,5               | 8,0x8,0x4,5        | -40...+150              | откр. коллектор | SOT477  |
| KMI18/2 | 2,5               | 3,8x2,0x0,8        | -40...+150              | откр. коллектор | SOT477A |
| KMI18/4 | 2,5               | 5,5x5,5x3,0        | -40...+150              | откр. коллектор | SOT477A |

Таблица 2. Датчики измерения угловой координаты

| Тип     | Угол ° | Выходной сигнал  | Напряжение вых., В | Напряжение питания, В | Рабочая температура, °C | Корпус |
|---------|--------|------------------|--------------------|-----------------------|-------------------------|--------|
| KMZ41   | 180    | sin/cos          | 0,08               | 5-9                   | -40...+150              | S08    |
| KMZ43T  | 180    | sin/cos          | 0,068              | 5-9                   | -40...+160              | S08    |
| KMA200  | 180    | 4 аналог./2 цифр | 0-5                | 4,5-5,5               | -40...+160              | SIP5   |
| KMA210  | 180    | 1 аналоговый     | 0-5                | 4,5-5,5               | -40...+160              | SIP3   |
| KMA199E | 180    | 1 аналоговый     | 0-5                | 4,5-5,5               | -40...+150              | SIP3   |
| KMZ60   | 180    | sin/cos          | 0,69               | 3-5,5                 | -40...+150              | S08    |

в схему обработки навесных элементов. Основными характеристиками датчика являются, наличие защиты от перенапряжения и переплюсовки питания до 16 В, диагностика потери магнита и напряжения питания, наличие энергонезависимой памяти (EEPROM).

Области применения магниторезистивных датчиков:

- автомобильная электроника (угол положения дворников, положение рулевого колеса в электроусилителе автомобиля, датчик положения дроссельной заслонки, угол положения педали газа и наклона сидений, угол поворота фар, активная подвеска

- автомобиля, системы безопасности (ABS, EBD, ESP), автоматические коробки передач и другие);
- промышленные применения (посудомоечные машины, робототехника, вильчатые подъемники);
- медицинское оборудование;
- научно-исследовательская техника.

# 32-РАЗРЯДНЫЕ МИКРОКОНТРОЛЛЕРЫ NXP С ЯДРОМ ARM CORTEX™-M0

## ОБЩАЯ ИНФОРМАЦИЯ

Микроконтроллеры NXP на базе 32-разрядного ядра ARM Cortex™-M0 предназначены для решений чувствительных к себестоимости и требующих высокой производительности при низком энергопотреблении. Они сочетают в себе высокую плотность кода, возможность работы на частоте до 50 МГц, обширный набор легко конфигурируемой периферии, 32-разрядные таймеры, DMA, аппаратный модуль расчета контрольной суммы CRC, АЦП и компараторы. Использование микроконтроллеров серии LPC1100 в новых разработках, вместо устаревших 8- и 16-разрядных микроконтроллеров, позволит сократить энергопотребление и уменьшить габариты устройства, а предлагаемые NXP отладочные средства сократят расходы и время разработки.

## АРХИТЕКТУРА ARM CORTEX™-M0

В настоящее время архитектура ARM занимает лидирующие позиции и достигает 90% рынка 32-разрядных встраиваемых RISC-микропроцессоров. Распространенность данного ядра объясняется его стандартностью, предоставляя возможность разработчику более гибко использовать, как свои, так и сторонние программные наработки, как при переходе на новое процессорное ARM-ядро, так и при миграциях между разными типами ARM-микроконтроллеров, что позволяет существенно снизить финансовые затраты и сэкономить время на разработку, и как следствие выпуск продукции. Процессор Cortex™-M0 — является 32-битым процессором начального уровня, разработанный специально для использования в микроконтроллерах и системах-на-кристалле. Он основан на высокоэффективном ядре с архитектурой ARMv6-M с 3-ступенчатым конвейером и поддержкой набора инструкций ARMv6-M Thumb®. Благодаря развитой системе 16-битных инструкций, 32-разрядным реги-

страм общего назначения и возможности условного исполнения некоторых инструкций, достигается важное преимущество Cortex процессоров — высокая плотность машинного кода, которая превосходит аналогичный показатель 8-разрядных МК на 40...50%. Например, операция перемножение двух 32-разрядных чисел может быть выполнена одной инструкцией процессора Cortex™-M0 за один такт, а конструкции if-then-else могут компилироваться без организации ветвлений в машинном коде. В результате это позволяет использовать недорогие модели микроконтроллеров с меньшим объемом Flash-памяти.

Процессор Cortex™-M0 содержит около 12 000 вентилей, а его энергопотребление составляет 0,085 мВт/МГц при максимально возможной рабочей частоте — 50 МГц. Программно программируемый контроллер NVIC позволяет установить один из 4 уровней приоритета для аппаратных и программных источников прерывания и поддерживает немаскируемые прерывания. Задержка обработки минимизирована за счет того, что контроллер прерываний встроен в процессор Cortex™-M0. При переходе в режим сверхнизкого энергопотребления, deep-sleep, питание процессора и NVIC может быть отключено. В этом случае за прием сигналов прерывания от периферии и запуск процессора отвечает вспомогательный контроллер прерываний WIC.

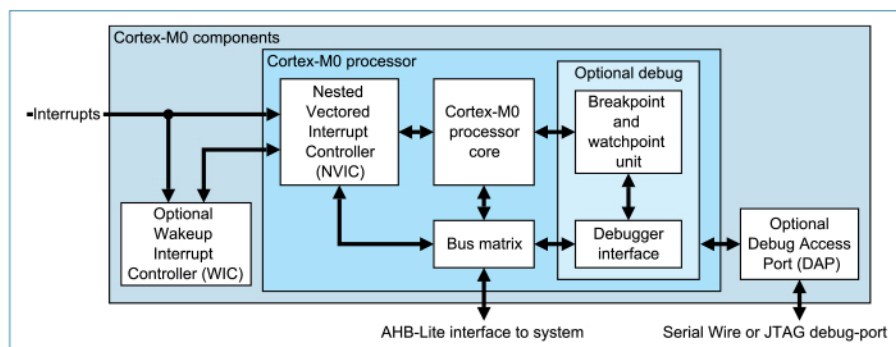
## ОСОБЕННОСТИ МИКРОКОНТРОЛЛЕРОВ NXP НА БАЗЕ CORTEX™-M0

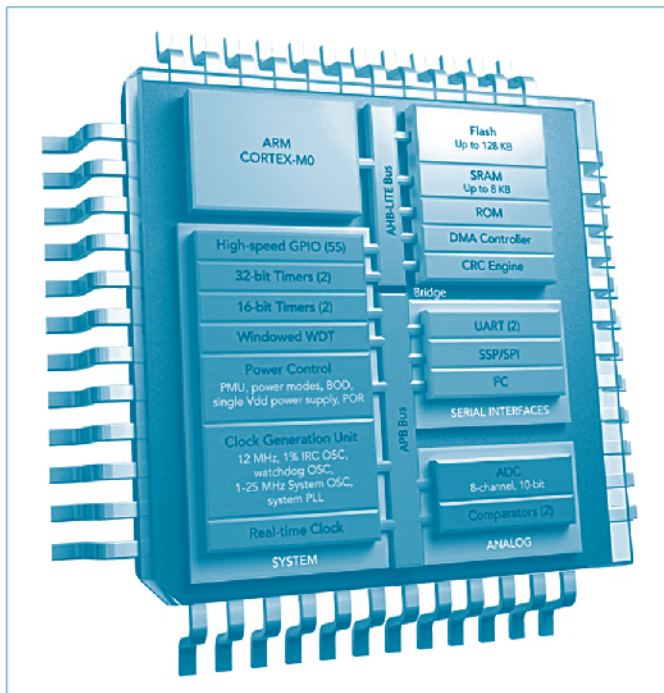
По результатам различных тестов производительность микроконтроллеров NXP на базе Cortex™-M0 превосходит производительность устаревших 8- и 16-битных микроконтроллеров в 2...10 раз. Это преимущество особенно важно для устройств, работающих от химических источников тока, так как позволяет быстрее производить необ-

ходимые вычисления и приключаться в режим глубокого сна, в котором микроконтроллер потребляет незначительный ток. Например, модель LPC1111FHN33/102 из семейства LPC1100 в этом режиме потребляет всего 0,22 мкА. Некоторые микроконтроллеры NXP с ядром Cortex™-M0 совместимы по выводам с микроконтроллерами из других линеек на базе более производительного ядра Cortex™-M3, что существенно облегчает модернизацию устройств. При этом необходимости разрабатывать новое программное обеспечение нет, так как программы для ядра Cortex™-M0, будут успешно выполняться на ядрах Cortex™-M3 и Cortex™-M4. Следует отметить, что все версии микроконтроллеров NXP на базе Cortex™-M0 доступны в планарных SMD-корпусах, который облегчает монтаж при разработке устройства и не требует дорогостоящего автоматического монтажа при производстве, как, например, различные модификации BGA. Исключение составляет ультра компактный микроконтроллер LPC1102 с размерами корпуса 2,2×2,3×0,3 мм. Программирование Flash-памяти микроконтроллеров может быть осуществлено двумя способами: через интерфейс SWD (Single Wire Debug) посредством SWD-отладчика либо через интерфейс UART с помощью любого подходящего устройства, включая ПК. Во втором случае задействуется программа-загрузчик записанная в память микроконтроллера при производстве.

## LPC1200 — НОВОЕ СЕМЕЙСТВО ЭНЕРГОЭФФЕКТИВНЫХ МИКРОКОНТРОЛЛЕРОВ ДЛЯ АВТОМАТИКИ И БЫТОВОЙ ТЕХНИКИ

Микроконтроллеры LPC1200 расширяют линейку 32-битных ARM-микроконтроллеров NXP и ориентированы на широкий диапазон промышленных применений в области производственной и бытовой автоматике, таких как крупная бытовая техника, блоки управления двигателями, преобразователи энергии и источники электропитания. Семейство LPC1200 также расширяет портфель микроконтроллеров на базе ядра Cortex™-M0, предлагая широкий выбор объемов Flash-памяти. Теперь заказчики LPC1200 могут выбрать микроконтроллер с необходимым им объемом Flash-памяти в диапазоне от 32 до 128 кбайт с шагом 8 кбайт. Платформа продуктов LPC1200 специально создавалась с ориентацией на предоставление гибкости и возможностей модификации в соответствии с запросами





#### Модели семейства LPC1200

| Модель           | Размер Flash, кбайт | Размер ОЗУ, кбайт | UART | I <sup>2</sup> C/ Fast+ | SSP/SPI | АЦП | GPIO | Корпус |
|------------------|---------------------|-------------------|------|-------------------------|---------|-----|------|--------|
| <b>LPC1227</b>   |                     |                   |      |                         |         |     |      |        |
| LPC1227FBD64/301 | 128                 | 8                 | 2    | 1                       | 1       | 8   | 55   | LQFP64 |
| LPC1227FBD48/301 | 128                 | 8                 | 2    | 1                       | 1       | 8   | 39   | LQFP48 |
| <b>LPC1226</b>   |                     |                   |      |                         |         |     |      |        |
| LPC1226FBD64/301 | 96                  | 8                 | 2    | 1                       | 1       | 8   | 55   | LQFP64 |
| LPC1226FBD48/301 | 96                  | 8                 | 2    | 1                       | 1       | 8   | 39   | LQFP48 |
| <b>LPC1225</b>   |                     |                   |      |                         |         |     |      |        |
| LPC1225FBD64/321 | 80                  | 8                 | 2    | 1                       | 1       | 8   | 55   | LQFP64 |
| LPC1225FBD64/301 | 64                  | 8                 | 2    | 1                       | 1       | 8   | 55   | LQFP64 |
| LPC1225FBD48/321 | 80                  | 8                 | 2    | 1                       | 1       | 8   | 39   | LQFP48 |
| LPC1225FBD48/301 | 64                  | 8                 | 2    | 1                       | 1       | 8   | 39   | LQFP48 |
| <b>LPC1224</b>   |                     |                   |      |                         |         |     |      |        |
| LPC1224FBD64/121 | 48                  | 4                 | 2    | 1                       | 1       | 8   | 55   | LQFP64 |
| LPC1224FBD64/101 | 32                  | 4                 | 2    | 1                       | 1       | 8   | 55   | LQFP64 |
| LPC1224FBD48/121 | 48                  | 4                 | 2    | 1                       | 1       | 8   | 39   | LQFP48 |
| LPC1224FBD48/101 | 32                  | 4                 | 2    | 1                       | 1       | 8   | 39   | LQFP4  |

клиентов, что делает ее максимально соответствующей многочисленным требованиям энергосберегающих систем и систем управления энергопотреблением. Например, в современных стиральных машинах простые интегрированные и энергосберегающие решения на базе LPC1200 позволяют управлять системами двигателей, поддерживать интерфейс пользователя, контролировать энергопотребление и управлять обменом информацией с внешними источниками.

Решение NXP LPC1200 предлагает свыше 50 комбинаций Flash и SRAM-памяти, обеспечивая разработчикам максимальную гибкость для оптимизации функций и стоимости продуктов при сохранении размера посадочного места. Кроме того, небольшой 512-байтный сектор стирания Flash-памяти обеспечивает несколько дополнительных преимуществ в разработке, таких как более точная эмуляция EEPROM, поддержка загрузки любым последовательным интерфейсом и простота объектного программирования при снижении необходимого объема буфера RAM на кристалле. Уникальная архитектура памяти SRAM, разработанная NXP, позволяет LPC1200 минимизировать энергопотребление посредством автоматической установки каждого маломощного 2-кбайтного блока режима низкого энергопотребления.

Сильноточные порты ввода/вывода общего назначения (GPIO) позволяют непосредственно управлять симисторами без необходимости использования внешних транзисторов, обеспечивая дальнейшее уменьшение размеров посадочного места и снижение затрат. Разработанный с учетом требований высокой надежности и отказоустойчивости, по результатам теста на устойчивость к быстрому

переходному режиму (Electrical Fast Transient, EFT), проводимого компанией Langer EMV-Technik, GmbH в соответствии с рекомендациями IEC61697-1, микроконтроллер LPC1200 был оценен как высоко помехоустойчивый. Уровень защиты от электростатического разряда (ESD) составил 8 кВ.

Семейство LPC1200 удовлетворяет высоким системным требованиям, обеспечивая высокое значение (выше 45) в тесте производительности процессора CoreMark™. Для массовых применений платформа LPC1200 обеспечивает быструю установку узко прикладных решений (ASSP) для выполнения самых разнообразных функций управления промышленным оборудованием посредством гибкого подключения контроллера прерываний, подсистемы DMA, интегрированных периферийных устройств и GPIO. Решение для распознавания внешних и внутренних событий и выполнения заранее определенных задач без привлечения центрального процессора значительно снижает нагрузку на центральный процессор.

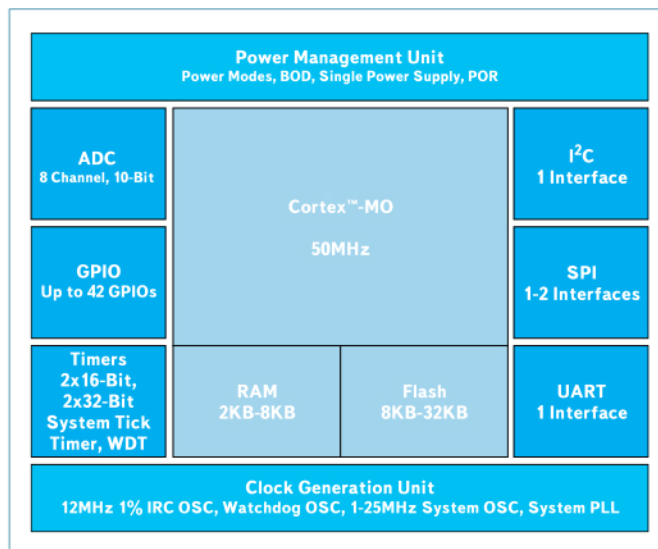
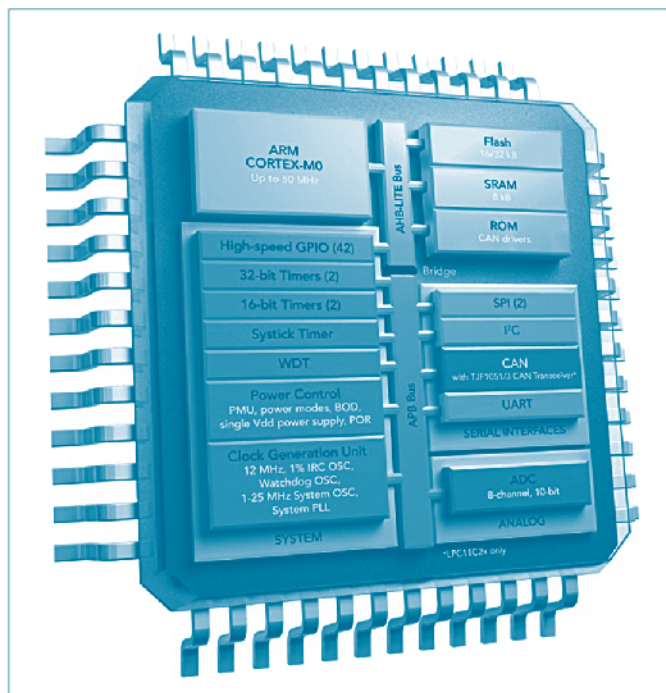
Будущие модифицированные решения LPC1200 будут иметь дополнительные функции, такие как интегрированный драйвер сегментного дисплея 40×4.

### ИННОВАЦИОННЫЕ ПЕРИФЕРИЙНЫЕ УСТРОЙСТВА ДЛЯ УПРАВЛЕНИЯ ПРОМЫШЛЕННЫМ ОБОРУДОВАНИЕМ

- Микроконтроллер LPC1200 оснащен набором периферийных устройств, специально предназначенных для применения в системах управления бытовым и промышленным оборудованием;
- Сторожевой таймер с «оконным» интерфейсом и независимым внутренним генератором, выполненный в соответствии с требованиями по безопасности IEC 60730 для крупных бытовых электроприборов класса B;
- Программируемый цифровой фильтр на всех контактах GPIO, позволяющий лучше контролировать целостность сигналов для промышленного электронного оборудования;
- Интерфейс I<sup>2</sup>C с поддержкой режима Fast-mode Plus с 10-кратной пропускной способностью шины по сравнению с пропускной способностью обычного ввода/вывода I<sup>2</sup>C, позволяющий подключать в два раза больше устройств к одной шине, а также увеличить дальность передачи данных;
- Оптимизированная, прошитая в ROM-библиотека операции математического деления для Cortex™-M0, обеспечивающая в несколько раз большую скорость вычислений, чем программные библиотеки, а также, жестко детерминированная продолжительность цикла деления в сочетании с сокращенным размером Flash-кода;
- Двойные аналоговые компараторы с 32 уровнями опорного напряжения, обнаружением уровня и фронта импульса и обратной связью по выходу, поддерживающие несколько состояний, таких как моностабильное, нестабильное, или просто установку/сброс.

### LPC11C2X — НОВЫЕ МИКРОКОНТРОЛЛЕРЫ С ТРАНСИВЕРОМ ФИЗИЧЕСКОГО УРОВНЯ CAN

CAN давно считается одним из наиболее надежных и широко распространенных промышленным сетевым интерфейсом передачи данных в реальном времени, но его высокая стоимость не позволяла создавать дешевые решения. LPC11C22 и LPC11C24 — первое в отрасли интегрированное решение на основе высокоскоростного CAN-трансивера физического уровня и микроконтроллера со встроенными простыми в использовании CANopen-драйверами. Представленные как уникальное решение «система-в-корпусе» (System-in-Package), устройства LPC11C22 и LPC11C24 со встроенным CAN-трансивером TJF1051 обеспечивают полный спектр CAN-функций, реализованных в недорогом корпусе LQFP48. Запись драйверов CANopen в ПЗУ на кристалле дает инженерам-проектировщикам простые в использовании команды интерфейса прикладного программирования (API) протокола CANopen, позволяя тем самым быстро интегрировать устройства из серии LPC11C00 в сети на базе протокола CAN. Эти драйверы предлагают разработчикам определенные API-протоколов CAN и CANopen, упрощающие разработку решений с поддержкой интерфейса CAN. За счет этого серия LPC11C2x снижает риски при разработке продукта, снижает общую стоимость системы, и ускоряет время выхода на рынок высокопроизводительных встроенных систем. Высокая производительность LPC11C2x обусловлена применением процессора Cortex™-M0 и превосходит производительность 8-/16-битных микроконтроллеров на 40–50%. При этом, для наиболее распространенных задач код LPC11Cxx на 40–50% компактнее, чем код традиционных микроконтроллеров 8-/16-битных. Это достигается за счет использования инструкций ARMv6-M Thumb®, построенных на базе 16-битных инструкций Thumb. LPC11C2x найдет применение в автомобильных охранных системах и CAN-модулях, различных автоматизированных системах управления и сбора информации.



### Модели семейства LPC1100

| Модель            | Размер Flash, кбайт | Размер ОЗУ, кбайт | UART RS-485 | PC/Fast+ | SPI | C_CAN | Встроенный трансивер CAN | GPIO | АЦП | Корпус |
|-------------------|---------------------|-------------------|-------------|----------|-----|-------|--------------------------|------|-----|--------|
| LPC11C12FBD48/301 | 16                  | 8                 | 1           | 1        | 2   | 1     | –                        | 40   | 8   | LQFP48 |
| LPC11C14FBD48/301 | 32                  | 8                 | 1           | 1        | 2   | 1     | –                        | 40   | 8   | LQFP48 |
| LPC11C22FBD48/301 | 16                  | 8                 | 1           | 1        | 2   | 1     | есть                     | 36   | 8   | LQFP48 |
| LPC11C24FBD48/301 | 32                  | 8                 | 1           | 1        | 2   | 1     | есть                     | 36   | 8   | LQFP4  |

### Основные функции LPC11C22 и LPC11C24:

- Процессор Cortex™-M0 с тактовой частотой 50 МГц с SWD-отладкой (4 точки прерывания).
- 32/16 кбайт Flash, 8 кбайт SRAM.
- 32-векторных прерывания; 4 уровня приоритета; выделенные прерывания на интерфейсах ввода/вывода общего назначения (GPIO), до 13 GPIO.
- Контроллер CAN 2.0 В C\_CAN со встроенными драйверами CANopen, встроенный трансивер.
- UART, 2 SPI & I<sup>2</sup>C (FM+).
- Два 16-битных и два 32-битных таймера PWM/Match/Capture и один 24-битный системный таймер.
- Встроенный RC-генератор на 12 МГц с 1%-ной точностью по температуре и напряжению.
- Сброс при выключении питания (POR); многоуровневое обнаружение кратковременного падения напряжения питания (BOD); фазовая автоподстройка частоты на 10–50 МГц (PLL).
- 8-канальный 10-битный АЦП высокой точности с ±1LSB DNL.
- 36-высокоскоростных контактов ввода/вывода общего назначения (GPIO), устойчивых к скачкам напряжения до 5 В, с высокой силой тока (20 мА) на отдельных контактах.
- Высокая устойчивость к ESD: 8 кВ (трансивер)/6,5 кВ (микроконтроллер).
- CAN-трансивер с низким электромагнитным излучением (EME) и высокой устойчивостью к электромагнитным полям (EMI).

## LPC1100 — СЕМЕЙСТВО МИКРОКОНТРОЛЛЕРОВ ОБЩЕГО ПРИМЕНЕНИЯ

Микроконтроллеры LPC1111 LPC1114 предлагаются по конкурентной цене 8-битных микроконтроллеров, от 0,6 долларов США. Семейство микроконтроллеров LPC1100 компании NXP Semiconductors на базе ядра ARM® Cortex™-M0 с интегрированным блоком управления питанием, стоимость которых для серийных проектов находится в пределах \$0,65–1 USD, призвано вытеснить с рынка 8- и 16-битные микроконтроллеры. Микроконтроллеры семейства LPC1100 обеспечивают производительность более 45 DMIPS в сравнении с 8- и 16-битными

### Модели семейства LPC1100

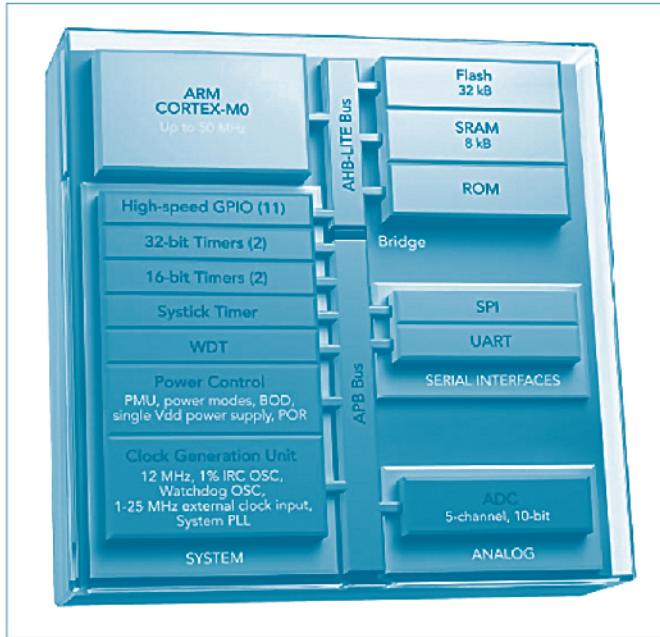
| Модель           | Серия    | Объем Flash, кбайт | Размер ОЗУ, кбайт | Расширенные функции энергосбережения | UART RS-485 | I <sup>2</sup> C/Fast+ | SPI | АЦП | Корпус  |
|------------------|----------|--------------------|-------------------|--------------------------------------|-------------|------------------------|-----|-----|---------|
| <b>LPC1111</b>   |          |                    |                   |                                      |             |                        |     |     |         |
| LPC1111FHN33/101 | LPC1100  | 8                  | 2                 | нет                                  | 1           | 1                      | 1   | 8   | HVQFN33 |
| LPC1111FHN33/102 | LPC1100L | 8                  | 2                 | да                                   | 1           | 1                      | 1   | 8   | HVQFN33 |
| LPC1111FHN33/201 | LPC1100  | 8                  | 4                 | нет                                  | 1           | 1                      | 1   | 8   | HVQFN33 |
| LPC1111FHN33/202 | LPC1100L | 8                  | 4                 | да                                   | 1           | 1                      | 1   | 8   | HVQFN33 |
| <b>LPC1112</b>   |          |                    |                   |                                      |             |                        |     |     |         |
| LPC1112FHN33/101 | LPC1100  | 16                 | 2                 | нет                                  | 1           | 1                      | 1   | 8   | HVQFN33 |
| LPC1112FHN33/102 | LPC1100L | 16                 | 2                 | да                                   | 1           | 1                      | 1   | 8   | HVQFN33 |
| LPC1112FHN33/201 | LPC1100  | 16                 | 4                 | нет                                  | 1           | 1                      | 1   | 8   | HVQFN33 |
| LPC1112FHN33/202 | LPC1100L | 16                 | 4                 | да                                   | 1           | 1                      | 1   | 8   | HVQFN33 |
| <b>LPC1113</b>   |          |                    |                   |                                      |             |                        |     |     |         |
| LPC1113FHN33/201 | LPC1100  | 24                 | 4                 | нет                                  | 1           | 1                      | 1   | 8   | HVQFN33 |
| LPC1113FHN33/202 | LPC1100L | 24                 | 4                 | да                                   | 1           | 1                      | 1   | 8   | HVQFN33 |
| LPC1113FHN33/301 | LPC1100  | 24                 | 8                 | нет                                  | 1           | 1                      | 1   | 8   | HVQFN33 |
| LPC1113FHN33/302 | LPC1100L | 24                 | 8                 | да                                   | 1           | 1                      | 1   | 8   | HVQFN33 |
| LPC1113FBD48/301 | LPC1100  | 24                 | 8                 | нет                                  | 1           | 1                      | 2   | 8   | LQFP48  |
| LPC1113FBD48/302 | LPC1100L | 24                 | 8                 | да                                   | 1           | 1                      | 2   | 8   | LQFP48  |
| <b>LPC1114</b>   |          |                    |                   |                                      |             |                        |     |     |         |
| LPC1114FHN33/201 | LPC1100  | 32                 | 4                 | нет                                  | 1           | 1                      | 1   | 8   | HVQFN33 |
| LPC1114FHN33/202 | LPC1100L | 32                 | 4                 | да                                   | 1           | 1                      | 1   | 8   | HVQFN33 |
| LPC1114FHN33/301 | LPC1100  | 32                 | 8                 | нет                                  | 1           | 1                      | 1   | 8   | HVQFN33 |
| LPC1114FHN33/302 | LPC1100L | 32                 | 8                 | да                                   | 1           | 1                      | 1   | 8   | HVQFN33 |
| LPC1114FBD48/301 | LPC1100  | 32                 | 8                 | нет                                  | 1           | 1                      | 2   | 8   | LQFP48  |
| LPC1114FBD48/302 | LPC1100L | 32                 | 8                 | да                                   | 1           | 1                      | 2   | 8   | LQFP48  |
| LPC1114FA44/301  | LPC1100  | 32                 | 8                 | нет                                  | 1           | 1                      | 2   | 8   | PLCC44  |
| LPC1114FA44/302  | LPC1100L | 32                 | 8                 | да                                   | 1           | 1                      | 2   | 8   | PLCC44  |

микроконтроллерами производительность которых не превышает 3–5 DMIPS. 32-битные микроконтроллеры серии LPC1100, могут выполнять основные задачи контроля и вычисления сложных алгоритмов на частоте до 50 МГц, потребляя при этом ток до 10 мА, обеспечивая большую производительность систем, требуют меньше времени на выполнение задач, что дает дополнительную экономию энергопотребления. Микроконтроллеры серии LPC1100 включают в себя: ядро Cortex™-M0 50 МГц, Flash до 32 кбайт, до 8 кбайт ОЗУ, 10-битный АЦП 8 каналов, UART, I<sup>2</sup>C, SPI, выпускаются в корпусе 48 выводов LQFP, 33 вывода HVQFN и 44 вывода PLCC.

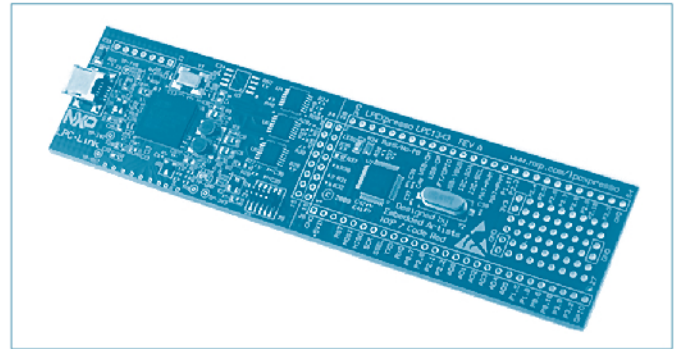
В 2010 году NXP реализовала планы модернизации серии, в результате которой появились микроконтроллеры с расширенными функциями энергосбережения, потребление которых в спящем режиме не превышает 0,2 мкА. В таблице модели они отмечены индексом (L), а к концу 2011 года планируется выпуск еще более экономичных версий.

## LPC1102 — САМЫЙ КОМПАКТНЫЙ 32-РАЗРЯДНЫЙ МИКРОКОНТРОЛЛЕР

LPC1102 выпускается в ультра компактном 16-выводном корпусе WLCSР16, размеры которого не превышают 2,2×2,3×0,3 мм. LPC1102 является полноценным микроконтроллером оборудованным 32 кбайт Flash и 8 кбайт SRAM-памяти, 32-разрядным ядром Cortex™-M0 с рабочей частотой до 50 МГц, встроенным ФАПЧ и базовым набором периферийных модулей. Работоспособность микроконтроллера сохраняется в диапазоне напряжения питания от 1,8 до 3,6 В, что позволяет отказаться от дополнительных преобразователей или упростить согласование с другими элементами схемы. LPC1102 в первую очередь предназначен для использования в мобильных устройствах, там, где компактность и низкое потребление являются первостепенными требованиями.



## ОТЛАДОЧНАЯ ПЛАТА LPCXPRESSO ДЛЯ LPC1114



Для микроконтроллеров семейства LPC1100 выпускается целый ряд отладочных средств компаний производителей, являющихся партнерами NXP в области средств разработки, такие как: KEIL, IAR, HITEX, CODE RED и другие. Компания Code Red Technologies обеспечивает поддержку LPC1100 в своей платформе Red Suite software development на базе Eclipse. Для быстрого освоения микроконтроллеров, создания и отладки систем на базе микроконтроллеров LPC1100, предлагаем дешевую отладочную плату компании Embedded Artists из серии отладочных средств LPCXpresso. LPCXpresso Board for LPC1114 (OM11049) — отладочная плата разработанная совместно компаниями, Code Red, Embedded Artists и NXP для разработки и отладки систем на базе микроконтроллера, с ядром Cortex-M0, серии LPC111x, производства NXP. Плата поставляется с интегрированным JTAG-отладчиком. Не нуждается в отдельном эмуляторе. В комплект входит среда разработки с ограничением 128 кбит кода.

Особенности отладочной платы:

- установленный микроконтроллер LPC1114 — 32 бит, ядро Cortex™-M0, 32 кбайт Flash-памяти программ, 8 кбайт ОЗУ, 8 АЦП 10 бит, UART, 2 SPI, I<sup>2</sup>C, 4 таймера (232 бит, 216 бит), (4 каналов захвата, 13 каналов сравнения), WatchDogTimer, 5 В совместимые входы/выходы, работоспособность до 50 МГц (встроенный PLL), до 42 линий ввода/вывода;
- установленный 12 МГц кварцевый резонатор;
- порт USB Micro AB;
- макетная область;
- светодиод состояния;
- размеры 35×140 мм.

# МИКРОСХЕМА NXP JN5148 — ПОЛНОЕ РЕШЕНИЕ ДЛЯ СЕТЕЙ ZIGBEE, JENNET ИЛИ IEEE802.15.4



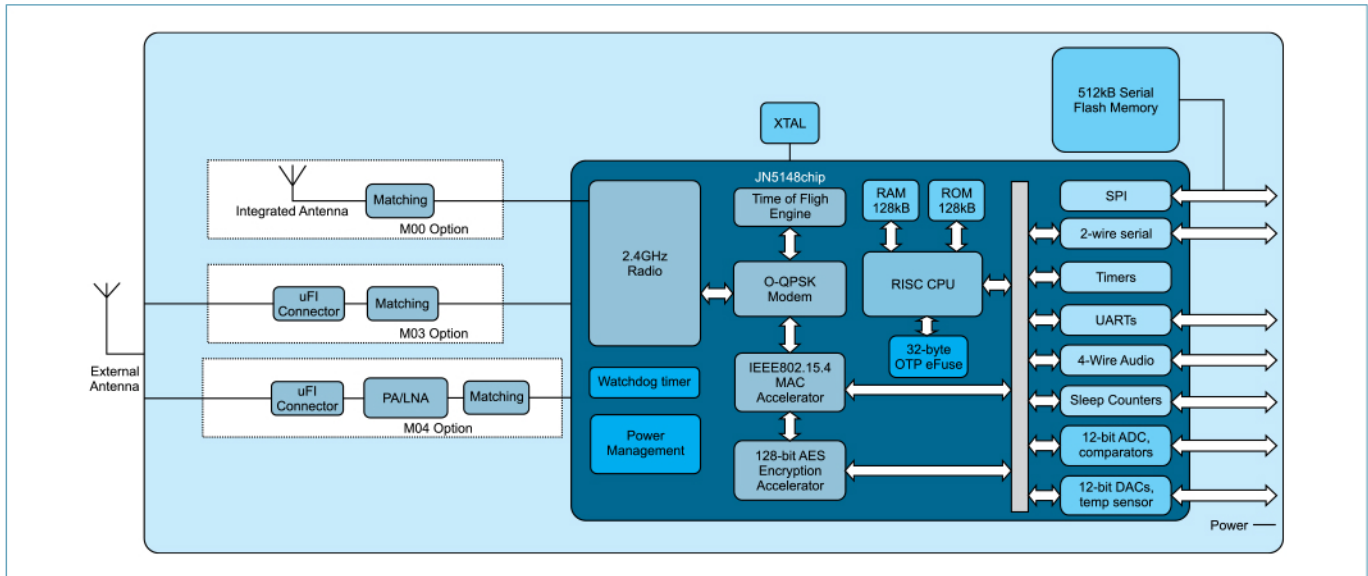
*ZigBee применяется в основном тогда, когда необходимо получить небольшие объемы данных от множества датчиков или управлять исполнительными устройствами, расположенными относительно недалеко друг от друга, в пределах одного помещения или здания, и значительно превосходит беспроводные технологии Wi-Fi и Bluetooth по таким показателям цена и энергопотребление.*

*В основу стека ZigBee положен стандарт IEEE802.15.4, в котором описаны требования к физическому уровню беспроводной сети и правила управления доступом к среде передачи данных. Стандарт был разработан таким образом, чтобы максимально снизить себестоимость продукции на его основе и обеспечить минимально возможно потребление при небольших скоростях обмена информацией. Сеть ZigBee в общем случае имеет ячеистую топологию и каждое устройство может играть роль координатора, маршрутизатора или конечного устройства. При этом зона покрытия сети может быть намного больше расстояния между отдельными узлами, за счет возможности ретрансляции. Конечный узел сети ZigBee, способен на несколько лет автономной работы от единственного литиевого элемента типа CR. В настоящее время ZigBee широко используется в промышленности, медицинском оборудовании (в том числе для локализации местоположения пациента), пожарных датчиках, счетчиках газа и электроэнергии и в системах охраны недвижимости и т.д.*

## NXP НА РЫНКЕ IEEE802.15.4 РЕШЕНИЙ

В 2010 году компания NXP Semiconductors приобрела английскую компанию Jennic — известного разработчика решений беспроводных сетей передачи данных и заявила о своем присутствии в новом сегменте сразу двумя радио микроконтроллерами JN5148, JN5139 и готовыми модулями на их основе JN5148-001-M00/03, JN5148-001-M04, JN5139-xxx-M00/01/03, JN5139-xxx-M02/04.

Особого внимания заслуживает решение JN5148, которое является полным, экономичным, недорогим и высокопроизводительным радио микроконтроллером с поддержкой стандарта IEEE802.15.4. Он, в первую очередь, предназначен для работы в сети ZigBee и оборудован производственным 32-разрядным RISC ядром с многоступенчатым конвейером, инструкция-



Структурная схема JN5148

ми переменной длины для достижения наибольшей плотности кода, разнообразными режимами энергосбережения и программируемой тактовой частотой. Микроконтроллер объединяет в себе 128 кбайт ОЗУ, 128 кбайт ПЗУ и богатый набор аналоговой и цифровой периферии, а большой объем памяти позволяет JN5148 одновременно выполнять две задачи: обслуживать сетевой стек ZigBee или JenNet (аналог ZigBee от NXP) и встроенное приложение.

Такие специфичные задачи как формирование пакетов, расчет контрольной суммы, 128-битное AES-шифрование, генерирование случайных чисел выполняются аппаратно со значительной экономией времени и энергии. Для хранения 64-разрядного MAC-адреса и ключа AES-шифрования предназначена область однократно программируемой (OTP eFuse) памяти размером 32 байт. В соответствии со стандартом IEEE802.15.4 данные передаются на одной из 16 несущих в диапазоне частот от 2,4 до 2,5 МГц, что при максимальной мощности передатчика JN5148 равной 2,5 дБм не влечет за собой необходимость получение лицензии ГКРЧ на использование частоты при эксплуатации оборудования. JN5148 отличается от конкурентов низким потреблением тока при приеме и передаче — до 18 мА, а также малыми токами утечки в режиме максимального энергосбережения — всего 0,1 мкА. Для работы JN5148 необходима внешняя микросхема Flash-памяти для хранения кода программы, несколько пассивных компонентов, два кварцевых резонатора и печатная или чип-антенна, общей стоимостью менее 0,5 долларов США.

Основные характеристики JN5148:

- Максимальная тактовая частота 32-разрядного RISC-процессора: 32 МГц.
- Объем статического ОЗУ для хранения программного кода: 128 кбайт.
- Объем ОЗУ: 128 кбайт.
- Диапазон частот: от 2400 до 2500 МГц.
- Мощность радиопередатчика: 2,5 дБм.
- Чувствительность приемника: -95 дБм.
- Ток при передаче 15 мА.
- Ток при приеме 17,5 мА.
- Ток в режиме сна (запуск сигналом с входа): 0,12 мкА.
- Ток в режиме сна (запуск по таймеру или сигналом с входа): 1,2 мкА.

- Напряжение питания: от 2 до 3,6 В.
- Диапазон рабочих температур: от -40 до +85 °С.
- Корпус: HVQFN56, 8×8×0,85 мм.

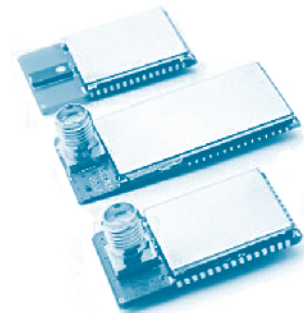
### СТЕК JENNET — БЕСПЛАТНЫЙ АНАЛОГ ZIGBEE ОТ NXP

JenNet является стеком сетевых протоколов, разработанный специально для радио микроконтроллеров JN5148 и JN5139 и позволяет быстро организовать сети беспроводных датчиков как с простыми топологиями типа точка-точка так и со сложными, ячеистыми. Кроме этого JenNet поддерживает линейную топологию и имеет функции восстановления связи при отказе ретранслирующих маршрутизаторов через соседние узлы. В основу стека JenNet, как и в ZigBee, заложен стандарт IEEE802.15.4 однако в отличие от ZigBee, JenNet предлагается бесплатно, как набор предварительно скомпилированных библиотек функций. Максимальное рекомендованное количество узлов для сети JenNet составляет 500 шт.

### OEM ZIGBEE МОДУЛИ КОМПАНИИ NXP

Микросхемы JN5148, JN5139 предлагаются как отдельно, так и в составе моделей. Модули производ-

ства NXP являются компактным решением для монтажа на родительскую плату пайкой и позволяют быстро модернизировать существующие изделия. Размеры самого крупного не превышают 18×41 мм. Модули предназначены для работы с сетевыми стеками ZigBee, ZigBee PRO и JenNet и оборудованы UART, ADC, DAC, SPI, GPIO, I<sup>2</sup>C и JTAG-интерфейсами. Продукция может поставляться как со встроенной чип-антенной так и с разъемом SMA или uFI для подключения внешней антенны, со встроенным усилителем мощности и маломощным усилителем или без них.



| Свойство/модуль                             | JN5148-001-M00/03                    | JN5148-001-M04     | JN5139-xxx-M00/01/03                                     | JN5139-xxx-M02/04                    |
|---|--------------------------------------|--------------------|--|--------------------------------------|
| <b>Основные характеристики</b>              |                                      |                    |  |                                      |
| Выходная мощность, дБм                      | 2,5                                  | 18                 | 2,5  | 19                                   |
| Чувствительность приемника, дБм             | -95                                  | -98                | -96  | -100                                 |
| Дальность передачи на открытой местности, м | 1000                                 | 4000               | 1000   | 4000                                 |
| Частота, ГГц                                | 2,4                                  | 2,4                | 2,4  | 2,4                                  |
| На основе кристалла                         | JN5148                               | JN5148             | JN5139   | JN5139                               |
| <b>Свойства сети</b>                        |                                      |                    |  |                                      |
| Поддержка стека                             | JenNet, ZigBee PRO                   | JenNet, ZigBee PRO | JenNet, ZigBee   | JenNet, ZigBee                       |
| <b>Питание</b>                              |                                      |                    |  |                                      |
| Напряжение питания, В                       | 2,7...3,6                            | 2,7...3,6          | 2,7...3,6  | 2,7...3,6                            |
| Ток в режиме передачи, мА                   | 15                                   | 110                | 37   | 125                                  |
| Ток в режиме приема, мА                     | 17,5                                 | 23                 | 37   | 45                                   |
| Ток в режиме энергосбережения, мкА          | 2,6                                  | 2,6                | 2,6  | 2,6                                  |
| <b>Физические параметры</b>                 |                                      |                    |  |                                      |
| Антенна                                     | M00 – встроенная<br>M03 – uFI-разъем | M04 – uFI-разъем   | M00 – встроенная<br>M01 – SMA-разъем<br>M03 – uFI-разъем | M02 – SMA-разъем<br>M04 – uFI-разъем |
| Температурный диапазон, °С                  | -40...+85                            | -40...+85          | -20...+70  | -20...+70                            |

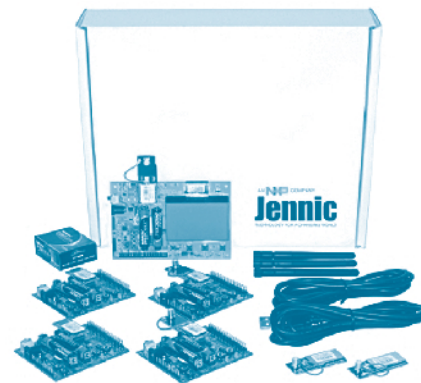
## ДЕМОНСТРАЦИОННЫЕ ПЛАТЫ И СРЕДСТВА РАЗРАБОТКИ

Для ознакомления с продукцией и поддержки разработки предлагается набор средств, включающий в себя отладочный комплект JN5148 Evaluation Kit, среду разработки ПО JN-SW-4041 Eclipse IDE, и набор библиотек. Более подробная информация представлена на сайте <http://www.jennic.com>

Комплектация набора JN5148 Evaluation Kit:

- Модули на базе JN5148:

- 2 модуля с PCB-антенной;
- 3 модуля с разъемом uFI;
- 2 модуля с разъемом uFI, с усилителем (дальность до 4000 м).
- 4 платы с датчиками температуры, освещенности и влажности.
- 1 плата с графическим ЖКИ.
- Комплект батарей.
- 2 USB-кабеля.
- 3 uFI-антенны.



# РЕШЕНИЯ NXP ДЛЯ БЕСПРОВОДНЫХ СИСТЕМ ДИСПЕТЧЕРИЗАЦИИ ПОКАЗАНИЙ ПРИБОРОВ УЧЕТА

## M-Bus

В 2010 году компания NXP Semiconductors обновила линейку радиочастотных микросхем диапазона 315–915 МГц. Одно из основных применений которой — беспроводные системы сбора показаний приборов учета с использованием протокола Wireless M-Bus.

### ПРОТОКОЛ WIRELESS M-BUS

Стандарт беспроводного протокола Wireless M-Bus (EN 13757-4:2005) описывает взаимодействие устройств учета расхода газа, воды, тепла и электроэнергии. В Европе Wireless M-Bus применяется повсеместно как часть инфраструктуры сбора информации, полученной от бытовых счетчиков коммунальных услуг, в радиусе одной квартиры или дома. Несущая частота 433 или 868 МГц позволяет использовать компактные встроенные антенны и обеспечивает достаточную дальность распространения сигнала до коммутатора. Основная причина, по которой протокол Wireless M-Bus получил широкое распространение в том, что он относительно прост и требует реализации всего четырех уровней из возможных семи по модели OSI. При этом различными компаниями предлагаются как бесплатные, с открытым исходным кодом, так и коммерческие реализации протокола Wireless M-Bus. В сравнении со стеком стеком ZigBee, протокол Wireless M-Bus требует меньше аппаратных ресурсов, а следовательно обеспечивает более низкую себестоимость изделий и больше время автономной работы при той же емкости источника питания, которое для элемента типа AA может исчисляться годами.

### OL2381 — МНОГОКАНАЛЬНЫЙ ПРИЕМОПЕРЕДАТЧИК 315/434/869/915 МГц

Компактный приемопередатчик OL2381 хорошо подходит для решения различных задач, связанных с беспроводной передачей данных в диапазоне частот 315–915 МГц. Небольшое потребление и широкий диапазон рабочего напряжения пита-

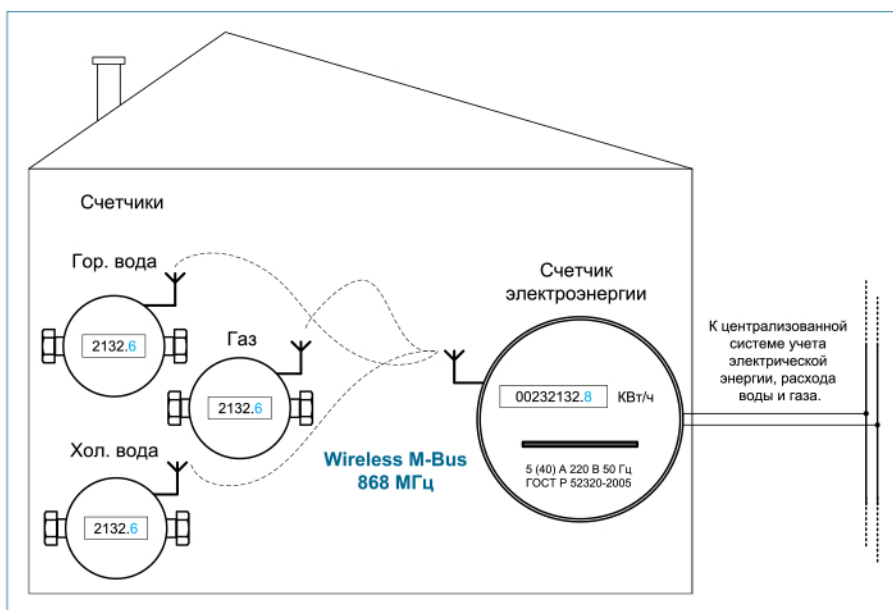


Рис. 1. Пример использования Wireless M-Bus

ния позволяют использовать OL2381 в мобильных и автономных устройствах, таких как, например, пульты дистанционного управления или счетчики тепла или расхода газа. Микросхема использует технологию Fractional-N (PLL-синтезатор с дробным значением коэффициента деления), что позволяет организовать несколько частотных каналов и производить обмен данными с скачкообразной перестройкой частоты. Также приемопередатчик OL2381 оборудован настраиваемым фильтром ПЧ и SPI-интерфейсом.

Основные характеристики:

- PLL-синтезатор с дробным значением коэффициента деления (Fractional-N синтезатор).
- Рабочие частоты 315/434/869/915 МГц.
- ПЧ-приемника близкая к нулю (Near Zero-IF).
- Автоматическая калибровка частоты приемника.
- Прием и передатчика на нескольких полосах.
- Автоматический ГУН.

- Измерение уровня мощности принимаемого сигнала (RSSI).
- Автоматическое распознавание преамбулы и подписи.
- Настраиваемая чувствительность приемника.
- Программируемый циклический таймер активации приемника с погрешностью 2%.
- Потребление тока с запущенным таймером 0,5 мкА.
- Встроенный программируемый модулятор ASK/FSK.
- Программируемая мощность передатчика -20...+10 дБм.
- Напряжение питания 2,1–3,6 В.
- Популярный 32-выводной корпус HVQFN33.
- Минимальное количество внешних пассивных компонентов.
- Исходные коды W M-Bus и демонстрационный набор OM13006.

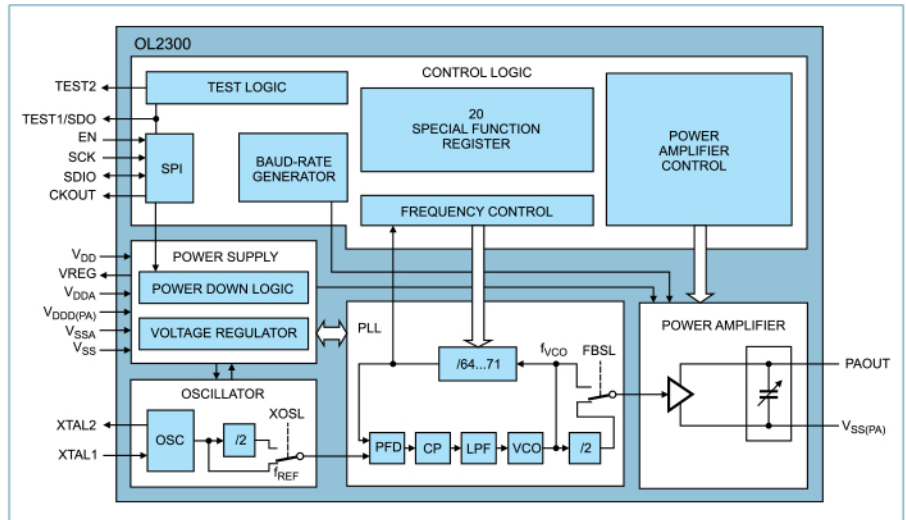


## OL2300 — МНОГОКАНАЛЬНЫЙ ПЕРЕДАЧИК 315/434/869/915 МГц

ASK/FSK-передатчик оборудован встроенным программируемым усилителем мощности и изготавливается в 16-выводном корпусе 3x3 мм. Благодаря Fractional-N PLL (ФАПЧ синтезатор с дробным значением коэффициента деления), возможна компенсация отклонений частоты кварцевого резонатора.

Основные характеристики:

- Встроенный fractional-N PLL.
- Встроенный ГУН.
- Независимые режимы энергосбережения осциллятора и ФАПЧ.
- Рабочие частоты: 315/434/869/915 МГц.
- ООК/ASK/FSK-модуляция.
- Программная подстройка частоты кварцевого резонатора.
- Программируемая выходная мощность.
- Программируемая девиация частоты.



- Небольшое потребление энергии.
- Малое число внешних компонентов.
- Компактный корпус HVQFN16.
- Низкая цена.

# АТОР — АВТОМОБИЛЬНАЯ ТЕЛЕМАТИЧЕСКАЯ ПЛАТФОРМА ОТ NXP

Гамма-Санкт-Петербург представляет своим клиентам разработанную компанией NXP Semiconductors автомобильную телематическую платформу АТОР (Automotive Telematic On-Board Platform) — это новейшее решение, разработанное специально для контроля дорожного движения.

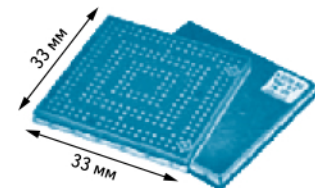
АТОР — это GSM-GPS (2,5 G) модуль с поддержкой множества технологий — ГЛОНАСС, CAN, GPS, GPRS, NFC, RFID, USB 2.0, JCOP и др. Сочетание этих технологий позволяет водителям, транспортным компаниям и дорожным службам комплексно оценивать местоположение автомобиля, пробег, время использования авто, расход топлива, состояние автомобиля в любой момент времени, пиковые нагрузки на дороги, стоимость использования платных дорог и многое другое. Используя эту систему и анализируя полученные данные можно выбрать наиболее удобные маршруты

или наилучшее время поездки, когда дороги наименее загружены. Кроме того, использование АТОР будет способствовать повышению безопасности дорожного движения, так как данные об угонах, взломах или авариях мгновенно поступают на мобильные телефоны владельцев или пульта охранных и дорожных служб, позволяя им реагировать незамедлительно.

Отличные характеристики и развитая функциональность АТОР отличается привлекательной ценой, что позволяет ему успешно конкурировать с китайскими GSM-модулями нижнего ценового диапазона. АТОР имеет все необходимые сертификаты для использования на территории Российской Федерации и ряд крупных российских компаний уже осуществляют разработку своих продуктов на его основе.

Преимущества АТОР:

- Соответствие стандартам ЕС и РФ.
- Низкая стоимость модуля.
- Сокращение расходов на разработку и установку.

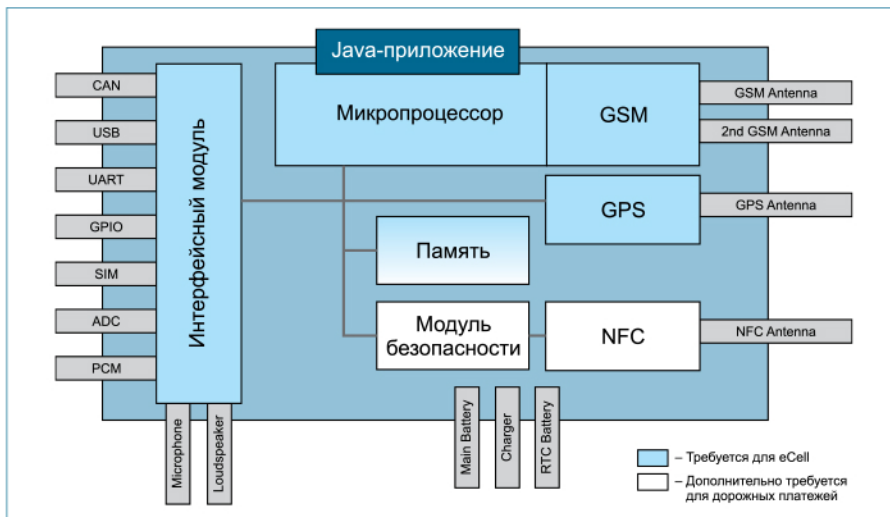


- Привязка модуля к автомобилю с помощью NFC-метки.
- Использование распространенных и проверенных технологий: GSM, GPS/Глонасс (GNSS).
- Использование технологий NFC/RFID (взаимодействие устройств, удаленное считывание и передача информации).
- Использование технологий SmartMX/JCOP (банковские приложения, безопасность данных).
- Возможность подключения функций экстренного вызова eCall, дорожных платежей, систем оплаты с помощью смарт-карт и другие приложения.

Применение:

- Автомобильная навигация.
- Мониторинг местоположения автомобиля в режиме реального времени.
- Анализ и оптимизация транспортных потоков.
- Мониторинг параметров автомобиля: пробег, расход топлива, время движения, состояние кузова и многое другое.
- Безопасность. Экстренный вызов (eCall).
- Автомобильные охранные системы.
- Подключение автомобиля к сети Интернет.
- Интегрирование мультимедийных систем.
- Дорожные платежи.

Отметим, что компания Гамма-Санкт-Петербург имеет эксклюзивное право распространения и реализации модулей АТОР на территории РФ и предлагает все средства, необходимые для успешной разработки: образцы модулей, отладочные платы и средства разработки программного обеспечения.



# EM773 — СОВРЕМЕННЫЙ ПОДХОД К ИЗМЕРЕНИЮ РАСХОДА ЭЛЕКТРОЭНЕРГИИ

В конце 2010 года NXP Semiconductors анонсировала микросхему счетчика электроэнергии EM773, — первое в мире решение для приложений в области безбиллинговых измерений электроэнергии, основанное на 32-разрядном ARM-микроконтроллере.

## ВВЕДЕНИЕ

В настоящее время сетевые системы сбора информации о расходе электроэнергии, не предусматривающие расчет размера оплаты, становятся все более популярными. В США, Канаде, Великобритании и Германии десятки национальных компаний предлагают разнообразные решения для измерения потребления электроэнергии. Ассортимент состоит из различных сетевых разветвителей с индикаторами потребляемой мощности и общего расхода электроэнергии, беспроводных адаптеров, подключаемых к сетевым розеткам или в корпусе DIN-модулей. Актуальность установки таких устройств особенно в домах оборудованных многотарифными счетчиками, так как предоставляет владельцу возможность выбрать наиболее экономичные режимы работы бытовой техники на основе анализа мгновенной мощности и истории потребления. Согласитесь, полезно узнать за какой период времени окупится десяток недорогих энергосберегающих ламп или оценить экономию от машинной стирки с температурой на 10 °C ниже привычной. Многие из предлагаемых на рынке устройств можно подключить к бесплатному интернет сервису визуализации и протоколирования — Google PowerMeter рис 1.

## EM773

Фактически EM773 (рис. 2) является микроконтроллером, построенным на базе 32-битного процессора ARM Cortex™-M0 со стандартным набором периферии (UART, SPI, I<sup>2</sup>C, GPIO) и оборудованным измерительным блоком ME (Metrologic Engine). ME оцифровывает сигналы с датчиков тока и напряжения и вычисляет активную мощность, реактивную мощность, кажущуюся мощность, коэффициент мощности, полный коэффициент гармоник и другие значения с точностью 1%. При вычислении не используются ресурсы процессора микроконтроллера, что положительно сказывается на производительности решения в целом, а так как для управления измерительным блоком компания NXP предусмотрела специальный API, программирование ME не потребует глубоких знаний в области цифровой обработки сигналов.



Рис. 1. Беспроводной датчик мощности производства Current Cost, интерфейс Google PowerMeter, панель индикации счетчика электроэнергии Current Cost (слева направо)

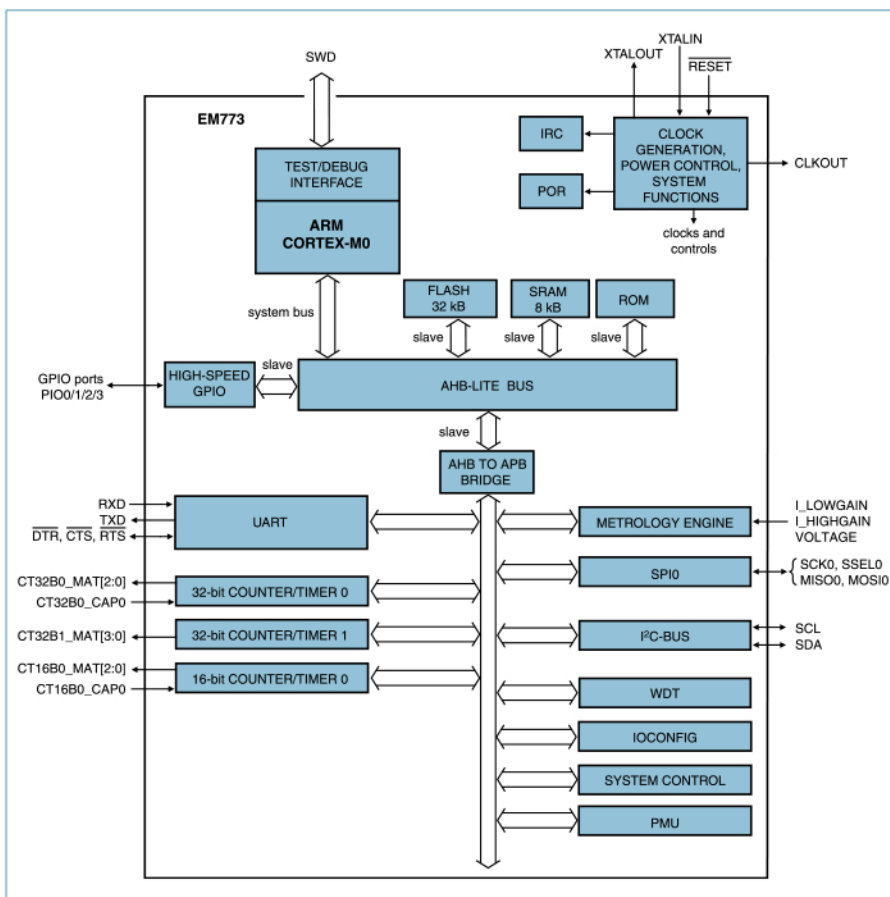


Рис. 2. Структурная схема EM773

Таблица. Сравнение EM773 с решениями для коммерческих однофазных счетчиков электрической энергии

| Производитель  | Модель      | Датчик тока                      | Схема нормирования сигнала | Класс точности | ДД по току | Ядро              | Тактовая частота, МГц | SRAM     | Flash, кбайт | RTC | Драйвер ЖК-индикатора | Индикативная стоимость, \$ (за 5000 шт) |
|----------------|-------------|----------------------------------|----------------------------|----------------|------------|-------------------|-----------------------|----------|--------------|-----|-----------------------|---|
| NXP            | EM773       | Шунт                             | внешняя                    | 1              | 400        | 32-bit Cortex™-M0 | 48                    | 8 кбайт  | 32           | нет | нет                   | 2,1                                     |
| Microchip      | PIC18F87J72 | Шунт, транс., катушка Радовского | внутренняя                 | 0,5            | 1000       | 8-bit PIC18F      | 48                    | 4 кбайт  | 128          | да  | да                    | 4,35                                    |
| Microchip      | PIC18F86J72 | Шунт, транс., катушка Радовского | внутренняя                 | 0,5            | 1000       | 8-bit PIC18F      | 48                    | 4 кбайт  | 64           | да  | да                    | 4,12                                    |
| Analog Devices | ADE7116     | Шунт, транс.                     | внутренняя                 | 0,5            | 1000       | 8-bit 5082        | 4                     | 512 байт | 16           | да  | да                    | 2,6                                     |

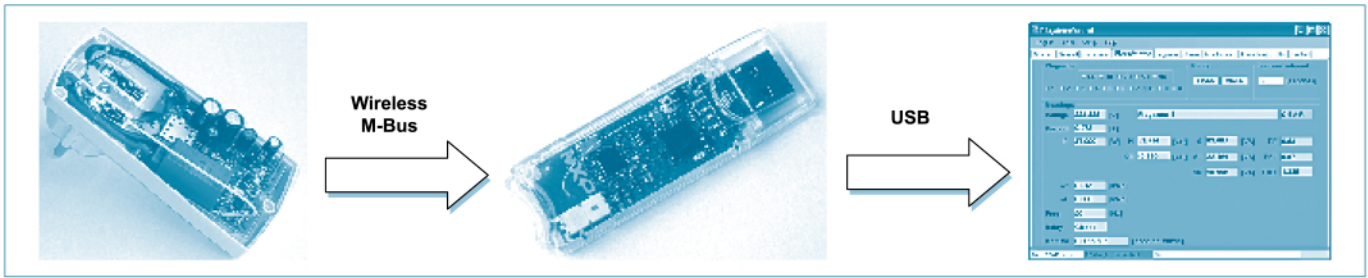


Рис. 3. Демонстрационный набор OM13006 для EM773. В состав входит сетевой адаптер-измеритель (слева) и USB-трансивер (справа). Крайнее правое изображение — интерфейс программы визуализации PlugMeterControl из состава NXP SDK

EM773 разрабатывалась как решение для измерения расхода электрической энергии однофазных потребителей в системах «умный дом», промышленных беспроводных датчиках и встраивания в бытовую технику. В своей области EM773 успешно конкурирует с узкоспециализированными микросхемами, предназначенными исключительно для коммерческих измерительных приборов благодаря привлекательной цене, высокой производительности и значительному объему как Flash, так и SRAM-памяти (таблица). Отсутствие часов реального времени и драйвера жидкокристаллического дисплея объясняется возможностью использования стеков беспроводных сетевых интерфейсов для передачи данных и синхронизации времени с ведущим узлом, например Wireless M-Bus. EM773 рассчитан на ра-

боту с токоизмерительным резистором — самым дешевым датчиком тока.

### OM13006 — ДЕМОСТРАЦИОННЫЙ НАБОР ДЛЯ EM773

В состав отладочного комплекта EM773 входят:

1. Беспроводной адаптер-измеритель нагрузки на базе EM773 с трансивером OL2381.
2. USB-трансивер с микроконтроллером LPC1343 и трансивером OL2381.
3. Программное обеспечение (доступно для бесплатной загрузки с сайта производителя):
  - a. проект IAR ARM для беспроводного адаптера-измерителя на базе EM773;
  - b. проект IAR ARM для USB-трансивера на базе LPC1343;

с. приложение MS Windows для отображения полученных от USB-трансивера данных.

В адаптере-измерителе OM13006, и USB-трансивере реализован сетевой стек Wireless M-Bus, открытый исходный код которого предоставляется в составе SDK. Обмен данными между двумя устройствами осуществляется на частоте 433 МГц с использованием ЧМ-модуляции. Для отображения полученных данных на мониторе ПК и для управления режимами работы адаптера измерителя предназначена программа PlugMeterControl. Использование OM13006 в качестве отладочной платы возможно благодаря наличию в схеме адаптера-измерителя разъема для подключения SWD-отладчика, например, J-Link PRO и разъема для записи ПО посредством ISP через UART.

# ЗАЩИТНЫЕ (TVS) ДИОДЫ КОМПАНИИ DIOTEC, NXP, STM

## ВОЗНИКНОВЕНИЕ ПЕРЕНАПРЯЖЕНИЯ

При эксплуатации электронного оборудования в его цепях возникают различные виды электрических перегрузок, наиболее опасными из которых являются перепады напряжения. Перепад напряжения — случайные пульсации напряжения с амплитудой большей, чем рабочее напряжение в цепи. Такие перегрузки возникают в результате возникновения электромагнитных импульсов естественного происхождения (грозовые разряды), импульсов искусственного происхождения (излучение радиопередающих устройств, высоковольтных линий передач, сетей электротранспорта и др.), а так же за счет внутренних переходных процессов в оборудовании, которые возникают при отключении емкостной, индуктивной

нагрузки или электростатических разрядов. Перепад может длиться от несколько нс до нескольких мс. Такие переходные процессы сокращают срок службы электронного оборудования или вовсе выводят его из строя, что усложняет жизнь разработчикам электроники, которым необходимо разрабатывать схемы защиты электронных устройств. Наиболее распространенными и опасными являются грозовой и статический разряд. Электростатический разряд — наиболее распространенный перепад напряжения. Электростатический заряд возникает из-за трибоэлектрического эффекта. Трибоэлектрический эффект — эффект, при котором электрический заряд возникает из-за механического контакта двух диэлектриков. Наи-

более распространенные трибоэлектрические материалы — нейлон, бумага, резина, винил, эбонит. Статически разряды могут достигать напряжения до 15 кВ. Форма волны разряда достигает пика в 1 нс с общей продолжительностью до 60 нс (рис. 2). Для защиты цепей электронных устройств от воздействия электрических перегрузок могут использоваться различные методы, основными из которых являются: конструкционные, структурно-функциональные, схемотехнические. Конструкционные методы защиты включают в себя: рациональное расположение и монтаж компонентов, экранирование, заземление и др.

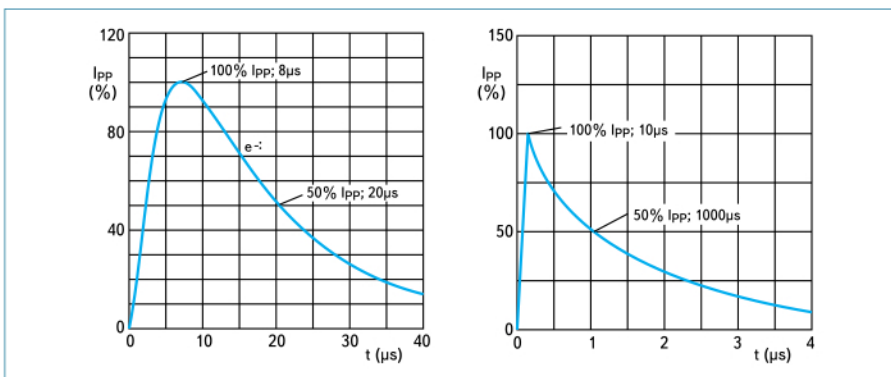


Рис. 1. Формы импульсов

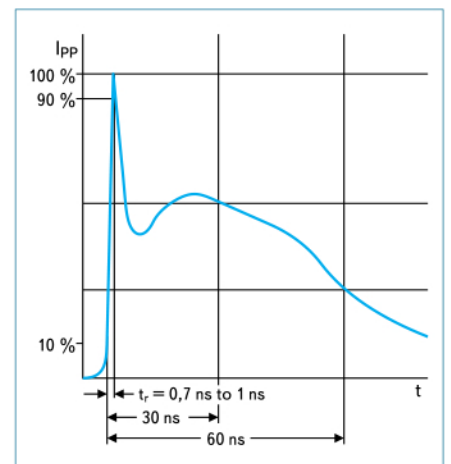


Рис. 2. Импульс статического разряда

Таблица 1. Защитные диоды NXP

| Наименование | Упаковка | $I_{RM}$ макс (мА) | Число линий защиты | $P_{нпт}$ (Вт) | $V_{тип}$ (В) | $V_{обр}$ (В) |
|--------------|----------|--------------------|--------------------|----------------|---------------|---------------|
| BZA100       | SO20     | 2                  | 18                 | –              | 6,8           | 5,25          |
| BZA408B      | SC-74    | 0,1                | 4                  | –              | 5,5           | 5             |
| BZA820A      | SC-88A   | 0,1                | 4                  | –              | 20            | 15            |
| BZA956A      | SO5      | 1                  | 4                  | –              | 5,6           | 3             |
| BZA956AVL    | SO5      | 0,2                | 4                  | –              | 5,6           | 3             |
| MMBZ12VAL    | TO-236AB | 0,005              | 1                  | 40             | 12            | 8,5           |
| PESD12VL1BA  | SOD323   | 0,05               | 1                  | 200            | 15,9          | 12            |
| PESD1CAN     | SOT23    | 0,05               | 2                  | 200            | 27,8          | 24            |
| PESD1LIN     | SOD323   | 0,05               | 1                  | 160            | 27,8          | 24            |
| PESD24VL1BA  | SOD323   | 0,05               | 1                  | 200            | 27,8          | 24            |
| PESD2CAN     | SOT23    | 10                 | 2                  | 230            | 28            | 24            |
| PESD3V3L1BA  | SOD323   | 2                  | 1                  | 500            | 6,4           | 3,3           |
| PESD5Z12     | SOD523   | 10                 | –                  | 200            | –             | 12            |
| PRTR5V0U1T   | SOT23    | 0,1                | 1                  | –              | –             | 3             |
| PTVS10VS1UR  | SOD123   | 0,6                | –                  | 400            | 18            | 3,3           |

Таблица 2. TVS-диоды Diotec

| P/N         | Корпус   | Импульсная мощность макс | Напряжение стабилизации | Обратный ток макс     | Напряжение пробоя |               |              |
|-------------|----------|--------------------------|-------------------------|-----------------------|-------------------|---------------|--------------|
|             |          | $P_{PRM}$ Вт             | $V_{WM}$ В              | $I_D$ при $V_{WM}$ мА | $V_{BRmin}$ В     | $V_{BRmax}$ В | при $I_T$ мА |
| 1.5KE10     | D5,4x7,5 | 1500                     | 8,1                     | 10                    | 9                 | 11            | 1            |
| 1.5KE100CA  | D5,4x7,5 | 1500                     | 85,5                    | 5                     | 95                | 105           | 1            |
| 1.5SMCJ10   | SMC      | 1500                     | 10                      | 5                     | 11,1              | 13,5          | 1            |
| 1.5SMCJ100A | SMC      | 1500                     | 100                     | 5                     | 111               | 123           | 1            |
| 5KP100      | D8x7,5   | 5000                     | 100                     | 10                    | 111               | 141           | 1            |
| BYZ50A22    | D13x10,7 | –                        | –                       | –                     | 19,8              | 24,2          | 100          |
| BZW04-10    | DO-15    | 400                      | 10,2                    | 5                     | 11,4              | 12,6          | 1            |
| P4KE100C    | DO-15    | 400                      | 81                      | 5                     | 90                | 110           | 1            |
| P4SMAJ100CA | SMA      | 400                      | 100                     | 5                     | 111               | 123           | 1            |
| P6KE100     | DO-15    | 600                      | 81                      | 5                     | 90                | 110           | 1            |
| P6SMBJ100A  | SMB      | 600                      | 100                     | 5                     | 111               | 123           | 1            |
| SDA4AK      | DO-213   | 300                      | 1                       | 1000                  | 1,6               | 2             | 1            |
| TGL34-100C  | DO-213   | 150                      | 81                      | 5                     | 90                | 110           | 1            |
| TGL41-100CA | DO-213   | 400                      | 85,5                    | 5                     | 95                | 105           | 1            |

Методы структурно-функциональной защиты включают в себя: рациональный выбор принципа действия оборудования и выбор используемых стандартов передачи сигналов.

Схемотехнические способы защиты включают в себя: пассивную и активную защиту. Наиболее эффективным средством защиты оборудования от воздействия является активная защита.

Основными элементами активной защиты являются, TVS-диоды (transient voltage suppressors) (или так называемые супрессоры, защитные диоды, ограничители напряжения), варисторы, TVS-тиристоры и разрядники.

## TVS-диоды

Как правило защитные диоды — это кремниевые плоскостные диоды намеренно разработанные с большой областью перехода, для того чтобы они могли справляться с высокими скачками напряжения, что делает их бесполезными для использования при низком напряжении. Их емкость сопротивление напрямую относится к области перехода и растет экспоненциально, в то время как рабочее напряжение снижается.

Ограничитель напряжения — это полупроводниковый диод, работающий на обратной ветви вольтамперной характеристики (ВАХ) с лавинным пробоем или на прямой ветви ВАХ (рис. 3). TVS-диод предназначен для защиты от перенапряжения интегральных и гибридных схем, радиоэлектронных компонентов и др. У полупроводниковых ограничителей напряжения ВАХ аналогична ВАХ стабилитронов. В условия нормальной

работы ограничители являются высокоимпедансной нагрузкой по отношению к защищаемой схеме и служат для защиты цепи. В идеале устройство выглядит как разомкнутая цепь с незначительным током утечки. Когда напряжение переходного процесса превышает рабочее напряжение цепи, импеданс ограничителя понижается, и ток переходного процесса начинает течь через ограничитель. Мощность, образовавшаяся при переходном процессе, рассеивается в пределах защитного устройства и ограничивается максимальной допустимой температурой перехода. Когда линейное напряжение достигает нормального уровня, ограничитель автоматически возвращается в высокоимпедансное состояние.

Одним из основных параметров TVS-диодов является время реакции. Время реакции на обратной ветке ВАХ (ветка лавинного пробоя) составляет несколько пс.

## DIOTEC, NXP И STM НА РЫНКЕ ЗАЩИТНЫХ ДИОДОВ

На рынке производителей защитных полупроводниковых электронных компонентов есть ряд игроков, в число которых входят компания Diotec, NXP, STMicroelectronics.



STMicroelectronics — одна из крупнейших компаний производящая полупроводниковые компоненты, образованная в результате слияния двух компаний по производству микроэлектроники: итальянской Società e Generale Semiconduttori (SGS) Microelettronica и французской Thomson Semiconducteurs. На момент слияния компания на-

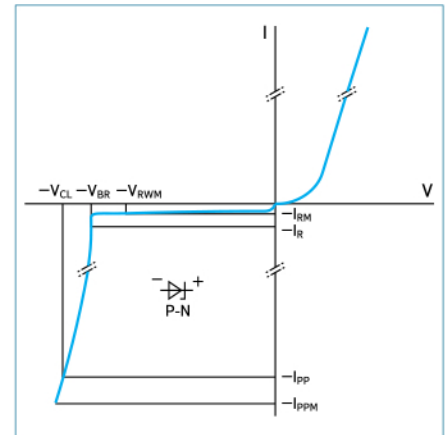


Рис. 3. Вольтамперная характеристика (ВАХ) TVS-диода

звалась SGS-Thomson, а затем преобразована в тот вид, в котором сейчас выступает на рынке электронных компонентов. В портфолио защитных элементов компании STM присутствуют микросхемы защиты, защитные (TVS) диоды, и их сборки.



Компания NXP Semiconductors одна из ведущих компаний по производству полупроводниковых компонентов, основанная компанией Philips Semiconductors, и выделена в самостоятельную компанию в 2006 г. имеет более 50 заводов по всему миру. В портфолио компании NXP насчитывается около 300 наименований защитных диодов и их сборок. TVS-диоды выпускаются в различных модификациях исполнения и вариантах корпусов, от простых SOT23, до 20-выводных SOIC. В таблице 1 перечислены некоторые линейки защитных диодов компании NXP и их краткие характеристики.



Компания Diotec Semiconductor AG (Diotec) — была образована в 1973 г. в городе Хайтерсхайм (Германия). На сегодняшний день компания является ведущим производителем стандартных и силовых полупроводниковых диодов и выпрямителей. Благодаря применению собственной уникальной технологии Plasma EPOS, не имеющей аналогов в мире, обеспечивающей высокое качество производимой продукции. Одной из наиболее сильных и многочисленных линеек продукции Diotec являются TVS-диоды (transient voltage suppressors) в этой линейке насчитывается более 1500 наименований, в таблице 2 приведен краткий перечень защитных диодов и их краткие характеристики.

## Выводы

Практически любое электронное устройство нуждается в защите от перенапряжений. При выборе схем защиты электронных устройств следует учитывать не только характеристики защитных элементов, но и их качество. В сочетании с передовыми технологиями, высоким качеством элементов и европейским подходом к организации производства продукция компаний Diotec, NXP и STM позволяет применять их в различных отраслях электроники, в том числе в системах безопасности, где предъявляются повышенные требования к надежности аппаратуры.

# ВЫПРЯМИТЕЛЬНЫЕ ДИОДЫ И ДИОДНЫЕ МОСТЫ КОМПАНИИ DIOTEC

Практически любая современная электроника нуждается в постоянном напряжении питания, любая схема выпрямления имеет в своем составе выпрямительный мост на базе дискретных диодов или диодного моста в едином корпусе.

## КОНСТРУКЦИЯ, ПРЕИМУЩЕСТВА ДИОДНЫХ МОСТОВ

Конструкция мостовых схем может быть выполнена из отдельных диодов (рис. 1), или в виде монолитной конструкции (диодной сборки) (рис. 2). Монолитная конструкция, как правило, предпочтительней — она дешевле и меньше по объему. Диоды в ней подобраны на заводе изготовителе и параметры максимально аналогичны друг другу, в отличие от отдельных диодов, где параметры могут отличаться друг от друга, к тому же в рабочем состоянии диоды в диодной сборке работают в одинаковом тепловом режиме, что уменьшает вероятность выхода из строя элемента. Еще одним преимуществом диодной сборки является ее простота монтажа на плате. Основным недостатком монолитной конструкции является невозможность замены одного диода, вышедшего из строя другим, в этом случае необходимо менять всю сборку, но происходит это крайне редко, если рабочие режимы диодного моста подобраны правильно.

Область применения выпрямительных диодов и мостов обширна:

- приборы освещения (ЭПРА для люминесцентных и компактных люминесцентных ламп, блоки

управления светодиодами, диммеры, модули солнечных батарей);

- счетчики электроэнергии, газа и жидкости;
- блоки питания и управления бытовой техники (телевизоров, миксеров, стиральных машин, пылесосов, set-top-box, компьютеров, холодильников, электроинструмента и др.), зарядные устройства мобильных телефонов и ноутбуков, AC/DC-, DC/DC-преобразователи;
- промышленные блоки питания, зарядные устройства, блоки управления электродвигателями, регуляторы мощности, автомобильные выпрямители и др.

## DIOTEC НА РЫНКЕ ЭЛЕКТРОННЫХ КОМПОНЕНТОВ

Компания Diotec Semiconductor AG (Diotec) — была образована в 1973 г. в городе Хайтерсхайм (Германия). Компания заняла прочное место на рынке полупроводниковых элементов. Вся продукция выполнена по безсвинцовой технологии. Благодаря применению собственной уникальной технологии Plasma EPOS, не имеющей аналогов в мире, удалось обеспечить высокое качество производимой продукции и полностью исключить применение агрессивных кислот в процессе производства и свести к минимуму вредное влияние на окружающую среду.

Таблица 1. Выпрямительные диоды

| Тип       | Корпус | Импульсное обратное напряжение | Средний ток прямой макс. | Ударный прямой ток | Напряжение прямое |         | Ток утечки |         |
|-----------|--------|--------------------------------|--------------------------|--------------------|-------------------|---------|------------|---------|
|           |        | $V_{RRM}$ В                    | $I_{FAV}$ А              | $I_{FSM}$ А        | $V_P$ В           | $I_P$ А | $I_R$ мкА  | $V_R$ В |
| 1N4007    | DO-41  | 1000                           | 1                        | 50                 | 1,1               | 1       | 5          | 1000    |
| 1N4007-13 | DO-41  | 1300                           | 1                        | 50                 | 1,1               | 1       | 5          | 1300    |
| EM518     | DO-41  | 2000                           | 1                        | 50                 | 1,1               | 1       | 5          | 2000    |
| S1M       | SMA    | 1000                           | 1                        | 30                 | 1,1               | 1       | 5          | 1000    |
| S2A       | SMB    | 50                             | 2                        | 50                 | 1,1               | 1,15    | 5          | 50      |
| S3B       | SMC    | 100                            | 3                        | 110                | 1,15              | 3       | 5          | 100     |

Таблица 2. Одно- и трехфазные мосты

| Тип                           | Упаковка, мм  | Импульсное обратное напряжение | Средний ток прямой макс. | Ударный прямой ток 50/60 Гц | Напряжение прямое |          | Ток утечки |         |
|-------------------------------|---------------|--------------------------------|--------------------------|-----------------------------|-------------------|----------|------------|---------|
|                               |               | $V_{RRM}$ В                    | $I_{FAV}$ А              | $I_{FSM}$ А                 | $V_P$ В           | $I_P$ А  | $I_R$ мкА  | $V_R$ В |
| <b>Выпрямители однофазные</b> |               |                                |                          |                             |                   |          |            |         |
| B380C1500A/B                  | 19x3,5x10     | 800                            | 1,8                      | 50                          |                   |          | 10         | 800     |
| B380D                         | DIL           | 800                            | 1                        | 40                          | 1,1               | 1        | 10         | 800     |
| B500C1500A/B                  | 19x3,5x10     | 1000                           | 1,8                      | 50                          |                   |          | 10         | 1000    |
| B500S                         | DIL           | 1000                           | 1                        | 40                          | 1,1               | 1        | 10         | 1000    |
| CS10D                         | DIL           | 20                             | 1                        | 40                          | 0,5               | 1        | 500        | 20      |
| GB110M                        | 32x5,6x17     | 1000                           | 3                        | 220                         |                   |          | 10         | 1000    |
| GBU10M                        | 20,8x3,3x18   | 1000                           | 8,4                      | 300                         | 1                 | 12       | 10         | 1000    |
| <b>KBPC10/15/2500FP</b>       |               |                                |                          |                             |                   |          |            |         |
| KBPC601                       | 15,2x15,2x6,3 | 100                            | 3,8                      | 125                         | 1,2               | 3        | 10         | 100     |
| KBU12M                        | 23,5x5,7x19,3 | 1000                           | 8,4                      | 300                         | 1                 | 12       | 10         | 1000    |
| KBU8M                         | 23,5x5,7x19,3 | 1000                           | 5,6                      | 300                         | 1                 | 8        | 10         | 1000    |
| M5500                         | SuperMicroDIL | 1000                           | 0,5                      | 20                          | 1,2               | 0,5      | 10         | 1000    |
| MYS250                        | MicroDIL      | 600                            | 0,5                      | 20                          | 1,2               | 0,5      | 10         | 600     |
| PB1001                        | 19x19x6,8     | 70                             | 10                       | 150                         | 1,2               | 5        | 10         | 35      |
| S80                           | MiniDIL       | 160                            | 0,8                      | 44                          | 1,2               | 0,8      | 10         | 160     |
| MS380                         | Micro-DIL     | 800                            | 0,5                      | 20                          | 1,2               | 0,5      | 10         | 800     |
| B40S2A                        | SO-DIL        | 80                             | 2,3                      | 65                          | 0,95              | 2        | 10         | 80      |
| B250S2A                       | SO-DIL        | 600                            | 2,3                      | 65                          | 0,95              | 2        | 10         | 600     |
| B500S                         | SO-DIL        | 1000                           | 1                        | 40                          | 1,1               | 1        | 10         | 1000    |
| <b>Выпрямители 3-фазные</b>   |               |                                |                          |                             |                   |          |            |         |
| DB15/25-16                    | 28,5x28,5x10  | 1600                           | 15/25                    | 275/385                     | 1,05              | 7,5      | 10         | 1600    |
| DB35-14                       | 28,5x28,5x10  | 1400                           | 35                       | 500                         | 1,05              | 17,5     | 10         | 1400    |
| DB115/25-12                   | 40x20x10      | 1600                           | 15/25                    | 275/385                     | 1,05              | 7,5/12,5 | 10         | 1200    |
| DB125-12A                     | 35x25x4       | 1200                           | 25                       | 390                         | 1,05              | 12,5     | 10         | 1200    |
| DB16-12                       | 40x20x10      | 1600                           | 6                        | 135                         | 1,05              | 3        | 10         | 1200    |

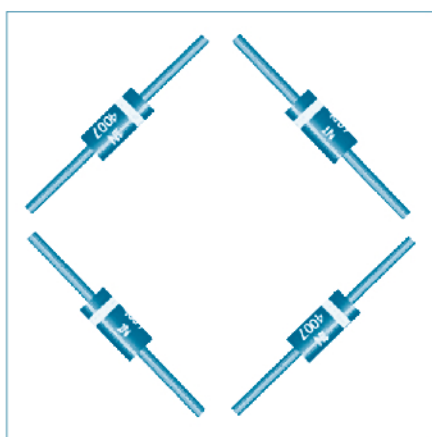


Рис. 1. Диодный мост на дискретных элементах

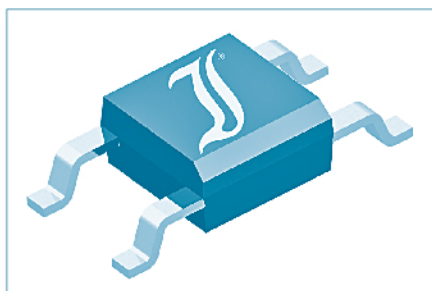


Рис. 2 Диодная сборка

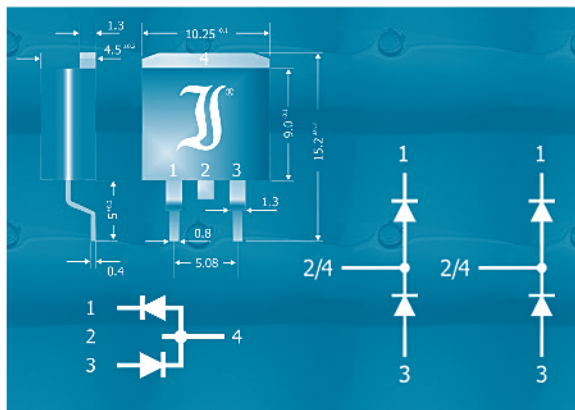


Рис. 3. Полумост S16

В таблице 1 и 2 приведен краткий перечень и характеристики выпрямительных диодов, одно- и трехфазных выпрямительных мостов компании Diotec.

Для применения в одно- и трехфазных схемах компания Diotec предлагает полумосты серии S16 в корпусе D2PAK (TO263) (рис. 3). Два или три

таких полумоста могут легко сформировать одно- или трехфазную схему входного выпрямителя. Такой полумост улучшает процесс автоматической пайки плат и не требует ручного процесса монтажа мост/радиатор в источниках питания и блоках управления двигателем, рассчитанных на работу до нескольких сотен Вт.

Серия S16 содержит два диода номиналом 8 А, которые могут использоваться для создания однофазного моста с максимальным током 16 А или трехфазного моста с током до 24 А. Обратное напряжение полумоста достигает 1000 В, максимальный ток перегрузки 135 А при частоте 50 Гц.

## ВЫВОД

В сочетании с передовыми технологиями и немецким подходом к организации производства, продукция Diotec обладает высоким качеством и позволяет применять ее в различных отраслях электроники, где предъявляются повышенные требования к надежности.

## ROHM SEMICONDUCTORS НАЧАЛА ПРОИЗВОДСТВО FERAM-ПАМЯТИ

FeRAM — оперативная память, по своему устройству схожая с DRAM, но использующая слой сегнетоэлектрика — вещества изменяющего свою проводимость в зависимости от намагниченности, вместо диэлектрического слоя для обеспечения энергонезависимости. Среди преимуществ FeRAM перед Flash-памятью называют низкое энергопотребление, более быструю запись информации и существенно увеличенное максимальное количество циклов перезаписи. Срок хранения информации без обновления достигает 10 лет. В таблице 2 представлено краткое сравнение памяти FeRAM с памятью EEPROM, Flash и SRAM: В настоящий момент доступны образцы различных комплектаций микросхем памяти FeRam производства ROHM Semiconductors (табл. 1).

Таблица 1.

| Модель    | Объем памяти          | Интерфейс    | Корпус  | Напряжение питания, В | Тактовая частота, МГц |
|-----------|-----------------------|--------------|---------|-----------------------|-----------------------|
| MR48V256A | 256 кбит (32 кx8 бит) | Параллельный | TSOP-28 | 3,3                   | –                     |
| MR45V256A | 256 кбит (32 кx8 бит) | SPI          | SOP-8   | 3,3                   | 15                    |
| MR45V032A | 32 кбит (4 кx8 бит)   | SPI          | SOP-8   | 3,3                   | 15                    |
| MR44V064A | 64 кбит (8 кx8 бит)   | PC           | SOP-8   | 3,3                   | 15                    |

Таблица 2.

| Тип памяти                               | FeRAM                          | EEPROM                        | FLASH                         | SRAM                         |
|--|--------------------------------|-------------------------------|-------------------------------|------------------------------|
|  | оперативная, энергонезависимая | постоянная, энергонезависимая | постоянная, энергонезависимая | оперативная, энергозависимая |
| Продолжительность операции записи/чтения | 150 нс                         | 5 мс                          | 10 мкс                        | 55 нс                        |
| Количество циклов перезаписи             | 1,00E+12                       | 1,00E+06                      | 1,00E+05                      | не ограничено                |
| Потребляемый ток                         | 2 мА                           | 5 мА                          | 10 мА                         | 10 мА                        |

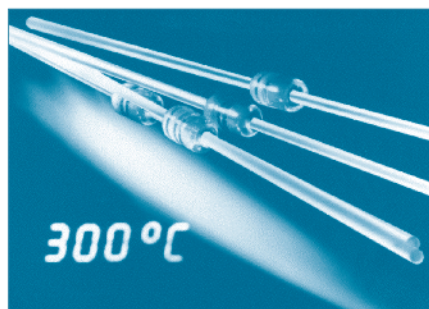
# ТЕМПЕРАТУРНЫЕ ДАТЧИКИ NXP

## АНАЛОГОВЫЕ ТЕМПЕРАТУРНЫЕ ДАТЧИКИ

Температурный датчик (терморезистор) (от греч. *therme* — тепло, жар; от лат. *resisto* — сопротивляюсь), термистор — полупроводниковый резистор, электрическое сопротивление которого существенно убывает или возрастает с ростом температуры. Для терморезистора характерны большой температурный коэффициент сопротивления (ТКС) (в десятки раз превышающий этот коэффициент у металлов), простота устройства, способность работать в различных климатических условиях при значительных механических нагрузках, стабильность характеристик во времени. Основными параметрами терморезистора являются: номинальное сопротивление, температурный коэффициент сопротивления, интервал рабочих температур, максимально допустимая мощность рассеяния.

Таблица 1. Аналоговые температурные датчики NXP

| Обозначение | Рабочие температуры, °C | Точность, °C | Корпус |
|-------------|-------------------------|--------------|--------|
| КТУ81-110   | -55...+150              | ±1,3         | SOD70  |
| КТУ81-120   | -55...+150              | ±2,5         | SOD70  |
| КТУ81-121   | -55...+150              | ±1,3         | SOD70  |
| КТУ81-122   | -55...+150              | ±1,3         | SOD70  |
| КТУ81-150   | -55...+150              | ±6,3         | SOD70  |
| КТУ81-151   | -55...+150              | ±3,2         | SOD70  |
| КТУ81-152   | -55...+150              | ±3,2         | SOD70  |
| КТУ81-210   | -55...+150              | ±1,3         | SOD70  |
| КТУ81-220   | -55...+150              | ±1,3         | SOD70  |
| КТУ81-221   | -55...+150              | ±1,3         | SOD70  |
| КТУ81-250   | -55...+150              | ±6,3         | SOD70  |
| КТУ81-251   | -55...+150              | ±3,2         | SOD70  |
| КТУ81-252   | -55...+150              | ±3,2         | SOD70  |
| КТУ82-110   | -55...+150              | ±1,3         | SOT23  |
| КТУ82-120   | -55...+150              | ±2,5         | SOT23  |
| КТУ82-121   | -55...+150              | ±1,3         | SOT23  |
| КТУ82-122   | -55...+150              | ±1,3         | SOT23  |
| КТУ82-150   | -55...+150              | ±6,3         | SOT23  |
| КТУ82-151   | -55...+150              | ±3,2         | SOT23  |
| КТУ82-152   | -55...+150              | ±3,2         | SOT23  |
| КТУ82-210   | -55...+150              | ±1,3         | SOT23  |
| КТУ82-220   | -55...+150              | ±2,5         | SOT23  |
| КТУ82-221   | -55...+150              | ±1,3         | SOT23  |
| КТУ82-222   | -55...+150              | ±1,3         | SOT23  |
| КТУ82-250   | -55...+150              | ±6,3         | SOT23  |
| КТУ82-251   | -55...+150              | ±3,2         | SOT23  |
| КТУ82-252   | -55...+150              | ±3,2         | SOT23  |
| КТУ83-110   | -55...+175              | ±1,3         | SOD68  |
| КТУ83-120   | -55...+175              | ±2,5         | SOD68  |
| КТУ83-121   | -55...+175              | ±1,3         | SOD68  |
| КТУ83-122   | -55...+175              | ±1,3         | SOD68  |
| КТУ83-150   | -55...+175              | ±6,6         | SOD68  |
| КТУ83-151   | -55...+175              | ±3,3         | SOD68  |
| КТУ83-152   | -55...+175              | ±3,3         | SOD68  |
| КТУ84-130   | -40...+300              | ±4,8         | SOD68  |
| КТУ84-150   | -40...+300              | ±8,0         | SOD68  |
| КТУ84-151   | -40...+300              | ±4,0         | SOD68  |
| КТУ84-152   | -40...+300              | ±4,0         | SOD68  |



Краткий перечень и характеристики аналоговых температурных датчиков фирмы NXP Semiconductors представлен в таблице 1. Сенсоры выполнены по полупроводниковой (кремниевой) технологии. Их выгодно отличают (в сравнении с NTC или платиновыми (Pt) датчиками):

- широкий выбор диапазонов измеряемых температур,
- измерение температур до 300 °C,
- высокая стабильность измерения с течением времени (более 450 000 часов),
- линейная характеристика во всем температурном диапазоне,
- различные корпуса, в том числе стеклянные, которые могут применяться непосредственно в агрессивных средах.

## ЦИФРОВЫЕ ТЕМПЕРАТУРНЫЕ ДАТЧИКИ

Использование аналоговых температурных датчиков заставляет столкнуться с рядом проблем связанных с передачей информации по каналу связи до АЦП. Цифровые температурные датчики позволяют избежать многих проблем, связанных с передачей аналогового сигнала от полупроводникового датчика к входу АЦП или компаратора.

Объединяя на одном кристалле чувствительный элемент, цепи коррекции нелинейности, АЦП, стандартный интерфейс, для подключения к микроконтроллеру и стабилизатор питания, эти приборы позволяют значительно упростить схемотехнику проектируемого устройства, повысить его надежность, точность измеряемой температуры и снизить стоимость. Все микросхемы датчиков дополнительно содержат встроенную оперативную память и схему слежения, для контроля выхода температуры за установленное пользователем пороговое значение.

Таблица 2. Температурные цифровые датчики LM75A, LM75

| P/N    | Диапазон измеряемых температур, °C | Точность в диапазоне -25...+100 °C, ±°C | Разрешение, °C | Время преобр., мс | I <sub>v</sub> /I <sub>stb</sub> , мА/мкА | U <sub>v</sub> , В | Интерфейс        | Тип корпуса |
|--------|------------------------------------|---|----------------|-------------------|---|--------------------|------------------|-------------|
| LM75AD | -55...+125                         | 2                                       | 0,125          | 100               | 1/3,5                                     | 2,8...5,5          | I <sup>2</sup> C | SO-8        |
| LM75A  | -55...+150                         | 2                                       | 0,125          | 100               | 1/3,5                                     | 2,8...5,5          | I <sup>2</sup> C | TSSOP-8     |

Таблица 3. Температурные цифровые датчики NE1617, NE1617 A, NE1619

| P/N       | Диапазон измеряемых температур, °C | Точность в диапазоне -25...+100 °C, ±°C | Разрешение, °C | Время преобр., мс | I <sub>v</sub> /I <sub>stb</sub> , мкА/мкА | U <sub>v</sub> , В | Интерфейс | Тип корпуса |
|-----------|------------------------------------|---|----------------|-------------------|--|--------------------|-----------|-------------|
| NE1617ADS | 0...+125                           | 3                                       | 1              | 170               | 70/3                                       | 3...5,5            | SMBus     | SSOP16      |
| NE1619DS  | 0...+125                           | 3                                       | 1              | 150/750           | 250/100                                    | 2,8...5,5          | SMBus     | SSOP16      |
| NE1619    | 0...+125                           | 3                                       | 1              | 250               | -  | 2,8...5,5          | SMBus     | SSOP16      |

LM75A, LM75B — объединяет на одном кристалле чувствительный элемент, цепи коррекции нелинейности, 11-битный сигма-дельта АЦП (обеспечивает резолюцию 0,125 °C), схему сброса, тактовый генератор, стандартный интерфейс, для подключения к микроконтроллеру и стабилизатор питания, pin-to-pin совместим с промышленным стандартом LM75, а также регистр конфигурации, измеренной температуры, пороговой температуры, гистерезиса, логику управления и реализации I<sup>2</sup>C протокола (обеспечивая подключение на шину до восьми термометров). Кроме этого ЧИП включает цифровой компаратор с каскадом усиления на полевом транзисторе с открытым стоком.

NE1617, NE1617 A, NE1619 — двухканальные цифровые температурные датчики, имеют встроенный термочувствительный элемент, а так же осуществляют мониторинг, удаленного объекта, при помощи внешнего термодатчика (кремниевый диод). Показания температуры с обоих датчиков фиксируются в соответствующих регистрах, затем считываются по 2-проводной SMBus шине. Имеется система слежения, для формирования сигнала тревоги, в случае перехода температуры любого канала через запрограммированный порог. В микросхеме может быть от 1 до 9 адресов (определяются двумя адресными выводами) на шине. В микросхеме организована функция сохранения энергии Standby, эту функцию можно организовать любым программным обеспечением по SMBus шине или с помощью аппаратных средств используя резервный вывод. Датчик NE1619 осуществляет контроль напряжения питания системы: 12, 5, 3,3, 2,5 В, VCCP, VDD. Совместимы с термодатчиками от Maxim MAX6657/58 и ADM1032 от Analog Device.

SA56004 — SMBus совместимый, включает в себя цифровой температурный датчик, имеет встроенный термочувствительный элемент, а так же осуществляет мониторинг, удаленного объекта, при помощи внешнего термодатчика (кремниевый диод), 11-битный АЦП (обеспечивает резолюцию 0,125 °C), систему подачи тревожного сигнала при превышении температуры заданного диапазона. В микросхеме может быть до 8 отдельных адресов устройств для семи вариантов использования. Совместимы с термодатчиками от National LM86, MAX6657/58 Maxim и ADM1032 от Analog Device.

SE95, SE97, SE98 — серия цифровых температурных датчиков, имеют встроенный термочувствительный элемент, сигма-дельта АЦП. Показания температуры

с датчика фиксируются в соответствующих регистрах, затем считываются по I<sup>2</sup>C или SMBus шине.

## ОБЛАСТИ ПРИМЕНЕНИЯ ТЕМПЕРАТУРНЫХ ДАТЧИКОВ

Системы вентиляции, кондиционирования и климат-контроля, устройства заряда аккумуляторных батарей, системы контроля температуры в системах управления питанием, устройства электромеханики, портативная и оргтехника, настольные компьютеры, ноутбуки, промышленные контроллеры, телеком-

Таблица 4. Температурные цифровые датчики SE95, SE97, SE98

| P/N  | Диапазон измеряемых температур, °C | Точность в диапазоне -25...+100 °C, ±°C | Разрешение, °C | Время преобр., мс | I <sub>a</sub> /I <sub>стб</sub> , мкА/мкА | U <sub>п</sub> , В | Интерфейс              | Тип корпуса                    |
|------|------------------------------------|---|----------------|-------------------|--|--------------------|------------------------|--------------------------------|
| SE95 | -55...+125                         | 1                                       | 0,03125        | 170               | 100/7                                      | 2,8...5,5          | I <sup>2</sup> C       | S08, TSSOP8                    |
| SE97 | -20...+125                         | 2                                       | 0,125          | 150/750           | 250/400                                    | 3...3,6            | I <sup>2</sup> C/SMBus | TSSOP8, HVSON8, HXSON8, HWSON8 |
| SE98 | -20...+125                         | 2                                       | 0,125          | 150/750           | 200/250                                    | 3...3,6            | I <sup>2</sup> C/SMBus | TSSOP8, HVSON8                 |

муникационное оборудование, сервера и рабочие станции, системы контроля температуры и термо-

компенсации, модули памяти, жесткие диски и другая компьютерная периферия.

# БИПОЛЯРНЫЕ ТРАНЗИСТОРЫ BISS NXP SEMICONDUCTORS

Транзисторы BISS (Breakthrough in Small Signal, дословно — «прорыв в малом сигнале») — биполярные транзисторы с улучшенными параметрами малого сигнала. Существенное улучшение параметров транзисторов BISS достигнуто за счет изменения конструкции зоны эмиттера (рис. 1).

В сравнении с традиционными биполярными транзисторами (ТБТ), в транзисторах BISS зона эмиттера максимально увеличена и максимально (даже двухслойно) металлизирована. Благодаря этому, ток эмиттера распределен более равномерно по всей зоне и уменьшено омическое сопротивление. В результате, в транзисторах BISS обеспечено значительное уменьшение напряжения V<sub>CEsat</sub> насыщения коллектор-эмиттер. На рис. 2 приведена зависимость напряжения V<sub>CEsat</sub> от тока I<sub>C</sub> коллектора для трех поколений транзисторов BISS компании NXP Semiconductors

По кривым на рис. 2 легко определить, что напряжение насыщения транзистора BISS меньше аналогичного напряжения транзистора ТБТ. Вследствие этого в транзисторах BISS существенно уменьшается мощность рассеяния и, соответственно, температура кристалла, то есть появляется возможность либо уменьшить габариты (корпус), либо при тех же габаритах увеличить мощность, передаваемую транзистором в нагрузку, либо увеличить максимально допустимую температуру транзистора.

Кроме того, благодаря особому выполнению зоны эмиттера, у транзисторов BISS не только понижается температура, но и существенно уменьшается градиент ее распределения по корпусу. Это обстоятельство наглядно продемонстрировано на рис. 3, где приведены результаты измерений теплового состояния тех же сравниваемых транзисторов.

Отсюда следует, что в транзисторах BISS устранены зоны локального перегрева, то есть существенно улучшен тепловой режим, в результате чего значительно повышена надежность.

Транзисторы BISS применяются в диапазоне коллекторных токов до 10 А при напряжении коллектор — эмиттер до 100 В и отличаются от транзисторов ТБТ более низким напряжением насыщения, значительно меньшими габаритами, расширенным температурным диапазоном и более высокой степенью надежности.



Рис. 1. Зона эмиттера транзистора BISS в разрезе

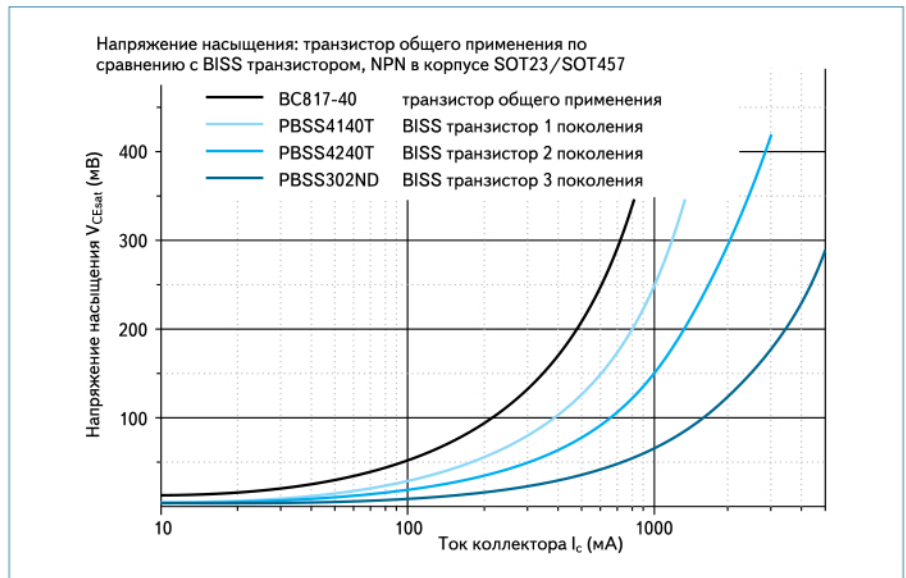


Рис. 2. Зависимость V<sub>CEsat</sub> = f(I<sub>C</sub>) у транзисторов ТБТ и BISS

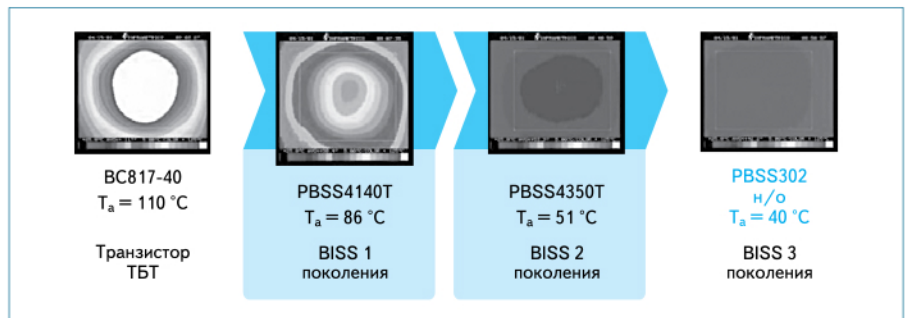


Рис. 3. Распределение тепла на поверхности корпуса транзистора ТБТ и BISS



**Таблица 1. Двойные транзисторы BISS**

| $V_{CE0}$ , В | $I_C$ , А | Полярность | $H_{fe}$ min  |                  | $V_{CEsat}$ тип, мВ при $I_C = 0,5$ ; $I_B = 0,05$ А | $V_{CEsat}$ max, мВ |                  | Тип | Корпус |             |                |
|---------------|-----------|------------|---------------|------------------|--|---------------------|------------------|-----|--------|-------------|----------------|
|               |           |            | при $I_C$ , А | при $V_{CE}$ , В |  | при $I_C$ , А       | при $V_{CE}$ , В |     |        |             |                |
| 15            | 0,5       | 2xPNP      | 200           | 0,01             | 2  | 170*                | 250              | 0,5 | 0,05   | PBSS351VS   | SOT666         |
|               |           | NPN/PNP    |               |                  |  |                     |                  |     |        | PBSS251VFN  |                |
|               |           | 2xNPN      |               |                  |  |                     |                  |     |        | PBSS251VS   |                |
| 15            | 0,5       | NPN/PNP    | 200           | 0,01             | 2  | 170*                | 250              | 0,5 | 0,05   | PBSS251YFN  | SOT363 (SC-88) |
| 40            | 1         | NPN/PNP    | 300/250       | 0,5              | 5  | 130/150             | 500              | 1   | 0,1    | PBSS4140DPN | SOT457 (SC-74) |
|               | 2         | NPN/PNP    | 300/250       |                  |  | 80/100              | 400/530          | 2   | 0,2    | PBSS4240DPN |                |
| 60            | 1         | 2xNPN      | 200           | 0,5              | 5  | 115                 | 250              | 1   | 0,1    | PBSS4160DS  | SOT457 (SC-74) |
|               |           | 2xPNP      | 150           |                  |  | 120                 | 330              |     |        | PBSS5160DS  |                |
|               |           | NPN/PNP    | 200/150       |                  |  | 115/120             | 250/330          |     |        | PBSS4160DPN |                |
| 50            |           | 2xNPN      | 300           | 0,5              | 2  | 50                  | 340              | 2,7 | 0,27   | PBSS4350SS  | SOT96 (SO8)    |
|               |           | 2xPNP      | 200           |                  |  | 60                  | 370              |     |        | PBSS5350SS  |                |
|               |           | NPN/PNP    | 300/200       |                  |  | 50/60               | 340/370          |     |        | PBSS4350SPN |                |

\* $I_C = 0,5$ ;  $I_B = 0,025$  А

**Таблица 2. Ключевые транзисторы BISS**

| Корпус          |           |   |             | SOT96 (SO8) | SOT457 (SC-74) | SOT363 (SC-88) | SOT666    |
|-----------------|-----------|---|-------------|-------------|----------------|----------------|-----------|
| $P_{TOT}$ , мВт |           |   |             | 1500        | 600            | 300            | 300       |
| $V_{CE}$ , В    | $I_C$ , А | $V_{CEsat}$ max, мВ при $I_C = 0,5$ , А | R1, R2, кОм |             |                |                |           |
| 15              | 0,5       | 250                                     | 2,2         |             |                | PBLS1501Y      | PBLS1501V |
|                 |           |   | 4,7         |             |                | PBLS1502Y      | PBLS1502V |
|                 |           |   | 1,0         |             |                | PBLS1503Y      | PBLS1503V |
|                 |           |   | 22          |             |                | PBLS1504Y      | PBLS1504V |
| 40              | 0,5       | 350                                     | 2,2         |             |                | PBLS4001Y      | PBLS4001V |
|                 |           |   | 4,7         |             |                | PBLS4002Y      | PBLS4002V |
|                 |           |   | 10          |             |                | PBLS4003Y      | PBLS4003V |
|                 |           |   | 22          |             |                | PBLS4004Y      | PBLS4004V |
| 20              | 1         | 150                                     | 47          |             |                | PBLS4005Y      | PBLS4005V |
|                 |           |   | 2,2         |             |                | PBLS2001D      |           |
|                 |           |   | 4,7         |             |                | PBLS2002D      |           |
|                 |           |   | 10          |             |                | PBLS2003D      |           |
| 40              | 1         | 170                                     | 22          |             |                | PBLS2004D      |           |
|                 |           |   | 2,2         |             |                | PBLS4001D      |           |
|                 |           |   | 4,7         |             |                | PBLS4002D      |           |
|                 |           |   | 10          |             |                | PBLS4003D      |           |
| 60              | 1         | 180                                     | 22          |             |                | PBLS4004D      |           |
|                 |           |   | 47          |             |                | PBLS4005D      |           |
|                 |           |   | 2,2         |             |                | PBLS6001D      |           |
|                 |           |   | 4,7         |             |                | PBLS6002D      |           |
| 20              | 3         | 75                                      | 10          |             |                | PBLS6003D      |           |
|                 |           |   | 22          |             |                | PBLS6004D      |           |
|                 |           |   | 47          |             |                | PBLS6005D      |           |
|                 |           |   | 2,2         |             |                | PBLS2001S      |           |
|                 |           |   | 4,7         |             |                | PBLS2002S      |           |
|                 |           |   | 10          |             |                | PBLS2003S      |           |

**Таблица 3. Высоковольтные транзисторы BISS**

| Корпус          |                |               |           | SOT23     | SOT89 (SC-62) | SOT223 (SC-73) |
|-----------------|----------------|---------------|-----------|-----------|---------------|----------------|
| $P_{TOT}$ , мВт |                |               |           | 250       | 1300          | 1700           |
| Полярность      | $V_{CESM}$ , В | $V_{CE0}$ , В | $I_C$ , А |           |               |                |
| NPN             | –              | 150           | 1         | PBHV8115T | PBHV8115X     | PBHV8115Z      |
|                 | –              | 400           | 0,3       | PMBTA44   |               |                |
|                 | 500            | 400           | 0,5       | PBHV8540T | PBHV8540X     | PBHV8540Z      |
| PNP             | –              | 150           | 1         | PBHV9115T | PBHV9115X     | PBHV9115Z      |
|                 | 500            | 400           | 0,25      | PBHV9040T | PBHV9040X     | PBHV9040Z      |

Краткий перечень и характеристики транзисторов BISS приведены в таблицах 1, 2, 3, 4, 5.

## ОБЛАСТЬ ПРИМЕНЕНИЯ ТРАНЗИСТОРОВ BISS

Область применения BISS транзисторов, наряду с транзисторами общего применения, не ограничена:

- промышленная автоматика — ключевые схемы, блоки питания, DC/DC преобразователи, понижающие/повышающие конвертеры, блоки управления электродвигателями, системы безопасности железнодорожного транспорта, блоки управления подачей топлива для автозаправочных станций, драйвер светодиода, микросхемы балластов (дополнение к MOSFET драйверу), зарядные устройства, выключатели и регуляторы питания, выключатели подсветки LCD (ЖКИ), инверторы для TFT;
- бытовая и портативная электроника — мобильные и бытовые телефоны, компьютеры, ноутбуки (блоки питания, управление вентилятором, питанием LAN, ADSL, конвертор DC/DC, переключатели нагрузки, модули управления лазерными приводами), MP3-плееры и мобильные плееры, игровые приставки, гарнитуры, цифровые видеокамеры и фотоаппараты, схемы защиты Li-ion батарей, set-top-box (цифровые приемники ТВ сигнала), кондиционеры, блоки управления холодильниками, стиральными машинами, пылесосами;
- автомобильная электроника — бортовые компьютеры, регуляторы напряжения, электронные модули рулевого управления, электронасосы топлива и воды, турбокомпрессоры, модули управления стеклоподъемниками, стеклоочистителями, зеркалами, систем безопасности ABS, ESP, EBD, подушками безопасности, автоматизированных коробок передач, модули DC/DC преобразователей, регуляторы положения сидений, системы отопления, вентиляции, кондиционирования, системы активной подвески, радионавигационные приборы.

## ВЫВОД

Из рассмотрения характеристик и областей применения транзисторов BISS при использовании взамен традиционных биполярных транзисторов можно подчеркнуть их преимущества и реализовать более эффективное производство электронных устройств:

1. Повышается эффективность схемы, благодаря уменьшению напряжения насыщения коллектор-эмиттер;
2. Уменьшается мощность рассеяния, увеличивается допустимая окружающая температура;
3. Увеличивается коэффициент усиления по току, увеличивается допустимый ток коллектора, увеличивается допустимая нагрузка по току коллектора;
4. Уменьшаются габариты и затраты на изготовления устройств, снижается их стоимость;
5. Увеличивается надежность;
6. Снижается энергопотребление, увеличивается время функционирования автономных устройств на аккумуляторных батареях.

Таблица 4. Транзисторы BISS с низким напряжением насыщения (NPN)

| V <sub>CE0</sub> , В | I <sub>C</sub> , А | I <sub>CE</sub> , А | Тип          | H <sub>FE</sub> min/tip |                          | R <sub>CEsat</sub> тип., мОм<br>при I <sub>C</sub> = max I <sub>C</sub> /I <sub>B</sub> = 10 А | V <sub>CEsat</sub> тип., мВ<br>при I <sub>C</sub> = 0,5; I <sub>B</sub> = 0,05 А | V <sub>CEsat</sub> макс, мВ |                        | P <sub>TOT</sub><br>мВт | Корпус |      |                    |
|----------------------|--------------------|---------------------|--------------|-------------------------|--------------------------|--|--|-----------------------------|------------------------|-------------------------|--------|------|--------------------|
|                      |                    |                     |              | при I <sub>C</sub> , А  | при V <sub>CE0</sub> , В |  |  | при I <sub>C</sub> макс, А  | при I <sub>B</sub> , А |                         |        |      |                    |
| 40                   | 1                  | 2                   | PBSS4140S    | 300/-                   | 0,5                      | 5  | 230  | 120                         | 500                    | 1                       | 0,1    | 830  | SOT54<br>(TO-92)   |
| 50                   | 3                  | 5                   | PBSS4350S    | 200/-                   | 0,5                      | 2  | 100  | -                           | 290                    | 2                       | 0,2    |      |                    |
| 100                  | 1                  | 3                   | PBSS8110S/AS | 150/-                   | 0,25                     | 10   | 165  | <110                        | 200                    | 1                       | 0,1    |      |                    |
| 15                   | 0,5                | 1                   | PBSS2515M    | 200/-                   | 0,01                     | 2  | 360  | -                           | 250                    | 0,5                     | 0,05   | 250  | SOT883<br>(SC-101) |
| 40                   | 0,5                | 1                   | PBSS2540M    | 200/-                   | 0,01                     | 2  | 380  | -                           | 250                    | 0,5                     | 0,05   |      |                    |
| 20                   | 2                  | 4                   | PBSS4220V    | 220/-                   | 0,5                      | 2  | 150  | 70                          | 400                    | 2                       | 0,2    | 500  | SOT666             |
| 40                   | 1                  | 3                   | PBSS4140V    | 300/-                   | 0,5                      | 5  | 150  | 70                          | 190                    | 1                       | 0,1    |      |                    |
| 40                   | 2                  | 3                   | PBSS4240V    | 300/-                   | 0,5                      | 5  | 150  | 70                          | 400                    | 2                       | 0,2    |      |                    |
| 60                   | 1                  | 2                   | PBSS4160V    | 200/-                   | 0,5                      | 5  | 200  | 110                         | 250                    | 1                       | 0,1    | 250  | SOT416<br>(SC-75)  |
| 15                   | 0,5                | 1                   | PBSS2515E    | 150/-                   | 0,1                      | 2  | 300  | 205                         | 250                    | 0,5                     | 0,05   |      |                    |
| 40                   | 0,5                | 1                   | PBSS2540E    | 100/-                   | 0,1                      | 2  | 380  | 305                         | 250                    | 0,5                     | 0,05   |      |                    |
| 40                   | 2                  | 3                   | PBSS4240Y    | 300/-                   | 0,5                      | 2  | 120  | 70                          | 320                    | 2                       | 0,2    | 430  | SOT363<br>(SC-88)  |
| 100                  | 1                  | 3                   | PBSS8110Y    | 150/-                   | 0,25                     | 10   | 160  | 300                         | 200                    | 1                       | 0,1    |      |                    |
| 40                   | 1                  | 2                   | PBSS4140U    | 300/-                   | 0,5                      | 5  | 240  | 120                         | 500                    | 1                       | 0,1    | 350  | SOT323<br>(SC-70)  |
| 60                   | 1                  | 2                   | PBSS4160U    | 200/420                 | 0,5                      | 5  | 230  | 120                         | 280                    | 1                       | 0,1    |      |                    |
| 60                   | 1                  | 2                   | PBSS4160K    | 200/420                 | 0,5                      | 5  | 230  | 120                         | 280                    | 1                       | 0,1    | 350  | SOT346<br>(SC-59)  |
| 20                   | 1                  | 3                   | PBSS4120T    | 350/470                 | 0,1                      | 2  | -  | -                           | 250                    | 1                       | 0,05   | 480  | SOT23              |
| 20                   | 2                  | 5                   | PBSS4320T    | 220/-                   | 0,5                      | 2  | 80   | 45                          | 310                    | 3                       | 0,3    |      |                    |
| 30                   | 1                  | 3                   | PBSS4130T    | 300/450                 | 0,5                      | 2  | -  | -                           | 270                    | 1                       | 0,05   |      |                    |
| 30                   | 2                  | 3                   | PBSS4230T    | 300/450                 | 0,5                      | 2  | 120  | 70                          | 320                    | 2                       | 0,2    |      |                    |
| 40                   | 1                  | 2                   | PMMT491A     | 300/-                   | 0,5                      | 5  | 230  | 120                         | 500                    | 1                       | 0,1    |      |                    |
| 40                   | 1                  | 2                   | PBSS4140T    | 300/-                   | 0,5                      | 5  | 240  | 130                         | 500                    | 1                       | 0,1    |      |                    |
| 40                   | 2                  | 3                   | PBSS4240T    | 300/450                 | 0,5                      | 2  | 120  | 70                          | 320                    | 2                       | 0,2    |      |                    |
| 50                   | 2                  | 5                   | PBSS4350T    | 300/-                   | 0,5                      | 2  | 100  | 60                          | 260                    | 2                       | 0,2    |      |                    |
| 60                   | 1                  | 2                   | PBSS4160T    | 200/350                 | 0,5                      | 5  | 200  | 110                         | 250                    | 1                       | 0,1    |      |                    |
| 100                  | 1                  | 3                   | PBSS8110T    | 150/-                   | 0,25                     | 10   | 165  | -                           | 200                    | 1                       | 0,1    |      |                    |
| 20                   | 4                  | 15                  | PBSS301ND    | 300/-                   | 0,5                      | 2  | 50   | 30                          | 280                    | 4                       | 0,4    | 750  | SOT457<br>(SC-74)  |
| 40                   | 4                  | 15                  | PBSS302ND    | 300/-                   | 0,5                      | 2  | 55   | 35                          | 300                    | 4                       | 0,4    |      |                    |
| 50                   | 3                  | 5                   | PBSS4350D    | 200/-                   | 0,5                      | 2  | 110  | 65                          | 290                    | 2                       | 0,2    |      |                    |
| 60                   | 3                  | 6                   | PBSS303ND    | 345/-                   | 0,5                      | 2  | 65   | 40                          | 260                    | 3                       | 0,3    |      |                    |
| 80                   | 3                  | 6                   | PBSS304ND    | 240/-                   | 0,5                      | 2  | 67   | 40                          | 255                    | 3                       | 0,3    |      |                    |
| 100                  | 1                  | 3                   | PBSS8110D    | 150/-                   | 0,25                     | 10   | 160  | 70                          | 200                    | 1                       | 0,1    |      |                    |
| 100                  | 3                  | 4                   | PBSS305ND    | 170/-                   | 0,5                      | 2  | 72   | 45                          | 360                    | 4                       | 0,4    |      |                    |
| 12                   | 5,3                | 10,6                | PBSS301NX    | 300/-                   | 0,5                      | 2  | 27*  | 18                          | 200                    | 5,3                     | 0,265  | 1650 | SOT89<br>(SC-62)   |
| 20                   | 3                  | 5                   | PBSS4320X    | 220/-                   | 0,5                      | 2  | 85   | 45                          | 310                    | 3                       | 0,3    |      |                    |
| 20                   | 5                  | 10                  | PBSS4520X    | 300/-                   | 0,5                      | 2  | 32   | 35                          | 220                    | 5                       | 0,5    |      |                    |
| 20                   | 5,3                | 10,6                | PBSS302NX    | 300/570                 | 0,5                      | 2  | 27*  | 20                          | 200                    | 5,3                     | 0,265  |      |                    |
| 30                   | 3                  | 5                   | PBSS4330X    | 300/-                   | 0,5                      | 2  | 80   | 45                          | 300                    | 3                       | 0,3    |      |                    |
| 40                   | 5,1                | 10,2                | PBSS303NX    | 300/480                 | 0,5                      | 2  | 30*  | 20                          | 220                    | 5,1                     | 0,255  |      |                    |
| 40                   | 4                  | 10                  | PBSS4540X    | 300/-                   | 0,5                      | 2  | 40   | 21                          | 355                    | 5                       | 0,5    |      |                    |
| 50                   | 2                  | 5                   | PBSS4250X    | 300/-                   | 0,5                      | 2  | -  | <90                         | 320                    | 2                       | 0,2    |      |                    |
| 50                   | 3                  | 5                   | PBSS4350X    | 300/-                   | 0,5                      | 2  | 75   | 50                          | 370                    | 3                       | 0,3    |      |                    |
| 60                   | 4,7                | 9,4                 | PBSS304NX    | 300/-                   | 0,5                      | 2  | 37*  | 25                          | 245                    | 4,7                     | 0,235  |      |                    |
| 80                   | 4                  | 10                  | PBSS4480X    | 250/-                   | 0,5                      | 2  | 43*  | 25                          | 230                    | 4                       | 0,2    |      |                    |
| 80                   | 4,6                | 9,2                 | PBSS305NX    | 300/-                   | 0,5                      | 2  | 37*  | 25                          | 240                    | 4,6                     | 0,23   |      |                    |
| 100                  | 1                  | 3                   | PBSS8110X    | 150/-                   | 0,25                     | 10   | 165  | 40                          | 200                    | 1                       | 0,1    |      |                    |
| 100                  | 4,5                | 9                   | PBSS306NX    | 200/-                   | 0,5                      | 2  | 38*  | 27                          | 245                    | 4,5                     | 0,225  |      |                    |
| 12                   | 5,8                | 11,6                | PBSS301NZ    | 300/530                 | 0,5                      | 2  | 29*  | 18                          | 235                    | 5,8                     | 0,29   | 1700 | SOT223<br>(SC-73)  |
| 20                   | 5,8                | 10,2                | PBSS302NZ    | 300/570                 | 0,5                      | 2  | 30*  | 20                          | 250                    | 5,8                     | 0,29   |      |                    |
| 30                   | 5,5                | 11                  | PBSS303NZ    | 300/480                 | 0,5                      | 2  | 31*  | 275                         | 240                    | 5,5                     | 0,275  |      |                    |
| 40                   | 5                  | 10                  | PBSS4540Z    | 300/500                 | 0,5                      | 2  | 42   | 50                          | 355                    | 5                       | 0,5    |      |                    |
| 50                   | 3                  | 5                   | PBSS4350Z    | 200/-                   | 0,5                      | 2  | 110  | -                           | 290                    | 2                       | 0,2    |      |                    |
| 60                   | 5,2                | 10,4                | PBSS304NZ    | 300/520                 | 0,5                      | 2  | 39*  | 200                         | 280                    | 5,2                     | 0,26   |      |                    |
| 80                   | 5,1                | 10,2                | PBSS305NZ    | 300/470                 | 0,5                      | 2  | 38*  | 190                         | 270                    | 5,1                     | 0,255  |      |                    |
| 100                  | 1                  | 3                   | PBSS8110Z    | 150/-                   | 0,25                     | 1  | 160  | 73                          | 200                    | 1                       | 0,1    |      |                    |
| 100                  | 5,1                | 10,2                | PBSS306NZ    | 220/330                 | 0,5                      | 2  | 43*  | 215                         | 300                    | 5,1                     | 0,255  |      |                    |

\*I<sub>C</sub>/I<sub>B</sub> = 20 А

# MOSFET-ТРАНЗИСТОРЫ NXP SEMICONDUCTORS

В настоящее время на рынке аналоговой техники доминируют биполярные транзисторы (международный термин биполярного транзистора — bipolar junction transistor (BJT)). В другой важнейшей отрасли электроники — цифровой технике (логика, память, микроконтроллеры, цифровая связь и т. п.) биполярные транзисторы практически полностью вытеснены полевыми транзисторами.

Вся современная цифровая электроника построена, в основном, на полевых МОП (металл-оксид-полупроводник) транзисторах, как более экономичных, по сравнению с биполярными транзисторами. Иногда МОП-транзисторы называют МДП (металл-диэлектрик-полупроводник), международный термин таких транзисторов — MOSFET (metal-oxide-semiconductor field effect transistor). Существуют два типа MOSFET транзисторов *n*-канальные и *p*-канальные.

С момента изобретения первого транзистора быстрое развитие технологий позволило создать более совершенные и производительные и в тоже время экономичные и энергосберегающие элементы. В рамках интегральной технологии транзисторы изготавливаются на одном кристалле для изготовления микросхем памяти, микроконтроллеров, микросхем логики и др. Размеры современных MOSFET-транзисторов составляют 60–30 нм. При современной степени интеграции на одном чипе (размером 1–2 см<sup>2</sup>) размещаются несколько млрд транзисторов.

## MOSFET-ТРАНЗИСТОР

В настоящее время MOSFET-транзисторы являются неотъемлемой частью практически любого электронного устройства. На волне жесткой конкуренции на рынке электроники и существующих тре-

бований к высокой энергоэффективности оборудования разработчики стремятся уменьшить габариты, энергопотребление и себестоимость конечной продукции. Эти и другие факторы подталкивают производителей электронных компонентов постоянно совершенствовать и предлагать все новые и новые разработки и технологии.

Компания NXP, смогла занять одну из лидирующих позиций в области производства транзисторов, благодаря передовым технологиям и широкому портфолио MOSFET-транзисторов, насчитывающий более 900 наименований, включая высокочастотные, предоставляя реальный выбор разработчикам электроники подобрать для своих потребностей максимально удовлетворяющий их задачам элемент. Параметры транзисторов распределяется в диапазоне от 12–300 В, с током истока до 100 А и различными вариантами корпусов, рабочий диапазон

Таблица 1. MOSFET-транзисторы NXP

| P/N           | Корпус   | Тип канала | V <sub>D,S</sub> , В | R <sub>DS(on)</sub> (V <sub>GS</sub> = 10 В), мОм | R <sub>DS(on)</sub> (V <sub>GS</sub> = 4,5 В), мОм | I <sub>D</sub> , А | P <sub>tot макс</sub> , Вт |
|---------------|----------|------------|----------------------|---|--|--------------------|----------------------------|
| PMN28UN       | SC-74    | N          | 12                   |   | 34   | 5,7                | 1,75                       |
| B5H205        | SOT23    | P          | -12                  |   | 400  | -0,75              | 0,417                      |
| B5H207        | SC-74    | P          | -12                  |   | 120  | -1,52              | 0,417                      |
| PHK04P02T     | SO8      | P          | -16                  |   | 120  | -4,66              | 5                          |
| PMV31XN       | SOT23    | N          | 20                   |   | 37   | 5,9                | 2                          |
| PH3120L       | LFAK     | N          | 20                   | 2,65  | 3,7  | 100                | 62,5                       |
| PHKD6N02LT    | SO8      | N          | 20                   |   |  | 10,9               | 4,17                       |
| PHD38N02LT    | DPAK     | N          | 20                   |   |  | 44,7               | 57,6                       |
| PMV65XP       | SOT23    | P          | -20                  |   | 76   | -3,9               | 1,92                       |
| PMK50XP       | SO8      | P          | -20                  |   | 50   | -7,9               | 5                          |
| PHP78NQ03LT   | TO-220AB | N          | 25                   | 9   |  | 75                 | 93                         |
| PH2925U       | LFAK     | N          | 25                   |   | 3  | 100                | 62,5                       |
| PHU97NQ03LT   | IPAK     | N          | 25                   | 6,6   |  | 75                 | 107                        |
| PHD108NQ03LT  | DPAK     | N          | 25                   | 6   |  | 75                 | 187                        |
| PSMN1R2-25YL  | LFAK2    | N          | 25                   | 1,2   | 1,85   | 100                | 121                        |
| PHB66NQ03LT   | D2PAK    | N          | 25                   | 10,5  |  | 66                 | 93                         |
| PHN210T       | SO8      | N          | 30                   | 100   | 200  | 3,4                |                            |
| PSMN4R3-30PL  | TO-220AB | N          | 30                   | 4,3   | 06,2   | 100                | 103                        |
| SI2304D5      | SOT23    | N          | 30                   | 117   | 190  | 1,7                | 0,83                       |
| PH6030L       | LFAK     | N          | 30                   | 6   | 09,7   | 76,7               | 62,5                       |
| BUK9213-30A   | DPAK     | N          | 30                   | 11  | 14,4   | 75                 | 150                        |
| PMV40UN       | SOT23    | N          | 30                   |   | 47   | 4,9                | 1,9                        |
| BUK762R7-30B  | D2PAK    | N          | 30                   | 2,7   |  | 75                 | 300                        |
| BUK7E2R7-30B  | I2PAK    | N          | 30                   | 2,7   |  | 75                 | 300                        |
| PHU101NQ03LT  | IPAK     | N          | 30                   | 5,5   |  | 75                 | 166                        |
| PSMN1R3-30YL  | LFAK2    | N          | 30                   | 1,3   | 1,95   | 100                | 121                        |
| BUK7607-30B   | D2PAK    | N          | 30                   | 7   |  | 157                |                            |
| PMK35EP       | SO8      | P          | -30                  | 19  |  | -14,9              | 6,9                        |
| B5H203        | SOT23    | P          | -30                  |   | 900  | -0,47              | 0,417                      |
| PSMN004-36B   | D2PAK    | N          | 36                   | 4   |  | 75                 | 230                        |
| BUK7905-40ATE | TO-220-5 | N          | 40                   | 5   |  | 75                 | 272                        |
| PSMN4R0-40YS  | LFAK     | N          | 40                   | 4,2   |  | 100                | 106                        |
| BUK9609-40B   | D2PAK    | N          | 40                   | 7   |  | 75                 | 157                        |
| BUK9209-40B   | DPAK     | N          | 40                   | 7   |  | 75                 | 167                        |
| BUK752R3-40C  | TO-220AB | N          | 40                   | 2,3   |  | 100                | 333                        |
| BUK7E2R3-40C  | I2PAK    | N          | 40                   | 2,3   |  | 100                | 333                        |
| B5N20         | SOT23    | N          | 50                   | 15 000  |  | 0,173              | 0,83                       |
| B5S84         | SOT23    | P          | -50                  | 10 000  |  | -0,13              | 0,25                       |
| OC1005        | TO-220AB | N          | 55                   | 7,1   |  | 75                 |                            |
| BUK7107-55ATE | D2PAK    | N          | 55                   | 7   |  | 75                 | 272                        |
| PSMN005-55P   | TO-220AB | N          | 55                   | 5,8   |  | 75                 | 230                        |
| PH1955L       | LFAK     | N          | 55                   | 17,3  | 21   | 40                 | 75                         |
| BUK7237-55A   | DPAK     | N          | 55                   | 37  |  | 32,3               | 77                         |
| B5H111        | SOT23    | N          | 55                   |   | 4000   | 0,335              | 0,83                       |
| BUK9MGP-55PTS | SO20     | N          | 55                   | 22,6  | 27,9   | 10,7               | 3,9                        |
| BUK7E11-55B   | I2PAK    | N          | 55                   | 11  |  | 75                 | 157                        |

| P/N           | Корпус     | Тип канала | V <sub>D,S</sub> , В | R <sub>DS(on)</sub> (V <sub>GS</sub> = 10 В), мОм | R <sub>DS(on)</sub> (V <sub>GS</sub> = 4,5 В), мОм | I <sub>D</sub> , А | P <sub>tot макс</sub> , Вт |
|---------------|------------|------------|----------------------|---|--|--------------------|----------------------------|
| PHB32N06LT    | D2PAK      | N          | 60                   |   | 43   | 34                 | 97                         |
| PHP32N06LT    | TO-220AB   | N          | 60                   |   | 43   | 34                 | 97                         |
| B5H112        | SOT23      | N          | 60                   | 5000  | 5300   | 0,3                | 0,83                       |
| PMF3800SN     | SC-70      | N          | 60                   | 4500  | 5300   | 0,26               | 0,56                       |
| PSMN004-60B   | D2PAK      | N          | 60                   | 3,6   |  | 75                 | 230                        |
| PMR7805N      | SC-75      | N          | 60                   | 920   | 1400   | 0,55               | 0,53                       |
| 2N7002        | SOT23      | N          | 60                   | 5000  | 5300   | 0,3                | 0,83                       |
| PHD3055E      | DPAK       | N          | 60                   | 150   |  | 10,3               | 33                         |
| PMZ7605N      | SC-101     | N          | 60                   | 900   | 1600   | 1,22               | 2,5                        |
| B5H201        | SOT23      | P          | -60                  | 2500  | 3750   | -0,3               | 0,417                      |
| PHB160NQ08T   | D2PAK      | N          | 75                   | 5,6   |  | 75                 | 300                        |
| BUK9516-75B   | TO-220AB   | N          | 75                   | 14  |  | 67                 | 157                        |
| BUK7909-75ATE | TO-220-5   | N          | 75                   | 9   |  | 75                 | 272                        |
| PH3075L       | LFAK       | N          | 75                   | 28  | 34   | 30                 | 75                         |
| BUK7E4R3-75C  | I2PAK      | N          | 75                   | 4,3   |  | 100                | 333                        |
| BUK9217-75B   | DPAK       | N          | 75                   | 15  |  | 64                 | 167                        |
| PSMN012-80PS  | TO-220AB   | N          | 80                   | 11  |  | 74                 | 148                        |
| PSMN013-80YS  | LFAK       | N          | 80                   | 12,9  |  | 60                 | 106                        |
| BSP110        | SC-73      | N          | 100                  |   |  | 0,52               | 6,25                       |
| BUK7510-100B  | TO-220AB   | N          | 100                  | 10  |  | 75                 | 300                        |
| BUK9Y53-100B  | LFAK       | N          | 100                  | 49  |  | 23                 | 75                         |
| PHKD3NQ10T    | SO8        | N          | 100                  | 90  |  | 3                  | 2                          |
| B5H114        | SOT23      | N          | 100                  | 500   |  | 0,85               | 0,83                       |
| PSMN015-100B  | D2PAK      | N          | 100                  | 15  |  | 75                 | 300                        |
| PSMN025-100D  | DPAK       | N          | 100                  | 25  |  | 47                 | 150                        |
| PSMN7R0-100ES | I2PAK      | N          | 100                  | 6,8   |  | 100                | 269                        |
| PHP45NQ11T    | TO-220AB   | N          | 105                  | 25  |  | 47                 | 150                        |
| PSMN015-110P  | TO-220AB   | N          | 110                  | 15  |  | 75                 | 300                        |
| PHP27NQ11T    | TO-220AB   | N          | 110                  | 50  |  | 27,6               | 107                        |
| PSMN063-150D  | DPAK       | N          | 150                  | 63  |  | 29                 | 150                        |
| PHP28NQ15T    | TO-220AB   | N          | 150                  | 65  |  | 28,5               | 150                        |
| PHB45NQ15T    | D2PAK      | N          | 150                  | 42  |  | 45,1               | 230                        |
| PHK5NQ15T     | SO8        | N          | 150                  | 75  |  | 5                  | 6,25                       |
| PSMN059-150Y  | LFAK       | N          | 150                  | 59  |  | 43                 | 113                        |
| PHP20NQ20T    | TO-220AB   | N          | 200                  | 130   |  | 20                 | 150                        |
| PSMN102-200Y  | LFAK       | N          | 200                  | 102   |  | 21,5               | 113                        |
| B5S87         | MPT3; UPAK | N          | 200                  | 3000  |  | 0,4                | 1                          |
| PSMN165-200K  | SO8        | N          | 200                  | 165   |  | 2,9                | 3,5                        |
| PML2605N      | HVSON8     | N          | 200                  | 294   |  | 8,8                | 50                         |
| PSMN130-200D  | DPAK       | N          | 200                  | 130   |  | 20                 | 150                        |
| PSMN057-200P  | TO-220AB   | N          | 200                  | 57  |  | 39                 | 250                        |
| BSP220        | SC-73      | P          | -200                 | 12 000  |  | -0,225             | 1,5                        |
| PML3405N      | HVSON8     | N          | 220                  | 386   |  | 07,3               | 50                         |
| BSP89         | SC-73      | N          | 240                  | 5000  | 7500   | 0,375              | 1,5                        |
| B5S192        | MPT3; UPAK | P          | -240                 | 12 000  |  | -0,2               | 1                          |
| PHC2300       | SO8        | N/P        | 300                  | 6000  |  | -0,235             | 1,6                        |

температур транзисторов  $-55...+175\text{ }^{\circ}\text{C}$ . Краткий перечень и характеристики MOSFET-транзисторов NXP сведены в таблицу 1.

## ТЕХНОЛОГИЯ TrenchMOS

Мощные MOSFET-транзисторы традиционно выпускались по планарной технологии. В конце 1990-х годов компания NXP вывела на рынок транзисторы, изготовленные по новой технологии, так называемой траншейной (TrenchMOS) обеспечивающей чрезвычайно низкое сопротивление открытого канала исток–сток. Развитие этой технологии позволило увеличить компактность кристалла и снизить сопротивление открытого канала RDS(ON) (потери в канале) в несколько раз, а так же снизить стоимость таких транзисторов.

Противоречивые требования к MOSFET-транзисторам, с одной стороны минимальное сопротивление открытого канала  $R_{DS(ON)}$ , с другой стороны минимальный заряд затвора QG, прежде всего, приводили разработчиков электроники к необходимости выбора различных марок транзисторов для работы в тех или иных каскадах. К тому же возникала потребность выбора оптимального соотношения занимаемой площади и рассеиваемой мощности транзисторов. По мере совершенствования технологий производства MOSFET-транзисторов производители предлагали различные варианты построения корпусов.

Эффективность MOSFET-транзисторов основана не только на технологии получения кристалла, но и на корпусе в который данный кристалл установлен. Наиболее эффективными корпусами для MOSFET-транзисторов признаны корпуса, предназначенные для SMD (поверхностного) монтажа, которые обеспечивают максимальную удельную мощность рассеяния. Так наряду со стандартными корпусами TO-220, DPAK, D<sup>2</sup>PAK и SO, компания NXP выпустила на рынок транзисторы MOSFET изготовленные по технологии шестого поколения Trench 6, в корпусе LFPAK (Loss Free Package). Комбинация технологии шестого поколения Trench с высокоэффективной упаковкой LFPAK увеличивают надежность транзисторов и расширяют границы применения. Транзисторы обладают малым сопротивлением до 1 мОм и высокой рабочей температурой.

Преимущества транзисторов NXP в корпусе LFPAK очевидны, проведем их краткий анализ, для сравнения возьмем самые популярные корпуса D<sup>2</sup>PAK, DPAK, SO8. На рис. 1 показаны габаритные соотношения этих корпусов, из которого очевидно преиму-

щество корпуса LFPAK. Расчет площади занимаемой D<sup>2</sup>PAK, DPAK и LFPAK показывает, что экономия места, при применении транзисторов в корпусе LFPAK, достигает 75 и 46% соответственно.

При примерно соизмеримой площади занимаемой MOSFET-транзисторами в корпусе SO8, корпус LFPAK имеет небольшое преимущество по высоте. Конструкция корпуса LFPAK, толщиной всего 1,1 мм, позволяет добиться оптимальных показателей по отводу тепла, обеспечивая дополнительный путь отвода тепла с верхней части корпуса, что позволяет при необходимости более эффективно использовать радиатор. Кроме того, корпус LFPAK имеет на 50% меньшую паразитную индуктивность, что делает транзисторы в этом корпусе идеальным для применения в мощных высокочастотных схемах.

На рис. 2 показаны результаты терфографии MOSFET-транзисторов в корпусах SO8, DPAK и LFPAK. Данные измерения были проведены при прочих равных условиях, рассеиваемая мощность на поверхности корпусов примерно 1 Вт. Исключительные термические свойства корпуса LFPAK наилучшим образом влияют на производительность MOSFET-транзисторов, и в ряде случаев это позволяет применить разработчикам два транзистора в корпусе LFPAK вместо трех транзисторов в корпусе SO8.

Расширяя портфолио MOSFET-транзисторов, компания NXP предлагает ряд транзисторов для автомобильных применений, с этой целью было разработано семейство MOSFET-транзисторов TrenchPLUS с дополнительными функциями защиты и измерения температуры. Транзисторы семейства TrenchPLUS были разработаны и квалифицированы к соответствующему стандарту AEC для использования в особо важных системах автомобиля, например: тормозные системы (ABS), системы управления (ЭМУР).

На рис. 3 показана функциональная блок-схема устройства транзисторов семейства TrenchPLUS. Наличие встроенного датчика тока в силовом MOSFET-транзисторе позволяет эффективно защищать выходные цепи устройств от перегрузок по току и коротких замыканий. При таком построении транзистора повышается надежность прибора и снижается его стоимость, так как отпадает необходимость в использовании навесных элементов.

## ОБЛАСТЬ ПРИМЕНЕНИЯ MOSFET-ТРАНЗИСТОРОВ

MOSFET-транзистор универсальный прибор и область его применения практически не ограничены:

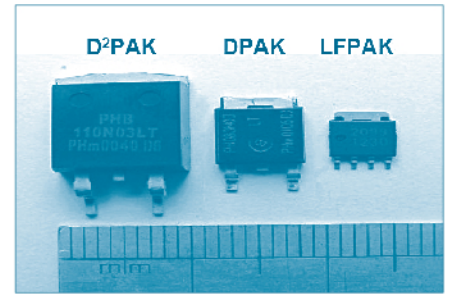


Рис. 1. Сравнение размеров корпусов D<sup>2</sup>PAK, DPAK и LFPAK

- промышленная автоматика — DC/DC-преобразователи, понижающие/повышающие конвертеры, блоки управления электродвигателями, блоки управления подачей топлива для автозаправочных станций, системы безопасности железнодорожного транспорта, электронные балласты для люминесцентных и компактных люминесцентных ламп, зарядные устройства и блоки питания;
- бытовая электроника — мобильные и бытовые телефоны, компьютеры, ноутбуки и блоки питания к ним, MP3-плееры и мобильные плееры, цифровые видеокамеры, схемы защиты Li-ion батарей, set-top-box, схемы управления вращением кулеров, кондиционеры, модули управления лазерными приводами, блоки управления холодильниками, стиральными машинами, пылесосами;
- автомобильная электроника — генераторы и стартеры переменного тока, электронные модули рулевого управления, электронные насосы топлива и воды, турбокомпрессоры, модули управления стеклоподъемниками, стеклоочистителями, зеркалами, системы ABS, ESP, EBD, автоматизированные коробки передач, модули DC/DC-преобразователей, регуляторы положения сидений, системы отопления, вентиляции, кондиционирования, система активной подвески.

На основании рассмотренных преимуществ MOSFET-транзисторов производства компании NXP Semiconductors можно сделать выводы, что, в сравнении с продукцией других производителей, они наиболее эффективны для использования в различных силовых системах электроники, и наиболее пригодны для использования в особо важных системах безопасности автомобильного и железнодорожного транспорта.

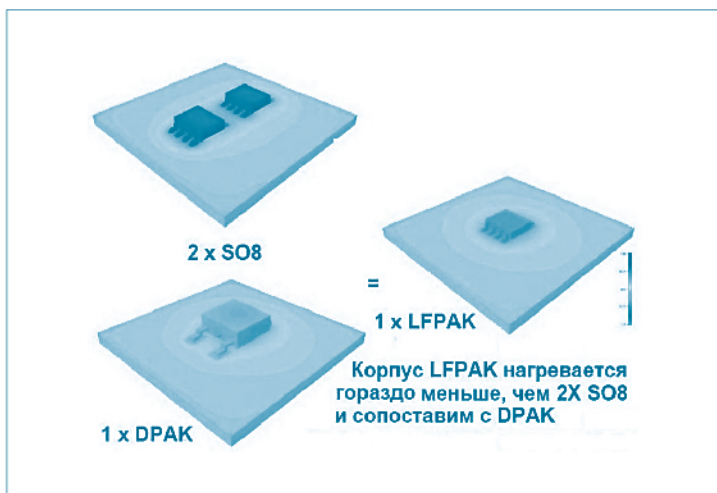


Рис. 2. Результаты терфографии SO8, DPAK, LFPAK

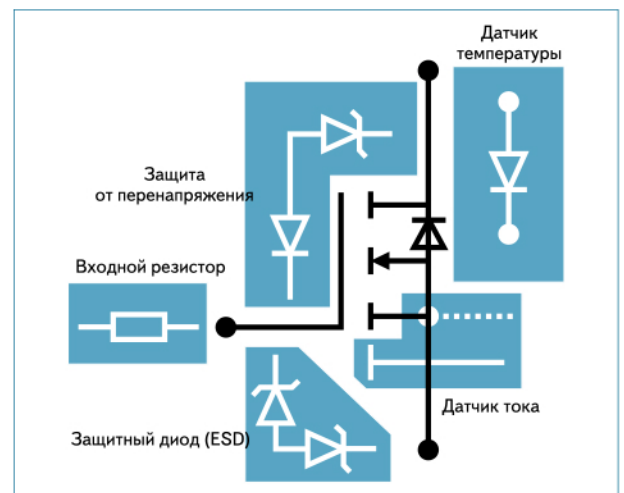


Рис. 3. Устройство транзисторов семейства TrenchPLUS

# RET-ТРАНЗИСТОРЫ NXP

## RET-ТРАНЗИСТОР

В настоящее время на рынке аналоговой техники доминируют биполярные транзисторы (международный термин биполярного транзистора — bipolar junction transistor (BJT)). Технология изготовления биполярных транзисторов может быть различной — сплавление, диффузия и т.д. это в значительной мере определяет характеристики прибора. По составам основного полупроводникового материала (иногда применяются комбинированные наименования, частично описывающие материалы конкретной разновидности, например «кремний на сапфире») различают германиевые, кремниевые и арсенид-галлиевые транзисторы.

Что представляет собой RET-транзистор?

Транзисторы со встроенными резисторами (Resistor-equipped transistors (RETs)) — биполярные транзисторы со встроенными в единый корпус резисторами, иногда их так же называют цифровыми транзисторами (digital transistors) (рис. 1).

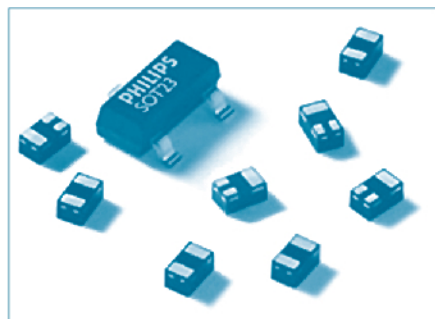
## ЭКОНОМИЧЕСКИЕ АСПЕКТЫ ПРИМЕНЕНИЯ RET ТРАНЗИСТОРОВ

Один из вариантов увеличения экономической эффективности предприятия по производству электроники, является снижение затрат на комплектующие. Затраты на комплектующие включают в себя:

1. Цена комплектующих;
2. Доставка комплектующих до предприятия (транспортные расходы);
3. Изготовление плат (число отверстий, площадь платы, трассировка и др.);
4. Подготовка компонентов к монтажу (установка на автомат, для выводных формовка и обрезка, выход бракованных комплектующих);
5. Установка и пайка, очистка и пр. (затраты на электроэнергию, флюсы, припой, количество точек пайки, временные затраты и др.);
6. Тестирование (затраты на отбраковку).

Казалось бы транзистор и пара резисторов, в чем экономия?

Но давайте рассмотрим, какая экономия получается в итоге.



Сравнивая стоимость отдельных элементов транзистора плюс два резистора, и RET-транзистор получим примерно одинаковую стоимость, которая на рынке электронных компонентов не превышает 40 коп. Такое сравнение не корректно, так как здесь не учтены затраты на доставку, работы по их установке и пайке на плату. При раздельном заказе элементов необходимо оплачивать доставку 3 коробок, при заказе RET-транзистора 1 коробку. Экономия на изготовление печатной платы, меньше площадь

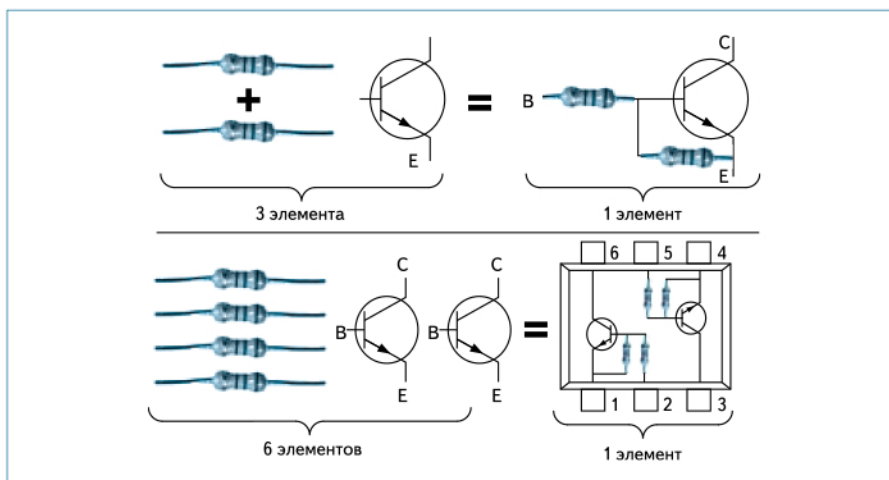


Рис. 1. Структура RET-транзисторов

платы, числа отверстий, экономия времени на изготовление платы (требуется меньшее число шагов и времени укладки элементов на плату, меньшее количество точек пайки), меньший расход припоя. К тому же RET-транзисторы, как правило, изготавливаются в удобных SMD-корпусах SOT23, SC-75, SC-101, SOT323 и др., что не требует дополнительной подготовки печатной платы и изготовления отверстий. Одним из важных факторов является надежность RET-транзисторов, так как меньше количество элементов уменьшает количество их выхода из строя, параметры элементов подбираются при производстве транзисторов, что дает меньший разброс параметров и больший коэффициент выхода бракованных элементов. Все эти факторы сокращают стоимость электронного устройства до 80%.

## NXP SEMICONDUCTORS НА РЫНКЕ ЭЛЕКТРОННЫХ КОМПОНЕНТОВ

RET-транзисторы, наряду с диодами и транзисторами общего применения, являются одними из самых востребованных элементов в современной электронике. В условиях жесткой конкуренции и существующих требований к высокой энергоэффективности оборудования разработчики стремятся уменьшить габариты, энергопотребление и себестоимость конечной продукции. Очевидные преимущества применения RET-транзисторов подтолкнули производителей микроэлектроники уделить им особое внимание. В настоящее время многие компании по производству микроэлектроники выпускают RET-транзисторы, что может являться дополнительным стимулирующим фактором для применения RET-транзисторов, так как можно подобрать аналоги от других производителей.

Компания NXP, смогла занять одну из лидирующих позиций в области производства RET-транзисторов, благодаря высокому качеству и широкому портфолио транзисторов. Номенклатура RET-транзисторов насчитывает более 32 вариантов транзисторов и комбинаций резисторов, с общим числом наименований (около 300), большой выбор корпусов, что позволяет разработчикам электроники подобрать для своих потребностей максимально удовлетворяющий их задачам элемент. Особый интерес

представляют RET-транзисторы с низким напряжением насыщения  $V_{CEsat}$  и высоким выходным током до 600 мА серии PBRN (NPN), PBRP (PNP). Краткий перечень и характеристики RET-транзисторов NXP приведены в таблице.

## ОБЛАСТЬ ПРИМЕНЕНИЯ RET-ТРАНЗИСТОРОВ

RET-транзистор универсальный прибор и области его применения практически не ограничены:

- промышленная автоматика — ключевые схемы, блоки питания, DC/DC-преобразователи, понижающие/повышающие конвертеры, блоки управления электродвигателями, блоки управления подачей топлива для автозаправочных станций, системы безопасности железнодорожного транспорта, электронные балласты для люминесцентных и компактных люминесцентных ламп, зарядные устройства;
- бытовая и портативная электроника — мобильные и бытовые телефоны, ноутбуки и блоки питания к ним, MP3-плееры и мобильные плееры, цифровые видеокамеры и фотоаппараты, схемы защиты Li-ion батарей, set-top-box (цифровые приемники ТВ-сигнала), схемы управления вращением кулеров, кондиционеры, модули управления лазерными приводами, блоки управления холодильниками, стиральными машинами, пылесосами;
- автомобильная электроника — бортовые компьютеры, регуляторы напряжения, электронные модули рулевого управления, электронные насосы топлива и воды, турбокомпрессоры, модули управления стеклоподъемниками, стеклоочистителями, зеркалами, систем ABS, ESP, EBD, автоматизированных коробок передач, модули DC/DC-преобразователей, регуляторы положения сидений, системы отопления, вентиляции, кондиционирования, системы активной подвески.

## ВЫВОДЫ

На основании рассмотренных преимуществ RET-транзисторов производства компании NXP Semiconductors можно сделать выводы, что, их легко и с максимальной эффективностью можно применять в электронике, где ранее применялись транзисторы серий BC800 и другие.

Таблица. RET-транзисторов NXP

| Тип       | Корпус | Категория       | Дополнительный | $I_o$ макс, мА | Входной резистор, кОм | Полярность | $P_{tot}$ макс, мВт | Соотношение сопротивления | $V_{ce0}$ макс, В | $h_{FE}$ max | $h_{FE}$ min |
|-----------|--------|-----------------|----------------|----------------|-----------------------|------------|---------------------|---------------------------|-------------------|--------------|--------------|
| PBRN113ET | SOT23  | BISS            | PBRP113ET      | 600            | 1                     | NPN        | 570                 | 1                         | 40                | –            | 250          |
| PBRN123ET | SOT23  | BISS            | PBRP123ET      | 600            | 2,2                   | NPN        | 570                 | 1                         | 40                | –            | 350          |
| PBRP113ZT | SOT23  | BISS            | PBRN113ZT      | 600            | 1                     | PNP        | 570                 | 10                        | 40                | –            | 190          |
| PBRP123YT | SOT23  | BISS            | PBRN123YT      | 600            | 2,2                   | PNP        | 570                 | 4,55                      | 40                | –            | 270          |
| PDTA114EE | SC-75  | одинарный       | PDTC114EE      | 100            | 10                    | PNP        | 150                 | 1                         | 50                | >30          | 30           |
| PDTA114EM | SC-101 | одинарный       | –              | 100            | 10                    | PNP        | 150                 | 1                         | 50                | >30          | 30           |
| PDTA114ET | SOT23  | одинарный       | PDTC114ET      | 100            | 10                    | PNP        | 250                 | 1                         | 50                | >30          | 30           |
| PDTA114EU | SOT323 | одинарный       | PDTC114EU      | 100            | 10                    | PNP        | 200                 | 1                         | 50                | >30          | 30           |
| PDTA123EE | SC-75  | одинарный       | –              | 100            | 2,2                   | PNP        | 250                 | 2,2                       | 50                | >30          | 30           |
| PDTA123ET | SOT23  | одинарный       | PDTC123ET      | 100            | 2,2                   | PNP        | 250                 | 2,2                       | 50                | >30          | 30           |
| PDTA123EU | SOT323 | одинарный       | –              | 100            | 2,2                   | PNP        | 250                 | 2,2                       | 50                | >30          | 30           |
| PDTA123JM | SC-101 | одинарный       | –              | 100            | 2,2                   | PNP        | 150                 | 21                        | 50                | >100         | 100          |
| PDTA124EE | SC-75  | одинарный       | PDTC124EE      | 100            | 22                    | PNP        | 150                 | 1                         | 50                | >56          | 56           |
| PDTA124ET | SOT23  | одинарный       | PDTC124ET      | 100            | 22                    | PNP        | 250                 | 1                         | 50                | >56          | 56           |
| PDTA124EU | SOT323 | одинарный       | PDTC124EU      | 100            | 22                    | PNP        | 200                 | 1                         | 50                | >56          | 56           |
| PDTA143EE | SC-75  | одинарный       | PDTC143EE      | 100            | 4,7                   | PNP        | 150                 | 1                         | 50                | >20          | 20           |
| PDTA143EM | SC-101 | одинарный       | –              | 100            | 4,7                   | PNP        | 150                 | 1                         | 50                | >20          | 20           |
| PDTA143ET | SOT23  | одинарный       | PDTC143ET      | 100            | 4,7                   | PNP        | 250                 | 1                         | 50                | >20          | 20           |
| PDTA143EU | SOT323 | одинарный       | PDTC143EU      | 100            | 4,7                   | PNP        | 200                 | 1                         | 50                | >20          | 20           |
| PDTA144EE | SC-75  | одинарный       | PDTC144EE      | 100            | 47                    | PNP        | 150                 | 1                         | 50                | >68          | 68           |
| PDTA144EM | SC-101 | одинарный       | –              | 100            | 47                    | PNP        | 150                 | 1                         | 50                | >68          | 68           |
| PDTA144ET | SOT23  | одинарный       | PDTC144ET      | 100            | 47                    | PNP        | 250                 | 1                         | 50                | >68          | 68           |
| PDTA144EU | SOT323 | одинарный       | PDTC144EU      | 100            | 47                    | PNP        | 200                 | 1                         | 50                | >68          | 68           |
| PDTB113ET | SOT23  | одинарный       | PDTD113ET      | 500            | 1                     | PNP        | 250                 | 1                         | 50                | –            | 33           |
| PDTC114EE | SC-75  | одинарный       | PDTA114EE      | 100            | 10                    | NPN        | 150                 | 1                         | 50                | >30          | 30           |
| PDTC114EM | SC-101 | одинарный       | –              | 100            | 10                    | NPN        | 150                 | 1                         | 50                | >30          | 30           |
| PDTC114ET | SOT23  | одинарный       | PDTA114ET      | 100            | 10                    | NPN        | 250                 | 1                         | 50                | >30          | 30           |
| PDTC114EU | SOT323 | одинарный       | PDTA114EU      | 100            | 10                    | NPN        | 200                 | 1                         | 50                | >30          | 30           |
| PDTC115EE | SC-75  | одинарный       | –              | 20             | 100                   | NPN        | 150                 | 1                         | 50                | >80          | 80           |
| PDTC115EM | SC-101 | одинарный       | –              | 20             | 100                   | NPN        | 150                 | 1                         | 50                | >80          | 80           |
| PDTC115ET | SOT23  | одинарный       | –              | 20             | 100                   | NPN        | 250                 | 1                         | 50                | >80          | 80           |
| PDTC115EU | SOT323 | одинарный       | –              | 20             | 100                   | NPN        | 200                 | 1                         | 50                | >80          | 80           |
| PDTC123EE | SC-75  | одинарный       | –              | 100            | 2,2                   | NPN        | 250                 | 1                         | 50                | >30          | 30           |
| PDTC123EM | SC-101 | одинарный       | –              | 100            | 2,2                   | NPN        | 250                 | 1                         | 50                | >30          | 30           |
| PDTC123ET | SOT23  | одинарный       | PDTA123ET      | 100            | 2,2                   | NPN        | 250                 | 1                         | 50                | >30          | 30           |
| PDTC123EU | SOT323 | одинарный       | –              | 100            | 2,2                   | NPN        | 250                 | 1                         | 50                | >30          | 30           |
| PDTC124EE | SC-75  | одинарный       | PDTA124EE      | 100            | 22                    | NPN        | 150                 | 1                         | 50                | >56          | 56           |
| PDTC124EM | SC-101 | одинарный       | –              | 100            | 22                    | NPN        | 150                 | 1                         | 50                | >56          | 56           |
| PDTC124ET | SOT23  | одинарный       | PDTA124ET      | 100            | 22                    | NPN        | 250                 | 1                         | 50                | >56          | 56           |
| PDTC124EU | SOT323 | одинарный       | PDTA124EU      | 100            | 22                    | NPN        | 200                 | 1                         | 50                | >56          | 56           |
| PDTC143EE | SC-75  | одинарный       | PDTA143EE      | 100            | 4,7                   | NPN        | 150                 | 1                         | 50                | >20          | 20           |
| PDTC143EM | SC-101 | одинарный       | –              | 20             | 100                   | NPN        | 150                 | 1                         | 50                | >80          | 80           |
| PDTC143ET | SOT23  | одинарный       | PDTA143ET      | 100            | 4,7                   | NPN        | 250                 | 1                         | 50                | >20          | 20           |
| PDTC143EU | SOT323 | одинарный       | PDTA143EU      | 100            | 4,7                   | NPN        | 200                 | 1                         | 50                | >20          | 20           |
| PDTC143XM | SC-101 | одинарный       | –              | 100            | 4,7                   | NPN        | 250                 | 2,1                       | 50                | >50          | 50           |
| PDTC143XT | SOT23  | одинарный       | PDTA143XT      | 100            | 4,7                   | NPN        | 250                 | 2,1                       | 50                | >50          | 50           |
| PDTC143XU | SOT323 | одинарный       | –              | 100            | 4,7                   | NPN        | 250                 | 2,1                       | 50                | >50          | 50           |
| PDTC144EE | SC-75  | одинарный       | PDTA144EE      | 100            | 47                    | NPN        | 150                 | 1                         | 50                | >68          | 68           |
| PDTC144EM | SC-101 | одинарный       | –              | 100            | 47                    | NPN        | 150                 | 1                         | 50                | >68          | 68           |
| PDTC144ET | SOT23  | одинарный       | PDTA144ET      | 100            | 47                    | NPN        | 250                 | 1                         | 50                | >68          | 68           |
| PDTC144EU | SOT323 | одинарный       | PDTA144EU      | 100            | 47                    | NPN        | 200                 | 1                         | 50                | >68          | 68           |
| PDTD113ET | SOT23  | одинарный       | PDTB113ET      | 500            | 1                     | NPN        | 250                 | 1                         | 50                | –            | 35           |
| PDTD123ET | SOT23  | одинарный       | PDTB123ET      | 500            | 2,2                   | NPN        | 250                 | 1                         | 50                | –            | 40           |
| PEMB1     | SOT666 | сдвоенный       | –              | 100            | 22                    | 2×PNP      | 200                 | 1                         | 50                | >56          | 56           |
| PEMD10    | SOT666 | комплиментарный | –              | 100            | 2,2                   | NPN/PNP    | 200                 | 21                        | 50                | >100         | 100          |
| PEMD3     | SOT666 | комплиментарный | –              | 100            | 10                    | NPN/PNP    | 200                 | 1                         | 50                | >30          | 30           |
| PEMH1     | SOT666 | сдвоенный       | –              | 100            | 22                    | 2×NPN      | 200                 | 1                         | 50                | >60          | 60           |
| PIMC31    | SC-74  | комплиментарный | –              | 500            | 1                     | NPN/PNP    | 420                 | 10                        | 50                | –            | 70           |
| PIMD2     | SC-74  | комплиментарный | –              | 100            | 22                    | NPN/PNP    | 200                 | 1                         | 50                | >56          | 56           |
| PIMH9     | SC-74  | сдвоенный       | –              | 100            | 10                    | 2×NPN      | 600                 | 4,7                       | 50                | >100         | 100          |
| PIMN31    | SC-74  | комплиментарный | –              | 500            | 1                     | NPN/PNP    | 420                 | 10                        | 50                | –            | 70           |
| PUMB1     | SC-88  | сдвоенный       | –              | 100            | 22                    | 2×PNP      | 200                 | 1                         | 50                | >56          | 56           |
| PUMD10    | SC-88  | комплиментарный | –              | 100            | 2,2                   | NPN/PNP    | 200                 | 21                        | 50                | –            | 100          |
| PUMH1     | SC-88  | сдвоенный       | –              | 100            | 22                    | 2×NPN      | 200                 | 1                         | 50                | –            | 60           |
| PUML1     | SC-88  | сдвоенный       | –              | 200/100        | 10                    | GP/NPN     | 200                 | 1                         | 50                | –            | 90           |

# DIGI. СОВРЕМЕННЫЕ СЕТЕВЫЕ ТЕХНОЛОГИИ ПЕРЕДАЧИ И КОНТРОЛЯ ДАННЫХ

Компания Digi International, основанная более 20 лет назад, на сегодняшний день является общепризнанным мировым лидером на рынке модулей и законченных боксовых решений для организации межсетевого взаимодействия.

В 2007 году компания Digi еще более укрепила свои позиции, объединившись с производителем модулей и модемов ZigBee фирмой MaxStream, которые сейчас выпускаются под единым брендом «Digi!».

В настоящее время Digi уверенно лидирует на мировом рынке беспроводных технологий, предлагая современные высокопроизводительные многофункциональные устройства и модули стандарта 802.3, 802.11i и 802.15.4.

Выбирая продукцию фирмы DIGI для своих дизайнов, Вы обеспечиваете легкость и быстроту интеграции сейчас, современность и многофункциональность Ваших изделий — в будущем!

Встраиваемые решения Digi представлены семействами Digi Connect и Digi ConnectCore, состав и основные особенности которых рассмотрены ниже и представлены в таблицах 1 и 2, соответственно.

## СЕМЕЙСТВО МОДУЛЕЙ DIGI Connect

Основные особенности модулей семейства приведены в таблице 1.

Семейство представлено модулями:

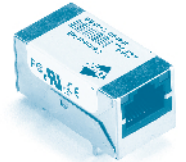
- Connect ME;
- Connect Wi-ME;
- Connect ME 9210;
- Connect Wi-Wave.

Таблица 1. Семейство Connect

|                               | Connect ME          | Connect Wi-ME       | Connect ME 9210        | Connect Wi-Wave  |
|-------------------------------|---------------------|---------------------|------------------------|------------------|
| <b>Процессор и память</b>     |                     |                     |                        |                  |
| Процессор                     | Digi NET+ARM NS7520 | Digi NET+ARM NS7520 | Digi NET+ARM NS9210    |                  |
| ARM ядро                      | ARM7TDMI            | ARM7TDMI            | ARM926EJ-S             |                  |
| Скорость, МГц                 | 55                  | 55                  | 75                     |                  |
| Память Flash/RAM              | 2/4 Мбайт Flash     | 4 Мбайт Flash       | 2/4/8 Мбайт Flash      |                  |
|                               | 8 Мбайт RAM         | 8 Мбайт RAM         | 8/16 Мбайт RAM         |                  |
| Ток потребления при 3,3 В, мА | 250 typ             | 400 max             | 346                    | 430              |
| Питание через Ethernet (PoE)  | Mid span            |                     | Mid and end-span       | Mid and end-span |
| Температурный диапазон, °C    | -40...+85           | -30...+75           | -40...+85              | -40...+85        |
| <b>Форм фактор</b>            |                     |                     |                        |                  |
| Размер, мм                    | 37x19               | 49x19               | 37x19                  | 51x30            |
| Число выводов                 | 20 pin connector    | 20 pin connector    | 20 pin connector       | 20 pin connector |
| Совместимость                 | Connect Wi-ME       | Connect ME          | Connect ME, Wi-ME      |                  |
| <b>Сетевой стандарт</b>       |                     |                     |                        |                  |
| 10/100 Ethernet               | RJ45                |                     | RJ45                   |                  |
| Встроенный WLAN-интерфейс     |                     | 802.11b             |                        | 802.11b/g        |
| <b>Интерфейсы</b>             |                     |                     |                        |                  |
| UART                          | 1                   | 1                   | 1                      |                  |
| GPIO                          | до 10+1 внеш. IRQ   | до 10+1 внеш. IRQ   | до 10+3 внеш. IRQ      |                  |
| USB full/high speed           |                     |                     |                        | •                |
| Flexible Interface module     |                     |                     | UART, USB, CAN, 1-wire |                  |
| SPI                           |                     |                     | •                      |                  |
| <b>Поддерживаемые ОС</b>      |                     |                     |                        |                  |
| NET+OS Version                | •                   | •                   | •                      |                  |
| Linux (Kernel supported)      |                     |                     | •                      | •                |
| Windows                       |                     |                     |                        | •                |
| <b>Программные среды</b>      |                     |                     |                        |                  |
| Microcross GNU X-Tools        | •                   | •                   | •                      | •                |
| Digi ESP IDE                  | •                   | •                   | •                      | •                |
| <b>Отладочные комплекты</b>   |                     |                     |                        |                  |
| Plug and Play                 | DC-ME-KT            | DC-WME-KT           | DC-ME-9210-KT          |                  |
| NET+OS                        | DC-ME-NET           | DC-WME-NET          | DC-ME-9210-NET         |                  |
| Windows                       |                     |                     |                        | DC-WWW-EKIT      |
| Linux                         |                     |                     | DC-ME-9210-LX          | DC-WWW-EKIT      |

## Connect ME

- ARM7TDMI® Core 55 МГц.
- 8 Мбайт SDRAM.
- 2/4 Мбайт Flash.
- 1 UART.
- Интерфейс 802.3.
- 10/100 Mbit Base-T.
- GPIO: до 10 GPIOs + 1 external IRQ.
- Скорость передачи по последовательному каналу: 230 кбит/с.
- Компактный RJ-45 форм фактор.
- Функциональность Plug-and-Play.
- Поддержка ОС NET+OS.
- Совместимость с Connect Wi-ME.



## Connect ME

| Наименование | Прошивка  | Flash | RAM | PoE | Описание                     |
|--------------|-----------|-------|-----|-----|------------------------------|
| DC-ME-01T-JT | NET+OS    | 2     | 8   | -   | + JTAG-коннектор             |
| DC-ME-04T-JT | NET+OS    | 4     | 8   | -   | + JTAG-коннектор             |
| DC-ME-01T-S  | Plug&Play | 2     | 8   | -   | Не требует программирования  |
| DC-ME4-01T-S | Plug&Play | 4     | 8   | -   | Не требует программирования  |
| DC-ME-01T-C  | NET+OS    | 2     | 8   | -   | Для программирования, NET+OS |
| DC-ME4-01T-C | NET+OS    | 4     | 8   | -   | Для программирования, NET+OS |
| DC-ME-01T-PS | Plug&Play | 2     | 8   | +   | Не требует программирования  |
| DC-ME-01T-PC | NET+OS    | 2     | 8   | +   | Для программирования, NET+OS |

## Connect Wi-ME

- ARM7TDMI® Core 55 МГц.
- 8 Мбайт SDRAM.
- 4 Мбайт Flash.
- 1 UART.
- WLAN: IEEE802.11b, 2,4 ГГц, до 11 Mbps.
- Протоколы защиты данных WEP, WPA, WPA2, 802.11i.
- GPIO: до 10 GPIOs + 1 external IRQ.
- Скорость передачи по последовательному каналу: 230 кбит/с.
- Компактный RJ-45 форм фактор.
- Функциональность Plug-and-Play.
- Поддержка ОС NET+OS.
- Совместимость с Connect ME.



## Connect Wi-ME

| Наименование  | Прошивка  | Flash | RAM | PoE | Описание                     |
|---------------|-----------|-------|-----|-----|------------------------------|
| DC-WME-01T-S  | Plug&Play | 4     | 8   | -   | Не требует программирования  |
| DC-WME-01T-C  | NET+OS    | 4     | 8   | -   | Для программирования, NET+OS |
| DC-WME-01T-JT | NET+OS    | 4     | 8   | -   | + JTAG-коннектор             |

## Connect ME 9210

Ультеракомпактный форм-фактор Ethernet-разъема позволяет интегрировать данный модуль практически в любое устройство.

Собственная технология процессоров DIGI NET+ARM обеспечивают долгосрочную доступность этих модулей, что является одной из ключевых особенностей для встраиваемых приложений.

Уникальный гибкий интерфейсный модуль (FIM, Flexible interface module), реализованный на чипе, позволяет реализовать множество интерфейсов под конкретную задачу клиента (CAN, 1-Wire, дополнительный UART, USB-device и т.д.), сохраняя при этом основной последовательный порт доступным.

Модуль также подходит для более продвинутых задач, в которых требуется поддержка до 10 портов ввода/вывода общего назначения, внешних прерываний, и расширенного набора периферии (I<sup>2</sup>C, SPI).

- ARM926EJ-S Core 75 МГц.
- 8/16 Мбайт SDRAM.
- 2/4/8 Мбайт Flash.
- UART.
- Ethernet: 10/100 Mbps, PoE 802.3af совместимый.



- SPI.
- I<sup>2</sup>C.
- GPIO: до 10 GPIOs + 3 external IRQ.
- Интерфейсный модуль FIM: 300 МГц DRPIC165X CPU, 2k program, 192 байт data RAM.
- Варианты FIM на выбор: UART, 1-wire, USB device low-speed, CAN, параллельный интерфейс.
- Различные режимы энергосбережения.
- Скорость передачи по последовательному каналу: 230 кбит/с.
- Поддержка ОС NET+OS, Linux.
- Совместимость с Connect ME, Wi-ME.

## Connect ME 9210

| Наименование     | Прошивка  | Flash | RAM | PoE | Описание                     |
|------------------|-----------|-------|-----|-----|------------------------------|
| DC-ME-Y401-JT    | NET+OS    | 2     | 8   | -   | + JTAG-коннектор             |
| DC-ME-Y402-JT    | NET+OS    | 4     | 8   | -   | + JTAG-коннектор             |
| DC-ME-Y402-LX-JT | Linux     | 4     | 8   | -   | + JTAG-коннектор             |
| DC-ME-Y401-C     | NET+OS    | 2     | 8   | -   | Для программирования, NET+OS |
| DC-ME-Y402-C     | NET+OS    | 4     | 8   | -   | Для программирования, NET+OS |
| DC-ME-Y413-C     | NET+OS    | 8     | 16  | -   | Для программирования, NET+OS |
| DC-ME-Y401-S     | Plug&Play | 2     | 8   | -   | Не требует программирования  |
| DC-ME-Y402-S     | Plug&Play | 4     | 8   | -   | Не требует программирования  |
| DC-ME-Y413-S     | Plug&Play | 8     | 16  | -   | Не требует программирования  |
| DC-ME-Y402-LX    | Linux     | 4     | 8   | -   | Для программирования, Linux  |
| DC-ME-Y413-LX    | Linux     | 8     | 16  | -   | Для программирования, Linux  |
| DC-ME4-01T-C     | NET+OS    | 4     | 8   | -   | Для программирования, NET+OS |
| DC-ME-01T-PS     | Plug&Play | 2     | 8   | +   | Не требует программирования  |
| DC-ME-01T-PC     | NET+OS    | 2     | 8   | +   | Для программирования, NET+OS |

## Connect Wi-Wave

DIGI выпустили обновленную радиокарту Digi Connect Wi-Wave Card для организации беспроводных сетей пе-



редачи данных стандарта 802.11b/g в диапазоне 2,4 ГГц со скоростью передачи до 54 Mbps.

Радиокarta выполнена в виде PCI Express Mini Card миниатюрного 52-выводного форм фактора и может быть интегрирована во множество встраиваемых систем.

Встроенные средства аппаратной и программной защиты данных обеспечивают быстрое построение недорогих и надежных беспроводных сетей передачи данных.

Собственная Wireless LAN 802.11b/g технология DIGI, на базе которой построена радиокarta DC-WWV-2A, позволяет обеспечить доступность продукта в течение многих лет.

Радиокarta поддерживается как Microsoft Windows CE 5.0/6.0 (ARM, MIPS, x86), так и Linux (2.6.29 и выше).

Основные особенности:

- Исполнение в виде сверхминиатюрного PCI Express Mini Card фактора под стандартный 52-выводной слот.
- USB 2.0 full/high speed интерфейс.
- Сетевой интерфейс: стандарт IEEE802.11b/g.
- Частота: 2,4 ГГц.
- Использование 14 каналов в диапазоне 2,4 ГГц с фазовой манипуляцией.
- Скорость передачи по радиоканалу: до 54 Mbps.
- Мощность передатчика: +15 дБм.
- Чувствительность приемника:
  - 71 дБм при 54 Mbps;
  - 81 дБм при 11 Mbps;
  - 88 дБм при 6 Mbps;
  - 93 дБм при 1 Mbps.
- Аппаратное шифрование данных (AES Engine).
- Встроенные протоколы защиты данных WEP/WPA/WPA2/802.11i.
- Два U.FL-разъема на плате для подключения антенн.
- Напряжение питания: 3,0...3,6 В.
- Миниатюрный размер: 5x3,1 см.
- Рабочий температурный диапазон: -30...+60 °C.
- Поддержка работы под ОС: Microsoft Windows Embedded CE 5.0/6.0, Linux (2.6.29+).

Наличие USB2.0 full/high speed контроллера на борту позволяет обеспечить надежную высокоскоростную связь с USB-хост устройствами и использовать данную радиокарту в качестве USB-Wi-Fi-моста.

## Основные области применения модулей семейства Digi Connect:

- Промышленная автоматика.
- Интеллектуальные сети.
- Системы «Умный дом».
- Медицинское оборудование.
- Автоматизация зданий.
- Контроль доступа.
- Процессный контроль.
- Сбор данных со счетных устройств.

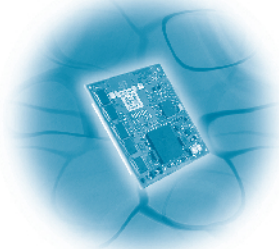
## СЕМЕЙСТВО МОДУЛЕЙ ConnectCore

Основные особенности модулей семейства приведены в таблице 2.

Семейство представлено модулями:

- ConnectCore 9P 9215;
- ConnectCore Wi-9P 9215;
- ConnectCore 9M 2443;
- ConnectCore Wi-9M 2443;
- ConnectCore i.MX51 (новинка);
- ConnectCore Wi-i.MX51 (новинка).

## ConnectCore 9P 9215, Wi-9P 9215



Серия процессорных модулей ConnectCore 9P 9215 была выпущена в качестве гибкого многофункционального решения для большинства задач.

Основой «гибкости» модуля является процессор собственного производства NS9215, содержащий 2 интерфейсных FIM-модуля (Flexible Interface Module — гибкий интерфейсный модуль) на базе DRPIC1655X. При помощи загружаемого микрокода, эти FIM могут настраиваться как CAN, 1-wire, UART, Secure Digital, USB, и т. п.

Именно благодаря таковой особенности, модуль ConnectCore 9P 9215 был назван «самым гибким» в отрасли Ethernet модулем на базе ARM9.

Также в ConnectCore 9P были реализованы различные режимы снижения энергопотребления, что позволяет данному процессорному модулю использоваться в применениях с батарейным питанием.

ConnectCore Wi-9P оснащены беспроводным модулем IEEE 802.11a/b/g, прошедшим сертификацию в соответствующих европейских органах и может свободно применяться в различных приложениях. Модуль работает с Linux, NET+OS. Имеется версия с готовой прошивкой plug&play с драйверами для быстрого интегрирования в устройство. Такой модуль не требует дополнительного программирования.

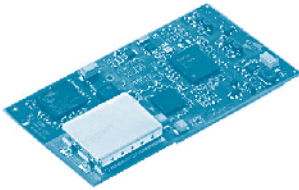
## ConnectCore 9P 9215

| Наименование   | Операционная система | Диапазон рабочих температур, °C | Flash, Мбайт | RAM, Мбайт | WLAN 802.11 a/b/g |
|----------------|----------------------|---------------------------------|--------------|------------|-------------------|
| CC-9P-V502-C   | NET+OS               | -40...+85                       | 4            | 8          |                   |
| CC-9P-V513-C   | NET+OS               | -40...+85                       | 8            | 16         |                   |
| CC-9P-V513-LX  | Linux                | -40...+85                       | 8            | 16         |                   |
| CC-9P-V524-LX  | Linux                | -40...+85                       | 16           | 32         |                   |
| CC-W9P-V502-C  | NET+OS               | -40...+85                       | 4            | 8          | +                 |
| CC-W9P-V513-C  | NET+OS               | -40...+85                       | 8            | 16         | +                 |
| CC-W9P-V524-LX | Linux                | -40...+85                       | 16           | 32         | +                 |

## ConnectCore 9M 2443, Wi-9M 2443

Следующее поколение процессорных модулей от DIGI — это ConnectCore 9M (Wi-9M) 2443. Сердцем модуля является процессор S3C2443 от Samsung. При стандартном диапазоне рабочих температур -20...+70 °C процессор работает на тактовой ча-





стоте 533 МГц, при требованиях промышленного диапазона  $-40...+85\text{ }^{\circ}\text{C}$  — на 400 МГц.

Различные опции памяти (до 512 Flash, 256 RAM) позволяют подобрать модуль для конкретного приложения.

Как во всех продуктах DIGI модули 9M 2443 содержат полный набор периферии (SPI, Hi speed SPI, I<sup>2</sup>C, USB Host/Device 2.0 Full speed, 4xUART, 24 (147) GPIO). Особенностью данного процессора является наличие LCD-контроллера и touch-screen-контроллера, что позволяет избавиться от лишних внешних компонентов и сделать Ваше устройство полнофункциональным и в то же время компактным. Также процессор S3C2443 имеет возможность захвата видео с цифровой видеокамеры.

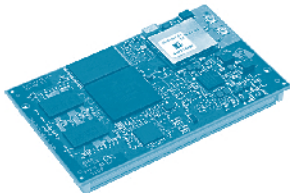
Модуль Wi-9M 2443 оснащен WLAN IEEE 802.11a/b/g и полностью совместим с 9M 2443 по пинам, что позволит осуществить быстрый переход от проводных сетей к беспроводным.

Модуль работает с Linux и с Windows CE 6.0R3.

### ConnectCore 9M 2443

| Наименование   | S3C2443, тактовая частота, МГц | Операционная система | Диапазон рабочих температур, $^{\circ}\text{C}$ | Flash, Мбайт | RAM, Мбайт | WLAN 802.11a/b/g |
|----------------|--------------------------------|----------------------|---|--------------|------------|------------------|
| CC-9M-QA25-Z1  | 400                            | Linux, WinCE         | $-20...+70$                                     | 32           | 32         |                  |
| CC-9M-NA26-Z1  | 533                            | Linux, WinCE         | $-40...+85$                                     | 64           | 32         |                  |
| CC-9M-NA37-Z1  | 533                            | Linux, WinCE         | $-40...+85$                                     | 128          | 64         |                  |
| CC-9M-NA49-Z1  | 533                            | Linux, WinCE         | $-40...+85$                                     | 512          | 128        |                  |
| CC-9M-NA59-Z1  | 533                            | Linux, WinCE         | $-40...+85$                                     | 512          | 256        |                  |
| CC-W9M-QA25-XE | 400                            | Linux, WinCE         | $-20...+70$                                     | 32           | 32         | +                |
| CC-W9M-NA26-XE | 533                            | Linux, WinCE         | $-40...+85$                                     | 64           | 32         | +                |
| CC-W9M-NA37-XE | 533                            | Linux, WinCE         | $-40...+85$                                     | 128          | 64         | +                |

### ConnectCore i.MX51, Wi-i.MX51



Последнее поколение процессорных модулей от DIGI — это модули ConnectCore MX51. В основе модуля процессор Freescale i.MX51 с ядром 600/800 МГц ARM Cortex-A8, который имеет мощные мультимедийные возможности, а также широчайший в классе набор периферии. Это идеальное решение для широкого круга применений, таких, как медицина, безопасность, системы мониторинга, системы контроля доступа, портативные мультимедийные устройства, промышленность, автоматиза-

Таблица 2. Семейство ConnectCore

|  | ConnectCore 9P 9215 | ConnectCore Wi-9P 9215 | ConnectCore 9M 2443  | ConnectCore Wi-9M 2443 | ConnectCore i.MX51   | ConnectCore Wi-i.MX51 |
|--|---------------------|------------------------|----------------------|------------------------|----------------------|-----------------------|
| <b>Процессор и память</b>                  |                     |                        |                      |                        |                      |                       |
| Процессор                                  | Digi NET+ARM NS9215 | Digi NET+ARM NS9215    | Samsung S3C2440      | Samsung S3C2440        | Freescale i.MX515    | Freescale i.MX515     |
| ARM ядро                                   | ARM926EJ-S          | ARM926EJ-S             | ARM920T              | ARM920T                | ARM Cortex-A8        | ARM Cortex-A8         |
| Скорость, МГц                              | 75                  | 75                     | 400/533              | 400/533                | 600/800              | 600/800               |
| Память Flash/RAM                           | 4-16 Мбайт Flash    | 4-16 Мбайт Flash       | 32-512 Мбайт Flash   | 32-128 Мбайт Flash     | 128-2048 Мбайт Flash | 128-2048 Мбайт Flash  |
|  | 8-32 Мбайт RAM      | 8-32 Мбайт RAM         | 32-256 Мбайт RAM     | 32-64 Мбайт RAM        | 128-512 Мбайт RAM    | 128-512 Мбайт RAM     |
| Ток потребления при 3,3 В, мА              | 46/443              | 138/716                | 53/279               | 173/504                | 300/700              | 300/700               |
| Режимы энергосбережения                    | •                   | •                      | •                    | •                      | •                    | •                     |
| Питание через Ethernet (PoE)               | опционально         | опционально            | опционально          | опционально            | опционально          | опционально           |
| Температурный диапазон, $^{\circ}\text{C}$ | $-40...+85$         | $-30...+75$            | $-40...+85$          | $-30...+75$            | $-40...+85$          | $-40...+85$           |
| <b>Форм фактор</b>                         |                     |                        |                      |                        |                      |                       |
| Размер, мм                                 | 50x50               | 70x50                  | 60x44                | 92x44                  | 62x50                | 82x50                 |
| Число выводов/корпус                       | 2-80 pin HD         | 2-80 pin HD            | 2-120 pin HD         | 2-120 pin HD           | 2-180 pin HD         | 2-180 pin HD          |
| Совместимость по пинам                     | Wi-9P 9215          | 9P 9215                | Wi-9M 2443           | 9M 2443                | Wi-i.MX51            | i.MX51                |
| <b>Сетевые параметры</b>                   |                     |                        |                      |                        |                      |                       |
| 10/100 Ethernet                            | MAC/PHY             | MAC/PHY                | MAC/PHY              | MAC/PHY                | 2xMAC/PHY            | 2xMAC/PHY             |
| Встроенный WLAN-интерфейс                  |                     | 802.11 b/g             |                      | 802.11 a/b/g           |                      | 802,11 a/b/g/n        |
| <b>Интерфейсы</b>                          |                     |                        |                      |                        |                      |                       |
| Шина подкл внешней памяти                  | •                   | •                      | •                    | •                      | •                    | •                     |
| UART                                       | до 4                | до 4                   | до 3                 | до 3                   | до 4                 | до 4                  |
| GPIO                                       | до 64               | до 64                  | 24 (147 multiplexed) | 24 (147 multiplexed)   | до 128               | до 128                |
| SPI  | •                   | •                      | •                    | •                      | есть+Hi-speed        | есть+Hi-speed         |
| I <sup>2</sup> C                           | •                   | •                      | •                    | •                      | есть+Hi-speed        | есть+Hi-speed         |
| USB Host/Device (2.0 Full Speed)           |                     |                        | •                    | •                      | до 3                 | до 3                  |
| LCD-контроллер                             | ○                   | ○                      | •                    | •                      | 2 TFT LCD            | 2 TFT LCD             |
| Touch-контроллер                           |                     |                        | •                    | •                      | •                    | •                     |
| Camera-интерфейс                           |                     |                        | •                    | •                      | 2 Cameras            | 2 Cameras             |
| RTC  | •                   | •                      | •                    | •                      | •                    | •                     |
| AES Acceleration                           | •                   | •                      | •                    | •                      | •                    | •                     |
| ШИМ  | •                   | •                      | •                    | •                      | •                    | •                     |
| Flexible Interface Modules                 | 2                   | 2                      |                      |                        | •                    | •                     |
| I <sup>2</sup> S/AC97 Audio                | ○                   | ○                      | •                    | •                      | •                    | •                     |
| Поддержка шины PCI                         |                     |                        |                      |                        | •                    | •                     |
| SD/SDIO                                    | •                   | •                      | •                    | •                      | •                    | •                     |
| PCMCIA/Compact Flash                       |                     |                        |                      |                        | •                    | •                     |
| Memory Stick/MMC                           |                     |                        |                      |                        | •                    | •                     |
| <b>Поддерживаемые ОС</b>                   |                     |                        |                      |                        |                      |                       |
| NET+OS                                     | •                   | •                      |                      |                        |                      |                       |
| Linux (Kernel supported)                   | •                   | •                      | •                    | •                      | •                    | •                     |
| Microsoft Windows CE Version               |                     |                        | •                    | •                      | •                    | •                     |
| <b>Программные среды</b>                   |                     |                        |                      |                        |                      |                       |
| GNU (for Linux)                            |                     |                        | •                    | •                      | •                    | •                     |
| Microcross GNU X-Tools                     | •                   | •                      |                      |                        |                      |                       |
| Green Hills MULTI IDE                      | •                   | •                      |                      |                        |                      |                       |
| Digi ESP IDE                               | •                   | •                      |                      |                        |                      |                       |
| Microsoft Visual Studio                    |                     |                        | •                    | •                      | •                    | •                     |
| <b>Отладочные комплекты</b>                |                     |                        |                      |                        |                      |                       |
| NET+OS                                     | CC-9P-9215-NET      | CC-W9P-9215-NET        |                      |                        |                      |                       |
| Linux                                      | CC-9P-9215-LX       | CC-W9P-9215-LX         | CC-9M-2443-LX        | CC-W9M-2443-LX         | CC-WMX51-LX          | CC-WMX51-LX           |
| Microsoft Windows CE                       |                     |                        | CC-9M-2443-CE6       | CC-W9M-2443-CE6        | CC-WMX51-CE6         | CC-WMX51-CE6          |

## ConnectCore i.MX51

| Наименование   | Процессор | Тактовая частота, МГц | Диапазон рабочих температур, °C | Flash, Мбайт | RAM, Мбайт | WLAN 802.11a/b/g | Ethernet | Accelerometer |
|----------------|-----------|-----------------------|---------------------------------|--------------|------------|------------------|----------|---------------|
| CC-MX-LC47-Z1  | i.MX512   | 800                   | -20...+70                       | 128          | 128        |                  |          |               |
| CC-MX-LB47-ZM  | i.MX515   | 800                   | -20...+70                       | 128          | 128        |                  | single   | +             |
| CC-MX-MB47-ZM  | i.MX515   | 600                   | -40...+85                       | 128          | 128        |                  | single   | +             |
| CC-MX-LB58-ZM  | i.MX515   | 800                   | -20...+70                       | 256          | 256        |                  | single   | +             |
| CC-MX-MB58-ZM  | i.MX515   | 600                   | -40...+85                       | 256          | 256        |                  | single   | +             |
| CC-MX-LB69-ZM  | i.MX515   | 800                   | -20...+70                       | 512          | 512        |                  | single   | +             |
| CC-MX-MB69-ZM  | i.MX515   | 600                   | -40...+85                       | 512          | 512        |                  | single   | +             |
| CC-MX-LB6B-ZM  | i.MX515   | 800                   | -20...+70                       | 2048         | 512        |                  | single   | +             |
| CC-MX-LB69-ZK  | i.MX515   | 800                   | -20...+70                       | 512          | 512        |                  | dual     | +             |
| CC-MX-MB69-ZK  | i.MX515   | 600                   | -40...+85                       | 512          | 512        |                  | dual     | +             |
| CC-WMX-LB47-VM | i.MX515   | 800                   | -20...+70                       | 128          | 128        | +                | single   | +             |
| CC-WMX-MB47-VM | i.MX515   | 600                   | -40...+85                       | 128          | 128        | +                | single   | +             |
| CC-WMX-LB58-VM | i.MX515   | 800                   | -20...+70                       | 256          | 256        | +                | single   | +             |
| CC-WMX-MB58-VM | i.MX515   | 600                   | -40...+85                       | 256          | 256        | +                | single   | +             |
| CC-WMX-LB69-VM | i.MX515   | 800                   | -20...+70                       | 512          | 512        | +                | single   | +             |
| CC-WMX-MB69-VM | i.MX515   | 600                   | -40...+85                       | 512          | 512        | +                | single   | +             |
| CC-WMX-LB6B-VM | i.MX515   | 800                   | -20...+70                       | 2048         | 512        | +                | single   | +             |
| CC-WMX-LB69-VK | i.MX515   | 800                   | -20...+70                       | 512          | 512        | +                | dual     | +             |
| CC-WMX-MB69-VK | i.MX515   | 600                   | -40...+85                       | 512          | 512        | +                | dual     | +             |

ция, транспорт, диспетчеризация, коммунальный сектор и многое другое.

Процессор позволяет управлять двумя TFT-дисплеями высокого разрешения одновременно, производить захват и кодирование видео с двух видеокамер, содержит модуль обработки видео и изображений, контроллер SSI с поддержкой аудиокодеков P5/AC97.

Вдобавок ко всему вышперечисленному, модуль содержит Wi-Fi WLAN 802.11n, который работает быстрее и надежнее своих предшественников.

Существуют версии с различным размером памяти (до 2 Гбайт Flash, до 512 Мбайт RAM), с коммерческим и промышленным диапазонами рабочих температур.

### Области применения модулей семейства Digi ConnectCore:

- Промышленная автоматика.
- Интеллектуальные сети.
- Медицинское оборудование.
- Автоматизация зданий.
- Контроль доступа.

- Процессный контроль.
- Сбор данных.
- Управление в реальном масштабе времени.
- Телеметрия.
- Системы безопасности.



## ЗАКЛЮЧЕНИЕ

На сегодняшний день компания DIGI является мировым лидером в области производства продуктов для организации сетевого взаимодействия и безопасной передачи и контроля данных через различные сети. Основными преимуществами подхода DIGI к разработке сетевых приложений является следующие особенности:

- Высокая производительность.
- Надежные средства защиты данных.
- Поддержка сетевых стандартов: 802.3, 802.11i, 802.15.4.
- Функциональность, позволяющая за минимальное время вывести конечное изделие на рынок.
- Совместимость модулей стандарта 802.3 и 802.11.
- Недорогие отладочные средства.
- Гарантированная доступность модулей.

## ДОПОЛНИТЕЛЬНАЯ ИНФОРМАЦИЯ

[www.digi.com](http://www.digi.com); [www.gamma.spb.ru](http://www.gamma.spb.ru)

## ТЕХНИЧЕСКАЯ ПОДДЕРЖКА И ЗАКАЗ ОБРАЗЦОВ

ООО «Гамма-Санкт-Петербург»  
+7 (812) 325-51-15  
[vk@gamma.spb.ru](mailto:vk@gamma.spb.ru)

# РАДИОМОДУЛИ ФИРМЫ DIGI INTERNATIONAL

**В последнее время тема перехода от проводов к использованию беспроводных технологий становится все более актуальной.**

Компания Digi International является одним из лидеров рынка беспроводных технологий и стратегическим партнером ZigBee Alliance. В модельном ряду DIGI постоянно появляются новые решения, что позволяет системе всегда быть построенной на базе последних технологий.

Все беспроводные продукты DIGI построены на базе радиопrotocola 802.15.4.

А по сетевым протоколам их можно разделить на три группы:

### XBee 802.15.4

- На основе кристалла Freescale.
- Поддерживают топологии point-to-point, point-to-multipoint (звезда).
- Рекомендуются для использования в 802.15.4 приложениях.
- Малое время распространения сигнала.
- Больше время жизни батареи.

### XBee ZigBee

- На основе кристалла Ember.
- Поддерживают топологию ZigBee Mesh (координатор/роутер/конечное устройство).

- Рекомендуются для применения в ZigBee-приложениях.
  - Ретрансляторы для расширения зоны покрытия сети.
  - Самовосстанавливающиеся сети.
  - Автоматическое определение маршрута доставки.
- ### XBee DigiMesh
- Поддерживают топологию DigiMesh (одноранговая mesh-сеть).
  - Более простая разработка mesh-сети.
  - Все узлы могут находиться в режиме sleep.
  - Ретрансляторы для расширения зоны покрытия сети.
  - Самовосстанавливающиеся сети.
  - Автоматическое определение маршрута доставки.

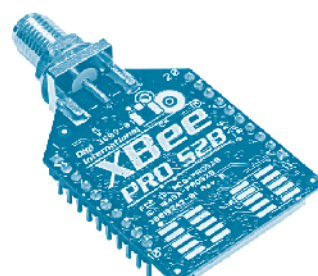
Среди последних достижений и новинок хотелось бы отметить пополнения в ряду ZigBee.

### Серия ZigBee S2B

Модули с дополнительным контроллером на плате для исполнения пользовательского кода. Применение этих модулей избавляет разработчика от необходимости использования внешнего МК с обязательной, что позволяет сэкономить место на плате и делает конечное устройство более дешевым и меньшим по размерам.

Модули серии S2B полностью совместимы по пинам со всеми модулями XBee (XBee 1 серии, XBee DigiMesh, ...). Это позволяет осуществить быстрый переход с одной топологии сети на другую без необходимости переразведения печатной платы и изменения конструктива конечного устройства.

Для передачи данных на небольшие расстояния, до нескольких десятков метров, идеально подходят модули XBee с выходной мощностью 2 мВт, если же требуется передать информацию на значительные расстояния (до 3200 м) — необходимо выбирать модули XBee-PRO S2B с повышенной мощностью передатчика и более низким порогом чувствительности.



## XBEE-модули компании Digi International

| Свойство/модуль   | Xbee 802.15.4  | Xbee Pro 802.15.4                                    | Xbee ZB S2   | Xbee PRO ZB S2B                                     | Xbee ZigBee S2C                        | Xbee PRO ZigBee S2C                    | Xbee DigiMesh  | Xbee Pro DigiMesh                                    |
|---|--|--|--|---|--|--|--|--|
| <b>Производительность</b>                                 |  |  |  |   |  |  |  |  |
| Выходная мощность, мВт                                    | 1 (+0 дБм)   | 63 (+18 дБм)   | 2 (+3 дБм)   | 63 (+18 дБм)  | 6,3 (+8 дБм)                           | 63 (+18 дБм)                           | 1 (+0 дБм)   | 63 (+18 дБм)   |
| Дальность передачи внутри здания, м                       | 30   | 100  | 40   | 90  | 60                                     | 90                                     | 30   | 90   |
| Дальность передачи на открытой местности, м               | 100  | 1600   | 120  | 3200  | 1200                                   | 3200                                   | 90   | 1600   |
| Скорость передачи по радиоканалу, кбит/с                  | 250  | 250  | 250  | 250   | 250                                    | 250                                    | 250  | 250  |
| Скорость передачи по последовательному интерфейсу, кбит/с | 250  | 250  | 1000   | 1000  | 1000                                   | 1000                                   | 115,2  | 115,2  |
| Чувствительность приемника, дБм                           | -92  | -100   | -96  | -102  | -102                                   | -102                                   | -92  | -100   |
| <b>Сетевые свойства</b>                                   |  |  |  |   |  |  |  |  |
| Топология сети  | P2P, P2M, Peer-to-peer                               | P2P, P2M, Peer-to-peer                               | Mesh, P2P, P2M                                       | Mesh, P2P, P2M                                      | Mesh, P2P, P2M                         | Mesh, P2P, P2M                         | Mesh Peer-to-Peer, P2P, P2M                          | Mesh Peer-to-Peer, P2P, P2M                          |
| Шифрование  | -  | -  | AES-128  | AES-128   | AES-128                                | AES-128                                | AES-128  | -  |
| Число каналов   | 16   | 12   | 16   | 15  | 16                                     | 16                                     | 16   | 12   |
| <b>Питание</b>  |  |  |  |   |  |  |  |  |
| Напряжение питания, В                                     | 2,8–3,4  | 2,8–3,4  | 2,1–3,6  | 2,7–3,6   | 2,1–3,6                                | 2,7–3,6                                | 2,8–3,4  | 2,8–3,4  |
| Ток в реж. передачи, при 3,3 В, мА                        | 45   | 215  | 35   | 205   | 33                                     | 100                                    | 45   | 250  |
| Ток в реж. приема, при 3,3 В, мА                          | 50   | 55   | 38   | 74  | 28                                     | 31                                     | 50   | 55   |
| Ток в реж. Sleep, мА                                      | <10  | <10  | <1   | <3,5  | <1                                     | <1                                     | <10  | <10  |
| <b>Общие свойства</b>                                     |  |  |  |   |  |  |  |  |
| Полоса частот, ГГц  | 2,4000–2,4835  | 2,4000–2,4835  | 2,4000–2,4835  | 2,4000–2,4835                                       | 2,4000–2,4835                          | 2,4000–2,4835                          | 2,4000–2,4835  | 2,4000–2,4835  |
| UART  | +  | +  | +  | x2  | +                                      | +                                      | +  | +  |
| SPI   | -  | -  | -  | +   | +                                      | +                                      | -  | -  |
| I <sup>2</sup> C  | -  | -  | -  | +   | -                                      | -                                      | -  | -  |
| GPIO  | 8  | 8  | 10   | 10  | 15                                     | 15                                     | -  | -  |
| ADC   | 6 вх. 10-бит   | 6 вх. 10-бит   | 4 вх. 10-бит   | 4 вх. 10-бит  | 4 вх. 10-бит                           | 4 вх. 10-бит                           | 4 вх. 10-бит   | 4 вх. 10-бит   |
| <b>Физические параметры</b>                               |  |  |  |   |  |  |  |  |
| Исполнение  | под разъем   | под разъем   | под разъем   | под разъем  | для пайки (SMT)                        | для пайки (SMT)                        | под разъем   | под разъем   |
| Антенны   | U.FL RF connector, RPSMA, whip antenna, chip antenna | U.FL RF connector, RPSMA, whip antenna, chip antenna | U.FL RF connector, RPSMA, whip antenna, chip antenna | U.FL RF connector, RPSMA, whip antenna, PCB antenna | U.FL RF connector, RF PAD, PCB antenna | U.FL RF connector, RF PAD, PCB antenna | U.FL RF connector, RPSMA, whip antenna, chip antenna | U.FL RF connector, RPSMA, whip antenna, chip antenna |
| Температурный диапазон, °С                                | -40...+85  | -40...+85  | -40...+85  | -40...+85   | -40...+85                              | -40...+85                              | -40...+85  | -40...+85  |
| <b>Сертификация</b>                                       |  |  |  |   |  |  |  |  |
| Europe (CE)   | ETSI   | ETSI   | ETSI   | ETSI  | ETSI                                   | ETSI                                   | ETSI   | ETSI   |
| RoHS  | ✓  | ✓  | ✓  | ✓   | ✓                                      | ✓                                      | ✓  | ✓  |

### Серия ZigBee S2C

Компания Digi International запустила в производство новую линейку ZigBee-модулей серии XBee S2C. Основное преимущество радиомодулей S2C — это исполнение для SMT-монтажа. Благодаря этому, разработчику более не придется тратить дополнительные средства при производстве на разъемы, что позволит сделать конечное устройство еще более конкурентным на рынке.

Не изменяя своим традициям, сердцем новых XBee S2C радиомодулей является System-on-Chip EM357 с процессором ARM Cortex™-M3 с увеличенным количеством ОЗУ, что позволяет узлам сети хранить таблицы маршрутизации в несколько раз больше. А это означает возможность работы в одной сети большого количества узлов. Ко всему прочему большее количество ОЗУ позволяет теперь «заливать» одну общую прошивку для всех типов устройств, и роль узла (координатор, роутер, конечное устройство) теперь выбирается программно.

Благодаря новейшим технологиям производства и новой элементной базе, потребление тока в режиме передачи при максимальной мощности пе-

редатчика (+18 дБм) всего 100 мА при напряжении питания 3,3 В. А в режиме «sleep» модуль требует всего 0,3–0,4 мкА, что продлевает жизнь батареи в несколько раз. Таким низким потреблением не обладает ни один из ZigBee-модулей, представленных на данный момент на нашем рынке.

Несмотря на улучшенные характеристики (дальность до 3,2 км, интерфейсы UART, SPI, четыре 12-бит АЦП, 16 GPIO) модуль стоит дешевле своих предшественников.

Также для разработчиков доступны радиомодули серии S2C с дополнительным интегрированным микроконтроллером для исполнения пользовательского кода.

Помимо решений для организации интеллектуальных сетей, отвечающих спецификации ZigBee PRO, компания Digi предлагает уникальный сервис, называемый iDigi.

Этот сервис позволяет получить доступ к ZigBee-сети из любой точки мира, где есть Интернет или сотовая связь. С точки зрения аппаратной части, в сетях, где требуется организовать удаленный мониторинг и управление сетью, необходимо использовать шлюзы семейства ConnectPort, обычно выступающие в качестве координатора локальной сети ZigBee.

Шлюзы имеются в нескольких исполнениях: ZigBee-Wi-Fi, ZigBee-сотовая связь, ZigBee-Ethernet, ZigBee — последовательный интерфейс и т.д.

Практика применения доказывает, что использование сервиса iDigi для удаленного мониторинга сетей энергопотребления помогает экономить до 60–80% потребляемой энергии.

### ОБЛАСТИ ПРИМЕНЕНИЯ МОДУЛЕЙ XBEE

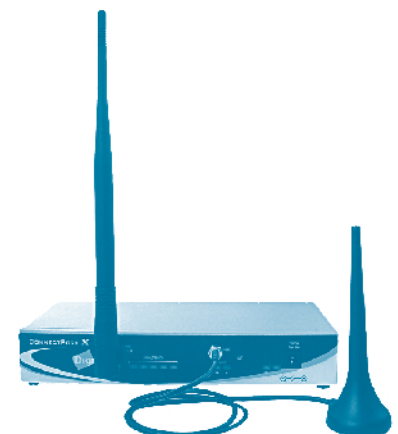
- Системы АСКУЭ для газовых счетчиков/счетчиков электроэнергии.
- Промышленные сети.
- Устройства с батарейным питанием, беспроводные пульты управления.
- Системы умного дома.
- Системы контроля и сбора данных.
- Медицинское оборудование.
- Системы мониторинга и др.

### ДОПОЛНИТЕЛЬНАЯ ИНФОРМАЦИЯ

Центр технической поддержки

ООО «Гамма-Санкт-Петербург».

[www.gamma.spb.ru](http://www.gamma.spb.ru), [www.digi.com](http://www.digi.com)



# ПРОДУКЦИЯ КОМПАНИИ RF MONOLITHICS INC.

Компания RF Monolithics Inc. (RFM) является одним из лидеров интегральной ПАВ-технологии. Она производит микросборки радиопередатчиков, приемников, приемопередатчиков, узкополосных фильтров и ПАВ-резонаторов на частоты от 70 МГц до 1,2 ГГц.

## ПАВ-РЕЗОНАТОРЫ

RFM выпускает широкий спектр ПАВ-резонаторов на разные частоты и в различных корпусах.

Ниже приведена таблица наиболее популярных резонаторов.

### Резонаторы

| Тип        | Частота, МГц | Корпус         |
|------------|--------------|----------------|
| RO3104     | 303,825      | TO39-3         |
| RO3104A    | 303,825      | 5,0x3,5 мм SMD |
| RO3104C    | 303,825      | 5,0x5,0 мм SMD |
| RO3104D    | 303,825      | 3,8x3,8 мм SMD |
| RO3104E    | 303,825      | 3,0x3,0 мм SMD |
| RO3073     | 315,0        | TO39-3         |
| RO3073A    | 315,0        | 5,0x3,5 мм SMD |
| RO3073C    | 315,0        | 5,0x5,0 мм SMD |
| RO3073D    | 315,0        | 3,8x3,8 мм SMD |
| RO3073E    | 315,0        | 3,0x3,0 мм SMD |
| RO3118     | 318,0        | TO39-3         |
| RO3118A    | 318,0        | 5,0x3,5 мм SMD |
| RO3118D    | 318,0        | 3,8x3,8 мм SMD |
| RO3118E    | 318,0        | 3,0x3,0 мм SMD |
| RO3103     | 418,0        | TO39-3         |
| RO3103A    | 418,0        | 5,0x3,5 мм SMD |
| RO3103D    | 418,0        | 3,8x3,8 мм SMD |
| RO3103E    | 418,0        | 3,0x3,0 мм SMD |
| RO3112     | 433,42       | TO39-3         |
| RO3112A    | 433,42       | 5,0x3,5 мм SMD |
| RO3112C    | 433,42       | 5,0x5,0 мм SMD |
| RO3112D    | 433,42       | 3,8x3,8 мм SMD |
| RO3112E    | 433,42       | 3,0x3,0 мм SMD |
| RO3101     | 423,92       | TO39-3         |
| RO3101A    | 423,92       | 5,0x3,5 мм SMD |
| RO3101C    | 423,92       | 5,0x5,0 мм SMD |
| RO3101D    | 423,92       | 3,8x3,8 мм SMD |
| RO3101E    | 423,92       | 3,0x3,0 мм SMD |
| RO3101E-11 | 423,92       | 3,0x3,0 мм SMD |
| RO3164     | 868,35       | TO39-3         |
| RO3164A    | 868,35       | 5,0x3,5 мм SMD |
| RO3164D    | 868,35       | 3,8x3,8 мм SMD |
| RO3164E    | 868,35       | 3,0x3,0 мм SMD |
| RO3156A    | 868,95       | 5,0x3,5 мм SMD |
| RO3156D    | 868,95       | 3,8x3,8 мм SMD |
| RO3156E    | 868,95       | 3,0x3,0 мм SMD |
| RO3144     | 916,5        | TO39-3         |
| RO3144A    | 916,5        | 5,0x3,5 мм SMD |
| RO3144C    | 916,5        | 5,0x5,0 мм SMD |
| RO3144D    | 916,5        | 3,8x3,8 мм SMD |
| RO3144E    | 916,5        | 3,0x3,0 мм SMD |

Для построения радиоканала передачи данных, компания RFM предлагает микросхемы приемников, передатчиков, приемопередатчиков. Выпускаются микросхемы в миниатюрных корпусах для поверхностного монтажа. Помимо

## ПАВ-ФИЛЬТРЫ

### ПАВ-фильтры ПЧ

| Наименование | Частота, МГц | Описание             | Размер корпуса, мм |
|--------------|--------------|----------------------|--------------------|
| SF1177A      | 57,6         | WCDMA/TD-SCDMA       | 13,3x6,5           |
| SF1081A      | 71,0         | GSM Receiver         | 22,1x8,0           |
| SF1081A-1    | 71,0         | GSM Receiver         | 22,1x8,0           |
| SF2039B      | 72,54        | SDARS                | 7,0x5,0            |
| SF1140B      | 75,00        | SDARS                | 7,0x5,0            |
| SF2037B      | 76,5         | SDARS                | 7,0x5,0            |
| SF2040B      | 80,46        | SDARS                | 7,0x5,0            |
| PX1004       | 82,2         | IS-54 TDMA           | 13,3x6,5           |
| PX1002       | 86,85        | IS-54 TDMA           | 13,3x6,5           |
| SF2131B      | 92,16        | TD-SCDMA             | 7,0x5,0            |
| SF2135A      | 96,00        | IF Filter            | 13,3x6,5           |
| SF1200B      | 96,00        | TD-SCDMA             | 7,0x5,0            |
| SF2069A-1    | 96,00        | TD-SCDMA             | 19,0x6,5           |
| SF2085A      | 96,0         | IF Filter            | 13,3x6,5           |
| SF1056A      | 110,592      | DECT                 | 13,3x6,5           |
| SF2026B      | 114,815      | SDARS                | 7,0x5,0            |
| SF2060B      | 115,0        | SDARS                | 5,0x7,0            |
| SF2060B-1    | 115,0        | SDARS                | 5,0x7,0            |
| SF2111A      | 140,0        | TD-SCDMA             | 13,3x6,5           |
| SF2140A      | 140,0        | WCDMA                | 13,3x6,5           |
| SF2045A      | 140,0        | WCDMA                | 13,3x6,5           |
| SF2138B      | 144,0        | SDARS                | 7,0x5,0            |
| SF2063A      | 156,0        | Wibro                | 13,3x6,5           |
| SF2064A      | 156,0        | Wimax                | 13,3x6,5           |
| SF1088A      | 170,6        | GSM/DCS              | 19,0x6,5           |
| SF2067B      | 172,8        | IF Filter            | 7,0x5,0            |
| SF1179B      | 184,14       | IF Filter            | 7,0x5,0            |
| SF2006C      | 190,00       | W-CDMA               | 5,0x5,0            |
| SF1092A      | 199,0        | GSM/DCS              | 19,0x6,5           |
| SF1115A      | 199,0        | GSM/DCS              | 9,1x7,1            |
| SF2027B      | 199,0        | GSM                  | 13,3x6,5           |
| SF1091A      | 211,0        | GSM/DCS              | 13,3x6,5           |
| SF2062A      | 229,25       | PHS                  | 11,0x4,0           |
| SF2086C      | 235,0        | IF Filter            | 5,0x5,0            |
| SF2055A      | 240,05       | PHS                  | 11,5x4,0           |
| SF1197B      | 248,6        | Filter               | 7,0x5,0            |
| SF2030A      | 243,95       | PHS                  | 11,5x4,0           |
| SF2079D      | 251,0        | IF Filter            | 3,8x3,8            |
| SF2025B      | 259,861      | SDARS                | 7,0x5,0            |
| SF2087C      | 265,0        | IF Filter            | 5,0x5,0            |
| SF1189B-1    | 280,0        | WLAN/Wireless Access | 5,0x5,0            |
| SF2088C      | 295,0        | IF Filter            | 5,0x5,0            |
| SF1120B      | 298,74       | GPS                  | 7,0x5,0            |

|           |         |                   |          |
|-----------|---------|-------------------|----------|
| SF2109D   | 305,0   | Wibro             | 3,8x3,8  |
| SF2110D   | 305,0   | Wimax             | 3,8x3,8  |
| SF2125D   | 305,0   | Wimax             | 3,8x3,8  |
| SF1142B   | 315,0   | IF Receiver       | 7,0x5,0  |
| SF2089C   | 325,0   | IF Filter         | 5,0x5,0  |
| SF1059A   | 350,0   | WLAN              | 9,1x7,1  |
| SF2033A   | 350,0   | IF Filter         | 13,3x6,5 |
| SF2090C   | 355,0   | IF Filter         | 5,0x5,0  |
| SF2072C   | 360,0   | Wimax             | 5,0x5,0  |
| SF1174B   | 374,0   | WLAN              | 5,0x5,0  |
| SF1174D   | 374,0   | WLAN              | 3,8x3,8  |
| SF2091C   | 385,0   | IF Filter         | 5,0x5,0  |
| SF1145B   | 427,25  | Cable             | 7,0x5,0  |
| SF2042B   | 456,0   | Wimax             | 5,0x7,0  |
| SF2042C   | 456,0   | Wimax             | 5,0x5,0  |
| SF2073B   | 456,0   | Wimax             | 7,0x5,0  |
| SF2097B   | 456,0   | Wimax             | 7,0x5,0  |
| SF2046B   | 456,44  | Wimax             | 7,0x5,0  |
| SF2076B   | 464,0   | Wimax             | 7,0x5,0  |
| SF2024B   | 467,751 | SDARS             | 7,0x5,0  |
| SF2024D-1 | 467,751 | SDARS             | 3,8x3,8  |
| SF1146B   | 499,25  | Cable             | 7,0x5,0  |
| SF2032E   | 1220,0  | DOCSIS Compatible | 3,0x3,0  |
| SF2081D   | 1220,0  | Cable/DOCSIS      | 3,8x3,8  |
| SF2081E   | 1220,0  | Cable/DOCSIS      | 3,0x3,0  |

### Фильтры для оконечного устройства

| Тип     | Частота, МГц | Корпус         |
|---------|--------------|----------------|
| RF3210D | 303,825      | 3,8x3,8 мм SMD |
| RF3417E | 315          | 3,0x3,0 мм SMD |
| RF3171D | 418,0        | 3,8x3,8 мм SMD |
| RF3404  | 433,92       | TO39-3         |
| RF3404E | 433,92       | 3,0x3,0 мм SMD |
| RF1172C | 433,92       | 5,0x5,0 мм SMD |
| RF1172D | 433,92       | 3,8x3,8 мм SMD |
| RF3336  | 868,35       | TO39-3         |
| RF3336E | 868,35       | 3,0x3,0 мм SMD |
| RF3181  | 916,5        | TO39-3         |
| RF3181E | 16,5         | 3,0x3,0 мм SMD |

### Радиочастотные ПАВ-фильтры

| Тип       | Частота, МГц | Описание              | Корпус         |
|-----------|--------------|-----------------------|----------------|
| SF1186B-2 | 1575,42      | RF Filter, GPS apps   | 3,0x3,0 мм SMD |
| SF1188C   | 465,0        | RF Filter             | 5,0x5,0 мм SMD |
| SF2008D   | 930,5        | RF Filter, pager apps | 3,8x3,8 мм SMD |

самых микросхем RFM выпускает модули на их основе. В модуле на печатной плате располагается микросхема с обвязкой, настроенная на определенный режим работы с определенной скоростью передачи данных.

| Передатчики |              |                                    | Модули  |        |                   |
|-------------|--------------|------------------------------------|---------|--------|-------------------|
| Тип         | Частота, МГц | Описание                           | Корпус  | Тип    | Скорость передачи |
| TXC100      | 300–450      | OOK/ ASK (100 kbps) /FSK (20 kbps) | 16-TFQN |        |                   |
| TX5000      | 433,92       | 115,2 kbps                         | SM-20L  | DR4100 | 115,2 kbps        |
| TX5001      | 315,0        | 115,2 kbps                         | SM-20L  | DR4101 | 115,2 kbps        |
| TX5002      | 418,0        | 115,2 kbps                         | SM-20L  |        |                   |
| TX5003      | 303,825      | 115,2 kbps                         | SM-20L  | DR4103 | 115,2 kbps        |
| TX6000      | 916,5        | 115,2 kbps                         | SM-20H  | DR4000 | 115,2 kbps        |
| TX6001      | 868,35       | 115,2 kbps                         | SM-20H  | DR4001 | 115,2 kbps        |
| TX6004      | 914,0        | 115,2 kbps                         | SM-20H  |        |                   |
| RX5000      | 433,92       | 115,2 kbps                         | SM-20L  |        |                   |
| RX5001      | 315,0        | 115,2 kbps                         | SM-20L  |        |                   |
| RX5002      | 418,0        | 115,2 kbps                         | SM-20L  |        |                   |
| RX5003      | 303,825      | 115,2 kbps                         | SM-20L  | DR5103 | 115,2 kbps        |
| RX5005H     | 433,42       | 115,2 kbps                         | SM-20H  |        |                   |
| RX5500      | 433,92       | 19,2 kbps                          | SM-20L  | DR5100 | 19,2 kbps         |
| RX5501      | 315,0        | 19,2 kbps                          | SM-20L  | DR5101 | 19,2 kbps         |
| RX6000      | 916,50       | 115,2 kbps                         | SM-20H  | DR5000 | 115,2 kbps        |
| RX6001      | 868,35       | 115,2 kbps                         | SM-20H  | DR5001 | 115,2 kbps        |
| RX6004      | 914,0        | 115,2 kbps                         | SM-20H  |        |                   |
| RX6501      | 868,35       | 19,2 kbps                          | SM-20H  |        |                   |

Американская компания RFMonolithics запустила в производство новые радиомодули XDM2510 H, работающие по протоколу Wireless Hart. Wireless Hart — это TSMP (mesh с общей синхронизацией) сетевой протокол, работающий на основе радиопотокола IEEE802.15.4.



Для работы по протоколу Wireless Hart модули XDM2510H используют систему SmartMesh IA-510 производства компании DUST Networks. Данная система в сочетании с прошивкой RFM позволяют быстро развернуть и интегрировать беспроводную интеллектуальную систему управления в уже существующую инфраструктуру производств и приложений.

Радиомодули XDM2510H предоставляют высочайшую надежность, самоорганизацию, самовосстановление сети. Плюс ко всему модуль обладает уникально низким энергопотреблением в режиме приема данных (всего 6 мА). При таком потреблении модули XDM2510H идеально подходят для приложений с батарейным питанием.

| Приемопередатчики |                           |              |            | Модули     |          |                   |
|-------------------|---------------------------|--------------|------------|------------|----------|-------------------|
| Тип               | Мощность передатчика, мВт | Частота, МГц | Описание   | Корпус     | Тип      | Скорость передачи |
| TRC103            | 1                         | 868–960      | 200 kbps   | 32-pin QFN |          |                   |
| TRC104            | 1                         | 2400         | 1 Mbps     | 24-pin QFN |          |                   |
| TRC105            | 1                         | 300–510      | 200 kbps   | 32-pin QFN |          |                   |
| TR1000            | 1                         | 916,5        | 115,2 kbps | SM-20H     | DR3000   | 2,4–19,2 kbps     |
|                   |                           |              |            |            | DR3000-1 | 115,2 kbps        |
| TR1001            | 1                         | 868,35       | 115,2 kbps | SM-20H     | DR3001   | 2,4–19,2 kbps     |
| TR1004            | 1                         | 914,0        | 115,2 kbps | SM-20H     |          |                   |
| TR1100            | 1                         | 916,5        | 1,0 Mbps   | SM-20H     | DR3300   | 1,0 Mbps          |
| TR3000            | 1                         | 433,92       | 115,2 kbps | SM-20L     | DR3100   | 2,4–19,2 kbps     |
|                   |                           |              |            |            | DR3100-1 | 115,2 kbps        |
| TR3001            | 1                         | 315,0        | 115,2 kbps | SM-20L     | DR3101   | 2,4–19,2 kbps     |
| TR3002            | 1                         | 418,0        | 115,2 kbps | SM-20L     |          |                   |
| TR3003            | 1                         | 303,825      | 115,2 kbps | SM-20L     | DR5103   | 2,4–19,2 kbps     |
|                   |                           |              |            |            | DR4103   | 115,2 kbps        |
| TR3005            | 1                         | 403,5        | 115,2 kbps | SM-20H     |          |                   |
| TR3006HS          | 1                         | 314          | 115,2 kbps | 10,7×6,8   |          |                   |
| TR3100            | 1                         | 433,92       | 576,0 kbps | SM-20L     |          |                   |
| TR7000            | 10                        | 433,92       | 115,2 kbps | 10,7×6,8   | DR7000   | 115,2 kbps        |
| TR7001            | 10                        | 315          | 115,2 kbps | 10,7×6,8   | DR7001   | 115,2 kbps        |
| TR7002            | 10                        | 418          | 115,2 kbps | 10,7×6,8   |          |                   |
| TR7003            | 10                        | 303,825      | 115,2 kbps | 10,7×6,8   | DR7003   | 115,2 kbps        |
| TR8000            | 10                        | 916,5        | 115,2 kbps | 10,7×6,8   | DR8000   | 115,2 kbps        |
| TR8001            | 10                        | 868,35       | 115,2 kbps | 10,7×6,8   | DR8001   | 115,2 kbps        |
| TR8100            | 10                        | 916,5        | 115,2 kbps | 10,7×6,8   | DR8100   | 115,2 kbps        |

Основные характеристики радиомодулей XDM2510H:

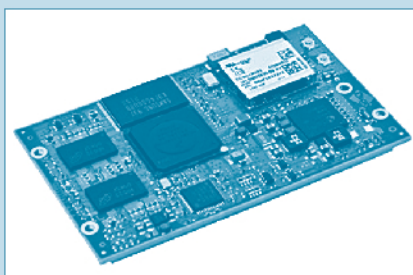
- Основа модулей — SOC SmartMesh IA-510 от DUST Networks.
- Самоорганизация сети.
- Самовосстановление сети.
- Интерфейс: UART.
- Частоты: 2,4–2,4835 МГц.
- Скорость передачи данных: 250 kbps.
- Мощность передатчика: +8 дБм.
- Чувствительность приемника: –90 дБм (1% PER).
- Питание: 2,85...5,50 В.
- Потребление тока в режиме передачи: 18 мА (3,6 В).
- Потребление тока в режиме приема: 6 мА (3,6 В).
- Потребление тока в режиме Sleep: 8,5 мкА (3,6 В).
- Диапазон рабочих температур: –40...+85 °С.
- Габариты: 27×25 мм.

В поставках будут 2 вида модулей: для монтажа в разъем и для припаивания непосредственно на плату.

## НОВЫЕ ПРОЦЕССОРНЫЕ МОДУЛИ CONNECTCORE I.MX53

В середине 2011 года планируется к запуску в серийное производство процессорный модуль ConnectCore i.MX53 на базе следующего поколения мультимедийных процессоров i.MX535 с высокопроизводительным ядром 1,2 ГГц Cortex-A8. Процессорные модули серии CC-MX53 будут оснащены проводными и беспроводными интерфейсами, мощной системой кодирования/декодирования видео 1080p/720p, двумя шинами CAN и полным набором периферии.

Это энергоэффективное решение идеально подходит для применения в медицинских приборах, системах безопасности и видеонаблюдения, кассовых терминалах, средствах автоматизации и мультимедийных устройствах.



Новые процессорные модули ConnectCore i.MX53 сочетают в себе лидирующую в отрасли производительность, низкое энергопотребление, простоту интеграции с ключевыми функциями такими, как

встроенное управление энергопотреблением, поддержка мультимедиа, включая аппаратное декодирование видео 1080p, 2D/3D-ускоритель, возможность управления 2 дисплеями высокого разрешения, захват видео с камеры, аппаратное шифрование, беспроводной 802.11a/b/g/n Wi-Fi интерфейс со скоростью передачи данных до 150 Мбит/с, Bluetooth 4.0, два порта Ethernet (каждый со своим MAC), 2 шины CAN, возможность подключения устройств по SATA II и полный набор периферии.

Недорогие, включающие в себя все необходимое, отладочные комплекты DIGI JumpStartKits с Linux, Android и Windows Embedded Compact 7 позволяют быстро и профессионально разработать и вывести на рынок свой продукт.

# ТРАНСФОРМАТОРЫ И ИСТОЧНИКИ ПИТАНИЯ ZETTLER MAGNETICS

В начале 2010 года компания Гамма-Санкт-Петербург подписала дистрибьюторское соглашение с одним из ведущих мировых производителей трансформаторов питания — компанией Zettler Magnetics.

Модельный ряд Zettler насчитывает тысячи наименований высококачественных трансформаторов, корпусных AC/DC преобразователей, источников питания для светодиодных систем.

Помимо стандартного модельного ряда, компания Zettler предлагает разработку трансформаторов в соответствии с требованиями заказчика (специализированное напряжение, корпус, исполнение, и т. д.).

## ГЕРМЕТИЗИРОВАННЫЕ ТРАНСФОРМАТОРЫ (0,35–3,20 ВА)

- Вакуумная герметизация.
- Первичная обмотка: 230 В, 50 Гц.
- Диэлектрическая прочность: 4200 В.
- Соответствие международным стандартам VDE, CUL, UL, CQC, CE, TUV.



| Наименование | Напряжение втор. обмотки, В | Номинальная мощность, ВА | Высота, мм |
|--------------|-----------------------------|--------------------------|------------|
| BV202S06003A | 6                           | 0,35                     | 16,0 MAX   |
| BV202S09003A | 9                           | 0,35                     | 16,0 MAX   |
| BV202S12003A | 12                          | 0,35                     | 16,0 MAX   |
| BV202S15003A | 15                          | 0,35                     | 16,0 MAX   |
| BV202S18003A | 18                          | 0,35                     | 16,0 MAX   |
| BV202S24003A | 24                          | 0,35                     | 16,0 MAX   |
| BV202D06003A | 2x6                         | 0,35                     | 16,0 MAX   |
| BV202D09003A | 2x9                         | 0,35                     | 16,0 MAX   |
| BV202D12003A | 2x12                        | 0,35                     | 16,0 MAX   |
| BV202D15003A | 2x15                        | 0,35                     | 16,0 MAX   |
| BV202D18003A | 2x18                        | 0,35                     | 16,0 MAX   |
| BV202D24003A | 2x24                        | 0,35                     | 16,0 MAX   |
| BV202S06005  | 6                           | 0,5                      | 19,5 MAX   |
| BV202S09005  | 9                           | 0,5                      | 19,5 MAX   |
| BV202S12005  | 12                          | 0,5                      | 19,5 MAX   |
| BV202S15005  | 15                          | 0,5                      | 19,5 MAX   |
| BV202S18005  | 18                          | 0,5                      | 19,5 MAX   |
| BV202S24005  | 24                          | 0,5                      | 19,5 MAX   |
| BV202D06005  | 2x6                         | 0,5                      | 19,5 MAX   |
| BV202D09005  | 2x9                         | 0,5                      | 19,5 MAX   |
| BV202D12005  | 2x12                        | 0,5                      | 19,5 MAX   |
| BV202D15005  | 2x15                        | 0,5                      | 19,5 MAX   |
| BV202D18005  | 2x18                        | 0,5                      | 19,5 MAX   |
| BV202D24005  | 2x24                        | 0,5                      | 19,5 MAX   |
| BV302S06006  | 6                           | 0,6                      | 15,7 MAX   |
| BV302S09006  | 9                           | 0,6                      | 15,7 MAX   |
| BV302S10006  | 10                          | 0,6                      | 15,7 MAX   |
| BV302S12006  | 12                          | 0,6                      | 15,7 MAX   |
| BV302S15006  | 15                          | 0,6                      | 15,7 MAX   |
| BV302S18006  | 18                          | 0,6                      | 15,7 MAX   |
| BV302S24006  | 24                          | 0,6                      | 15,7 MAX   |
| BV302D06006  | 2x6                         | 0,6                      | 15,7 MAX   |
| BV302D09006  | 2x9                         | 0,6                      | 15,7 MAX   |
| BV302D10006  | 2x10                        | 0,6                      | 15,7 MAX   |
| BV302D12006  | 2x12                        | 0,6                      | 15,7 MAX   |
| BV302D15006  | 2x15                        | 0,6                      | 15,7 MAX   |
| BV302D18006  | 2x18                        | 0,6                      | 15,7 MAX   |
| BV302D24006  | 2x24                        | 0,6                      | 15,7 MAX   |
| BV302S06010  | 6                           | 1                        | 22,3 MAX   |
| BV302S09010  | 9                           | 1                        | 22,3 MAX   |
| BV302S10010  | 10                          | 1                        | 22,3 MAX   |
| BV302S12010  | 12                          | 1                        | 22,3 MAX   |
| BV302S15010  | 15                          | 1                        | 22,3 MAX   |
| BV302S18010  | 18                          | 1                        | 22,3 MAX   |
| BV302S24010  | 24                          | 1                        | 22,3 MAX   |

| Наименование | Напряжение втор. обмотки, В | Номинальная мощность, ВА | Высота, мм |
|--------------|-----------------------------|--------------------------|------------|
| BV302D06010  | 2x6                         | 1                        | 22,3 MAX   |
| BV302D09010  | 2x9                         | 1                        | 22,3 MAX   |
| BV302D10010  | 2x10                        | 1                        | 22,3 MAX   |
| BV302D12010  | 2x12                        | 1                        | 22,3 MAX   |
| BV302D15010  | 2x15                        | 1                        | 22,3 MAX   |
| BV302D18010  | 2x18                        | 1                        | 22,3 MAX   |
| BV302D24010  | 2x24                        | 1                        | 22,3 MAX   |
| BV302S06015A | 6                           | 1,5                      | 22,3 MAX   |
| BV302S09015A | 9                           | 1,5                      | 22,3 MAX   |
| BV302S10015A | 10                          | 1,5                      | 22,3 MAX   |
| BV302S12015A | 12                          | 1,5                      | 22,3 MAX   |
| BV302S15015A | 15                          | 1,5                      | 22,3 MAX   |
| BV302S18015A | 18                          | 1,5                      | 22,3 MAX   |
| BV302S24015A | 24                          | 1,5                      | 22,3 MAX   |
| BV302D06015A | 2x6                         | 1,5                      | 22,3 MAX   |
| BV302D09015A | 2x9                         | 1,5                      | 22,3 MAX   |
| BV302D10015A | 2x10                        | 1,5                      | 22,3 MAX   |
| BV302D12015A | 2x12                        | 1,5                      | 22,3 MAX   |
| BV302D15015A | 2x15                        | 1,5                      | 22,3 MAX   |
| BV302D18015A | 2x18                        | 1,5                      | 22,3 MAX   |
| BV302D24015A | 2x24                        | 1,5                      | 22,3 MAX   |
| BV302S06018  | 6                           | 1,8                      | 24,4 MAX   |
| BV302S09018  | 9                           | 1,8                      | 24,4 MAX   |
| BV302S10018  | 10                          | 1,8                      | 24,4 MAX   |
| BV302S12018  | 12                          | 1,8                      | 24,4 MAX   |
| BV302S15018  | 15                          | 1,8                      | 24,4 MAX   |
| BV302S18018  | 18                          | 1,8                      | 24,4 MAX   |
| BV302S24018  | 24                          | 1,8                      | 24,4 MAX   |
| BV302D06018  | 2x6                         | 1,8                      | 24,4 MAX   |
| BV302D09018  | 2x9                         | 1,8                      | 24,4 MAX   |
| BV302D10018  | 2x10                        | 1,8                      | 24,4 MAX   |
| BV302D12018  | 2x12                        | 1,8                      | 24,4 MAX   |
| BV302D15018  | 2x15                        | 1,8                      | 24,4 MAX   |
| BV302D18018  | 2x18                        | 1,8                      | 24,4 MAX   |
| BV302D24018  | 2x24                        | 1,8                      | 24,4 MAX   |
| BV302S06020  | 6                           | 2                        | 27,4 MAX   |
| BV302S09020  | 9                           | 2                        | 27,4 MAX   |
| BV302S10020  | 10                          | 2                        | 27,4 MAX   |
| BV302S12020  | 12                          | 2                        | 27,4 MAX   |
| BV302S15020  | 15                          | 2                        | 27,4 MAX   |
| BV302S18020  | 18                          | 2                        | 27,4 MAX   |
| BV302S24020  | 24                          | 2                        | 27,4 MAX   |
| BV302D06020  | 2x6                         | 2                        | 27,4 MAX   |
| BV302D09020  | 2x9                         | 2                        | 27,4 MAX   |
| BV302D10020  | 2x10                        | 2                        | 27,4 MAX   |

| Наименование | Напряжение втор. обмотки, В | Номинальная мощность, ВА | Высота, мм |
|--------------|-----------------------------|--------------------------|------------|
| BV302D12020  | 2x12                        | 2                        | 27,4 MAX   |
| BV302D15020  | 2x15                        | 2                        | 27,4 MAX   |
| BV302D18020  | 2x18                        | 2                        | 27,4 MAX   |
| BV302D24020  | 2x24                        | 2                        | 27,4 MAX   |
| BV302S06024  | 6                           | 2,4                      | 27,4 MAX   |
| BV302S09024  | 9                           | 2,4                      | 27,4 MAX   |
| BV302S10024  | 10                          | 2,4                      | 27,4 MAX   |
| BV302S12024  | 12                          | 2,4                      | 27,4 MAX   |
| BV302S15024  | 15                          | 2,4                      | 27,4 MAX   |
| BV302S18024  | 18                          | 2,4                      | 27,4 MAX   |
| BV302S24024  | 24                          | 2,4                      | 27,4 MAX   |
| BV302D06024  | 2x6                         | 2,4                      | 27,4 MAX   |
| BV302D09024  | 2x9                         | 2,4                      | 27,4 MAX   |
| BV302D10024  | 2x10                        | 2,4                      | 27,4 MAX   |
| BV302D12024  | 2x12                        | 2,4                      | 27,4 MAX   |
| BV302D15024  | 2x15                        | 2,4                      | 27,4 MAX   |
| BV302D18024  | 2x18                        | 2,4                      | 27,4 MAX   |
| BV302D24024  | 2x24                        | 2,4                      | 27,4 MAX   |
| BV302S06028  | 6                           | 2,8                      | 29,8 MAX   |
| BV302S09028  | 9                           | 2,8                      | 29,8 MAX   |
| BV302S10028  | 10                          | 2,8                      | 29,8 MAX   |
| BV302S12028  | 12                          | 2,8                      | 29,8 MAX   |
| BV302S15028  | 15                          | 2,8                      | 29,8 MAX   |
| BV302S18028  | 18                          | 2,8                      | 29,8 MAX   |
| BV302S24028  | 24                          | 2,8                      | 29,8 MAX   |
| BV302D06028  | 2x6                         | 2,8                      | 29,8 MAX   |
| BV302D09028  | 2x9                         | 2,8                      | 29,8 MAX   |
| BV302D10028  | 2x10                        | 2,8                      | 29,8 MAX   |
| BV302D12028  | 2x12                        | 2,8                      | 29,8 MAX   |
| BV302D15028  | 2x15                        | 2,8                      | 29,8 MAX   |
| BV302D18028  | 2x18                        | 2,8                      | 29,8 MAX   |
| BV302D24028  | 2x24                        | 2,8                      | 29,8 MAX   |
| BV382S06032  | 6                           | 3,2                      | 29,8 MAX   |
| BV382S09032  | 9                           | 3,2                      | 29,8 MAX   |
| BV382S12032  | 12                          | 3,2                      | 29,8 MAX   |
| BV382S15032  | 15                          | 3,2                      | 29,8 MAX   |
| BV382S18032  | 18                          | 3,2                      | 29,8 MAX   |
| BV382S24032  | 24                          | 3,2                      | 29,8 MAX   |
| BV382S06032  | 2x6                         | 3,2                      | 29,8 MAX   |
| BV382S09032  | 2x9                         | 3,2                      | 29,8 MAX   |
| BV382S12032  | 2x12                        | 3,2                      | 29,8 MAX   |
| BV382S15032  | 2x15                        | 3,2                      | 29,8 MAX   |
| BV382S18032  | 2x18                        | 3,2                      | 29,8 MAX   |
| BV382S24032  | 2x24                        | 3,2                      | 29,8 MAX   |

## ИМПУЛЬСНЫЕ КОРПУСНЫЕ АС/ДС-ПРЕОБРАЗОВАТЕЛИ



Представляем Вашему вниманию новинку — импульсный источник питания ZP03S для монтажа на плату производства компании Zettler Magnetics. Отличительными особенностями данного источника являются компактный размер и малый вес. При этом он обладает всевозможными защитами и превосходными изоляционными свойствами:

- 3-, 5-, 1- и 2-выходные, 10 Вт.
- Универсальные входные напряжения 90–264 В АС/47–63 Гц.
- Выходные напряжения 3,3–24 В.
- Низкое потребление в режиме standby: <0,3 Вт.
- Ток утечки 0,3 мА MAX.
- КПД — 78%.
- Защиты от перегрузок, перенапряжения, короткого замыкания.
- Изоляция вход/выход, между выходными терминалами — 3600 В АС/50 Гц, 5 мА в течение 1 мин, или 4200 В АС в течение 2 с.
- Диапазон рабочих температур –20...+70 °С.
- Диапазон температур хранения –40...+105 °С.

| Наименование | Напряжение 1, В | Ток 1, мА | Напряжение 2, В | Ток 2, мА |
|--------------|-----------------|-----------|-----------------|-----------|
| ZP03S0300WL  | 3,3             | 900       |                 |           |
| ZP03S0500WL  | 5               | 600       |                 |           |
| ZP03S0600WL  | 6               | 500       |                 |           |
| ZP03S0700WL  | 7,5             | 400       |                 |           |
| ZP03S0900WL  | 9               | 333       |                 |           |
| ZP03S1000WL  | 10              | 300       |                 |           |
| ZP03S1200WL  | 12              | 250       |                 |           |
| ZP03S1500WL  | 15              | 200       |                 |           |
| ZP03S1800WL  | 18              | 166       |                 |           |
| ZP03S2400WL  | 24              | 125       |                 |           |
| ZP05S0500W   | 5               | 1000      |                 |           |
| ZP05S0600W   | 6               | 833       |                 |           |
| ZP05S0700W   | 7,5             | 667       |                 |           |
| ZP05S0900W   | 9               | 555       |                 |           |
| ZP05S1000W   | 10              | 500       |                 |           |
| ZP05S1200W   | 12              | 417       |                 |           |
| ZP05S1500W   | 15              | 333       |                 |           |
| ZP05S1800W   | 18              | 277       |                 |           |
| ZP05S2400W   | 24              | 208       |                 |           |
| ZP05D0505W   | 5               | 500       | 5               | 500       |
| ZP05D0606W   | 6               | 417       | 6               | 417       |

3-Вт источники питания серии ZP03S имеют те же габариты и посадочное место, что и стандартные трансформаторы напряжения мощностью до 3 ВА, что позволяет осуществить быстрый и легкий

| Наименование | Напряжение 1, В | Ток 1, мА | Напряжение 2, В | Ток 2, мА |
|--------------|-----------------|-----------|-----------------|-----------|
| ZP05D0707W   | 7,5             | 333       | 7,5             | 333       |
| ZP05D0909W   | 9               | 277       | 9               | 277       |
| ZP05D1010W   | 10              | 250       | 10              | 250       |
| ZP05D1212W   | 12              | 209       | 12              | 209       |
| ZP05D1515W   | 15              | 166       | 15              | 166       |
| ZP05D1818W   | 18              | 138       | 18              | 138       |
| ZP05D2424W   | 24              | 104       | 24              | 104       |
| ZP05D0312W   | 3               | 455       | 12              | 292       |
| ZP05D0512W   | 5               | 300       | 12              | 292       |
| ZP05D0712W   | 7,5             | 200       | 12              | 292       |
| ZP10S0500W   | 5               | 2000      |                 |           |
| ZP10S0600W   | 6               | 1666      |                 |           |
| ZP10S0700W   | 7,5             | 1333      |                 |           |
| ZP10S0800W   | 8               | 1250      |                 |           |
| ZP10S0900W   | 9               | 1110      |                 |           |
| ZP10S1000W   | 10              | 1000      |                 |           |
| ZP10S1200W   | 12              | 834       |                 |           |
| ZP10S1500W   | 15              | 666       |                 |           |
| ZP10S1800W   | 18              | 555       |                 |           |
| ZP10S2400W   | 24              | 420       |                 |           |

переход от использования компонентов системы питания к полноценным законченным источникам. При этом значительно сокращаются габариты конечного устройства.

Все продукты, выпускаемые компанией Zettler Magnetics, являются высококачественными. На производстве действует 100%-ный выходной контроль.

# ЯРКИЕ СВЕТОДИОДЫ ФИРМЫ ROHM SEMICONDUCTORS

Японская компания ROHM Semiconductor занимает 22 место в мире среди производителей полупроводниковых компонентов. Клиентами ROHM Semiconductor, являются TOYOTA, Subaru, Nissan, Honda, Светодиоды ROHM также применяются в подсветке приборных панелей автомобилей BMW и AUDI, RENAULT и ROVER. Помимо автоэлектроники, продукция ROHM Semiconductor широко используется в мобильных телефонах и компьютерах, медицинской технике и силовой автоматике. Rohm Semiconductor — это японское качество, широкий ассортимент предлагаемой продукции и хорошая техническая поддержка.

## СВЕТОДИОДЫ СЕРИИ PICOLED™-MINI

Яркие светодиоды ROHM, предлагаемые под торговой маркой PICOLED™, являются самыми

компактными компонентами на рынке на сегодняшний день. Размеры малогабаритных светодиодов из линейки PICOLED™-mini составляют всего

0,3×0,6×0,2 мм, что соответствует типоразмеру 0201 (рис. 1). При аналогичных технических характеристиках этот компонент занимает на плате на 70% меньшую площадь, чем светодиод в корпусе 0402. Результат достигнут за счет использования структуры AlGaInP на подложке из арсенида галлия, которая также обеспечивает отличный ресурс работы — до 10 000 часов без заметной деградации кристалла и уменьшения яркости. На рис. 2 и 3 показаны примеры использования PICOLED™-mini в матричном дисплее из 256 светодиодов

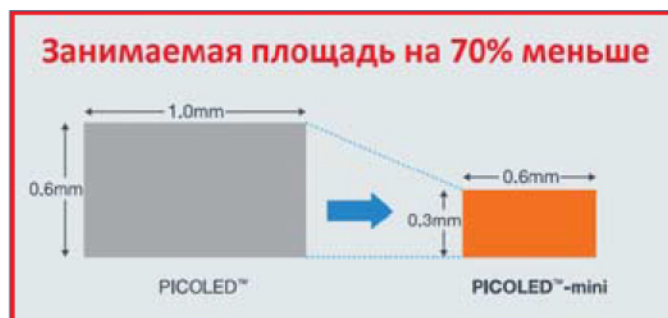


Рис. 1. Размеры корпусов типоразмеров 1006 и 0201 (PICOLED™-mini)



Рис. 2. Матричный дисплей из 256 светодиодов PICOLED™-mini с шагом 1 мм



Рис. 3. Пример модернизации технологии производства сегментного светодиодного индикатора

Таблица 1. Характеристики светодиодов серии PICOLED™-mini

| Модель    | Структура    | Цвет          | Длина волны, нм | Прямое напряжение, В |        | Яркость, мкд |        |
|-----------|--------------|---------------|-----------------|----------------------|--------|--------------|--------|
|           |              |               |                 |                      | If, mA |              | If, mA |
| CSL0101VT | AlGaInP-GaAs | Красный       | 630             | 2                    | 20     | 60           | 20     |
| CSL0101UT |              |               | 620             |                      |        | 85           |        |
| CSL0101DT |              | Оранжевый     | 605             | 100                  |        |              |        |
| CSL0101YT |              | Желтый        | 590             | 130                  |        |              |        |
| CSL0101MT |              | Желто-зеленый | 572             | 35                   |        |              |        |
| CSL0101PT |              | Зеленый       | 560             | 13                   |        |              |        |
| CSL0101ET | InGaN-SiC    | Сине-зеленый  | 527             | 3                    | 5      | 71           | 5      |
| CSL0101BT |              | Синий         | 470             | 2,9                  |        | 17           |        |

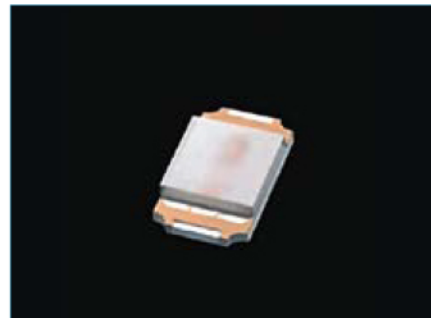
Таблица 2. Характеристики светодиодов серии PICOLED™-eco

| Модель    | Структура     | Цвет          | Длина волны, нм | Прямое напряжение, В |        | Яркость, мкд |        |
|-----------|---------------|---------------|-----------------|----------------------|--------|--------------|--------|
|           |               |               |                 |                      | If, mA |              | If, mA |
| SML-P11VT | AlGaInP- GaAs | Красный       | 626             | 1,8                  | 1      | 3,6          | 1      |
| SML-P11UT |               |               | 621             |                      |        | 5,5          |        |
| SML-P11DT |               | Оранжевый     | 605             | 7,3                  |        |              |        |
| SML-P11YT |               | Желтый        | 586             | 7,6                  |        |              |        |
| SML-P11MT |               | Желто-зеленый | 569             | 1,9                  |        | 2,1          |        |
|           |               |               |                 |                      |        |              |        |

и способ модернизации изготовления сегментных индикаторов.

Светоизлучающая полупроводниковая структура размещена в центре корпуса светодиода, поэтому диаграмма освещенности практически симметрична относительно оптической оси во всех направлениях. На практике это означает, что светодиод формирует округлое, равномерно освещенное пятно (рис. 5). Светодиоды PICOLED™ допускают питание постоянным током заданной величины или импульсным, превышающим номинальный. В таблице 1 приведены характеристики светодиодов серии PICOLED™-mini.

### СВЕТОДИОДЫ СЕРИИ PICOLED™-ECO



Светодиоды выполнены по технологии AlGaInP на подложке из GaAs и предназначены для работы с прямым током всего 1 мА. По сравнению с обычными светодиодами, рассчитанными на такой ток, PICOLED™-eco обеспечивают в 2,7 раза большую светоотдачу и позволяют экономить до 37% электроэнергии. При этом их масса и объем меньше конкурентов в 5 и 4 раза соответственно. Цвет излучения PICOLED™-eco может быть: красным, зеленым, желтым и оранжевым. Светодиоды предлагаются в корпусе размером 1,0×0,6 мм и высотой всего 0,2 мм. В таблице 2 приведены характеристики светодиодов серии PICOLED™-eco.

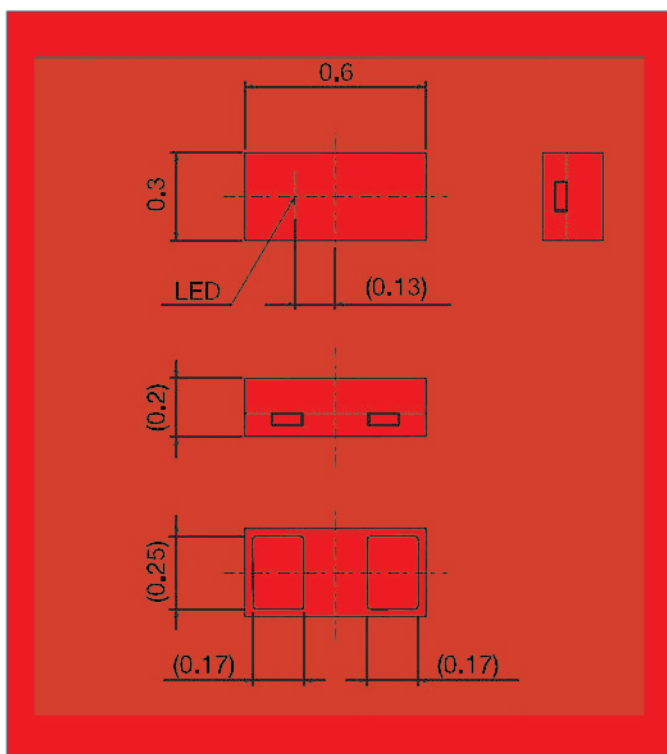


Рис. 4. Размеры корпуса PICOLED™-mini

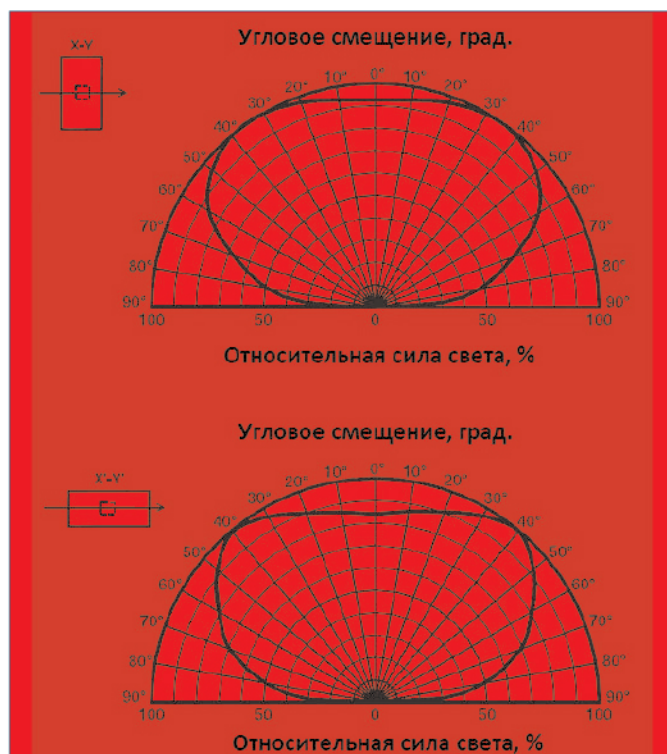


Рис. 5. Диаграмма распределения света



## СВЕТОДИОДЫ СЕРИИ PICOLED™-SIDE



Оптическая ось светодиодов серии PICOLED™-side направлена параллельно плоскости платы. Эта особенность в сочетании с миниатюрными корпусами делает их незаменимыми источниками для подсветки ЖК-индикаторов и клавиатур. Компания Rohm Semiconductors выпускает 5 различных типоразмера светодиодов side: SML-R1, SML-A1, SMLF1, SMLC1, SML-11. Доступны различные цвета излучения, в том числе белый. PICOLED™-side светодиоды обеспечивают силу света 6,3–100 мкд при токе 20 мА и способны работать в диапазоне температур от –30 до +85 °С.

## ЯРКИЕ СВЕТОДИОДЫ ROHM



Модельный ряд ROHM насчитывает более 20 ярких светодиодов (таблица 4).



## ЯРКИЕ ТРЕХЦВЕТНЫЕ СВЕТОДИОДЫ ROHM

Светодиодные сборки SMLW56, SMLV56 и MSL010RGB содержат три полупроводниковые структуры — одну AlGaInP на кремниевой основе для красного свечения и две InGaN на основе из карбида кремния для излучения синего и зеленого света. Максимальная рассеиваемая мощность — 0,4 Вт, при максимальном прямом токе до 50 мА для красного светодиода и 40 мА для зеленого и синего. Максимальная эмиссия белого света составляет 1800 мкд, что позволяет

использовать сборки в системах освещения. Светодиоды защищены от статического электричества и кондуктивных помех встроенными стабилитронами. Характеристики трех сборок идентичны, отличия в корпусах. SMLW56 имеет размеры 7,9×5,0 мм, SMLV56 — 3,1×2,8 мм. MSL0101 — 6,9×2,2 мм, при этом его оптическая ось направлена параллельно плоскости платы. Все три сборки показывают отличную комбинируемость цветов и сохраняют работоспособность в диапазоне температур от –40 до 85 °С. Характеристики сборок указаны в таблице 3.

Таблица 3. Характеристики 3 цветных светодиодов

| Модель      | Структура  | Цвет    | Максимальная рассеиваемая мощность, мВт | Номинальный прямой ток, мА | Длина волны, нм | Яркость, мкд |        |
|-------------|------------|---------|---|----------------------------|-----------------|--------------|--------|
|             |            |         |   |                            |                 |              | If, мА |
| SMLW56RGB1W | AlGaInP/Si | Красный | 400                                     | 50                         | 624             | 700          | 20     |
|             | InGaN/SiC  | Зеленый |   | 40                         | 527             | 1200         |        |
|             |            | Синий   |   |                            | 470             | 400          |        |
| SMLV56RGB1W | AlGaInP/Si | Красный | 400                                     | 50                         | 624             | 700          | 20     |
|             | InGaN/SiC  | Зеленый |   | 40                         | 527             | 1200         |        |
|             |            | Синий   |   |                            | 470             | 400          |        |
| MSL0101RGB  | AlGaInP/Si | Красный | 400                                     | 50                         | 624             | 700          | 20     |
|             | InGaN/SiC  | Зеленый |   | 40                         | 527             | 1200         |        |
|             |            | Синий   |   |                            | 470             | 400          |        |

Таблица 4. Модельный ряд светодиодов ROHM

| Модель          | Цвет          | Длина волны, нм | Яркость, мкд |        | Прямое напряжение, В |        |
|-----------------|---------------|-----------------|--------------|--------|----------------------|--------|
|                 |               |                 |              | If, мА |                      | If, мА |
| SML-Z14VT(A)    | Красный       | 630             | 112          | 20     | 1,9                  | 20     |
| SML-Z14UT(A)    | Красный       | 620             | 224          | 20     | 1,9                  | 20     |
| SML-Z14DT(A)    | Оранжевый     | 605             | 280          | 20     | 1,9                  | 20     |
| SML-Z14YT(A)    | Желтый        | 589             | 280          | 20     | 2                    | 20     |
| SML-Z14MT(A)    | Желто-зеленый | 571             | 90           | 20     | 2                    | 20     |
| SML-Z14FT(A)    | Зеленый       | 564             | 45           | 20     | 2                    | 20     |
| SML-Z14PT(A)    | Зеленый       | 560             | 22,4         | 20     | 2                    | 20     |
| SML-Z14V4T      | Красный       | 630             | 280          | 50     | 2                    | 50     |
| SML-Z14U4T      | Красный       | 620             | 560          | 50     | 2                    | 50     |
| SML-Z14D4T      | Оранжевый     | 605             | 710          | 50     | 2                    | 50     |
| SML-Z14Y4T      | Желтый        | 590             | 710          | 50     | 2,1                  | 50     |
| SML-Z14M4T      | Желто-зеленый | 572             | 224          | 50     | 2,1                  | 50     |
| SML-Z14F4T      | Зеленый       | 565             | 120          | 50     | 2,1                  | 50     |
| SML-Z14P4T      | Зеленый       | 561             | 56           | 50     | 2,1                  | 50     |
| SML-Z13BDT(A)   | Синий         | 470             | 280          | 20     | 3,2                  | 20     |
| SML-Z13EDT(A)   | Зеленый       | 527             | 710          | 20     | 3,3                  | 20     |
| SML-Z14WBECW(A) | Белый         | –               | 2200         | 20     | 3,2                  | 20     |
| SML-Z13WBDAW    | Белый         | –               | 700          | 20     | 3,2                  | 20     |
| SML-Z13WBDBW    | Белый         | –               | 700          | 20     | 3,2                  | 20     |
| SML-Z13WBDCW(A) | Белый         | –               | 1100         | 20     | 3,2                  | 20     |
| SML-Z13WBDDW(A) | Белый         | –               | 1100         | 20     | 3,2                  | 20     |

## ПРЕЦИЗИОННЫЕ РЕГУЛЯТОРЫ НАПЯЖЕНИЯ ОТ NXP SEMICONDUCTORS — СЕРИЯ TL431

TL431AIDBZR — 1% регулятор напряжения в корпусе SOT23 рассчитанный на диапазон рабочих температур  $-40...+85\text{ }^{\circ}\text{C}$ , выполненный в расширенном варианте исполнения, которое дополнительно включает в себя элементы подавления импульсных скачков напряжения.

Семейство 3-полюсных шунт-регуляторов напряжения серии TL431 с параллельным включением регулирующего элемента включает в себя 21 микросхему, и имеет возможность управления выходным напряжением от  $V_{REF}$  (2,5 В) до 36 В, которое может быть установлено двумя внешними

резисторами. Регуляторы напряжения имеют типовой импеданс 0,2 Ом. Активная выходная цепь обеспечивает превосходные характеристики, и позволяет использовать их вместо стабилитронов, в качестве внутрисхемного регулятора и переключателя питания. Маленький корпус для SMD-монтажа SOT23 в сочетании с отменными характеристиками регулятора делает его универсальным элементом для применения в электронике.

Семейство шунт-регуляторов представлено тремя вариантами точности 0,5%, 1% и 2%, тремя вариантами диапазонов рабочих температур, имеют

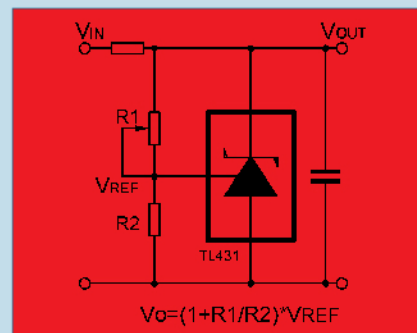


Рис. Пример включения шунт-регулятора TL431

нормальное или зеркальное расположение выводов (обозначение MSDT). Регуляторы выпускаются в двух исполнениях стандартное (обозначение SDT) и расширенное (DBZR), которое дополнительно включает в себя элементы подавления импульсных скачков напряжения.

Особенности регуляторов напряжения серии TL431:

- Программируемое выходное напряжение до 36 В.
- Три варианта исполнения регуляторов с точностью выходного напряжения:
  - стандартное 2%;
  - уровень А 1%;
  - уровень В 0,5%;
- Типовое температурное отклонение напряжения 6 мВ в диапазоне 0 до  $70\text{ }^{\circ}\text{C}$ .
- Низкий уровень шумов выходного сигнала.
- Типовой импеданс на выходе 0,2 Ом.
- Ток от 1 до 100 мА.
- Три диапазона рабочей температуры:
  - $0...+70\text{ }^{\circ}\text{C}$
  - $40...+85\text{ }^{\circ}\text{C}$
  - $-40...+125\text{ }^{\circ}\text{C}$ .
- Маленький корпус SOT23.

| Модель      | Корпус | VKA max, В | IK max, mA | V <sub>REF</sub> typ, В | V <sub>REF</sub> tolerance, % | Диапазон рабочих температур, °C | Расположение выводов |
|-------------|--------|------------|------------|-------------------------|-------------------------------|---------------------------------|----------------------|
| TL431ACDBZR | SOT23  | 36         | 100        | 2,495                   | 1                             | 0...70                          | обычное              |
| TL431AFDT   | SOT23  | 36         | 100        | 2,495                   | 1                             | -40...125                       | обычное              |
| TL431AIDBZR | SOT23  | 36         | 100        | 2,495                   | 1                             | -40...85                        | обычное              |
| TL431AMFDT  | SOT23  | 36         | 100        | 2,495                   | 1                             | -40...125                       | обратное             |
| TL431AMSDT  | SOT23  | 36         | 100        | 2,495                   | 1                             | -40...125                       | обратное             |
| TL431AQDBZR | SOT23  | 36         | 100        | 2,495                   | 1                             | -40...125                       | обычное              |
| TL431ASDT   | SOT23  | 36         | 100        | 2,495                   | 1                             | -40...125                       | обычное              |
| TL431BCDBZR | SOT23  | 36         | 100        | 2,495                   | 0,5                           | 0...70                          | обычное              |
| TL431BFDT   | SOT23  | 36         | 100        | 2,495                   | 0,5                           | -40...125                       | обычное              |
| TL431BIDBZR | SOT23  | 36         | 100        | 2,495                   | 0,5                           | -40...85                        | обычное              |
| TL431BMFDT  | SOT23  | 36         | 100        | 2,495                   | 0,5                           | -40...125                       | обратное             |
| TL431BMSDT  | SOT23  | 36         | 100        | 2,495                   | 0,5                           | -40...125                       | обратное             |
| TL431BQDBZR | SOT23  | 36         | 100        | 2,495                   | 0,5                           | -40...125                       | обычное              |
| TL431BSDT   | SOT23  | 36         | 100        | 2,495                   | 0,5                           | -40...125                       | обычное              |
| TL431CDBZR  | SOT23  | 36         | 100        | 2,495                   | 2                             | 0...70                          | обычное              |
| TL431FDT    | SOT23  | 36         | 100        | 2,495                   | 2                             | -40...125                       | обычное              |
| TL431IDBZR  | SOT23  | 36         | 100        | 2,495                   | 2                             | -40...85                        | обычное              |
| TL431MFDT   | SOT23  | 36         | 100        | 2,495                   | 2                             | -40...125                       | mirrored             |
| TL431MSDT   | SOT23  | 36         | 100        | 2,495                   | 2                             | -40...125                       | mirrored             |
| TL431QDBZR  | SOT23  | 36         | 100        | 2,495                   | 2                             | -40...125                       | normal               |
| TL431SDT    | SOT23  | 36         | 100        | 2,495                   | 2                             | -40...125                       | normal               |

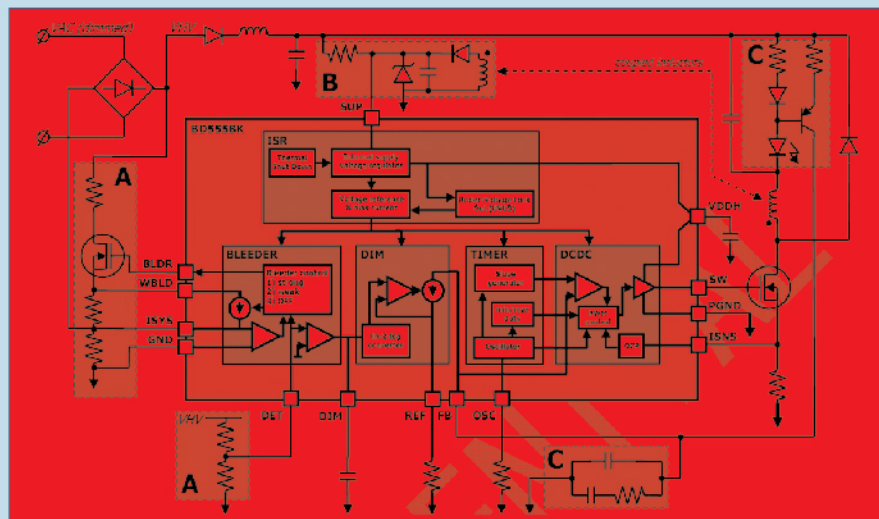
## BD555BKVF — НОВОЕ РЕШЕНИЕ ДЛЯ НЕИЗОЛИРОВАННЫХ СВЕТОДИДНЫХ СВЕТИЛЬНИКОВ

Микросхема BD555BKVF оборудована ШИМ-контроллером и позволяет подключить сборку светодиодов мощностью от 2 до 30 Вт к сети переменного тока 220 В. При необходимости, микросхема создает регулируемую нагрузку на сеть, если светильник подключен через регулятор яркости

(диммер). Это необходимо для поддержки тока удержания симистора-диммера в режимах пониженной яркости и предотвратить преждевременное отключение светодиодов. Такое решение обеспечивает полноценный диапазон регулировки яркости, высокую энергетическую эффективность и полное отсутствие мерцания.

Функциональные особенности:

- Сетевое напряжение от 80 до 270 В.
- Высокая эффективность AC/DC-преобразователя >80%.
- Настраиваемая частота ШИМ от 50 до 400 кГц.
- Настраиваемый источник тока питания светодиодов от 100 до 800 мА.
- Совместимость с диммерами.
- Субъективно линейное изменение яркости светодиодов (логарифмическая зависимость напряжение/яркость).
- Работа на минимальной яркости в режиме диммера <5%.
- Встроенные защиты (по току, по температуре, от утечки).
- Компактный SMD-корпус SSOP-14 (5x6,4 мм).



Структурная схема и пример подключения

